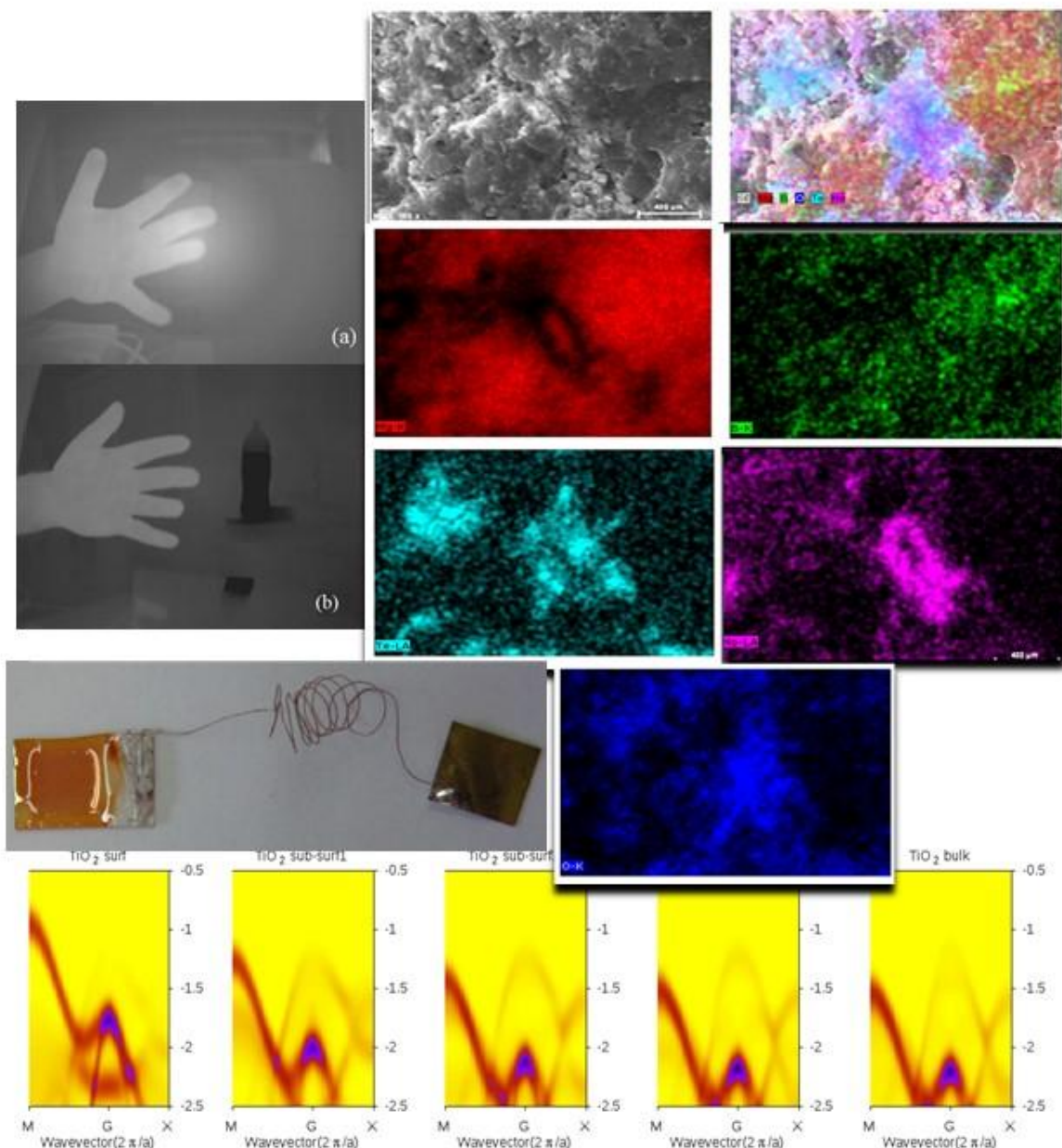


**INSTITUTUL NATIONAL DE CERCETARE
DEZVOLTARE PENTRU FIZICA MATERIALELOR**
Strada Atomistilor 405A, 077125 Magurele-Ilfov, C.P. MG-7

Telefon: +40(0)21 3690185, Fax: +40(0)21 3690177, email: director@infim.ro, http://www.infim.ro

**RAPORT ANUAL DE ACTIVITATE
privind desfășurarea Programului Nucleu
*Multidisciplinaritate si Sinergie in Domeniul Fizicii Starii
Condensate si al Materialelor Functionale (MS-FISCOMAT)***
PN16-4801
anul 2017



Contractor :INCDFM.....
 Cod fiscal : RO9068280.....

**RAPORT ANUAL DE ACTIVITATE
 privind desfășurarea programului nucleu
*Multidisciplinaritate si Sinergie in Domeniul Fizicii Starii Condensate si al Materialelor
 Functionale (MS-FISCOMAT)*
PN16-4801
anul 2017**

Durata programului: ...2. ani

Data începerii: ...mai 2016.....

Data finalizării: ...dec. 2017.....

Gradul de indeplinire al indicatorilor asumati in Macheta 1

Indicatori specifici pentru monitorizare si evaluare (valori minime asumate):

- Studii si documentatii pentru noi echipamente, materiale si metode: 11

2016

12 studii/documentatii si modelari de metoda, produs sau material

2017

29 studii teoretice si modelari de metoda sau material sau documentatii de material

TOTAL: 41 de studii sau similare

Grad de indeplinire: 373 %

- Produse si tehnologii (la nivel de material sau demonstrator produs in laborator): 30

20 materiale sau heterostructuri cu potential aplicativ sintetizate in laborator

12 materiale sau heterostructuri cu potential aplicativ sintetizate in laborator

TOTAL: 32 materiale sau heterostructuri

Grad de indeplinire: 107 %

- Lucrari publicate in jurnale ISI: 130

2016

72 lucrari publicate deja in jurnale ISI (existente de Web of Science)

2017

151 lucrari publicate deja in jurnale ISI (existente de Web of Science)

TOTAL: 223 lucrari ISI

Grad de indeplinire: 174 % (numai cu lucrarile publicate)

- Brevete acordate si Cereri de brevet depuse: 25

2016

5 cereri depuse

2017

2 brevete acordate, 17 cereri depuse si 1 cerere in pregatire

TOTAL: 25

Grad de indeplinire: 100 % (numai cu cererile depuse).

- Aplicatii de proiecte: 40 (depinde si de ritmicitatea competititiilor aferente PN3), dintre care 5 aplicatii Orizont 2020

92 de proiecte depuse la competitiiile organizate in 2016 si 2017

Grad de indeplinire: 230 %

- Tineri cercetatori angajati in institut: 10

2016

5 tineri angajati.

2017

8 tineri angajati

TOTAL: 13 noi angajati

Grad de indeplinire: 130 %

- Firme contactate pentru valorificarea rezultatelor: 20 (domenii: electronica; auto; IT; securitate; energetica; echipamente si automatizari; medicina; protectia mediului)

2016

12 firme contactate (Continental, Honeywell, Optoelectronica, Plasma Jet, Nuclear & Vacuum, Sara Pharm, Process Innovation Nucleus SRL, Sanimed, Apel Laser, IMA METAV, R&D Consultanta si Servicii SRL, Internet SRL)

2017

12 firme contactate (NANOM-MEMS, Bio-ortoclinic, Dexter Com. SRL, Wattrom, Lukamet, Altius Photovoltaics, PVT-Romania, Wiren, Panosol, Cromatec, Research X, Otel Inox Targoviste)

TOTAL: 24 firme contactate

Grad de indeplinire: 120 %.

1. Scopul programului:

Programul propus continua programele Nucleu din perioada 2003-2015, dedicate cercetarilor avansate in domeniul Fizicii Starii Condensate si al Materialelor. In plus fata de programele Nucleu precedente, noul program isi propune sa aduca o crestere a gradului de multidisciplinaritate a cercetarilor desfasurate in institut, precum si o crestere a sinergiei tematice cu noile directii de cercetare in domeniu asa cum sunt ele enuntate in strategiile si programele nationale sau la nivel de Comunitate Europeana. Activitatile prevazute in cadrul programului vor implica practic toate grupurile de cercetare din institut intr-un efort unit de crestere a performantei institutionale si de transformare a INCDFM intr-un actor important la nivel global in ceea ce priveste dezvoltarile fundamentale si aplicative in domeniile abordate in program.

Conform obiectului sau de activitate, INCDFM desfasoara cercetare fundamentala si aplicativa in domeniul Fizicii Starii Condensate si al Stiintei Materialelor, mergand pana la realizarea de modele experimentale sau la dezvoltarea de noi tehnologii. Planul multianual de dezvoltare a fost elaborat tinand cont de cele mentionate mai sus, cu urmatoarele directii strategice de cercetare, cel putin pentru perioada pana in anul 2018:

- 1. Fizica starii condensate-fenomene si procese in sisteme nano-dimensionale, suprafete si interfete;**
- 2. Sinteza si caracterizarea nanomaterialelor si nanostructurilor;**
- 3. Materiale si structuri functionale cu impact tehnologic.**

Plecand de la aceste directii generale de cercetare, si tinand cont de tendintele din cercetarea in domeniul materialelor functionale si al nanomaterialelor manifestate la nivel global in ultimii ani, au fost stabilite cateva teme concrete de cercetare, dupa cum urmeaza:

A. STUDII FUNDAMENTALE IN DOMENIUL FIZICII STARII CONDENSATE

- Efecte de dimensiune in nano-objekte si straturi cuantice;
- Rolul suprafetelor si interfetelor in materiale structurate;
- Corelatii electronice si interactiuni magnetice;
- Modelarea si simularea dinamicii microstructurilor prin fizica computationala;
- Interactia campurilor de radiatii cu materia la scara micro si nano.

B. NANOSTRUCTURI SI MATERIALE MULTIFUNCTIONALE

B1. Materiale pentru energie

- generare, conversie, transport si stocare;
- aliaje si comozite pentru reactori de fuziune si fisiune nucleara.

B2. Materiale pentru aplicatii in industrii de inalta tehnologie

- materiale pentru electronica de inalta frecventa;
- materiale pentru optoelectronica, electronica transparenta, spintronica;
- materiale pentru memorii nevolatile;
- senzoristica pentru automatizari si control.

B3. Materiale pentru aplicatii in biomedicina si protectia mediului

- materiale biocompatibile si /sau biofuncionale;
- bio-senzori, senzori chimici si (foto)-catalizatori.

Programul Nucleu are la baza directiile de cercetare stabilite prin Planul de Dezvoltare al INCDFM, prezentate mai sus si aprobat in forurile de conducere ale institutului, precum si recomandarile continute in raportul de evaluare intocmit de catre o comisie de experti independenti in aprilie 2012. Mentionam faptul ca la exercitiul de evaluare

comisia a fost formata din 5 experti din straintate, presedintele comisiei fiind presedintele executiv al E-MRS din aceea perioada, Prof. Rodrigo Martins. Comisia a notat planul de dezvoltare cu 4.7 din maxim 5, iar institutul a obtinut calificativul A+ in urma evaluarii. Recomandarile expertilor se refera in mod expres la cresterea sinergieei in interiorul institutului, la potentarea si promovarea de teme multidisciplinare, dar si la depunerea de eforturi sporite in directia dezvoltarii de aplicatii si a transferului tehnologic. Ca urmare, programul Nucleu propus pentru perioada urmatoare isi propune sa continue eforturile depuse in ultimii 3 ani in vederea abordarii sinergice a unor teme multidisciplinare si a cresterii capacitatii de inovare si transfer tehnologic.

Programul Nucleu dezvolta deci cercetari fundamentale si aplicative pe tematicile cuprinse in planul de dezvoltare, utilizand la maxim expertiza si infrastructura deja existenta in INCDFM. Pentru realizarea programului Nucleu sunt propuse 3 proiecte (a se vedea la punctul 9 al prezentei propunerii), care acopera intreg ciclul de cercetare, de la elaborarea de modele teoretice predictive si simulari computationale, pana la realizarea de demonstratori si initierea unor noi metode de sinteza si analiza.

Prin proiectele propuse si tematicile aferente, programul Nucleu urmareste urmatoarele:

- generarea de cunoastere noua in domeniile de activitate ale INCDFM**, cu precadere in domeniul fundamental al intregerii fenomenelor care au loc in materia condensata, precum si in cercetarea aplicativa legata de sinteza si caracterizarea materialelor functionale si nanomaterialelor;
- testarea de noi idei si teme de cercetare la frontiera cunoasterii actuale**, cu scopul generarii masei critice de cunoastere si expertiza care sa permita ulterior dezvoltarea temelor respective in propunerii de proiecte la viitoarele competitii organizate in cadrul programelor nationale si internationale (PN 3, ROSA, ERA-NET, Horizon 2020, ELI-NP etc.);
- cresterea in continuare a nivelului de competitivitate**, competenta si expertiza al INCDFM in domeniul sau de activitate;
- valorificarea la maxim a resurselor existente**, atat umane cat si materiale, cu referire speciala la infrastructura achizitionata in ultimii 7-8 ani in special prin cele 2 mari proiecte POS-CCE pe care INCDFM le-a derulat in perioadele 2009-2011 si 2014-2015;
- intarirea sinergiei** interne intre grupurile de cercetare din INCDFM in scopul valorificarii la maxim a expertizei lor si al cresterii multidisciplinaritatii/interdisciplinaritatii temelor de cercetare abordate in programul Nucleu;
- cresterea vizibilitatii nationale si internationale** a institutului prin valorificarea maxima a rezultatelor obtinute (publicatii in jurnale internationale de prestigiu, participari – pe cat posibil cu lectii invitate – la conferinte internationale pe domeniile de activitate ale institutului, extinderea parteneriatelor si colaborarilor la nivel national si international, extinderea si intarirea colaborarilor cu mediul privat din economie, intarirea efortului catre dezvoltarea de aplicatii brevetabile);
- cresterea componentei aplicative a cercetarii** cu scopul declarat de a duce anumite aplicatii la un nivel de maturitate suficient de ridicat incat sa fie atractive pentru transfer catre mediul economic, fie utilizand mecanismele financiare puse la dispozitie prin programul POC (parteneriate pentru transfer de cunostinte si dezvoltarea de start-up-uri si spin-off-uri inovative), sau prin contracte directe cu potenitali utilizatori;
- intensificarea eforturilor de formare de personal inalt calificat** prin: angajare de tineri absolventi in domenii precum Fizica, Chimie, Inginerie, Informatica, Biologie; angajarea de personal la nivel post-doc pentru acoperirea unor pozitii considerate deficitare; angajarea de personal calificat pentru dezvoltarea de aplicatii, transfer tehnologic si activitate de marketing al rezultatelor cercetarii.

Tematicile ce vor fi abordate in cadrul programului Nucleu, precum si scopurile avute in vedere prin derularea sa, corespund cu prevederile Strategiei Nationale in domeniul Cercetarii, Dezvoltarii si Inovarii pentru perioada 2014-2020. Astfel, temele de cercetare ce vor fi abordate in cele 4 proiecte propuse in cadrul programului Nucleu se incadreaza in urmatoarele specializari inteligente sau prioritati nationale din Strategie:

- **ECO-NANO-TEHNOLOGII SI MATERIALE AVANSATE**

Prin domeniul sau de activitate, INCDFM se incadreaza perfect in aceasta specializare inteligenta. Materialele avansate functionale constituie baza aplicatiilor de inalta tehnologie din industrii de varf precum electronica, transporturi, energetica, aparare, etc. La nivel mondial se fac eforturi pe cateva directii principale: 1) miniaturizarea anumitor componente ceea ce implica studiul efectelor de dimensiune in materiale functionale; 2) generarea si caracterizarea de sisteme cu dimensionalitate redusa si cu functionalitati utile in aplicatii high-tech (ex. gaz 2D de electroni la interfete; sisteme 2D similare grafenei, nanofibre, etc.); 3) reducerea amprentei de carbon a tehnologiilor utilizate in obtinerea materialelor avansate si a aplicatiilor aferente lor; 4) inlocuirea materialelor deficitare cu

altele abundente in natura; 5) scaderea costurilor de productie cu scopul de a face anumite aplicatii accesibile pentru cat mai multa lume (ex. „casa verde”); 6) dezvoltarea de sisteme inteligente de tip „cladire inteligenta” sau „oras intelligent”, care necesita materiale avansate pentru senzori, comunicatii, stocare de date, etc.

- **TEHNOLOGIA INFORMAȚIEI ȘI A COMUNICAȚIILOR, SPAȚIU ȘI SECURITATE**

Si la aceasta specializare inteligenta INCDFM isi poate aduce contributia dezvoltand materiale si aplicatii pentru comunicatii fara fir, pentru stocarea informatiei (memorii nevolatile), pentru diferite tipuri de senzori utilizabili in aplicatii de securitate (detectie de substante interzise, protectie de perimetru, determinari fizico-chimice in criminalistica etc.) sau de industrie aerospatiala si de apărare (ex. detectie de IR, microunde, etc.)

- **ENERGIE, MEDIU ȘI SCHIMBĂRI CLIMATICE**

Este un domeniu relansat in INCDFM in ultimii ani. Se pot aduce contributii considerabile pe urmatoarele directii: 1) surse regenerabile de energie, cum ar fi celule solare pe baza de efect fotovoltaic folosind materiale noi, abundente in natura si tehnologii de cost redus; celule de combustie bazate pe electroliti solizi; 2) materiale pentru stocare de energie cum ar fi nanocompozite pentru supercapacitorii si baterii cu timp de viata indelungat si capacitate mare de stocare de sarcina electrica sau materiale pentru stocare de hidrogen; 3) materiale pentru reactoare nucleare de fisiune sau fuziune (in stransa relatie cu proiectul ITER) 4) (bio) senzori pentru combaterea poluarii, inclusiv pentru preventia utilizarii in exces a pesticidelor si ierbicidelor (aici se poate face legatura si cu domeniul de specializare inteligenta intitulat **BIOECONOMIE**)

- **SĂNĂTATE**

Există expertiza incipientă și intenția ferma de a dezvolta cercetările în domeniul materialelor biocompatibile, al nanomaterialelor utilizate în livrarea controlată a medicamentelor, precum și în dezvoltarea de materiale pentru senzori cu aplicații în medicina. Este un domeniu interdisciplinar care, pentru a se dezvolta cu sanse reale de succes în competiții de proiecte, necesita asamblarea unor echipe complexe de fizieni, ingineri, chimisti, biologi și întărirea colaboratorilor cu unități medicale pentru efectuarea testelor specifice.

- **TEHNOLOGII NOI ȘI EMERGENTE**

INCDFM poate contribui în stransa relație cu participarea României la unele mari proiecte de infrastructură care se dezvoltă în prezent atât în țara cat și în alte regiuni ale Europei. Exemplul cel mai la indemana îl constituie proiectul ELI-NP, la care INCDFM poate contribui cu cercetări privind obținerea unor materiale pentru acoperiri optice rezistente la fluxuri intense de radiație laser, la realizarea de tinte pentru experimentele avute în vedere în cartea alba a ELI-NP, sau la punerea la punct a ariei experimentale de studii ale materialelor folosind spectroscopii de pozitroni. INCDFM poate aduce contributii, prin studii avansate de material sau de dispozitiv, și la dezvoltarea de noi detectori pentru CERN (colaborarea RD50), la elaborarea de noi tehnici de analiză utilizând radiatia sincrotron (ELETTRA, C-ERIC), sau la impactul pe care îl au diferite tipuri de radiație asupra materialelor cu impact tehnologic în diferite sectoare industriale.

- **CERCETARE FUNDAMENTALA SI DE FRONTIERA**

Este un domeniu prioritar la nivel național care interesază toate celelalte specializări inteligente sau priorități naționale. Practic, orice cercetare începe cu studii fundamentale, la granita cunoașterii actuale, pentru a înțelege noi fenomene, a dezvolta modele predictive pentru sinteza de noi materiale și structuri, sau pentru a previziona modul în care diferite aplicații răspund la modificări ale stimulilor externi. Cercetarea fundamentală este cea care oferă cunoașterea necesară pentru avansul către aplicații concrete. În primul rand, aici INCDFM a dovedit în repetate randuri că poate aduce contributii determinante în înțelegerea fenomenelor fizice la nano-scală, la nivelul suprafețelor (cataliza și foto-cataliza) sau al interfetelor (proprietăți derive din imparitatea de sarcină la interfete, inginerie de stres mecanic, etc.), precum și la înțelegerea interacției dintre materie sub diferite forme, în special solidă, și diferite forme de radiații sau conștangeri de mediu: temperaturi foarte ridicate sau foarte joase, presiuni extrem de ridicate sau, dimpotrivă, domeniul vidului ultralinăt. (De menționat că INCDFM este singurul institut din țara unde domeniul de vid de ordinul 10^{-10} sau chiar 10^{-11} mbar sunt obținute frecvent.)

2. Modul de derulare al programului:

2.1. Descrierea activităților (utilizând și informațiile din rapoartele de fază, Anexa nr. 9)

Proiect 1: Fenomene și procese fizico-chimice în sisteme nanometrice complexe, suprafete și interfete;

In cadrul Proiectului 1 „**Fenomene și procese fizico-chimice în sisteme nanometrice complexe, suprafete și interfete**” din cadrul programului nucleu *Multidisciplinaritate și Sinergie în Domeniul Fizicii Starii Condensate și al Materialelor Funcționale* ne-am propus să desfasurăm studii aprofundate privind fenomenele care au loc în sisteme nanostructurate complexe, pe suprafete sau la interfete, cu focalizare pe materiale funcționale care au potential aplicativ în domenii industriale de înaltă tehnologie, energetică, spațiu și securitate, protecția mediului și prevenirea poluării, precum și în științele vietii.

In cadrul proiectului am predat în 2017 un număr de 21 de faze; am testat și verificat idei noi, inovatoare, aria de activități desfasurate fiind subscrisă în special cercetări fundamentale. Fazele din 2017 au fost legate de efecte de dimensiune în nano-obiecte și doturi cuantice, de corelații electronice și interacții magnetice, de răspunsul materialelor la stimuli externi, de cercetări de material. Au fost investigate clase largi de materiale: cu proprietăți feroelectrice, supraconductoare, catalitice și fotocatalitice, cu aplicații de mediu, în medicina sau biologie.

Diversitatea de tematici abordate face foarte dificila sarcina de sistematizare a fazelor, de clasificare după anumite criterii a acestora. Criteriile pot fi, de exemplu, procesele/fenomenele studiate, structura, dimensionalitatea, proprietățile sau aplicațiile materialelor investigate.

O direcție de studiu a fost legată de problematica materialelor feroelectrice și multiferoice.

In cadrul fazei **Structura electronică a feroelectricilor: fotoemisie din banda de valență cu rezoluție unghiulară și calcule de structură de bandă** ne-am propus să stabilim legatura între starea de polarizare feroelectrică și structura electronică de benzi pentru titanatul de bariu și zirco-titanatul de plumb. În acest scop am calculat structurile de benzi electronice în funcție de starea de polarizare feroelectrică; am stabilit contribuțiile atomice la densitățile de stări electronice, rezolvate în spațiu reciproc, ce formează banda de valență pentru BaTiO₃ și PZT, evidențierind totodată dispersiile starilor ocupate din banda de valență, asociate O 2p și cele din banda de conductie asociată Ti 3d; în cadrul calculelor efectuate pe supercelule formate din 70 de atomi și care reproduc caracteristicile sistemelor reale sub formă de straturi subtiri, am evidențiat evoluția benzilor electronice asociate starilor hibridizați O 2p-Ti 3d în funcție de localizarea față de suprafata și am identificat o deplasare de 0.75 eV a acestora de la suprafata înspre bulk. Prezentăm în Fig. 1 densitățile electronice de stări ale starilor O 2p din banda de valență rezolvate în spațiu k în funcție de localizarea față de suprafata. Observăm că maximul benzii de valență se aliniaza la valoarea din bulk la o adâncime de 1.2 nm.

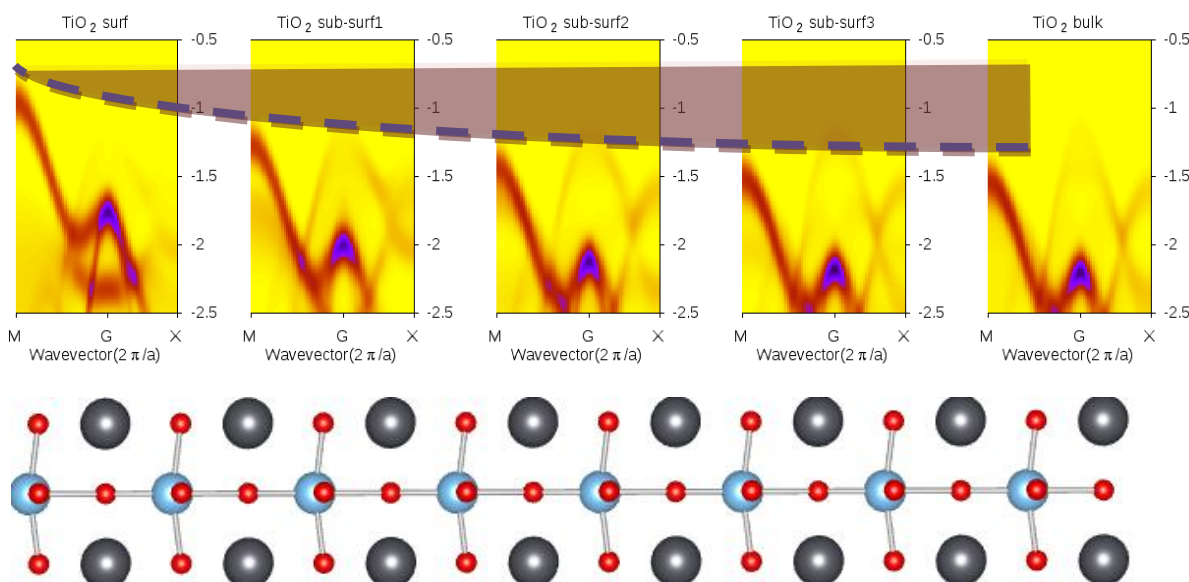


Fig. 1
Densitățile electronice de stări ale starilor O 2p din banda de valență rezolvate în spațiu k în funcție de localizarea față de suprafata

Pornind de la faptul că în ultimii ani studiile teoretice au arătat că există posibilitatea de a controla banda interzisa în feroelectrici prin dopajul cu elemente heterovalente și ordonarea cationica pe pozitii B în perovskiti dubli,

ne-am propus sa studiem experimental posibilitatea modificării lărgimi benzi interzise in straturi subțiri feroelectrice fără plumb. Astfel, in cadrul fazei **Studiul modalităților de control al benzii interzise în semiconductori feroelectrici** am preparat prin ablatie laser pulsata straturi subțiri de ferită de bismut (BiFeO_3 - BFO) și cromit de bismut (BiCrO_3 - BCO) depuse pe diferite substraturi, cât unele structuri multistrat prin combinarea celor 2 materiale mentionate, le-am caracterizat structural (RDX, AFM) si prin spectroscopie optica. Am investigat influenta conditiilor de preparare si a substratului in proprietatile structurale si optice.

In faza **Studiu computational al distributiilor de densitate de sarcina si potențialelor in heterostructuri oxid-oxid si oxid-metal, in care oxidul este un dielectric feroelectric sau magnetoelectric cu structura perovskitica** am caracterizat distributiile de densitate de sarcina electronica si de potențiale (ionic, Hartree si exchange-correlation) in heterostructuri de interes pentru jonctiunile (feroice, electrorezistive, magnetorezistive) cu efect de tunelare si am analizat efectul aplicarii unui camp electric transversal pe planul heterostructurii asupra proprietatilor feroice. Au fost efectuate calcule de tip first-principles in aproximativa gradientului generalizat (GGA+U). Studiul a fost realizat asupra unor sisteme constituite din straturi ultrasubtiri de oxid cu conductie metalica, (rutenat de strontiu) - feroelectric (titatan de plumb) - (rutenat de strontiu), in geometrie planara si cu diverse grosimi ale stratului de material feroelectric. Pentru a evidenția efectele datorate electrozilor si polarizarii asupra redistribuirii sarcinilor la interfete au fost calculate deplasările atomice, densitatile partiale de stari, energiile potențiale electrostatice planar si macroscopic mediate si densitatea de sarcina netezita la scara nanometrica. Prezentam in Fig. 2 imaginile izosuprafetelor de densitate de sarcina asa cum rezulta din analiza analiza a diferențelor de electronegativitate Pauling.

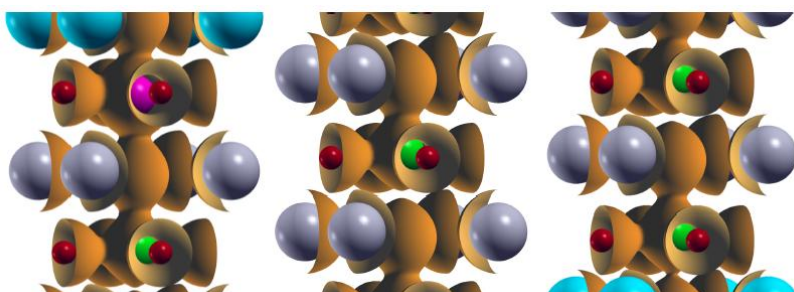


Fig. 2
Izosuprafete de densitate de sarcina
Interfata $\text{PbO}-\text{RuO}_2$ (stanga) , regiunea
centrala PTO (centru) si interfata $\text{SrO}-\text{TiO}_2$
(dreapta).

In urma calculelor efectuate, am gasit ca relaxarea structurala determina ca stratul PTO cu grosimea de 3 celule unitate (aprox. 1.2 nm) sa isi piarda proprietatea de feroelectric; dielectricul redevine feroelectric in sistemele in care are o grosime mai mare de 5 celule unitate (aprox. 2 nm); media macroscopica a densitatii de sarcina obtinuta printr-o metoda de netezire la scara nanometrica evidentiaza redistribuirea sarcinilor la interfata, formarea de bariere de potential si de dipoli electrici de interfata. Interfetele fiind asimetrice, si inaltimele barierelor de potential sunt diferite. 3) Datorita oscilatiilor rapide ale densitatii de sarcina (pe distante comparabile cu distantele interatomice) efectele la interfata nu sunt observabile in media macroscopica clasica, fiind mascate de efectele datorate materialul masiv. 4) Au fost calculate densitatile de sarcina la interfete, sarcina neta, si schemele de aliniere de benzi de energie in sistemele studiate.

Studii recente au indicat o afinitate ridicată a suprafetelor feroelectrice cu polarizare orientată perpendicular pe plan pentru adsorbția de molecule polare. Orice experiment în care trebuie investigată adsorbția moleculară și/sau reactivitatea la suprafață trebuie în mod necesar să pornească de la suprafete lipsite de orice fel de contaminant. Scopul fazei **Studiul suprafetelor feroelectrice ultracurate** a fost acela de a formula o tehnologie de laborator de curățare a probelor de feroelectrii sub formă de strat subțire monocristalin, până la eliminarea contaminanților de pe suprafață (Fig. 3). Această tehnologie utilizează tehnici de epitaxie din fascicul molecular (MBE), iar caracterizarea s-a efectuat prin spectroscopie de fotoelectroni (XPS) și prin difracție de electroni lenti (LEED).

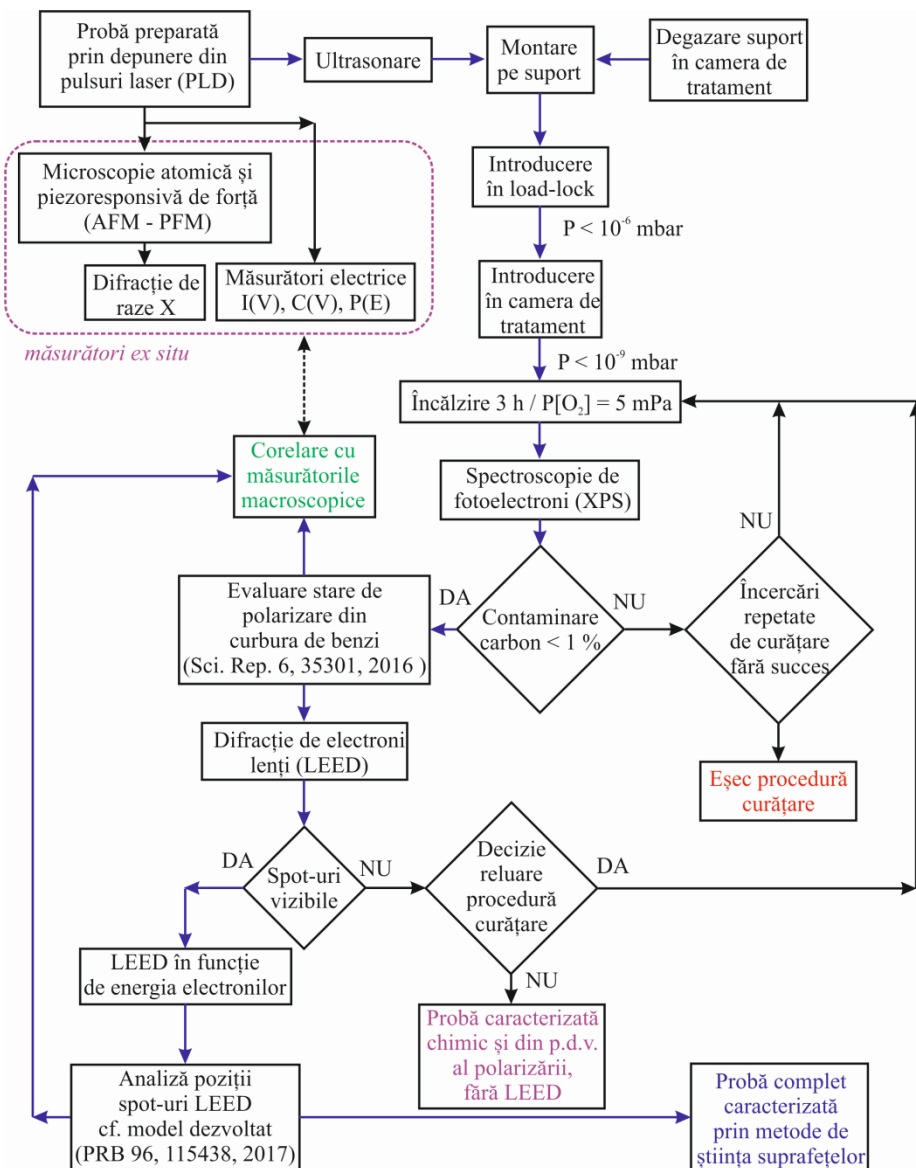


Figura 3.
Fluxul tehnologic de sinteză și caracterizare a strukturilor subțiri ferroelectrice cu suprafețe atomic curate.

In cadrul fazei **Studiul relatiei semnal piroelectric-current de scurgeri in structuri ferroelectrice** am realizat straturi subțiri de material de tip PZT epitaxial sau policristalin, cu diferite valori ale curentului de scurgeri. Metodele de preparare au fost sol-gel si PLD, iar substratul siliciu platinizat- Si/Pt si titanat de strontiu- STO. S-au studiat apoi multistraturi cu filme de PZT, in structuri in care filme de compositii diferite alterneaza. In toate situatiile s-a urmarit relatia dintre raspunsul piroelectric si valoarea curentului de scurgeri si/sau a defectelor structurale sau de la interfete. Structura filmelor a fost investigata prin difractie cu raze X, utilizand un difractometru Bruker-D8-Advance cu tub de cupru ($\lambda K\alpha_1=1.5406\text{ \AA}$, $\lambda K\alpha_2=1.5444\text{ \AA}$), cu fascicul paralel, in montaj de medie rezolutie. Parametrii de structura au fost extras coreland analiza difractogramelor (Fig. 4a) cu cea a hartilor domeniului reciproc (reciprocal space map-RSM) din jurul spotului de difractie (-103) al substratului de STO monocristalin Fig. 4b si Fig. 4c. Un studiu riguros asupra proprietatilor structurale, electrice si piroelectrice a fost realizat pe probe de PZT in care s-au alternat 5 straturi de PZT cu rapoarte Zr/Ti diferite. Prin difractia de raze X au fost puse in evidenta doua structuri bine definite: CP43- denumita PZT1 B/A/B/A/B SRO/STO, si CP48- denumita PZT2 A/B/A/B/A SRO/STO. Am studiat influenta curentului de scurgeri asupra semnalului piroelectric si am dezvoltat un model teoretic care prezice performantele unui detector piroelectric in functie de caracteristicile materialului activ.

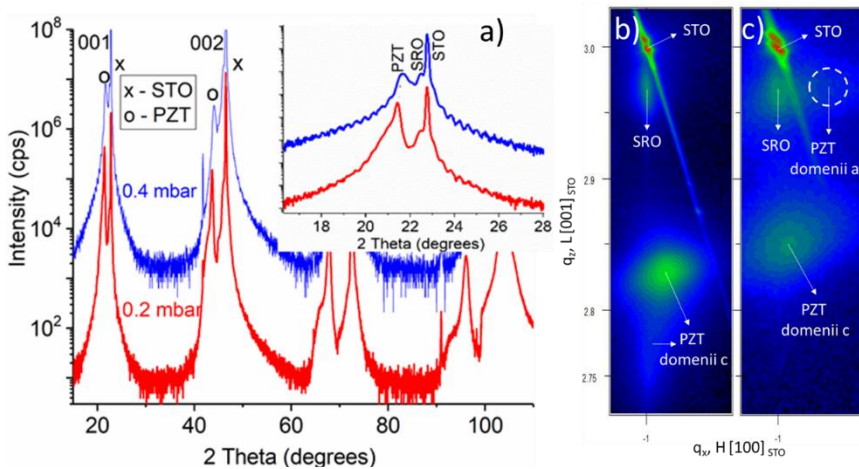


Fig. 4

Difractograme si harti ale domeniului reciproc in jurul spotului de difracție pentru straturi STO si PZT obtinute prin PLD

Faza Studii ale interfetei ferroelectric-semiconductor polar prin tehnici de inalta rezolutie a cuprins 3 activitati principale, si anume: 1) Investigarea structurala a unor interfete semiconductor polar-feroelectric; 2) Investigarea prin spectromicroscopie de fotoelectroni a distributiei polarizarii pe arii submicroscopice si 3) Investigarea proprietatilor electrice ale unor semiconductori polari si a unor heterostructuri ce includ ferofelectri, si corelarea lor cu structura acestora. Astfel, am investigat din punct de vedere structural interfata semiconductor polar-feroelectric ZnO/PZT/SRO/STON si am gasit ca ZnO nu are o relatie de epitaxialitate cu PZT si drept urmare nu spune ca a crescut epitaxial pe substratul de STON. De asemenea, am folosit spectromicroscopia de fotoelectroni cu contrast de energie de legătură depinzând de starea de polarizare pentru a realiza hărți ale parametrilor obținuți prin deconvoluții și distribuții ale polarizării măsurate pe arii submicroscopice: s-a analizat un strat de 50 nm grosime PZT/LSMO/SrTiO₃(001). Un studiu dinamic a pus în evidență reducerea Pb de la suprafața probei. Hărți și analize similare s-au realizat și pentru nivelul Ti 3p. A fost caracterizat materialul Li:ZnO (LZO) sub forma de straturi de diferite grosimi: din punctul de vedere al proprietatilor electrice si optice, potențialul caracter ferofelectric al structurilor LZO/Pt (măsurători piroelectric), mecanismele de transport de sarcina, comportamentul dielectric în camp alternativ (măsurători de spectroscopie de impedanță). De asemenea au fost caracterizate structuri multistrat Ba TiO₃/AZO dupa care s-au realizat si studiat structuri epitaxiale multistrat LZO/AZO.

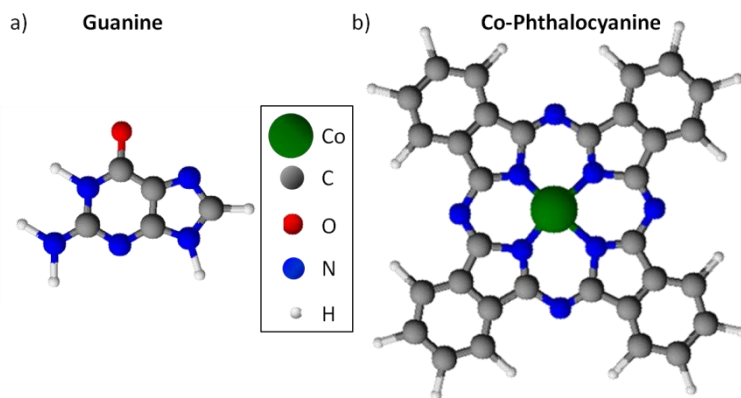


Fig. 5 Reprezentare schematică a celor două unități moleculare
a) Guanine b)Co-Phthalocyanine

Materialele multifuncționale în special multiferocii, prezentând un cuplaj de ordine feromagnetică și ferofelectrică, sunt de mare interes pentru potențialele aplicații în generația următoare de dispozitive electronice datorită caracteristicii lor de a-și schimba proprietățile magnetice sub acțiunea unui câmp electric și a celor de ordine de sarcină electrică sub acțiunea unui câmp magnetic. În cadrul fazei **Studiul preparării multiferocilor organici prin auto-asamblare** am urmat intelegerea mecanismelor de creștere și a proprietatilor structurilor formate prin combinarea moleculelor magnet

(de Cobalt-Phthalocyanine) cu moleculele polare (de Guanine) –vezi Fig. 5. Probele au fost depuse prin MBE organica (OMBE) pe diferite substraturi în funcție de tehnici experimentale de caracterizare (HOPG – highly oriented pyrolytic graphite, Au(110), Si(111) oxidat, ITO/PET – Indium Tin Oxide/Polyethylene Terephthalate). Pentru studiul proprietăților morfologice s-au folosit tehnici de studiu de suprafață Scanning Probe Microscopy (SPM). Scanning Tunneling Microscopy (STM) a fost utilizat pentru caracterizarea in-situ a sistemelor moleculare în prima fază de creștere iar pentru investigarea comportamentului filmelor moleculare s-a folosit Atomic Force Microscopy (AFM) și în modul de funcționare Piezoresponse Force Microscopy (PFM) pentru investigarea comportamentului ferofelectric și/sau piezoelectric. Pentru caracterizarea spectroscopică s-a folosit X-Ray Photoelectron Spectroscopy (XPS). Măsurările magnetice au fost realizate în principal prin Superconducting Quantum Interference Device

(SQUID). Măsurători test au fost realizate și prin Magneto-Optical Kerr Effect (MOKE) și Physical Property Measurement System (PPMS).

O alta directie de studiu a fost legata de problematica fazelor magnetice si feromagnetice, ca si de structura electronica, magnetica si legatura cu proprietatile structurale.

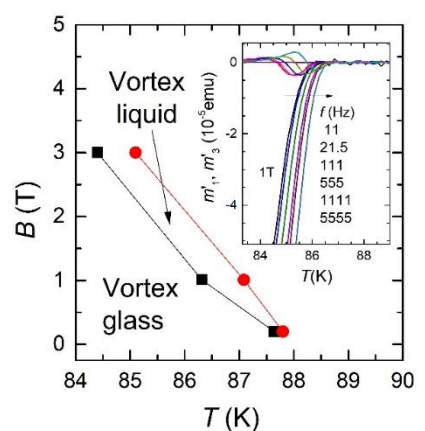
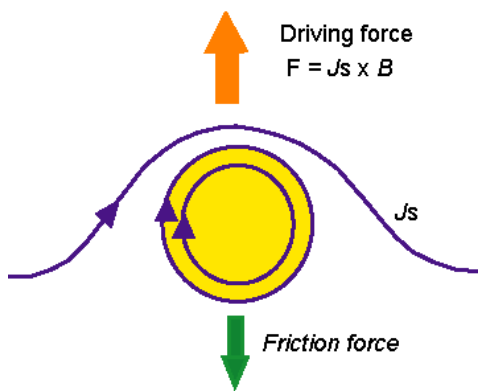
In cadrul fazei **Efectul de pic in curbele de magnetizare ale supraconductorilor de speta a II-a** am analizat probe supraconductoare clasice, cuprați și calcogenide și am aratat ca efectul de pic se datoreaza dezordonării sistemului de vortexuri indusă de pinning. Dezordonarea sistemului de vortexuri a fost evidențiată prin analiza relaxării magnetice. Astfel, $\text{La}_{1.8}\text{Sr}_{0.2}\text{CuO}_4$ prezinta o dezordonare continuă a sistemului de vortexuri între campul de onset H_{on} și campul de peak H_p . Aceasta înseamnă că peste H_{on} avem o fază de vortexuri complet dezordonată. In cazul monocrystalului $\text{La}_{1.88}\text{Sr}_{0.12}\text{CuO}_4$, unde prezența strip-urilor statice de sarcină și spin inhibă formarea solidului quasi-ordonat de vortexuri, al doilea maxim din curbele de magnetizare dispare.

Intelegerea, pe baza interactiilor elementare, a comportarii aceliasi tip de supraconductori (de speta a II-a) aflatii in campuri magnetice suficient de intense a fost obiectul fazei **Analiza raspunsului magnetic ac al supraconductorilor in starea de vortexuri**. Vortexurile sunt cuantele fluxului magnetic in supraconductorii de speta a II-a in campuri magnetice suficient de intense. Vortexurile interactioneaza electromagnetic prin forte Lorentz cu curentul electric din proba ($F_L = J \times \Phi_0 / \Phi_0 |B|$), dar si cu defectele nanometrice existente in material, prin fixarea lor pe acestea (defecte numite centri de fixare) – Fig. 6 stanga. Au fost efectuate masurari de relaxare magnetica $m(t)$ in DC iar in AC s-a masurat raspunsul probei la mai multe frecvențe v ale campului magnetic h_{ac} obtinand curba de relaxare dinamica $m'(t=1/f)$. Campul magnetic a fost aplicat perpendicular pe proba iar in cazul AC s-a mai aplicat si un camp magnetic static DC concomitent cu h_{ac} , si a fost extras campul electric la marginea probei. Din analiza diagramei de fază a vortexurilor (Fig. 6 – dreapta) se poate observa prezenta a doua regimuri de dinamica: sticla de vortexuri si lichid de vortexuri. Ele sunt separate de linia de irreversibilitate (B_{irr}, T_{irr}). Peste aceasta linie, centrii de pinning nu mai sunt eficienți și curba de magnetizare $M(H)$ in DC devine reversibilă. La $T = T_{irr}$ neliniaritatile in raspunsul magnetic AC dispar si prin urmare armonica a 3-a devine zero. In opinia autorilor fazei, vitezele foarte mari, de 25 cm/s, din timpul masurarilor de susceptibilitate AC exclud modelele teoretice existente la ora actuala care considera fenomene de creep colectiv sau vortex glass in masurările de AC; este imperios necesar sa se ia in considerare bariera de pinning, care nu trebuie confundata cu bareiera Zeldov.

Fig. 6

Forța de antrenare Lorentz $F = J \times B$ și
forța de frecare $F = \eta v$ care acionează
asupra unui vortex (stanga)

Diagrama de fază a vortexurilor până
la 3 T. În figura inserată sunt
prezentate armonica 1 și a 3-a a lui m'
în funcție de temperatură la mai multe
frecvențe (dreapta)



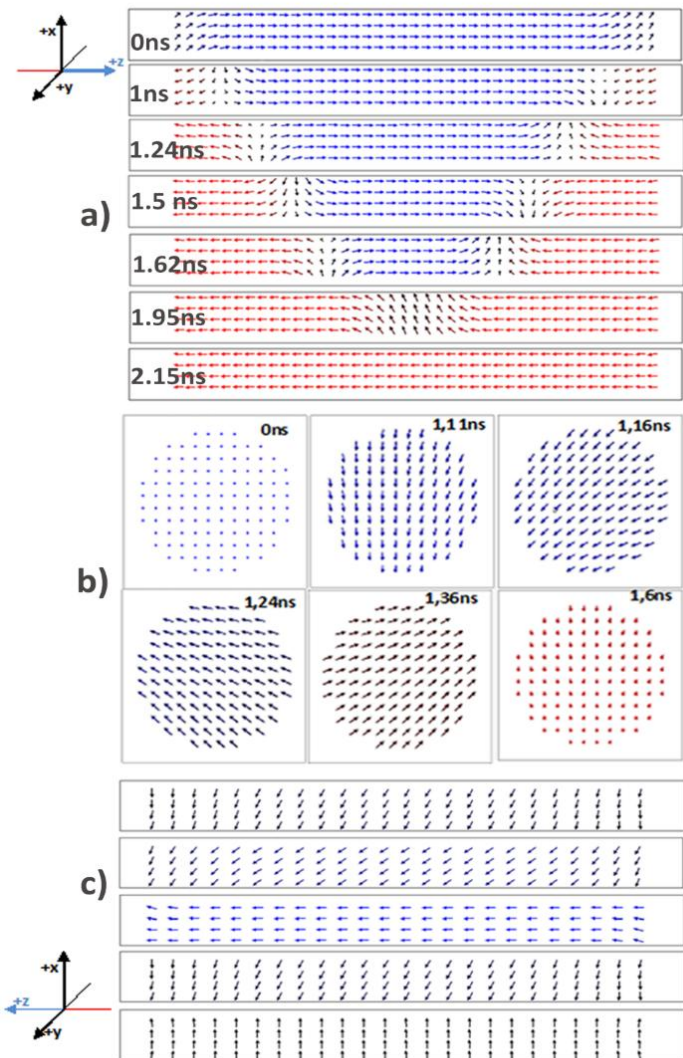


Fig. 7. Imagini ale configuratiilor de moment magnetic obtinute in timpul procesului de switching: prin sectiunea mediana de-a lungul axei nanofirului (6a), prin sectiunea perpendiculara pe axa nanofirului (6b) si prin sectiunea centrala de-a lungul axei nanofirului (6c).

Faza **Magnetism si magneto-rezistenta in structuri bi- si unidimensionale nanometrice** a avut drept scop elucidarea modului in care are loc reversibilitatea magnetizarii si se dezvoltă structura de domenii (inclusiv evolutia peretilor de domenii in timp) in camp aplicat precum si influenta modificarilor configuratiilor de spin asupra fenomenelor de magnetoconductie. Studiul proceselor implicate in reversibilitatea magnetizarii s-a realizat pe baza unor modele micromagnetice adecvate si s-a verificat experimental pe sisteme fizice simple constand din nanofire cilindrice individuale cu diametre specifice propagarii peretilor de domenii in mod transversal, prin simulari micromagnetice. Ca si suport fizic pentru aceste sisteme, au fost considerate nanofire de Ni-Cu. Simularile au fost realizate folosind programul cu licenta publica OOMMF (Object Oriented Micromagnetic Framework). Au fost efectuate caracterizari magneto-rezistive complexe, incluzand si studii vizand deplasarea de domenii magnetice sub influenta curentilor electrici si respectiv corelatiile magneto-structurale. Prezentam in Fig. 7 imagini ale configuratiilor de moment magnetic obtinute in timpul procesului de switching in timpul simularilor micro-magnetice dependente de timp. Din analiza propagarii peretelui de domeniu au rezultat vitezele de propagare si timpii de nucleere specifici modului de aplicare a campului extern.

In cadrul fazei **Controlul proprietatilor functionale cu ajutorul unor adaosuri inteligente in supraconductorul pe baza de MgB₂ obtinut prin SPS** am sintetizat materialul MgB₂ (cu si fara diverse adaosuri) si l-am caracterizat prin difractie de raze X si microscopie electronica, inclusiv harti EDS. Am utilizat in special masurarile electromagnetice (folosind sisteme MPMS si PPMS) la temperaturi joase. Adaosurile inteligente pot conduce la un control al fortei de fixare prin modificarea curbei $f_p(h)$, astfel incat sa exista o separare a maximului in forta de fixare. Prezentam in Fig. 8 imagine de microscopie electronica si hartile EDS de elemente (Mg, B, Te, Ho, O) pentru proba cu compozitia (MgB₂)_{0.99}(Te(HoO_{1.5})_{0.01} x:y 0.25/0.75. Imaginea compozita (primul rand, dreapta) este formata prin suprapunerea hartilor de elemente individuale. Mentionam ca dintre probele preparate (detalii in faza), aceasta proba prezinta valori maxime pentru J_{c0} si $\mu_0 H_{irr}$.

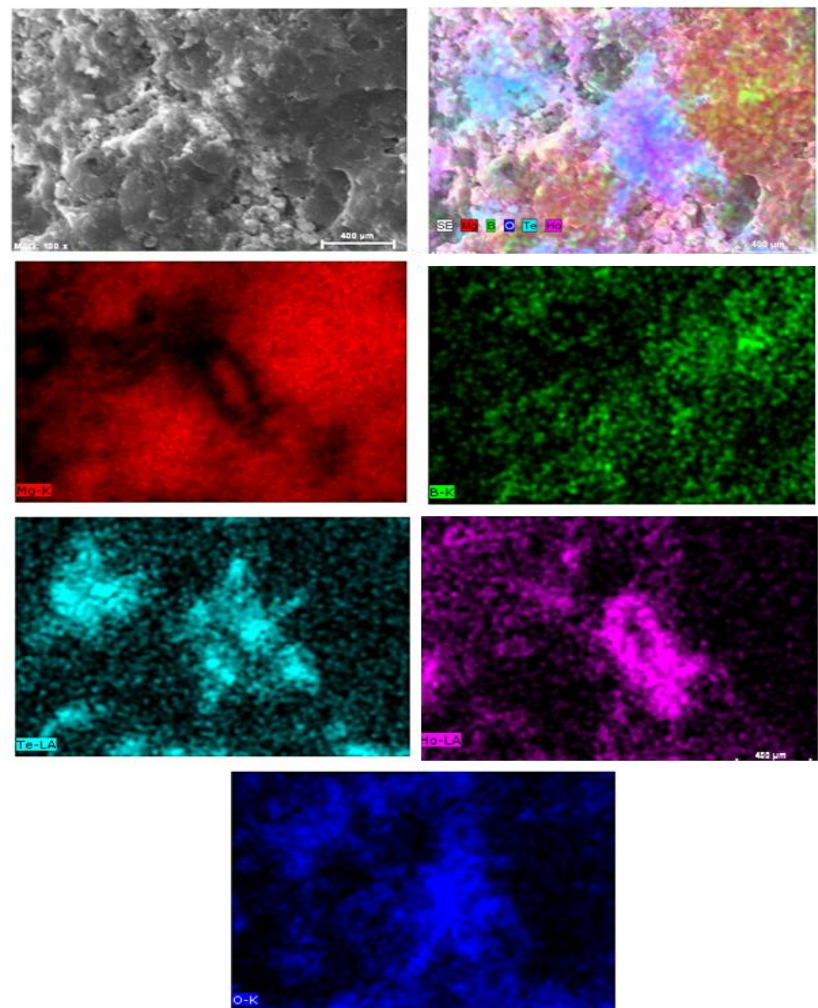


Fig. 8.

Imagine de microscopie electronica si hartile EDS de elemente (Mg, B, Te, Ho, O) pentru proba cu compositia $(\text{MgB}_2)_{0.99}(\text{Te}(\text{HoO}_{1.5}))_{0.01}$ x:y 0.25/0.75

Sistemele electronice puternic corelate prezinta o serie de proprietati interesante datorate unei densitati de stari electronice crescute in vecinatatea nivelului Fermi. Studiul realizat in faza **Efecte de comutatie induse in sisteme electronice puternic corelate** s-a focalizat asupra potentialului aplicativ al tranzitiilor intre stari metalice/magnetice si stari izolatoare/nemagnetice in sisteme simple cum sunt solutiile solide ale metalelor 3d (e.g. Fe, Mn) cu semiconductori (e.g. Si, Ge) sau pnictogeni. Astfel de materiale se pot obtine in diferite forme, bulk, straturi subtiri, composite cu gradient functional. Se urmareste ca prin ajustari compozitionale astfel de tranzitii sa fie plasate in domenii de parametri de comutatie (temperatura, camp magnetic) de interes pentru aplicatii. Am reusit sa stabilim o noua modalitate de procesare in vederea obtinerii solutiilor solide de tip Fe(Si,Ge). Metoda propusa implica un proces de melt-spinning (topire prin inductie si racirea rapida prin suflare a topiturii cu un jet de Ar pe o roata din Cu care se roteste cu aproximativ 2000 rpm) urmata de macinare si sinterizare a pulberilor rezultate prin metoda SPS (spark plasma sintering sau sinterizare asistata de camp electric). Am intreprins o caracterizare structurala (RX) a compusilor pe parcursul ciclului de procesare. Am facut studii sistematice asupra evolutiei dependentei de temperatura a rezistivitatii electrice in sistemul Fe(Si,Ge) in functie de concentratie si de dimensiunile de cristalite, am analizat proprietatile de transport electric si efectul magnetorezistiv in acest sistem.

Investigarea efectelor de dimensiune in nano-obiecte si sisteme cuantice s-a constituit intr-o alta tema de cercetare.

In cadrul fazei **Efecte de interactie in reteaua Lieb mesoscopica, stari de spin si proprietati magnetice in benzi plate** am fost interesati de studiul proprietatilor magnetice in retele bipartite de tip Lieb. Pentru studiul efectelor de interactie in reteaua Lieb mezoscopica am folosit Hamiltonianul Hubbard extins, care contine atat termenul de interactie cu raza scurta de actiune corespunzator la doi electroni cu spini opusi aflati in acelasi nod al retelei cat si termenul corespunzator interactiei de raza lunga dintre doi electroni aflati in noduri diferite ale retelei, indiferent de spinul acestora. Pentru acest model am obtinut o formula analitica pentru energia de spin, egala cu despicarea dintre energia de singlet si cea de triplet. Aceasta energie este un indicator al spinului starii fundamentale

a sistemului. Problema de baza in proprietatile magnetice in retelele studiate este nerespectarea regulii Hund. Fenomenul este explicat pornind de la modelul de 4 stari uniparticula, 2 stari cuantice degenerate si doua stari simetric plasate cu energia mai mare si mai mica decat a starilor degenerate. Atunci cand cele doua stari degenerate sunt ocupate cu un singur electron fiecare, se obtine o degenerare de spin, cu o stare de singlet si 3 stari de triplet. Daca se considera interacția intre cei doi electroni, prin calculele efectuate am obtinut urmatoarele doua rezultate: i) starea de triplet devine stare fundamentala in cazul in care energia de schimb dintre cei doi electroni pe cele doua nivele degenerate este pozitiva; ii) in anumite conditii particulare, ca in cazul retelelor de tip Lieb la jumata de umplere, termenul de schimb pentru doi electroni aflati pe doua nivele degenerate este zero. Considerand insa si interacția celor doi electroni cu restul electronilor din retea, in ordinul al doilea al teoriei perturbatiilor, termenul de schimb devine negativ.

O problematica inrudita a fost tratata in faza **Comportamentul structurilor bi- si quasi-bidimensionale** (grafena, fosforena, silicena) **in prezenta defectelor, dopantilor si a campului electric extern**. Am modelat proprietatile spectrale si de transport cuantic in reteaua finita de fosforena in prezenta dezordinii de tip Anderson. Ne-am focalizat atentia asupra comportamentului starilor de margine zig-zag si am pus in evidenta ca delocalizarea acestor stari se datoreaza amestecului dintre starile cu caracteristici uni- si bi-dimensionale. Efectele delocalizarii acestor tipuri de stari sunt analizate cu ajutorul inversului numarului de participare si a probabilitatii de localizare pe margine. Din calculul coeficientilor de transport ca functie de dezordine am aratat ca efectul delocalizarii este insotit de o crestere a valorii conductantei. Am aratat ca starile de margine zig-zag sufera un proces de delocalizare, datorita amestecului cu starile extinse care apartin benzilor de valenta si conductie, intr-un interval de dezordine intermediar. Acest efect a fost observat si in masuratori de transport cuantic unde conductanta creste in intervalul de dezondini unde se manifesta delocalizarea (Fig. 9).

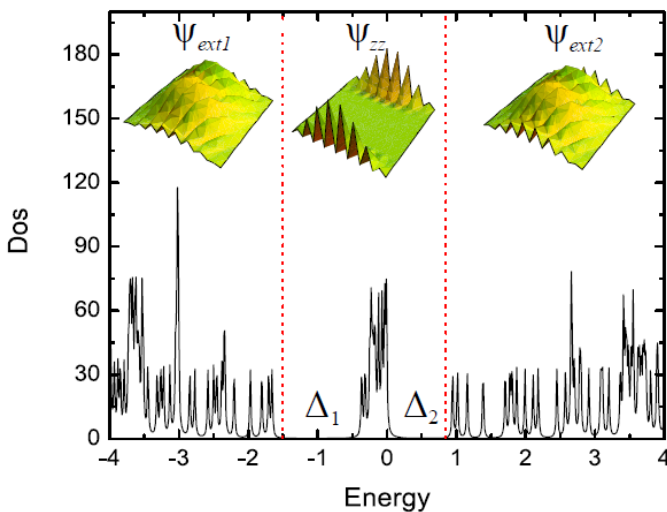


Fig. 9

Densitatea de stari in functie de energie pentru o retea finita rectangulara de fosforena. Figurile interioare prezinta doua tipuri de stari a) stari bidimensionale extinse ψ_{ext} care apartin benzilor de conductie si valenta si b) stari de margine zig-zag ψ_{zz} unidimensionale in centrul spectrului energetic. Separarea energetica dintre cele doua tipuri de stari este notata cu Δ_1 si Δ_2 . Numarul de noduri care alcătuiesc reteaua este de 17×10 .

Am investigat de asemenea **Procese de tunelare mediate fotonice in doturi cuantice**. In cadrul fazei: i) am modelat procesele de tunelare in doturi cuantice in prezenta campului de radiatie sau a unor moduri optice in cavitati cuantice; ii) am facut investigatii teoretice asupra cuplajului spin-foton in sisteme mezoscopice in regim de neechilibru (bias finit). Am studiat din punct de vedere teoretic efectele proceselor de recombinare electron-gol asupra proprietatilor de transport ale sistemelor de doturi cuantice active optic imersate in microcavitatii. Acest studiu este justificat de interesul in crestere pentru aplicatiile doturilor cuantice self-assembled in nano-optoelectronica si spintronica precum si prin lipsa unui formalism coherent pentru calcularea curentului de sarcina si spin in astfel de structuri. Sistemul pe care il consideram este unul studiat pe larg din punct de vedere experimental si teoretic: un dot cuantic in forma de disc sau de lentila (lens-shaped) integrat intr-un fir cuantic quasi-unidimensional sau intr-o structura p-i-n de tip dioda. Transportul prin sistem este asigurat de contacte metalice pe care se poate aplica o tensiune sursa-drena. Cuplajul dintre electroni/goluri si fotoni este descris de Hamiltonianul H_{el-ph} . In cadrul formalismului cuantic pentru transport in sisteme deschise s-a obtinut ecuatia Master pentru operatorul de densitate redus ρ al sistemului QD+cavitate, in care apar termenii datorati proceselor de recombinare spontana si cele corespunzatoare pierderilor cavitatii, ca si efectul cuplajului cu rezervoarele de particula. Am gasit ca: 1) interacția dotului cuantic cu modul optic al cavitatii modifica in general energiile necesare tunelarii electronilor din cele doua benzi; 2) formalismul si ec. Master pe care le propunem in acest studiu descriu in mod adevarat

contactele cu rezervoarele de particule si permit calcului simultan al curentilor (tranzienti sau stationari) si numarului de fotoni.

In cadrul fazei **Interactia exciton-fonon ca proces optic neliniar in structuri mesoscopice excitate optic rezonant** ne-am propus sa relevam un proces optic neliniar generat prin amestecul a doua campuri optice : photoluminescenta excitonica si emisia laser de excitare. In acest scop am investigat teoretic si experimental TiO_2 , PbI_2 , CdS si Si . Prezentam aici ca exemplu (Fig. 10) o vecinatate a benzilor $\text{PbI}_2 / \text{TiO}_2$ astfel incat transferul de sarcina de la PbI_2 la TiO_2 determina o amplificare a liniei Raman a TiO_2 si o scadere a intensitatii benzii Raman asociata cristalului de PbI_2 . Un studiu al imprastierii Raman stimulata in amestecuri de semiconductori de tipul $\text{PbI}_2/\text{TiO}_2$, PbI_2/Si si CdS/Si , a fost realizat pe baza interactiei exciton-fonon. Plecand de la studiul interactiei exciton-fonon in **materiale pure de PbI_2 si CdS , principalul scop a constat in evidențierea transferului de energie in amestecurile vizate**. Datorita acestui proces de transfer energetic de la PbI_2 sau CdS la TiO_2 sau Si , liniile Raman ale TiO_2 si Si sunt amplificate la temperaturi scazute, cand lumina excitonica induce un transfer de energie la toti componentii amestecului. Prin urmare, un proces optic neliniar ia parte cu implicarea a doua campuri optice: lumina laser incidenta si luminescenta PbI_2 sau CdS . Acest scenariu este bine sustinut de diagramale energetice de benzi calculate prin DFT, care prezic un mecanism de transfer de sarcina ce implica o migrare a electronilor din banda de conductie a PbI_2 sau CdS in banda de conductie a TiO_2 sau Si .

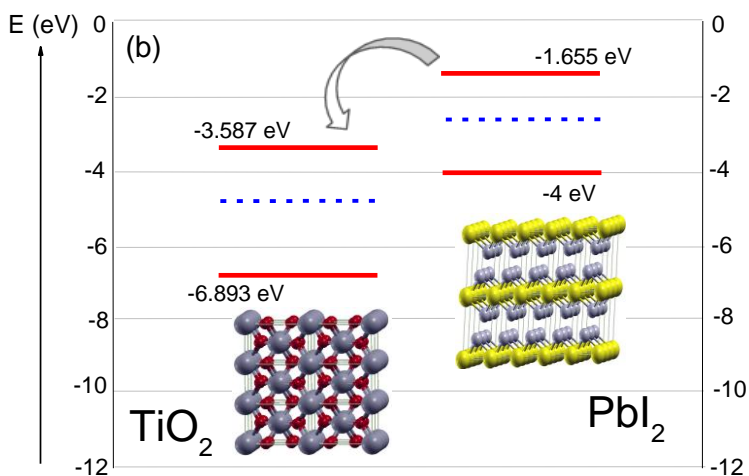


Fig. 10
Diagrama nivelor energetice ale TiO_2 si PbI_2 cu nivelele Fermi corespunzatoare (liniile intrerupte albastre) localizate la -4.8192 si -2.7818 eV. Structura cristalina a celor doua materiale este de asemenea prezentata in aceasta figura.

Studiul **proceselor optice in nanostructuri luminescente (LiYF_4) dopate cu pamanturi rare** a facut obiectul unei alte faze, in care am studiat influenta dimensionalitatii reduse a structurilor uni-dimensionale (tip bagheta) asupra fenomenelor optice, prin comparatie cu cele unidimensionale (de exemplu nanocristale) si materiale microcristaline (pulberi sau pastile). Am sintetizat prin mai multe metode structuri uni-dimensionale luminescente ($\text{LiYF}_4:\text{Eu}^{3+}$), le-am caracterizat din punct de vedere structural (prin difractie de radiatii X) si morfologic (prin microscopie de electroni SEM); In final am analizat procesele luminescente in aceste nanostructuri folosind spectroscopia de luminescenta si cu rezolutie temporală (timpi de viata ai luminescentei) prin comparatie cu cele unidimensionale (de ex. nanocristale) si materiale microcristaline. Pentru o investigare mai detaliata a influentei dimensionalitatii reduse a structurilor uni-dimensionale (tip fir/bagheta) asupra fenomenelor optice s-au folosit proprietatile luminescente asociate „ionului sonda” Eu^{3+} .

O alta directe dezvoltata in fazele noastre a fost legata de proprietatile catalitice si fotocatalitice, de aplicatiile in biologie si medicina.

In cadrul fazei **Heterostructuri nanometrice cu proprietati duale, magnetice si fotocatalitice, pentru aplicatii in terapii antitumorale prin hipertermie si procese redox** am fost interesat de identificarea unor metode si proceduri de sinteza adecvate pentru obtinerea de nanocompozite de tip oxid de fier- TiO_2 cu proprietati duale, hipertermice si fotocatalitice, favorabile considerarii acestora ca potențiali agenti activi pentru terapii antitumorale bazate pe hipertermie si efect fotodinamic. Aceasta s-a realizat prin sinteza si caracterizarea complexa a unor heterostructuri nanometrice cu potential pentru aplicatii in terapii antitumorale bazate pe principii active duale - hipertermie si procese oxidative. Am sintetizat nanoparticule magnetice prin metoda precipitarii, si nanoparticule de TiO_2 prin tratamentul termic al hidroxidului de titan amorf rezultat ca urmare a hidrolizei butoxidului de titan ($\text{C}_{16}\text{H}_{36}\text{O}_4\text{Ti}$) in prezenta apei deionizate sau a apei din mediul ambiant. Am realizat apoi sinteza nanocompozitelor oxid de fier- TiO_2 prin hidroliza directa a butoxidului de titan si prin metoda sol-gel. Pentru sinteza heterostructurilor

am folosit metode chimice in solutie (ex. precipitare/coprecipitare) combinate cu elemente neconventionale (camp de microunde, sonochimie). Pentru analiza produsilor de sinteza am facut masurari privind structura, forma, dimensiunea, suprafata specifica, stabilitatea coloidala, hidrofilicitatea /hidrofobicitatea, proprietatile magnetice, proprietatile optice, proprietatile photocatalitice.

TiO_2 s-a dovedit a fi cel mai eficient photocatalizator pentru degradarea contaminanților din apă și aer în photocataliza heterogenă, dar din pacate produșii finali nu sunt întotdeauna substanțe inofensive – de exemplu în oxidarea photocatalitică a NO_x (procesul de NO_x), unde produsul obținut, în general, este NO_2 . În cadrul fazei **Procese de NO_x pe semiconductori preparați prin PLD** ne-am propus să preparam prin PLD unele sisteme photocatalitice bazate pe TiO_2 capabile să realizeze procesul de NO_x cu ajutorul luminii din domeniul vizibil. În cadrul acestei faze s-au utilizat trei dopanți, Fe, Mn și Au. Depunerea s-a realizat pe placete de Si (111). Filmele subțiri TiO_2 dopate au fost preparate în interiorul unei camere de reacție din oțel inoxidabil. Țintele au fost preparate plecând de la materiale sintetizate. Filmele realizate au fost caracterizate prin SEM și spectroscopie Raman. Fotoactivitatea de NO_x a fost determinată prin măsurarea concentrației de gaz NO la ieșirea unui reactor de cuarț în cursul iradierei cu un amestec gazos de 2 ppm NO și aer cu un raport volumic de 1:1. Reactorul a fost cuplat la un analizor de gaz, echipat cu un detector NO_x , și s-au prelevat probe de gaz. Experimentele au demonstrat că oxidarea NO în absența photocatalizatorului este neglijabilă. Activitatea photocatalitică a materialelor noastre a fost caracterizată prin măsurarea scăderii concentrației de NO la ieșirea din fotoreactor.

Aplicațiile de mediu au fost vizate și în faza **Determinarea mecanismului chimico-fizic de interacție cu noxele habituale pentru sistemul ternar $\text{SnO}_2\text{-CuO-WO}_3$** . Pornind de la observația că societatea modernă acordă o importanță foarte mare calității alimentației și apei, dar nu și calității aerului (un om inhalează în medie 15 kg de aer zilnic), în cadrul fazei s-a studiat sistemul ternar $\text{SnO}_2\text{-CuO-WO}_3$ (SWC), interesant datorită proprietăților specifice gaz-senzitive ale fiecaruia dintre oxizi semiconductori constituenti. Strategia abordată a fost aceea de Operare în Temperatura Pulsată (OTP) a senzorilor de $\text{SnO}_2\text{-CuO-WO}_3$ calcinat la 600 °C și $\text{SnO}_2\text{-CuO-WO}_3$ calcinat la 800 °C, între temperatura rece (117 °C) și cea caldă (335 °C). Mecanismele chimico-fizice implicate în detectia H_2S au fost identificate prin corelarea informațiilor de conversie catalitică cu proprietățile morfologice ale materialelor, reprezentate în Fig. 11

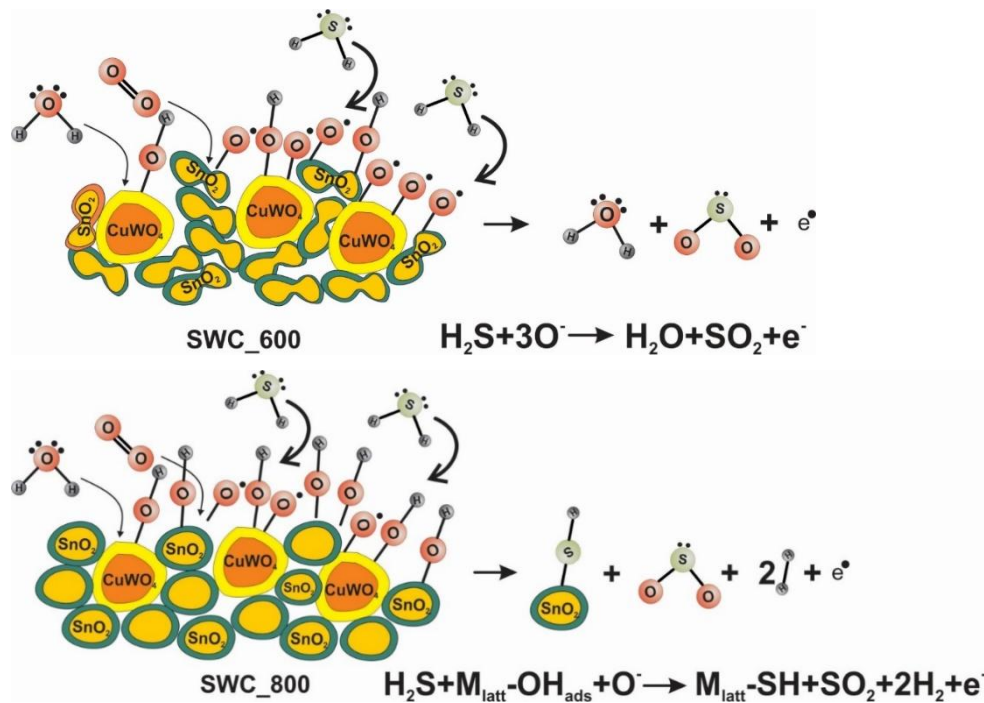


Fig.11

Mecanismul de interacție al H_2S cu O^- adsorbit la suprafața SWC_600 – sus
și
mecanismul de interacție al H_2S cu OH^- adsorbit la suprafața SWC_800 - jos

Aplicații de cataliza / conversia energie au facut obiectul fazei **Dependenta polarizabilitatii de frecventa, temperatura si tensiunea electrica continua in semiconductori calcogenici/compusi oxidici care au aplicatii in conversia energiei/cataliza**. Ne-am propus să arătăm că există o dependență de frecvență, de temperatură și de tensiunea electrică continuă a polarizabilității în semiconductori calcogenici/compusi oxidici care au aplicatii în conversia energiei/cataliza. Am analizat 2 tipuri de compusi: i) electroliti solizi pe baza de oxid de ceriu(IV) cu dopanți ioni de Ca, Sr sau Y. Acești electroliti (semiconductori cu banda largă) au aplicabilitatea potentială în celule de

combustie; ii) suporturi de catalizatori sau catalizatori pe baza de cloisite cu ioni de metale tranzitionale cu valenta variabila (Mn sau Cu) incorporati. Metodele de investigatie folosite au fost: spectroscopia dielectrica de banda larga, spectroscopia in IR cu transformata Fourier, termogravimetria, difractia de raze X. Am urmarit stabilirea relatiei dintre componozitie/structura si proprietatile fizice pentru doua familii diferite de materiale. Apreciam calitativ influenta benefica a ytriului din punct de vedere al componozitiei de faza, in special pentru probele E2(CaY) si E3(SrY), comparativ cu probele E1(CaSr) si E4(CASrY). Spectrele FTIR ale probelor de cloisit arata inlocuirea cationului alchil-amoni cu cationii cu proprietati catalitice. Experimentele de spectroscopie dielectrica au fost efectuate pe un domeniu destul de larg de temperatura atat pentru materialele electroliti solizi cat si pentru materialele stratificate de tip cloisit; in cazul materialelor stratificate, aceste determinari au permis sa constatam ca mobilitatea ionilor este restrictionata datorita interactiei de suprafata cu materialul anorganic. Dependenta de temperatura a vitezelor de relaxare, ale proceselor observate in cazul materialelor stratificate de tip cloisit, se supune unui model Ryabov.

Proiect 2: Sintiza si caracterizarea materialelor nanostructurate, straturilor subtiri si heterostructurilor;

Faza *Prepararea prin oxidare termica si pulverizare catodica a heterostructurilor de tip miez-coaja ZnO-CuO pentru aplicatii de tip diode* a avut ca obiectiv obtinerea prin oxidare termica si pulverizare catodica a unor heterostructuri de tip miez-coaja ZnO-CuO in vederea integrarii acestora in dispozitive de tip dioda.

Studiile au fost focalizate pe: i) prepararea heterostructurilor de tip miez-coaja ZnO-CuO prin acoperirea nanofirelor de ZnO cu un film subtire de CuO, ii) investigarea proprietatilor morfologice, structurale si optice ale heterostructurilor obtinute si iii) caracterizarea electrica a nanofirelor singulare de ZnO-CuO si masurarea caracteristicilor dispozitivului de tip dioda obtinut. Astfel, prin oxidarea termica in aer a unor folii de zinc au fost obtinute nanofire de ZnO, ulterior acestea fiind acoperite prin pulverizare catodica cu magnetron in RF cu un film de CuO. Timpul de depunere folosit in etapa de acoperire a nanofirelor de ZnO au fost: 18 min, 60 min si 120 min.

Proprietatile morfologice, structurale si optice ale heterostructurilor ZnO-CuO au fost investigate prin microscopia electronica de baleaj – SEM, microscopia electronica analitica de inalta rezolutie – TEM/STEM, EDX, difractie de raze X, reflexie si fotoluminescenta (Fig.1)

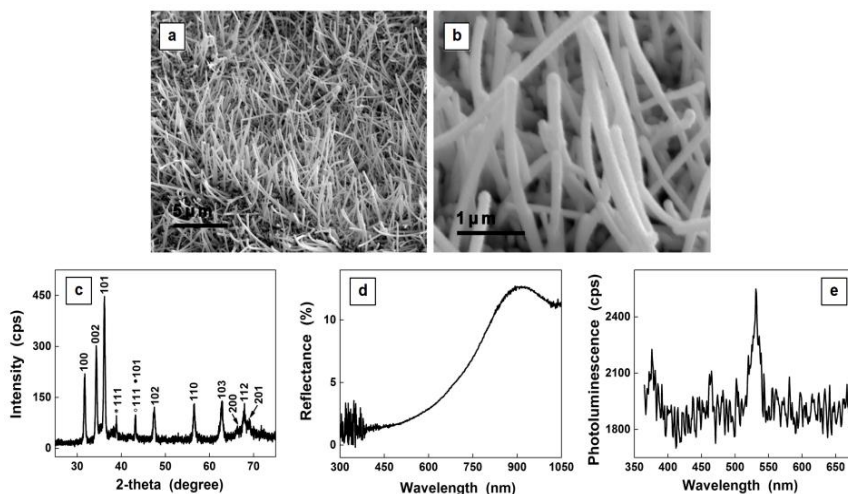


Figura 1. Imaginile SEM (a, b), difractograma de raze X (c), spectrul de reflexie (d) si spectrul de fotoluminescenta (e) ale unor nanofire ZnO-CuO (pentru timp de acoperire 120 min).

Din imaginile SEM s-a observat ca nanofirele de ZnO au diametre de ~30 nm, in timp ce nanofirele de ZnO-CuO sunt caracterizate de diametre de ~35-65 nm (proba obtinuta pentru un timp de depunere de 18 min) si de ~150-200 nm (proba obtinuta pentru un timp de depunere de 120 min).

Cele trei probe investigate prezinta in difractogramele de raze X (Fig. 1c) maxime situate la 2θ : 31.7° , 34.3° , 36.2° , 47.5° , 56.6° , 62.8° , 66.3° , 68.0° si 69.8° corespunzand planelor cristaline (100), (002), (101), (102), (110), (103), (200), (112) si (201) ale fazei hexagonale (wurtzite) a ZnO.

In cazul nanofirelor de ZnO-CuO, proprietatile optice initiale ale nanofirelor de ZnO sunt modificate semnificativ de prezenta CuO. Astfel, daca in cazul spectrului de reflexie al probei obtinute, semnatura ZnO se mai pastreaza pentru timpi de depunere mic, aceasta aproape dispare in spectrul de reflexie al probei obtinute pentru un timp de depunere mare (Fig. 1d). In schimb este observata o crestere a absorbtiei in domeniul vizibil, asociata prezentei

stratului mai gros de CuO pe suprafata nanofirelor de ZnO. În spectrele de fotoluminescentă ale probelor investigate (Fig. 1e) pot fi identificate cele două benzi de emisie ale ZnO, dar intensitățile acestora scad pe măsură ce grosimea filmului de CuO depus crește. Acest efect de stingere al luminescenței ZnO este datorat, cel mai probabil, unui efect de captare al starilor excitate de către starile de suprafata ale CuO. Ipoteza este susținută și de faptul că raportul între intensitățile maximelor celor două benzi de emisie asociate ZnO se inversează în cele două probe având grosimi ale stratului de CuO diferite (în proba obținută pentru un timp de depunere de 18 min emisia de tip excitonic este dominantă, în timp ce în proba obținută pentru un timp de depunere de 120 min devine dominantă emisia asociată defectelor). Pentru integrarea nanofirelor singulare de ZnO-CuO în dispozitive de tip dioda, a fost utilizată tehnica EBL în vederea contactării nanofirelor. Imaginele SEM ale unui astfel de nanofir de ZnO-CuO contactat prin EBL sunt prezentate în Fig. 2a,b compozitia contactelor metalice fiind confirmată de analiza EDX a distribuției elementelor în acestea (Fig. 2b-detaliu).

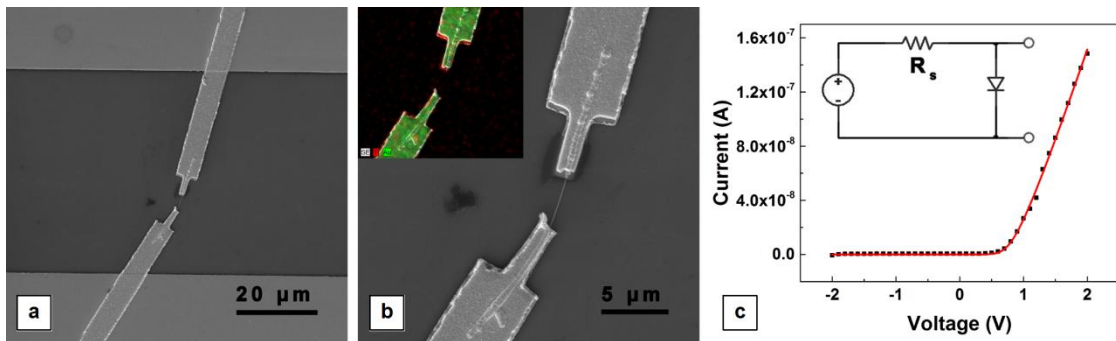


Figura 2. Imaginele SEM (a, b) și caracteristica curent-tensiune (c) ale unui nanofir singular ZnO-CuO contactat prin tehnica EBL. În detaliu: analiza EDX a distribuției elementelor în contactele de Ti/Au (b) și circuitul echivalent folosit pentru fitare.

Masurările electrice, realizate la temperatura camerei pe nanofire singulare de ZnO-CuO având capetele contactate de electrozi interdigitati, au pus în evidență un comportament de dioda pentru acest tip de heterostructură.

Faza Efectul magnetorezistiv in aliaje nanostructurate cu tranzitii de faza de ordinal I si II si-a propus studiul efectului magnetorezistiv in aliaje nanostructurate cu tranzitii de faza de ordinul I si II.

Datorită potențialului multifuncțional atractiv atât pentru știință fundamentală, cât și pentru aplicațiile tehnologice, am considerat oportuna obținerea de rezultate privitoare la proprietățile de magneto-transport în aliaje cu transformări structurale (transformare martensitică TM) și magnetice (T_c) simultane și studiul comparativ privind efectul magnetorezistiv (MR) în probe policristaline masive (bulk) și benzi metalice răcite ultrarapid cu componentă nominală propusă: Ni₅₅Nd₂Fe₁₈Ga₂₅, Ni₅₀Fe₂₀Ga₂₇Cu₃, Ni₅₀Mn₂₀Ga₂₇Cu₃ și notate: Nd₂, FeCu3, respectiv MnCu3. Tratamente termice de ordonare și stabilizare a austenitei au fost efectuate în cupor în atmosferă controlată de argon, timp de 20 minute la 400 °C (TT1) și respectiv de 20 minute la 800 °C (TT2). Pentru a caracteriza magnetorezistența electrică în intervalul de temperatură al TM s-a măsurat variația cu temperatura a rezistivității în camp zero, ρ(0), și în câmpul magnetic de 5T, folosind metoda standard în patru puncte, curentul electric de-a lungul benzii, iar câmpul magnetic perpendicular pe benzi.

In continuare s-a observat că variația MR cu temperatura pe proba FeCu3_Bulk, prezintă o schimbare step-like caracteristică, un minim în MR la TM precum și un maxim larg pe intervalul de tranzitie ordine-dezordine magnetică corespunzător T_c (Fig.1a). Maximul MR negativ atins la temperatura Curie pe proba bulk se datorează împrăștierii purtătorilor de sarcină pe fluctuațiile magnetice în jurul T_c. Dependentele de temperatură ale MR și magnetizării sugerează că există o puternică corelație între procesele de magnetizare și MR. În contrast cu probele masive în care efectul este absent, magnetizarea benzilor FeCu3 prezintă sub T_c o scădere bruscă a magnetizării asociată cu picul/vârful Hopkinson (Fig. 1a, 1b, 1c – curbele cu gri inchis). Saltul magnetizării la TM este cu 60% mai mare pentru MnCu3_TT1 decât pentru MnCu3_AQ, sugerând că ordinea atomică mai mare indusă de TT în austenită este moștenită, de asemenea, de martensită. În mod surprinzător, benzile FeCu3_AQ relevă o creștere a magnetizării la trecerea de la austenită la martensită sugerând o anizotropie magneto-cristalină inferioară a martensitei față de austenitei. Acest lucru poate fi explicat dacă luăm în considerare faptul că distorsionarea structurală cauzată de TM în sisteme cu dezordine atomică mare poate induce o stare similară cu cea amorfă și comportament magnetic moale.

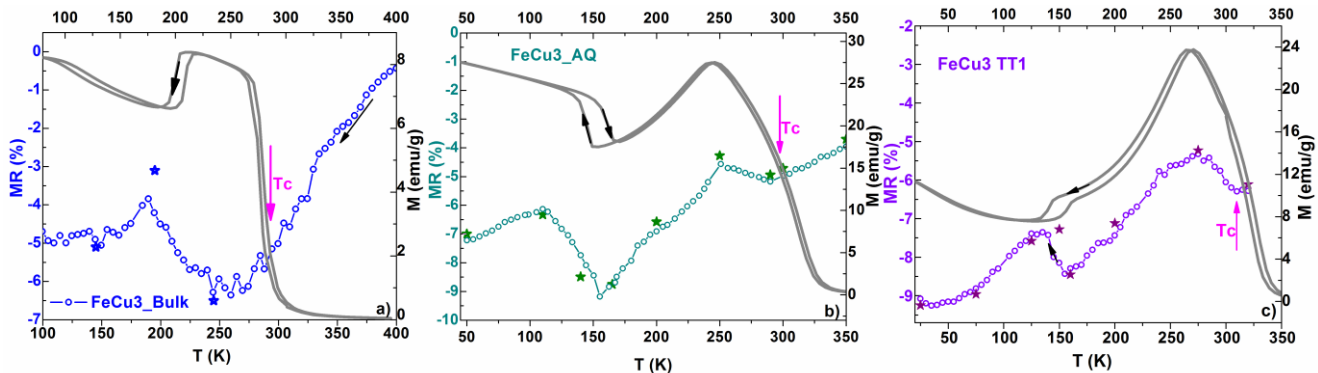


Fig. 1 a) Efectul MR si magnetizarea ca functie de temperatura pentru proba masiva FeCu3_Bulk; Acelasi lucru pentru b) benzile FeCu3_AQ; si c) FeCu3_TT1. Punctele reprezentate cu stelute sunt valorile efectului MR calculate din dependenta rezistivitatii de campul magnetic aplicat la diferite temperaturi.

Un comportament similar a fost observat de către Qian și colaboratorii. Prin evaluarea dependenței de temperatură a câmpului de saturare, în timpul transformării de pre-martesitice, s-a ajuns la concluzia că anizotropia austenitei crește sub T_c până la TM. În benzile FeCu3_AQ și FeCu3_TT1 un maxim (în modul) de valoare negativă s-a obținut pentru MR, pe transformarea martensitică. Fig.2 prezintă comportamentul termo-magnetic pentru probele MnCu3_AQ (stanga) și respectiv TT (dreapta). Scaderea abruptă a magnetizării în jurul a 310K indică tranzitie ordine-dezordine magnetică (T_c). Comparativ cu probele AQ, T_c pentru probele tratate la 400C este ceva mai ridicată, reflectând o ordonare atomică crescută și relaxarea stresului inducă de metoda de procesare. Hiserezisul termo-magnetic observat în $M(T)$ este caracteristic tranzitiei de ordinul I - TM. Magnetizarea austenitei are o cadere abruptă, reversibilă, sub T_c , prezentând un peak Hopkinson în apropiere de T_c . Un comportament similar a fost raportat pentru probele quasi-stoichiometrice Ni2MnGa.

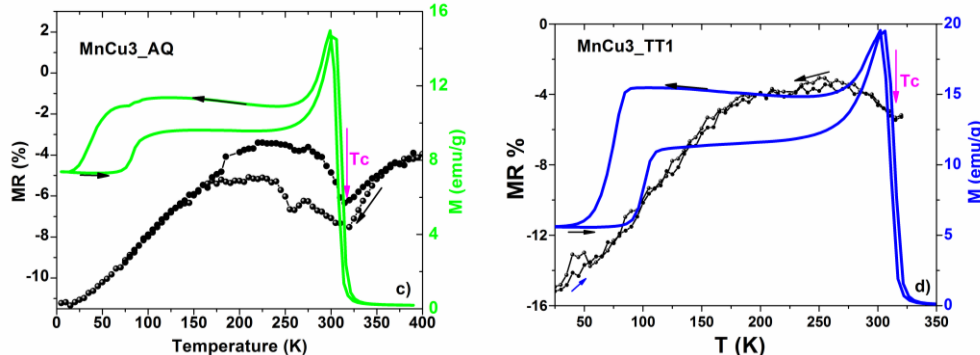


Fig.2 a) MR% si magnetizarea ca functie de temperatura pentru benzile MnCu3_AQ (b) si tratate termic MnCu3_TT1.

Pentru benzile de MnCu3, curbele rezistivitatii (reprezentate cu negru) prezintă un punct de inflexiune la T_c , și două pante diferite pentru transformările premartensitică și martensitică. De remarcat faptul că histerezisul asociat variației rezistivitatii cu temperatura este foarte mic la proba tratată termic și inexistent pe proba AQ. Aceasta datoră faptului că cu cat TM are loc la temperaturi mai scăzute, cu atât aria histerezisului este mai mică. Proba MnCu3_AQ prezintă un maxim al MR la T_c și un altul pe transformarea premartensitică, iar în rest prezintă comportamentul obișnuit pentru un feromagnet, i.e. creșterea MR cu scăderea temperaturii. Deosemenea, în probele tratate MnCu3_TT1, MR crește cu scăderea temperaturii.

Faza *Investigarea comparativa microstructurala RES a pigmentilor utilizati in opere de arta si comerciali* a fost realizata și beneficiind de colaborarea internațională în cadrul proiectului CERIC nr. 20152075, cu titlu: "Multianalytical study of historical red lake pigments for the understanding of the metal ion-anthraquinone complex". În cadrul fazei s-au efectuat studii comparative prin tehnici RES în multifrecvență și la temperatură variabilă asupra unor probe de pigmenti folosite în opere de artă și comerciale.

Au fost investigate mai multe probe sub formă de pulbere din trei tipuri de pigmenti istorici (alb zinc, galben cadmiu, lac roșu) precum și pigmenti comerciali, folosite ca referință. Cele patru probe istorice de pigmenti albi dintr-o colecție de pasteluri Lefranc-Bourgeois Raffaelli (secolul XX timpuriu) sunt compuse dintr-un pigment sub formă de pulbere și un liant inert, de tipul metilcelulozei sau gumei arabice. Probele LFZ01 și LFZ02 au aspect alb, continand un

amestec de ZnO si ZnS. Proba LFZ07 are aspect roz-pal si consta dintr-un amestec de ZnO si ZnS cu oxid de fier (Fe_2O_3). Proba LFZ19 are aspect gri-pal si este in principal un amestec de ZnO si ZnS+BaSO₄ (litopon) cu carbune. Probele au fost comparate cu doi pigmenti albi comerciali pe baza de ZnO si respectiv ZnS.

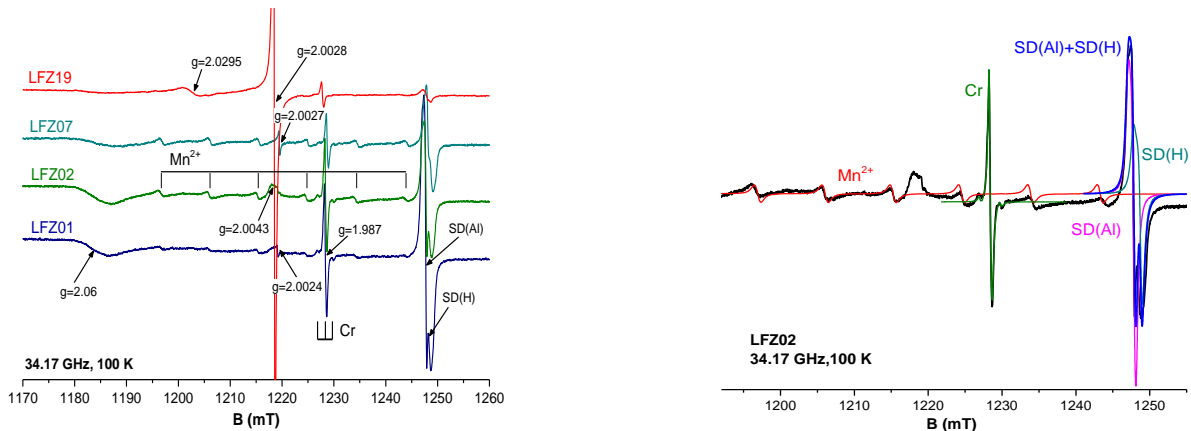


Fig. 1. Spectrele RES in banda Q la 100 K ale probelor de pigmenti istorici alb zinc si simulari ale semnalelor Mn^{2+} , Cr , SD(Al) si SD(H) (separat si suma lor) din spectrul RES in banda Q al probei LFZ02.

Spectrele RES in banda Q (Fig. 1) ale celor patru probe sunt relativ similare, prezantand un spectru caracteristic ionilor Mn^{2+} (Fig. 2), cu parametri RES corespunzatori localizarii in magnezit (MgCO_3). Linia de la $g=2.0043$ este caracteristica antrachinonei, iar linia de la $g=2.0027$, foarte intensa in LFZ19, se datoreaza prezentei carbunelui. Linia de la $g=1.987$ se datoreaza prezentei cromului. Cele doua linii satelit de intensitate mica apartin structurii hiperfine asociate cu izotopul ^{53}Cr cu $I=3/2$ si abundenta 9.5% (Fig. 2), cu separare hiperfina $A=7 \times 10^{-4} \text{ cm}^{-4}$. Linia de la $g=2.0295$, care apare doar in proba LFZ19, se datoreaza centrilor S_2^- in pigment ultramarin cu nuanta verde. Linia compusa de la $g \sim 1.957$ se datoreaza singurilor centri asociati ZnO . Aceste centri sunt de tip donori putin adanci, unul asociat prezentei impuritatilor de aluminiu SD(Al) si celalalt asociat prezentei impuritatilor de hidrogen SD(H) . In proba LFZ19 sunt prezenti doar centrii SD(H) . Centrii SD(Al) sunt singurii centri paramagneticii observati a caror intensitate a crescut in urma iluminarii cu lumina la 365 nm. In spectrele probelor LFZ01, LFZ02, LFZ07 masurate in banda X, pe langa semnalele observate in banda Q, apare o linie larga, la $g \sim 2.065$, asociata ionilor Cu^{2+} .

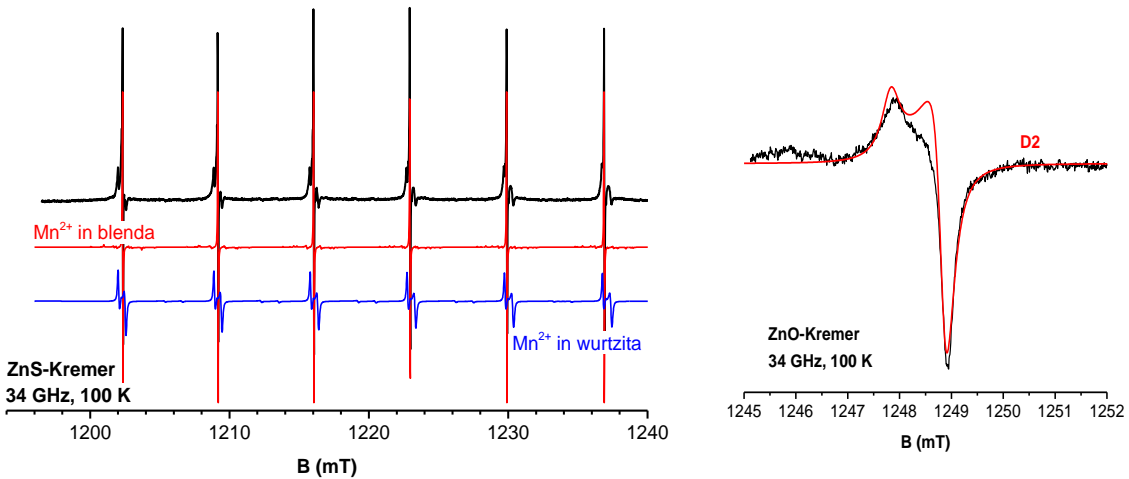


Fig. 2. Spectrele RES in banda Q la 100 K ale probelor de pigmenti comerciali: (a) ZnS, impreuna cu spectrele simulate ale ionilor Mn^{2+} in simetrie cubica (blenda) si in simetrie hexagonală (wurtzita); (b) ZnO, impreuna cu spectrul simulat al centrului D2 (rosu).

Spectrele RES ale pigmentilor comerciali sunt considerabil mai simple, fara faze secundare. In cazul ZnS (Fig. 2a) se observa doua spectre suprapuse caracteristice ionilor Mn^{2+} in ZnS cu structura cubica (rosu) si respectiv hexagonală (albastru). In cazul ZnO (Fig. 2b) se observa un spectru asociat unui centru donor putin adanc, denumit D2, posibil suprapus cu SD(H) .

Au fost analizate, deasemenea, trei probe istorice de pigmenti galbeni (un co-precipitat $(\text{Cd}, \text{Zn})\text{S}$ cu adaoi de TiO_2 , unul ce contine CdS si un co-precipitat $(\text{Cd}, \text{Zn})\text{S}$, sub forma de pulbere, fara liant. Acestea au fost comparate cu

un pigment comercial pe baza de CdS. Toate cele trei probe istorice prezinta spectrul caracteristic ionilor Mn²⁺ in magnezit. In cea de a doua proba apare semnalul centrilor S₂⁻ in pigment ultramarin cu nuanta verde si o alta linie de mica intensitate datorita unui radical. Spectrul celei de-a treia probe este mai complex, liniile slabe se datoreaza prezentei ionilor Fe³⁺. Iar liniile intense si largi de la se pot datora unor clusteri metalici de ioni Cu²⁺ sau Fe³⁺ in compusi organici.

In cazul probei comerciale se observa o linie ingusta datorata prezentei carbunelui, si doua semnale suprapuse caracteristice ionilor Mn²⁺ in magnezit si respectiv CdS. Ambele semnale pot fi observate in spectrul masurat la putere de microunde inalta (2.8 mW), dar semnalul Mn²⁺ in CdS e partial saturat. La putere de microunde joasa (0.045 mW) se observa doar semnalul Mn²⁺ in CdS.

A fost analizata o proba de pigment istoric, cu colorant organic pe baza de antrachinona vegetala, din colectia Lefranc si patru probe de referinta: doua probe de pigmenți comerciali cu colorant pe baza de alizarin+purpurin (una ce contine Cu, Al si una ce contine Sn, Al) si doua probe sintetizate in laborator, cu colorant pe baza de extract de *Dactylopius coccus* precipitat cu Fe si Cu.

Spectrul RES in banda Q al probei de pigment istoric contine cateva semnale observate si in probele istorice de alb zinc, si anume cele doua linii asociate antrachinonei si carbunelui, precum si spectrul ionilor Mn²⁺ in magnezit. Este posibil ca aceste semnale sa provina de la liantul folosit cu respectivii pigmenți. Linia larga si intensa este asociata cu prezenta ionilor Cu²⁺. Spectrul ionilor Cu²⁺ se observa mult mai clar in spectrul RES din banda X , unde apare de asemenea o linie asociata ionilor Fe³⁺. Semnalul ingust si intens de rezulta din suprapunerea liniilor asociate carbunelui si antrachinonei, deoarece rezolutia in parametrul g e mai mica decat in banda Q. Linia larga si intensa provine de la centri paramagnetic cuplati prin interactii de schimb.

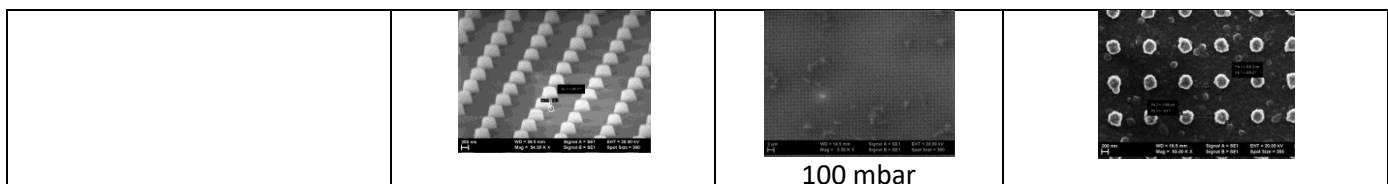
In cazul celor patru probe de referinta sunt prezентate spectrele in banda X, care arata prezenta dominanta a cate unui tip de impuritate paramagnetica. Prima proba prezinta un spectru asociat ionilor Cu²⁺ izolati, impreuna cu o linie larga si intensa asociata unor centri paramagnetic cuplati prin interactii de schimb (posibil clusteri de cupru). In cazul probei a doua se observa doar spectrul ionilor Cu²⁺ izolati. Proba a treia prezinta o linie larga asociata ionilor Fe³⁺ cuplati prin interactii de schimb, in timp ce spectrul probei a patra este datorat ionilor Cu²⁺ izolati. Trebuie mentionat faptul ca parametrii RES ai ionilor Cu²⁺ izolati sunt diferiti in pigmentul istoric si in cei trei pigmenți de referinta unde au fost observati, indicand o localizare diferita a acestor ioni si foarte posibil o componitie diferita a respectivelor pigmenți.

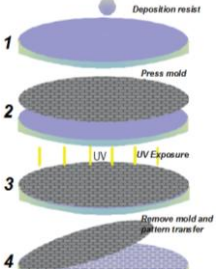
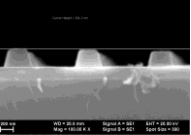
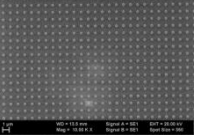
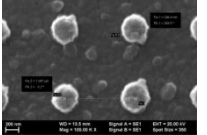
Aceste investigatii arata faptul ca, asa cum era de asteptat, pigmentii istorici au un continut mai mare de impuritati si faze secundare decat pigmentii comerciali, si ca folosirea directa a acestora din urma in procedurile de restaurare nu este indicata. Rezultatele RES vor ajuta la identificarea tehnologiilor de sinteza folosite in prepararea pigmentilor istorici si la analiza proceselor lor de degradare.

In cadrul fazei *Mecanisme de conductie in structuri bio-organice cu electrod metalic nanostructurat* au fost investigate mecanisme de conductie in structuri bio-organice cu electrod metalic nanostructurat.

Studiile au fost focalizate pe: 1. Realizarea de structuri uni si multi strat pe electrod metalic (nano)structurat folosind compusi bio-organici; 2. Trasarea caracteristicilor I-V si identificarea comportarii electrice/mecanismelor de conductie in aceste structuri; 3. Studiu comparativ cu proprietatile electrice ale structurilor similare realizate cu catod plan, nestructurat.

In prima etapa a fost analizat efectul paternarii asupra proprietatilor stratului de aluminiu depus prin sputering pe diferite substraturi: Si (Fig.2) si sticla (Fig.3). A fost utilizata tehnica UV-NIL (Fig.1) pentru a realiza o retea 2D de nanostructuri (coloane) in filmul metalic caracterizate de o forma cilindrica si cu anumiti parametrii geometrici, in corelatie cu conditiile de procesare asociate cu: parametrii de depunere prin spin coating pentru primer si fotorezist, masca si modul de contact (presiune). Un film de Al cu o grosime in jur de 80 nm a fost depus prin sputering pe suprafata paternata a fotorezistului.



			
Fig. 1. Procesul UV-NIL.	Fig. 2. SEM pe FR/Si paternat.	Fig.3. SEM pe FR la diferite presiuni.	Fig.4. SEM pe stratul de Al depus pe FR/Si paternat.

Imaginile SEM au relevat dezvoltarea unei retele periodice 2D uniforme de structuri (goluri/coloane) cu o forma de trunchi de con de (Fig.2). Dupa depunerea Al pe FR paternat (Fig.4) coloanele au o forma neregulata determinata de particularitatile depunerii metalului pe stratul organic generand aglomerari (clusteri). La o presiune de contact mai mare a fost favorizata o mai buna paternare a suprafetei, caracterizata de o retea 2D mult mai regulata si cu o densitate mai mica de defecte (Fig.3). Presiunea de contact este critica afectand atat geometria paternarii cat si calitatea acesteia. Diametrul si periodicitatea golurilor/coloanelor dezvoltate in FR depus pe Si obtinute prin SEM sunt confirmate de masuratori AFM.

Au fost investigate de asemenea si proprietatile de injectie a purtatorilor de sarcina la interfata Si monocristalin bio-organic (baze azotate ale acizilor nucleici), in particular guanina. Au fost analizate caracteristicile I-V ale heterostructurilor avand un strat activ din guanina depus prin evaporare in vid si ca electrozi Si si un strat de Au, evidentiind efectul structurii, morfologiei si rugozitatii asupra proprietatilor electricre. [Deasemenea a fost studiat si efectul unui strat organic conductor de bis\(etilendifio\)-tetraiafulvalena](#) (BEDT-TTF) tampon intre Si si stratul de guanina asupra transportului purtatorilor de sarcina. Studiul comparativ al heterostructurilor realizate cu si fara strat tampon au evideniat limitarea transportului purtatorilor de sarcina la interfetele din interiorul heterostructurii, in corelatie cu barierele energetice. [O atentie deosebita a fost acordata investigarii efectului paternarii electrodului de Au asupra proprietatilor electricre ale structurii Si/guanina/Au.](#)

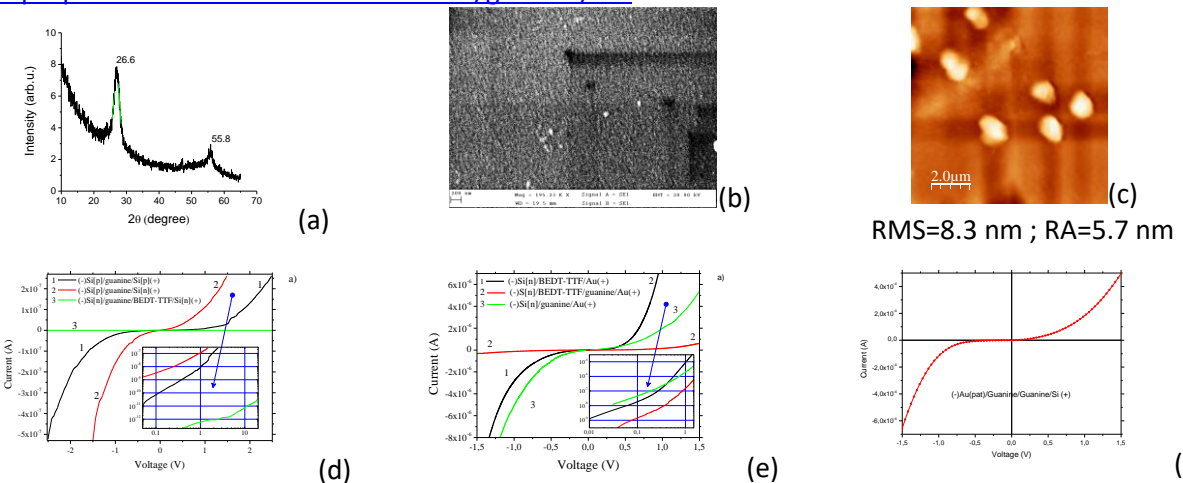


Fig.5. Proprietati structurale, morfologice si e rugozitatea ale stratului de guanina. Caracteristicile I-V ale heterostructurii cu electrozi Si/Si; Si,Au plan si Si,Au nanaostructurat.

Imaginile SEM au evideniat o suprafata relativ neteda corelata cu o rugozitate scazuta (Fig.5c) si prezenta unor graanti mici de crestere pe suprafata stratului (Fig.5a,b). Caracteristica I-V pentru un electrod de Au plan este simetrica cu o panta crescatoare atat la polarizare directa cat si inversa currentul fiind slab si limitat de sarcina spatiala (Fig.5e). Valoarea crescuta a currentului $\sim 2 \times 10^{-6}$ A pentru o tensiune aplicata de 1V este determinata in principal de bariera energetica coborata la interfata Si/guanina ($\Delta E = 0.15$ eV). Considerand o mobilitate independenta de camp, in regiunea curentilor limitati de sarcina spatiala se poate aplica modelul Mott-Gurney pentru caracteristicile I-V ale heterostructurilor Si/guanina/Si (Fig.5d) obtinandu-se in guanina o mobilitate de $\sim 10^{-7}$ cm²/Vs. Acest rezultat confirma mobilitatea scazuta a purtatorilor in acest semiconductoare bio-organic de banda larga. Transportul purtatorilor nu a fost imbunatit de stratul tampon din cauza barierelor energetice semnificative la interfata Si/BEDT-TTF si BEDT-TTF-guanina (Fig.5d,e). Heterostructura realizata cu electrod de Au paternat si strat

activ de guanina a prezentat o comportare de contact injector. A fost evidențiată o bună conductie (valori ridicate ale curentului $\sim 5 \times 10^{-4}$ A la o tensiune de 1,5 V) limitată de sarcina spatială (Fig.5f), indicând o creștere în curent cu 2 ordine de marime, la aceeași tensiune aplicată, în raport cu aceeași structură realizată cu electrod de Au plan (Fig.5d,f).

Faza *Studiul efectelor de memorie în nanostructuri multistrat pe baza de Si-Ge-Sn* a avut drept scop realizarea unor structuri de capacitorsi MOS de tip oxid de poartă / nanocristale de SiGe inglobate în oxid / oxid tunel / substrat de Si, în care oxidul este SiO_2 sau HfO_2 . Structurile se cresc prin oxidare termică (SiO_2 tunel) sau pulverizare cu magnetron, iar nanostructurarea se realizează prin tratament termic. Structurile astfel realizate sunt caracterizate din punctul de vedere al proprietăților structurale și al proprietăților de memorie. Se studiază de asemenea corelația între proprietățile electrice și cele structurale.

Au fost preparate și investigate două tipuri de structuri de capacitor MOS cu trei straturi: structurile de capacitorsi MOS cu trei straturi HfO_2/NC de SiGe în $\text{HfO}_2/\text{HfO}_2/\text{p-Si}$ și structuri de capacitorsi MOS cu trei straturi SiO_2/NC de SiGe în $\text{SiO}_2/\text{SiO}_2/\text{substrat de p-Si}$, care difera în principal prin oxidul folosit, HfO_2 și respectiv SiO_2 . Centrii de stocare de sarcina sunt NC de SiGe. Au fost analizate din punctul de vedere al structurii și din punctul de vedere al proprietăților de memorie atât probele cu NC de SiGe în SiO_2 cât și cele cu NC de SiGe inglobate în HfO_2 . În interiorul fiecareia dintre cele două grupe menționate, în care oxizi sunt HfO_2 respectiv SiO_2 s-a gasit o mare variabilitate a caracteristicilor de memorie (fereastra de memorie și timp de retentie a sarcinii) în funcție de temperatură și timpul de tratament termic, în corelație cu caracteristicile structurale.

Cele mai bune structuri de capacitorsi MOS cu trei straturi HfO_2/NC de SiGe în $\text{HfO}_2/\text{HfO}_2$ s-au obținut pe probe tratate la 1000 °C timp de 5 s. În difractograma XRD obținuta pe aceasta probă se identifică maxime corespunzătoare HfO_2 monoclinic, dar și maxime corespunzătoare HfO_2 tetragonal. Toate maximele din difractogramă aparțin HfO_2 cristalizat în sistemul monoclinic și tetragonal, preponderent în sistem monoclinic. Linile SiGe nu apar, datorită cantitatii mici de SiGe raportata la HfO_2 .

Masurările de XPS pe probă tratată termic la 1000 °C timp de 5 s au fost facute începând cu suprafața liberă a probei și apoi în adâncime, prin corodarea cu ioni de Ar^+ de 1 keV (Fig. 1). Din analiza întregului spectru XPS rezultă că probă analizată conține o succesiune de straturi, de la suprafața spre interior, de HfO_2 , SiO_x , SiGe, HfO_2 . Pe suprafață există de asemenea atomi de Ge și de Si legați de atomi de O. În Stratul de SiGe atomii de Si și Ge prezintă o inconjurare metalică.

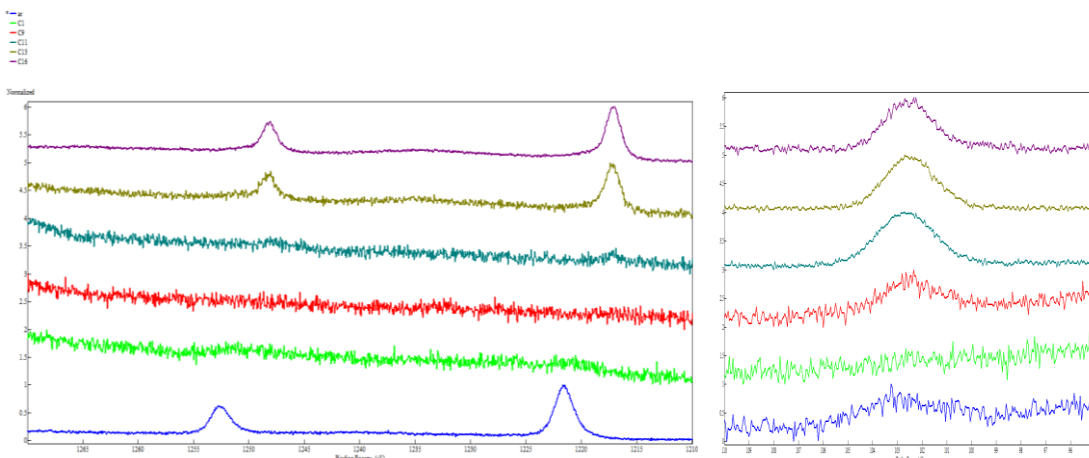


Fig. 1. Spectre XPS masurate pe structura HfO_2/NC de SiGe în $\text{HfO}_2/\text{HfO}_2$ tratată la 1000 °C timp de 5 s; stanga – contribuția Ge (liniile 2p_{1/2} și 2p_{3/2}) și dreapta – contribuția Si

Din analiza comparativă prin microscopie electronică a probei proaspăt depusă (as deposited) și a probei tratată termic la 1000 °C timp de 5 s s-a observat că primul strat de HfO_2 , depus pe substratul de Si rămîne la aceeași grosime ca și în cazul 'as deposited'. În urma tratamentului termic, pe locul stratului proaspăt depus de SiGe amorf se observă două zone, dintre care zona mai apropiată de substratul de Si este SiGe (explicat mai jos) iar zona mai apropiată de suprafață libera este un strat de SiO_2 .

Din imaginea HRTEM (Fig. 2) luată pe probă tratată termic la 1000 °C timp de 5 s se observă că stratul de SiGe are o grosime de 4-5 nm, și conține zone amorf și zone cristalizate. În zona cristalizată contrastul este mai puternic.

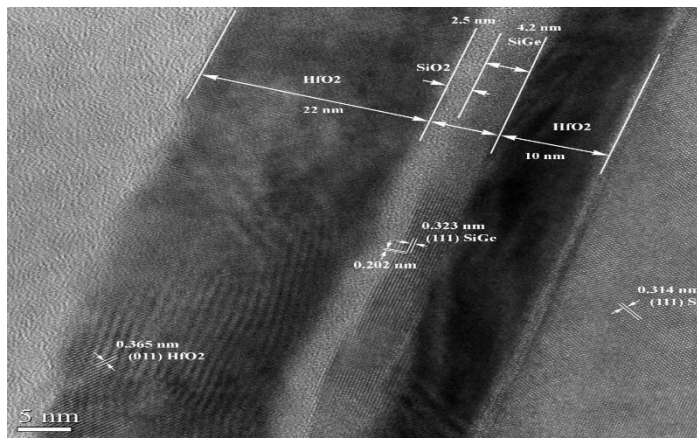


Fig. 2. Imagine HRTEM pe sectiunea probei tratate termic.

Informatiile furnizate de XPS si HRTEM ne permit sa concluzionam ca NC responsabile de efectele de memorie sunt cele de SiGe, cu un continut de Si mai mic decat cel depus initial (50:50).

Din masurari C-V pentru aceste probe am obtinut caracteristici de memorie bune, fereastra de memorie fiind de 1.45 - 1.6 V. Au fost de asemenea analizate structurile de capacitori MOS cu trei straturi SiO₂/NC de SiGe in SiO₂/SiO₂ tratate in N₂ la 700 °C, 180 s. Din analiza imaginilor de microscopie electronica rezulta ca stratul de SiGe are o grosime de 8 – 10 nm si este putin cristalizat si contine clusteri care, dupa cum se vede din masurarile C-V joaca rol de centri de stocare de sarcina. Fereastra de memorie obtinuta pe aceasta structura este de 1 - 1.2 V. Pozitia curbei C-V este independenta de frecventa ceea ce arata ca responsabile pentru stocarea de sarcina sunt NC de SiGe, care actioneaza ca noduri. S-a observat ca structurile cu NC de SiGe inglobate in HfO₂ prezinta proprietati de memorie mai bune decat cele pe baza acelorasi NC inglobate in SiO₂, atat privitoare la fereastra de memorie cat si la pozitionarea acestor in tensiune, ceea ce se explica prin constanta dielectrica mai mare a HfO₂ (16 – HfO₂ monoclinic) fata de cea a SiO₂ (3.9) si printr-o interfata SiGe/HfO₂ mai buna in comparatie cu interfata SiGe/SiO₂. In ambele cazuri, efectul de memorie se bazeaza pe stocarea sarcinii numai in NC de SiGe, efectul centrilor de captura asupra fenomenelor de memorie nefiind semnificativ. Acest rezultat este sustinut de masurari C-V pe capacitori de control, preparati in conditii identice cu cei analizati mai sus, dar fara strat intermediu cu NC de SiGe, si care nu prezinta histerezis.

In cadrul fazei *Studiul difuziei cuprului in straturi subtiri calcogenice sub influenta campului electric* s-a urmarit obtinerea de heterostructuri Cu-As₂S₃-Cu formate din straturi subtiri de Cu si As₂S₃ si Caracterizarea modificarii proprietatilor electrice ale acestora sub influenta unor campuri electrice externe aplicate. Pentru realizarea depunerilor succesive de Cu, As₂S₃ si iar Cu, a fost nevoie de realizarea unor masti, realizate initial din folie polimerica prin taiere/debitare manuala iar ulterior din polimeri de grosimi milimetrice prin tehnica imprimarii 3D.

Depunerea straturilor succese pentru formarea heterostructurii Cu-As₂S₃-Cu s-a realizat prin metoda pulsed laser deposition (PLD) in trei etape. In prima etapa s-au depus cei trei electrozi de Cu inferioiri ai heterostructurii, sub forma de benzi. In a doua etapa s-au depus pe fiecare electrod de Cu, cate trei zone cu As₂S₃, sub forma de patrat iar in a treia etapa s-au depus electrozii de Cu superioiri, sub forma de benzi perpendiculare pe cele inferioare. S-au format astfel un numar de noua heterostructuri din straturi subtiri, accesibile electric, individual, prin electrozii inferioiri si cei superioiri care le definesc, asemenea unei matrici 3 x 3 (Fig. 1).

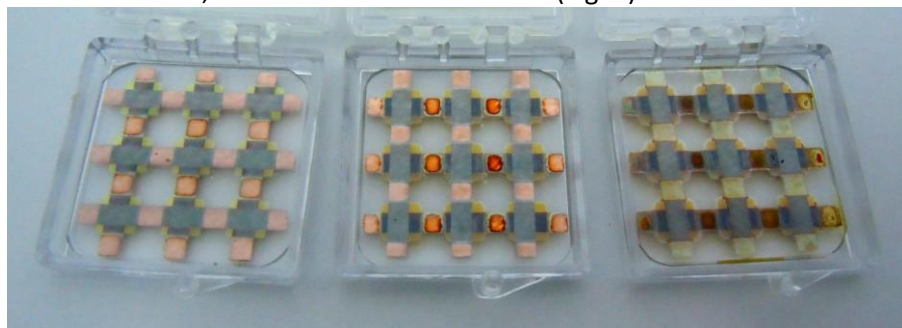


Fig. 1. Trei heterostructuri Cu-As₂S₃-Cu. Se observa o buna reproductibilitate in geometria structurii.

Caracterizarea morfologiei suprafetei sectiunii cat si estimarea directa a grosimii straturilor subtiri, s-a efectuat prin microscopie electronica de baleaj (scanning electron microscopy, SEM).

Spectroscopia dielectrica ne-a furnizat comportamentul electric a structurii Cu-As₂S₃-Cu. Determinarile de capacitate si impedanta s-au facut pe rand fara tensiune externa si cu tensiune externa constanta (6 V, 10V), aplicate simultan cu tensiunea alternativa de studiu cu polarizare directa (Fig. 2a) respectiv cu polarizare inversa (Fig. 2b).

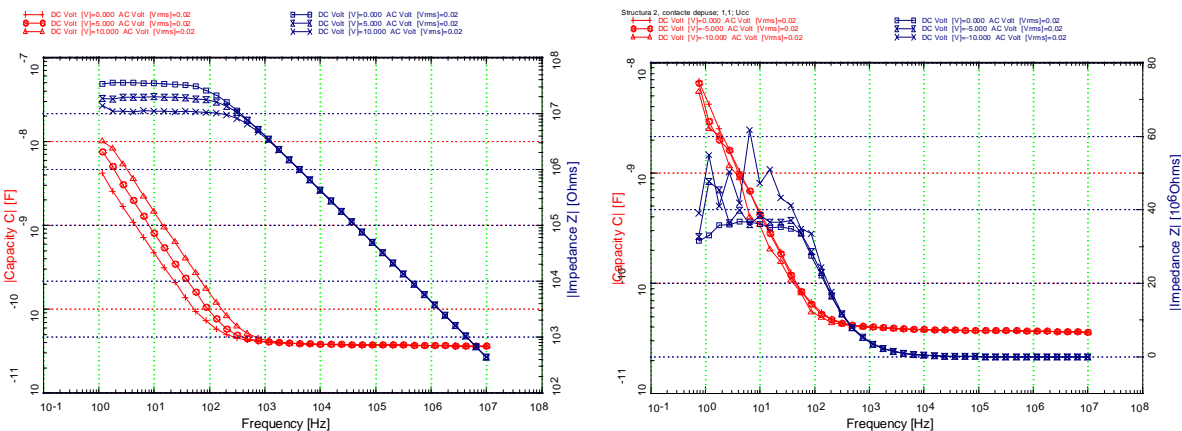


Fig.2a. C si Z fara tensiune externa si la polarizare directa

Fig.2b. C si Z fara tensiune externa si la polarizare inversa

S-a observat ca structura Cu-As₂S₃-Cu prezinta o capacitate constanta in plaja de frecvente $10^7 - 10^3$ Hz, indiferent de tensiunea externa aplicata. In domeniul de frecventa $10^3 - 1$ Hz, structura are un comportament diferit, in functie de tensiunea externa aplicata. Valoarea capacitatii structurii creste odata cu cresterea tensiunii externe aplicate, in timp ce impedanta este constanta, dar cu valori de palier din ce in ce mai mici. Modificarea capacitatii structurii cu tensiunea externa aplicata este redata de diagramele C(V), care prezinta un efect de histerezis la frecvente joase (ex. : 100 Hz si 10 Hz). La frecvente inalte capacitatea, practic, nu se modifica cu tensiunea externa aplicata in plaja de 0 – 10 V. A fost studiata variatia capacitatii structurii in timp de 30 minute, la 100 Hz si 10 Hz la aplicarea tensiunilor de 6 V si respectiv 10 V. S-a observat ca la 10V capacitatea variaza in timp ce la frecventa de 100 Hz variatiile capacitatii sunt practic neglijabile.

Faza Influenta structurii si stoichiometriei filmelor subtiri de hidroxiapatita simpla si dopata asupra profilului de adsorbtie proteica si a factorilor de crestere in fluide intercelulare biomimetice a avut ca subiect fabricarea prin metoda pulverizarii in camp magnetron de acoperiri implantologice de hidroxiapatita (HA) simpla si dopata cu diferiti ioni (Ag, Fe, Mn, Si, Sr, Ta, Ti sau Zn). Studierea influentei agentilor de dopare asupra structurii hidroxiapatitei si modificarii profilului de adsorbtie a factorilor de crestere in fluide intercelulare biomimetice. Adsorbtia acestor componente organice pe suprafata implanturilor guverneaza in buna masura mecanismele de vindecare tisulara. Prin identificarea parametrilor care pot controla profilele de adsorbtie prin modificari stoichiometrice/structurale ale acoperirilor HA este vizata realizarea de implanturi cu biofunctionalitate superioara.

Tintele catod magnetron au fost fabricate prin presarea usoara, la temperatura camerei in port-tinte de cupru a amestecurilor de pulberi de HA si AgO, Fe₂O₃, MnO, SiO₂, Ta₂O₅, TiO₂ sau ZnO obtinute prin mojarare. Amestecurile au fost realizate astfel incat sa asigure un raport atomic Ca:dopant de 98:2. Fabricarea filmelor subtiri HA au fost realizate prin tehnologia pulverizarii in camp magnetron in regim de radio-frecventa (RF-MS).

Prin masuratori de spectroscopie elipsometrica (SE) a fost estimata grosimea de strat HA. Pe baza acestor valori au fost determinate ratele de depunere si s-a observat ca rata de depunere nu variaza intr-o plaja restrasa: $\pm 1 - 9\%$.

Concentratia de dopant a fost determinata prin spectroscopie dupa dispersie de energie (EDS) si spectrometrie de masa cu plasma cuplata inductiv (ICP-MS). Rezultatele au indicat dopaje inegale obtinute in filme, ca rezultat al fenomenelor de pulverizare preferentiala. Astfel un transfer atomic cvasi-stoichiometric a fost obtinut doar in cazul Mn, Si, Sr si Ti. In cazul Fe si Ta a fost inregistrata o crestere concentrationala, in schimb ce in cazul Ag si Zn, a fost observat un transfer tinta-substrat deficitar. Fenomenele de pulverizare preferentiala pot avea cauze multiple, fiind dependente de raportul maselor atomilor pulverizati si ionilor care bombardeaza tinta, energia de disociere a compusului si/sau energia libera a reactiei de oxidare. Una dintre conditiile decisive ale unui dopaj eficient o reprezinta capacitatea structurii HA de a acomoda/satisface un set de conditii „geometrice” si termodinamice impuse de raza ionica a dopantilor, dimensiunea siturilor in celula elementara HA sau energia cinetica a atomilor pulverizati (care reprezinta diferența dintre energia de legatura a compusului din tinta si energia livrata local de ionii de argon).

Analizele FTIR nu au indicat in cazul filmelor HA dopate simplu-depuse diferente remarcabile in comparatie cu filmul de HA pura. Tratamentul termic post-depunere (550°C/1 h in aer) induce o cristalizare puternica a structurii

filmelor depuse, indicata prin ingustarea si despicarea benzilor de vibratie caracteristice hidroxiapatitei de calciu. Similaritatea spectrelor FTIR in ceea ce priveste forma benzilor si pozitia acestora sugereaza ca dopajele realizate nu induc alterari ale ordinii la mica distanta.

Dupa tratamentul termic de cristalizare, toate filmele (HA simplu si HA dopate), cu exceptia HA:Fe, prezinta benzi proeminente specifice modurilor de vibratie ale gruparilor carbonat structurale. Pozitiile acestor benzi sugereaza o substitutie de tip B in structura HA: gruparile carbonat intrand substitutional in siturile ocupate de gruparile ortofosfat, tipic osului uman.

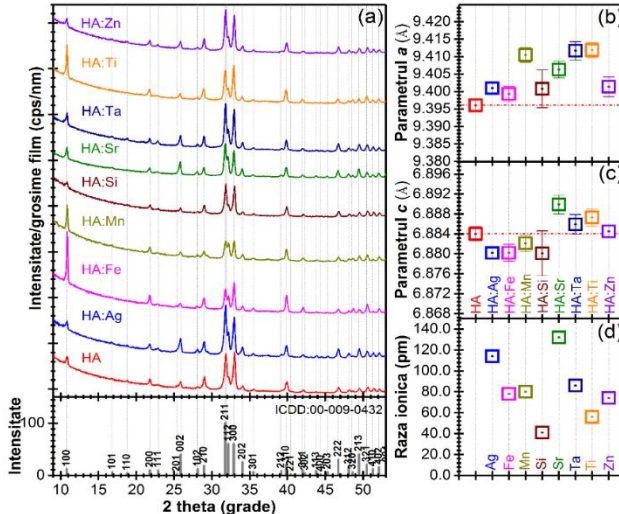


Figura 1: (a) Diagrame GIXRD comparative ale filmelor de HA tratate termic post-depunere. (b,c) Modificarea parametrilor de retea a si c cu dopajul. (d) Raza ionica a elementelor de dopare.

Dupa tratamentul termic post-depunere filmele HA au fost cristalizate complet, nefiind identificat nici un halou amorf in diagramele GIXRD (Fig. 1a). Filmele sunt monofazice (nu s-au detectat faze cristaline secundare), fiind evidențiate doar maximele de difracție ale HA cristalizate in sistem. Intensitatile relative ale liniilor de difracție ale HA difera semnificativ de la un film la altul, indicand diferente in modul si gradul de orientare preferentiala cristalitelor de HA in film. Din prelucrarea difractogramelor (Fig. 1a) dimensiunile de cristalit au rezultat ca fiind de ordinul sutelor de nanometri, independent de prezenta si tipul dopantului. Comparand constantele de retea ale filmelor de HA dopate cu cele ale filmului de HA pura (Fig. 1b,c), se observa ca parametrul a al tuturor probelor dopate este mai mare decat al HA pura, in timp ce parametrul c variaza in jurul valorii respective pentru filmul de HA pura. Modificariile parametrilor de retea, prezentate in Fig. 1b,c, pot constitui o dovada indirecta a incorporarii dopantilor in reteaua HA, fiind determinate de tipul de dopare (substitutionala sau interstitiala), de pozitia cristalografica a atomului substituit preferential si de marimea si valenta/starea de ionizare a ionului substituent.

Raspunsul functional biologic manifestat de adsorbția factorilor de crestere pe suprafața probelor HA este prezentat comparativ in Fig. 2. Desi in plasma acestia se gasesc la concentratii de 12-60 pg/ml experimentele noastre au aratat pentru filmele HA sintetizate in laboratorul nostru o capacitate enorma de adsorbție raportata la o suprafața de 1 cm^2 . Pentru filmele de HA dopate se poate observa variatia cantitatii de factori de crestere adsorbiti, un efect indus de modificarea retelei cristaline a HA datorata atomilor dopanti, cu maximizarea locala a unor sarcini partiale si o mai buna interactie cu domenii apartinand acestor proteine. Un caz particular care ar trebui studiat suplimentar este HA:Ta care prezinta o suprafața ce scade capacitatea de adsorbție a factorilor de crestere raportata la filmul HA pura. Astfel, este sugerat ca modul in care atomii interactioneaza cu structura HA poate deschide noi directii in adaptarea proprietatilor HA, un biomaterial care nu inceteaza a surprinde. Desi pe alocuri abaterea medie patratrica conduce la diferente nesemnificative statistic, similaritatea evolutiilor observate in cazul celor trei factori de crestere raportat la tipurile de material nu poate fi ignorata.

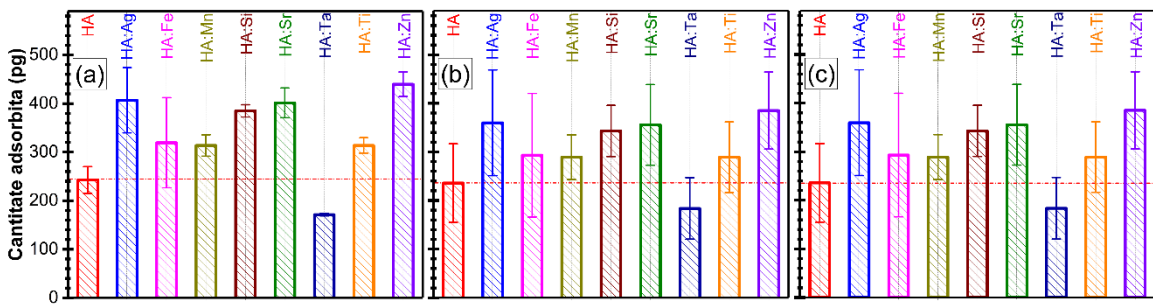


Figura 2: Evolutia valorilor de adsorbție a factorilor de creștere (a) BMP2, (b) FGF1, și (c) TGF2 pe suprafața filmelor de HA pură și dopate.

Faza *Defecte induse controlat în discurile de MgB₂ folosind metoda SPS* a avut drept scop inducerea defectelor în MgB₂ prin modificare regimului de curent din timpul procesării SPS pentru modificarea controlată a caracteristicilor supraconductoare funktionale. Pulberile comerciale de MgB₂ (din două loturi diferite) încărcate în matrite de grafit cu poanoane a fost introdus în cuptorul SPS. Însprijinul de grafit este realizat din două loturi de pulbere AA2015 și AA2016. Asupra poanoanelor matritelor se aplică o presiune uniaxială care atinge în timpul procesării SPS o valoare maximă de 95 MPa. Încalzirea se face la 1150 °C, iar timpul de menținere la această temperatură este de 3 min. S-au variat condițiile pentru curentul pulsat, regimul on-off al curentului a fost pentru prima pulbere (AA2015): 8-4, 24-2 și 99-1, iar pentru a doua pulbere (AA2016): 4-2, 6-3, 10-5 și 12-6. Caracterizarea din punct de vedere calitativ al caracteristicilor supraconductoare s-a efectuat cu ajutorul unor magnetometre în domeniul de temperaturi 5-35 K. Probele sinterizate de MgB₂ prezintă în general curbe similar de tranziție în stare supraconductoare. O anumita imprastiere se poate observa în Fig. 1: probele 8-4 și 10-5 au tranziții la temperaturi ceva mai scăzute cu ~0,2 K.

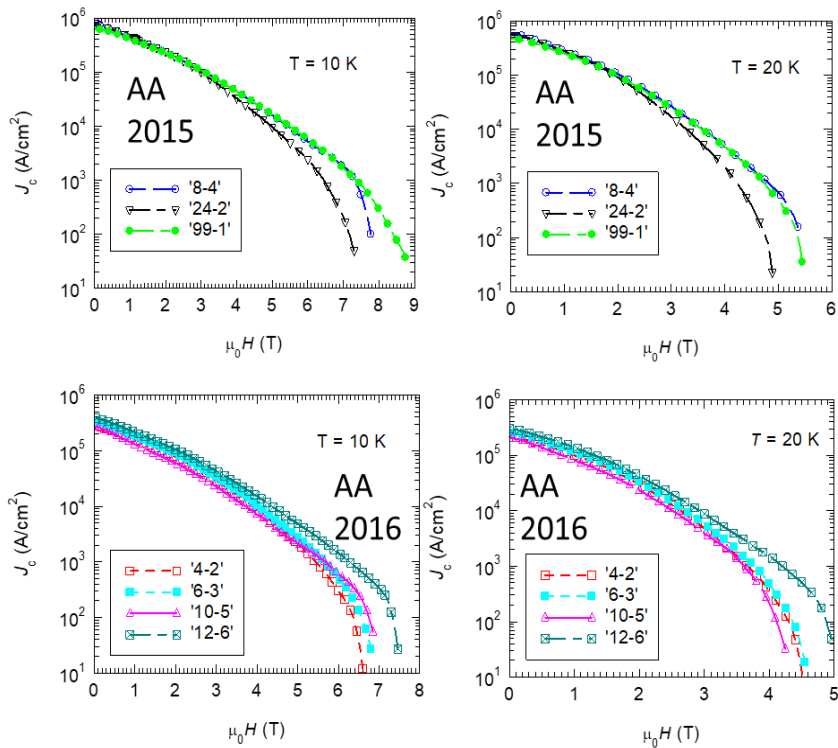


Fig. 1 Curbele de densitate critică de curent $J_c(H)$ la 10 K și 20 K utilizând materiale prime AA 2105 și AA 2016.

Diferențe semnificativ mai mari între probe sunt evidențiate de curbele de $J_c(H)$ din Fig. 1. Aceste diferențe în cazul probelor din pulbere AA2015 sunt la campuri magnetice mari, în timp ce pentru probele AA2016 sunt la campuri mici, dar și mari. În cazul pulberii AA2016 și a regimurilor on/off=2=constant se observă că creșterea timpului duce la creșterea J_c . Desi e clar că procesele în timpul SPS sunt diferite pentru AA2015 și AA2016, un timp 'on' mai lung este favorabil unui J_c mai ridicat (exceptie proba 24:2). Analiza rezultatelor indică asupra faptului că probele sinterizate AA2016 nu prezintă diferențe majore între concentrația fazelor, cantitatea de carbon și dimensiunea medie de cristalit a MgB₂, dar aparent prezintă un maxim în dimensiunea de cristalit a MgB₄ la un regim de curent 10-5.

Curbele $J_c(H)$ au fost scalate cu modelul universal de scalare pentru a extrage forta de fixare F_p si parametrii h_0 , pe care le dă informații asupra mecanismului de fixare. Forța de fixare și indica asupra unui mecanism complex de fixare în care există contribuții din partea unei fixări de tip punctiform și de suprafață (limita de graunte). Dominant este mecanismul punctiform, iar la temperaturi scăzute cel de suprafață are o contribuție mai puternică. Valorile p și q sunt departe de cele prezise teoretic, fapt binecunoscut în cazul MgB_2 . Mai notăm că F_p^{\max} este determinată pentru zona de campuri magnetice medii. Prin urmare F_p^{\max} urmărește tendințele de la campuri mici/medii ale $J_c(H)$ pentru seriile AA 2015 și AA2016.

In cadrul fazei *Procesarea si caracterizarea aliajelor cu memoria formei pentru utilizarea lor in conditii extreme* s-a urmarit caracterizarea aliajelor feromagnetice de tip Heusler cu memoria formei care au fost ulterior supuse unor presiuni ridicate și evidențierea modului în care transformarea martensitică și proprietatile magnetice sunt afectate de aplicarea unei presiuni isostatice. Efectele presiunii hidrostatice asupra dependenței de temperatură a magnetizării în compusii studiați au fost măsurate cu ajutorul unei celule de presiune special concepută pentru a putea fi folosită în SQUID. Presiunea maximă care poate fi atinsă este de 10 kbar, aceasta fiind transmisă isostatic prin intermediul unui ulei siliconic. Determinarea presiunii s-a facut folosind un manometru din Pb prin măsurarea temperaturilor de tranziție supraconductoare ale acestuia pentru fiecare presiune aplicată. În general, măsurările care implica folosirea celulelor de presiune sunt consumatoare de timp, de aceea, în această etapă vor fi prezentate numai câteva astfel de rezultate pe benzi metalice $Ni_{50}Mn_{20}Ga_{27}Cu_3$ și $Ni_{50}Fe_{20}Ga_{27}Cu_3$, noteate MnCu, respectiv FeCu tratate termic timp de 1h la 400 C.

Dependența de temperatură ZFC-FC a magnetizării în funcție de câteva presiuni aplicate, la valori mici ale campului magnetic, este redată în figurile 1 și 2. În cazul $Ni_{50}Fe_{20}Ga_{27}Cu_3$ (Fig.1a), valorile temperaturilor de transformare martensitică (TM) rămân constante pentru ambele presiuni și campuri aplicate, în jur de 145K pentru austenita start As (determinată pe ZFC) și 155K pentru martensita start Ms (evaluată pe FC).

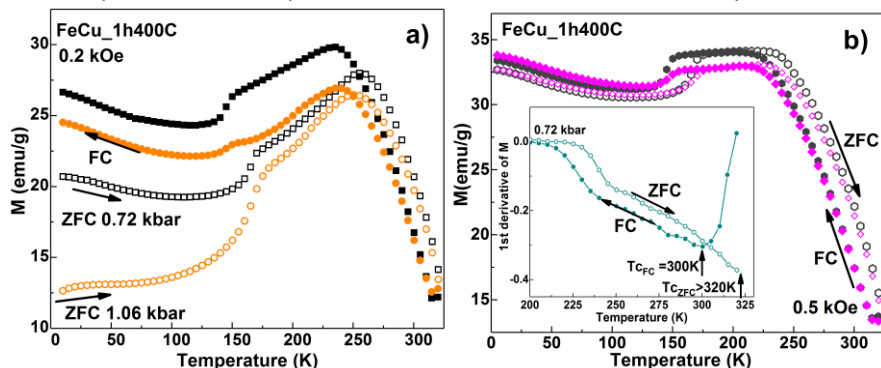


Fig.1 Efectul presiunii hidrostatice asupra dependenței de temperatură a magnetizării în $Ni_{50}Fe_{20}Ga_{27}Cu_3$, la valori mici campului magnetic aplicat. a) 0.2 kOe și b) 0.5 kOe; c) derivatele de ordinul I pentru benzile FeCu tratate 1h la 400C măsurate într-un camp de 0.5 kOe și sub o presiune de 0.72 kbar pentru curba ZFC (cercuri goale) și FC (cercuri pline).

Fără de cazul în care nu a fost aplicată nici o presiune, efectul presiunii este de usoara coborare a TM. Curbele de magnetizare în camp constant $M(T)$ indică o diferență de cel puțin 20K între temperaturile Curie evaluate pe ZFC ($T_c > 320K$) și FC ($T_c=300K$) atunci cand se aplică presiune – Fig. 1b-inset, pe cand fără presiune aplicată temperatura Curie T_c pe ZFC are aceeași valoare ca și pe FC. Totodată, din dependența de tip ZFC-FC a magnetizării, remarcăm că pe măsură ce crește valoarea presiunii aplicate valoarea de saturare ale magnetizării scăd, iar diferența de magnetizare între ZFC și FC la temperaturi joase crește. Ceea ce reflectă că presiunea induce pe lângă modificări ale constantelor de rețea și schimbări în cuplajul spin-rețea. În ceea ce privește probele $Ni_{50}Mn_{20}Ga_{27}Cu_3$, raman valabile afirmatiile facute în cazul precedent despre T_c , însă, în cazul temperaturii TM se observă o creștere a valorilor acestora odată cu creșterea presiunii aplicate (Fig.2): Dacă pentru o presiune de 0.81 kbar temperaturile caracteristice transformării martensitice austenita start $T_{As}=95K$ și martensita start $T_{Ms}=138K$, acestea cresc la $T_{As}=108K$ și $T_{Ms}=191K$ pentru 1.32 kbar. Rezultatele sunt în concordanță cu cele prezentate în literatură pe un aliaj asemănător.

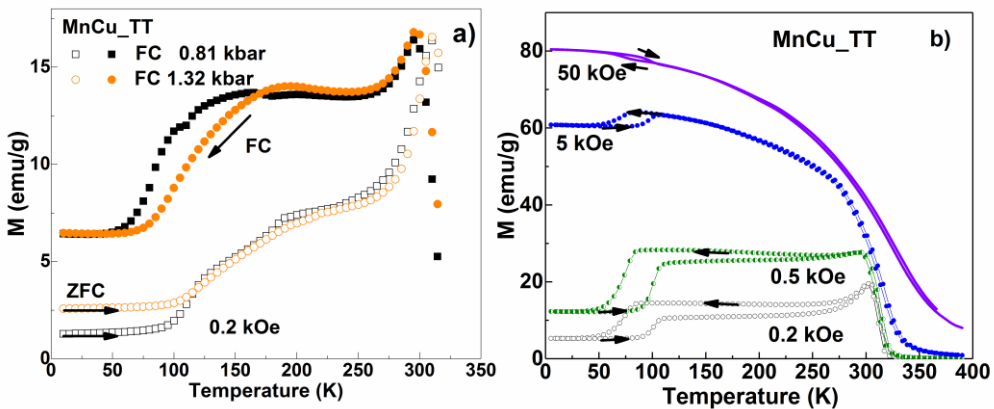


Fig. 2 a) Efectul presiunii hidrostatice asupra dependentei de temperatura a magnetizarii in $\text{Ni}_{50}\text{Mn}_{20}\text{Ga}_{27}\text{Cu}_3$, la 0.2 kOe campul magnetic aplicat. b) Curbele termo-magnetice $M(T)$ pentru proba MnCu_TT la diverse campuri magnetice aplicate.

In cadrul fazei *Caracterizarea structurala la scara nanometrica a materialelor avansate pentru pile de combustie de temperatură joasă* au fost efectuate determinări microstructurale și microana-litice prin microscopie electronică analitică de înaltă rezoluție prin transmisie privind structura, morfologia și compozitia unor materiale compozite utilizate ca electrozi în celule de combustie de temperatură joasă. Nanostructurile de Pt au fost preparate folosind metoda de depunere a filmelor subțiri prin pulverizare magnetron transformată astfel să se obțin nanostructuri de Pt. Au fost analizate trei tipuri de probe sub forma de pulbere de Pt cu indicațiile: CV11, CV44 și CV50. Investigațiile microstructurale s-au efectuat prin microscopie electronică analitică prin transmisie (TEM), operat la 200 kV. Probele au fost examinate în microscopul electronic folosind trei tehnici TEM diferite: difracție de electroni, imagistica în contrast de difracție (TEM conventional) și imagistica în costrast de fază (TEM de înaltă rezoluție). Aceste tehnici au fost folosite pentru a determina morfologia nanostructurilor de Pt, structura internă a acestora, precum și planele cristaline terminale de la suprafața nanostructurilor. Probele au fost preparate prin dispersare în etanol, soluțiile astfel obținute au fost picurate pe grile de microscopie electronică cu membrana de carbon

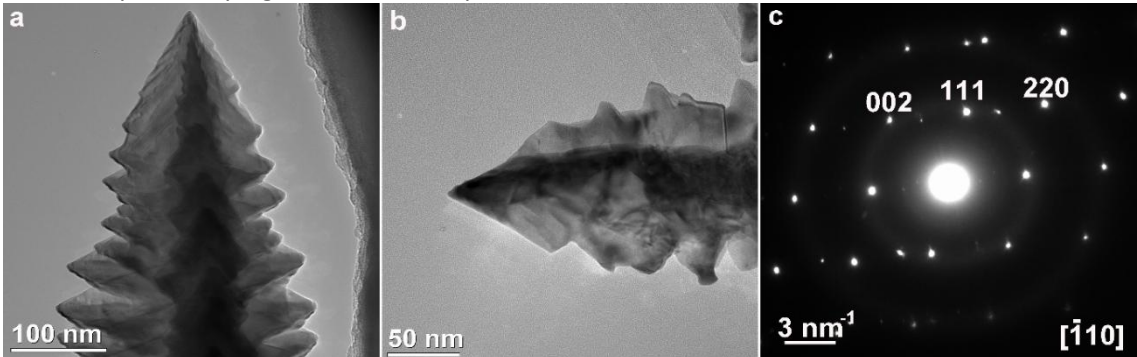


Figura 1. (a), (b) imagini TEM la marire mica arătând nanostructuri dendritice de Pt; (c) diagrama de difracție de electroni corespunzătoare imaginii TEM (b) înregistrată pe direcția [-110].

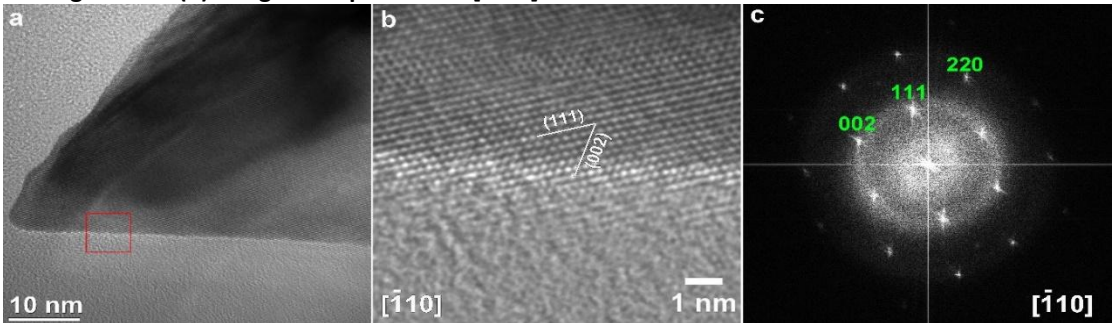


Figura 2. (a) imagine HRTEM achiziționată pe o dendrită de Pt; (b) detaliu extras din imaginea HRTEM (a) în care sunt indicate planele (111) și (002); (c) diagrama FFT corespunzătoare imaginii HRTEM (a).

Din imaginile TEM (Fig. 1a, b) se observă morfologia nanostructurilor de Pt precum și creșterea dendritică a acestora. Din diagrama de difracție de electroni (Fig. 1c) s-a determinat structura internă a nanostructurilor de Pt ca fiind cubică, cu grupul spatial Fm-3m. Tot din diagrama de difracție, achiziționată pe axul de zona [-110], se mai

poate observa ca directia de crestere a nanostructurilor este [111]. Imaginele HRTEM (Fig. 2a, b) arata o cristalinitate crescuta a nanostructurilor de Pt si tot de aici se mai poate vedea planele cristaline terminale (111) si (002) de la suprafata unei dendrite. Transformata Fourier (Fig. 2c) corespunzatoare imaginii HRTEM din Fig. 2a confirma orientarea si directia de crestere a dendritelor de Pt. In cazul probei CV44, folosind TEM conventional s-a observat ca cresterea nanostructurilor de Pt este de acelasi tip ca si in cazul probei precedente, adica dendritica. Din diagrama de difractie de electroni s-a determinat structura interna a nanostructurilor de Pt ca fiind cubica, cu grupul spatial Fm-3m. Din diagrama de difractie, achizitionata in axul de zona [100] s-a observat directia de crestere [002] a dendritelor de Pt. Imaginele HRTEM arata o cristalinitate crescuta a nanostructurilor de Pt in care mai putem observa si planele cristaline terminale (022) si (020) de la suprafata dedritelor de Pt. In cazul probei CV50, imaginile TEM la marire mica arata o crestere aciculara a nanostructurilor de Pt, o crestere diferita fata de celelalte doua probe analizate. Directia de crestere a structurilor de Pt, determinata din difractia de electroni (Fig. 5c), este [200]. Structura interna a nanostructurilor de Pt este aceeasi structura cubica cu grupul spatial Fm-3m. Imaginea HRTEM si transformata Fourier corespunzatoare acesteia arata ca aceasta structura aciculara este formata din doua parti despartite de un defect de tip macla, cu planul de maclaj (200). In imaginea HRTEM din Fig. 6b au fost indicate planele terminale (200) si (311) aflate la suprafata nanostructurilor de Pt.

Faza Sintesa si caracterizarea oxizilor de tip MO (M = Mg, Zn sau Ca) dopati cu ioni ai metalelor de tranzitie pentru aplicatii in cataliza si senzori de gaze a avut drept scop obtinerea si caracterizarea de (nano)pulberi de oxizi metalici de tipul MO multifunctionali. Folosind metoda coprecipitarii au fost preparate si izolate sub forma de pulberi urmatoarele probe: MgO nedopat si dopat cu ioni de Cr³⁺ si Cu²⁺, ZnO nedopat si dopat cu ioni de Cu²⁺, CaO nedopat si dopat cu ioni de Cu²⁺. Difractogramele inregistrate pe probele de MgO dar si pe probele dopate cu Cr (500 si 5000 ppm) si cu Cu (500 si 5000 ppm) indica prezenta in toate probele a unei singure faze cristaline cu structura cubica (periclase), grup spatial Fm3m. Difractogramele probelor de ZnO nedopat si dopat cu Cu 5000 ppm (concentratie nominala) care indica prezenta unei singure faze de ZnO (wurtzita) cu structura hexagonală P63mc. Difractogramele probelor de CaO nedopat si dopat cu Cu 5000 ppm (concentratie nominala) care indica prezenta unei faze cristaline de CaO cu structura cubica Fm3m, cu maxime foarte inguste si intense.

Investigatiile microstructurale s-au efectuat prin microscopie electronica analitica prin transmisie (TEM). Din imaginile TEM s-a observat ca proba de MgO nedopat se prezinta sub forma a doua tipuri de morfologii, nanoparticule aciculare si nanostructuri mezoporoase. Probele de MgO dopate cu Cr si Cu prezinta trei tipuri de morfologii, nanoparticule aciculare, nanostructuri mezoporoase si nanoparticule bine definite. Nanoparticulele aciculare au o lungime medie de 100 nm, nanostructurile mezoporoase o lungime medie de 40 nm, iar nanoparticulele bine definite au dimensiunea medie de 25 nm. Imaginele HRTEM arata ca nanostructurile de MgO sunt foarte subtiri, de cateva straturi atomice, si ca suprafata acestora este formata din trepte de tipul (002), lucru observat pentru toate cele trei morfologii.

Probele de CaO nedopat (Fig. 1) si dopat cu 5000 ppm Cu prezinta structura cubica cu grupul spatial Fm3m. Pulberea este formata din particule mari, monocristaline, de ordinul micronilor. In timpul investigatiei particulele de CaO monocristaline au suferit schimbari morfologice datorate iradierii cu fasciculul de electroni, acestea prezentand defecte multiple si transformandu-se in final in material policristalin. Imaginele HRTEM arata formarea de nanoparticule cu dimensiuni de 5-10 nm.

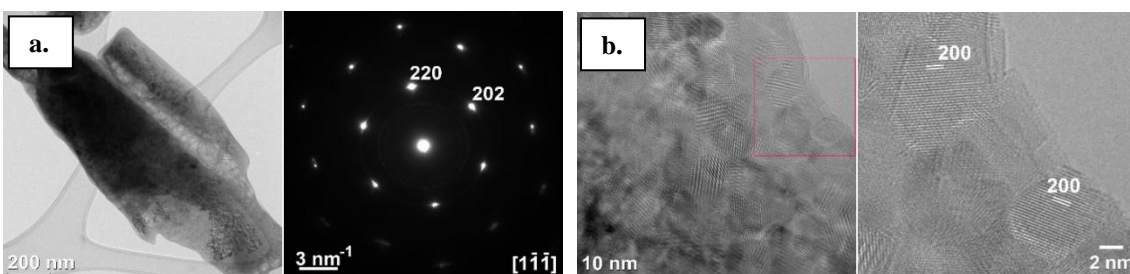


Figura 1. a. Imaginea TEM si difractia de electroni corespunzatoare achizitionate pe proba de CaO nedopat; b. Imaginea HRTEM achizitionata pe proba de CaO nedopat. Imaginea din partea dreapta reprezinta un detaliu extras din patratul rosu din imaginea HRTEM.

Spectrele FTIR pentru probele de MgO nedopat si dopat cu ioni de Cr³⁺ si Cu²⁺ sunt foarte asemanatoare, prezentand aceleasi benzi de absorbtie: la ~450 cm⁻¹ vibratia de intindere a legaturii Mg-O, ceea ce indica faza

predominanta ca fiind MgO, la $\sim 3500 \text{ cm}^{-1}$ v(OH) din moleculele de apa iar la $\sim 1500 \text{ cm}^{-1}$ banda caracteristica vibratiei de intindere asimetrica a gruparii $-\text{COO}$, care este prezenta in carbonati. Dat fiind ca pulberea de MgO este nanometrica, suprafata specifica foarte mare a nanoparticulelor permite adsorbtia cu usurinta a moleculelor de apa si CO_2 din atmosfera. Spectrele FTIR ale probelor de CaO nedopat si dopat cu 5000 ppm Cu prezinta aceleasi benzi de absorbtie. Vibratia de intindere a legaturii Ca-O de la $\sim 430 \text{ cm}^{-1}$ indica faza predominanta de CaO. Banda de la $\sim 3500 \text{ cm}^{-1}$ v(OH) se datoreaza prezentei moleculelor de apa iar vibratia de intindere asimetrica a gruparii $-\text{COO}$ de la $\sim 1500 \text{ cm}^{-1}$ se datoreaza prezentei gruparilor carbonat, in acord cu datele XRD care indica prezenta unei faze minoritare de carbonat de calciu . Analiza spectrelor FTIR pune in evidenta in toate probele sintetizate prezenta, pe langa gruparile functionale caracteristice fazei majoritare de tipul MO, a unor grupari funktionale caracteristice unor faze minoritare incorporate cel mai probabil din precursori (azotati) sau formate post-sinteza (carbonati).

Au fost efectuate masuratori RES in regim continuu in benzile de frecventa X (9,7 GHz) si Q (34 GHz) in domeniul de temperatura 300–10 K. Analiza spectrelor RES indica incorporarea ionilor Cu^{2+} in volumul particulelor in pozitii substitutionale M^{2+} doar in cazul MgO si CaO. In cazul tuturor celor trei compusi MO au fost observati centri Cu^{2+} localizati in faze secundare pe baza de hidroxizi si carbonati in regiunile intercristaline. In cazul probei de MgO dopat cu 500 ppm Cu^{2+} s-a observat o concentratie mare de defecte intrinseci care dau si o banda de absorbtie in UV la $\sim 365 \text{ nm}$. In cazul ionilor de Cr^{3+} in MgO s-a observat ca la concentratii mai mici (500 ppm) intra predominant in volumul nanocristalelor, iar la concentratii mari (5000 ppm) sunt localizati predominant intr-un strat superficial dezordonat.

Faza intitulata „*Sinteză si caracteri zare de compusi multiferici cu temperatura de tranzitie mare*” a avut ca obiectiv sinteza $\text{Pr}_2\text{CoMnO}_6$ prin metoda ceramica pornind de la precursori oxidici, caracterizarea structurala si pe investigarea proprietătilor magnetice, termodinamice si feroelectrice la temperaturi joase de pana la 1.8K si câmpuri magnetice intense de pana la 14 T.

Au fost preparate prin metoda ceramică câte 15 g de pulbere de $\text{Pr}_2\text{CoMnO}_6$ și respectiv de $\text{Ho}_2\text{CoMnO}_6$ pornind de la precursori oxidici, carbonați si nitrați de puritate ridicată. Analiza prin difracție de raze X a aratat ca probele analizate conțin în afara de faza $\text{RE}_2\text{CoMnO}_6$, si faza MnCo_2O_4 -cubica. După sinterizare cristalitele $\text{RE}_2\text{CoMnO}_6$ cresc ajungând pana la sute de nanometri, parametrii de rețea se modifica puțin, astfel încât volumul celulei elementare crește cu cca. 0.6% în cazul probei $\text{Ho}_2\text{CoMnO}_6$ și cu cca 1% în cazul probei $\text{Pr}_2\text{CoMnO}_6$.

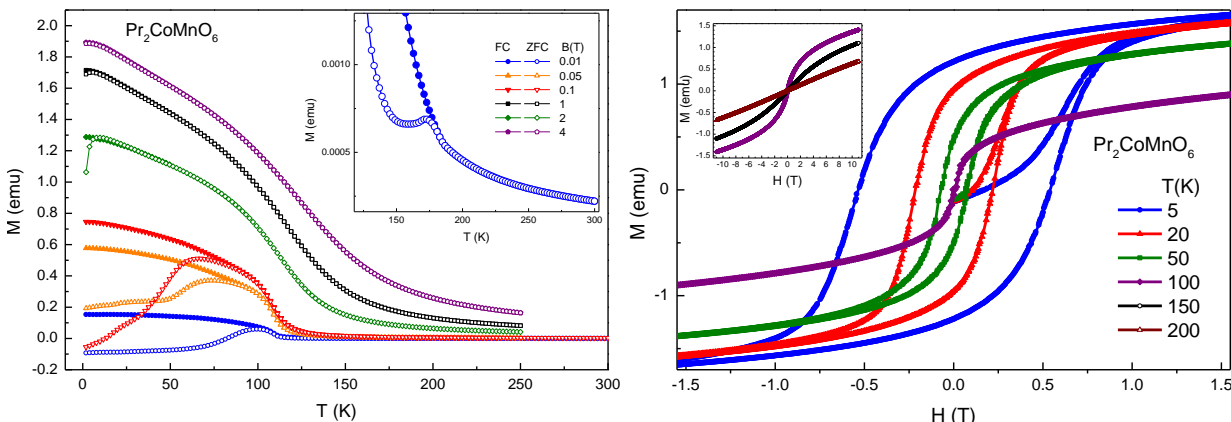


Fig. 1: Dependenta magnetizării de temperatură pentru diverse valori ale câmpului magnetic extern, pentru FC si ZFC in $\text{Pr}_2\text{CoMnO}_6$ (stanga); $M(H)$ la diferite temperaturi pentru diverse valori ale temperaturii. Jos: $C/T(T)$ pentru $H = 0 \text{ T}$ (dreapta)

Dependenta magnetizării de temperatura, la diverse câmpuri magnetice externe, H , atât pentru răcirea in câmp magnetic (Field Cooled, FC) cat si pentru răcirea in absenta câmpului magnetic (Zero Field Cooled, ZFC) sunt prezentate in figura 1 in cazul probei $\text{Pr}_2\text{CoMnO}_6$. Pentru valori mici ale câmpului valorile magnetizării pentru ZFC sunt negative in ciuda faptului ca magnetizarea remanenta a criostatului este neglijabila in raport cu câmpul aplicat. Dependenta de temperatura a magnetizării in faza FM, evoluția in câmp a temperaturii de crossover de la $M<0$ la $M>0$, împreuna cu tranzițiile multiple ar putea fi o semnătura a metamagnetismului in acest compus, similar cu alte materiale din aceeași clasa. Ferromagnetismul in acest compus se datorează cel mai probabil interacțiilor de superschimb. Aceasta structură de perovskit dublu poate acomoda simultan Co^{2+} , Co^{3+} , Mn^{3+} cat si Mn^{4+} iar interacțiile ferromagnetice sunt cauzate de $\text{Mn}^{3+}-\text{O}-\text{Mn}^{4+}$, $\text{Co}^{2+}-\text{O}-\text{Co}^{3+}$, $\text{Co}^{2+}-\text{O}-\text{Mn}^{4+}$, si $\text{Co}^{3+}-\text{O}-\text{Mn}^{3+}$ in timp ce celelalte interacții sunt probabil de natura antiferomagnetică. La temperaturi mari, peste $T = 205 \text{ K}$ prezinta un comportament paramagnetic (PM) Curie-Weiss de unde obtinem $C = 6.38 \text{ (emu K)}/(\text{Oe mol})$ si $\theta = 102.5 \text{ K}$ in

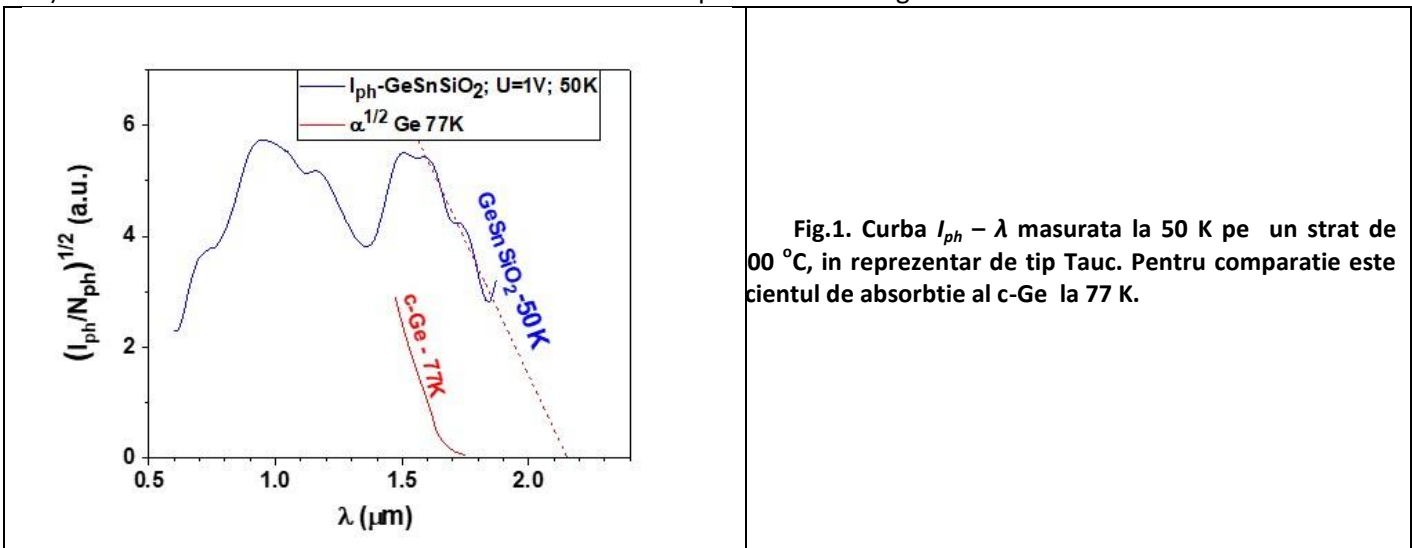
concordanta foarte buna cu datele din literatura. Valoarea pozitiva pentru θ indica clar caracterul net feromagnetic al corelatiilor dintre elementele tranziționale in acest compus. Faptul ca $\theta < T_c^{-1}$ indica de asemenea prezenta interacțiile antiferomagnetice in sistem.

Prezenta histerezisului (in dependenta magnetizării probei in funcție de câmpul magnetic-Figura 1) confirma caracterul feromagnetic al $\text{Pr}_2\text{CoMnO}_6$ la temperaturi joase. O inflexiune in $M(H)$ poate fi observata chiar si pentru $T = 150$ K in timp ce la $T = 200$ K proba este pur paramagnetic (inset fig. 2 sus). Magnetizarea nu este complet saturata nici pentru $H = 11$ T. Dependenta căldurii specifice, C_p/T de temperatura nu prezinta anomalii clare asociate tranzițiilor feromagnetice. Proprietățile feromagnetice ale acestui compus par a fi semnificativ influențate de vacantele de oxigen raportul in faza ordonata si cea dezordonata scăzând odată cu creșterea temperaturii de tratament in oxigen [3]. De asemenea dimensiune cristalitelor pare a fi serios afectata. A fost investigata posibilitatea existentei unor proprietăți feroelectrice ale compușilor cu Pr si Ho, prin măsurători de polarizare electrica in funcție de câmpul electric aplicat (P-E). Nu se observa inflexiunea caracteristica curbelor de polarizare ale unui compus feroelectric, ceea ce înseamnă ca materialele studiate fie nu sunt feroelectrice la 77 K, fie au proprietăți feroelectrice foarte slabe, care sunt mascate de pierderile dielectrice, sau necesita câmpuri electrice mai mari pentru a fi evidențiate.

In cadrul fazei „*Studiul proprietatilor de transport electronic in nanostructuri pe baza de Si-Ge-Sn*”, s-au investigat mecanismele de transport electric si fototransport in filme si structuri multistrat pe baza de NC de GeSn si GeSi cu diferite morfologii. NC de GeSn s-au obtinut prin depuneri de straturi de GeSn-SiO₂, folosind pulverizarea cu magnetron din tinte de Ge, Sn si SiO₂. Ca suporti, s-au utilizat placete de c-Si si din quart topit. Dupa depunere pe substrat la temperatura camerei straturile sunt amorse. Prin tratamente RTA in domeniul 350 – 450°C, depinzand in special de concentratia relativa de Sn fata de Ge, se produce separarea fazei de GeSn cu formare de NC in SiO₂.

Investigarea proprietatilor de transport electric s-a efectuat pe probe pe care s-au depus electrozi de Au semitransparent sau de Al prin evaporare termica in vid. Masurarile electrice de curent functie de tensiunea aplicata (curbe $I-V$), precum si functie de temperatura ($I-T$) au fost efectuate in domeniul de temperaturi 20 – 300 K. Transportul de sarcina intr-un astfel de strat nanocompozit poate avea insa diverse componente, ca de exemplu hopping activat termic sau tunelere intre NC GeSn, dar si o conductie in matricea de SiO₂ daca aceasta contine in structura sa Ge si Sn dupa tratamentul RTA. Acest lucru este favorizat de faptul ca SiO₂ in nanocompozit are concentratie scazuta. Din dependenta de temperatura a curentului de intuneric ($I-T$) pentru o proba de GeSn-SiO₂ cu nanocristale de GeSn s-au calculat energii de activare de 94 meV si respectiv 4 meV asociate atat de variația mobilitatii purtatorilor intr-un proces de hopping activat termic, precum si de cresterea popularii nivelurilor electronice de energie mai inalta si mobilitate mai mare la cresterea temperaturii.

Procesele de fotoconductie au fost investigate prin masurari de photocurent spectral iar dependenta spectrala a photocurentului ($I_{ph} - \lambda$) masurata la 50 K pe o proba GeSn-SiO₂ cu 12% Sn si 14% SiO₂ (Figura 1) a aratat ca pragul de absorbtie la stratul de GeSn-SiO₂ cu NC GeSn este in domeniul SWIR, la aproximativ 2,15 μm lungime de unda (~ 0,58 eV). Se observa ca in NC GeSn limita de absorbtie este deplasata catre lungimi de unda mai mari



Masurarile $I - V$ pe structura sandwich au aratat un caracter redresor datorat heterojonctiunii dintre stratul de NC GeSn - SiO₂ si suportul p-Si (Fig. 2). Caracterul redresor este mult crescut la temperaturi joase de 100 K, iar

currentul la polarizarea negativa a electrodului de Au este cu ordine de marime mai mare decat currentul invers la polarizare pozitiva. Aceasta dovedeste caracterul de semiconductor de tip n al stratului de GeSn-SiO₂. Prin aplicarea de potential negativ la suprafata filmului se produce o extindere a zonei de sarcina pozitiva in NC GeSn de la interfata cu Si, precum si saracirea in purtatori majoritari in suportul de Si la jonctiunea cu filmul. Din dependenta de temperatura a currentului invers $I - T$ masurata la tensiune de +1V. S-au calculat energiile de activare la temperaturi joase si respectiv la temperaturi in jurul temperaturii camerei sunt de 28 meV si respectiv de 78 meV.

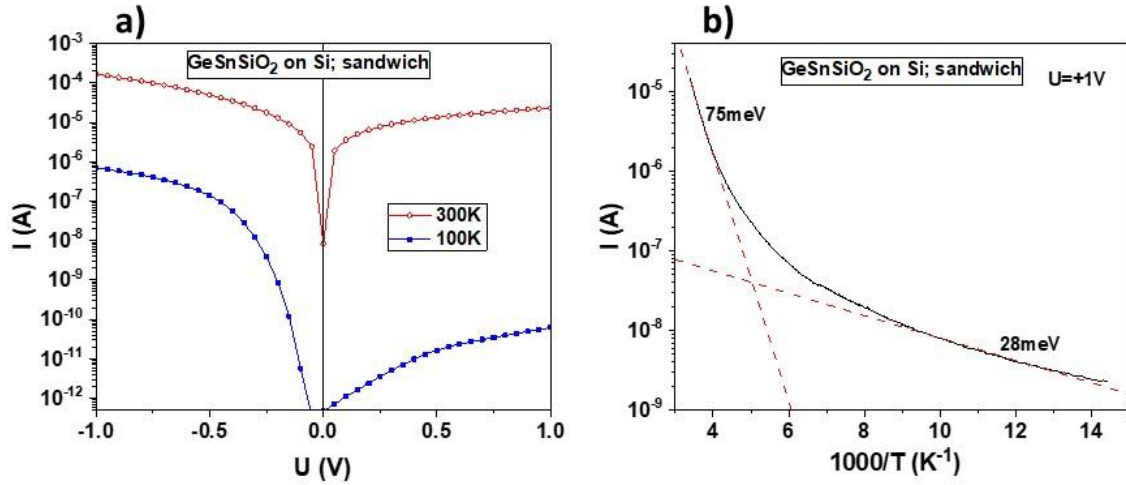


Fig. 2. a) Caracteristici $I - V$ in scala semilogaritmica masurate la 100 si 300 K pe structura sandwich Au/GeSn-SiO₂/c-Si/Al, RTA 400 °C; b) curba $I - T$ pentru polarizare inversa de +1V.

Au fost preparate straturi de GeSi-SiO₂ cu componetie Ge:Si:SiO₂ de 25:25:50 prin pulverizare cu magnetron si calcinare la 700 si 800 °C pentru formarea de NC GeSi. Curbele $I - V$ masurate la intuneric $I_i - V$ si sub lumina $I_{ph} - V$ (20 mW/cm²) au aratat comportament redresor atat la intuneric cat si sub lumina (Figura 3).

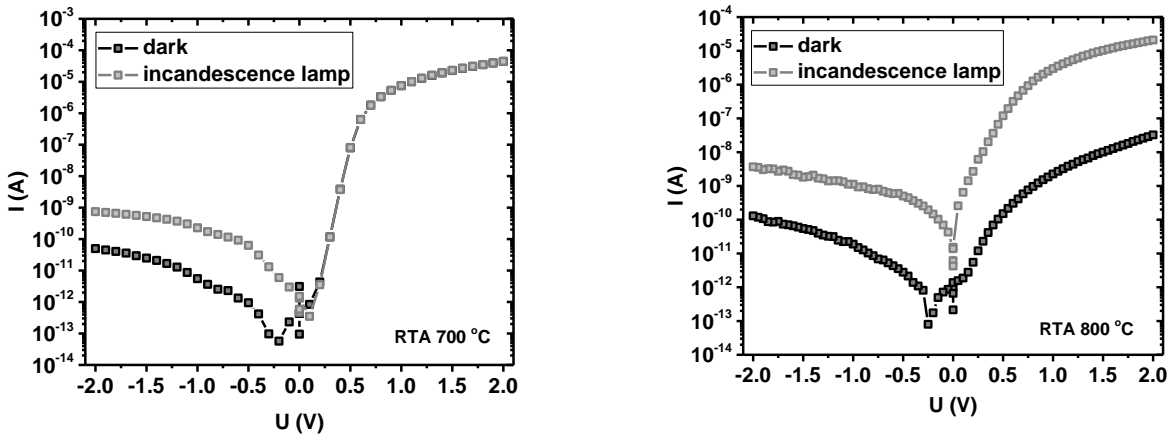


Fig. 3. Caracteristici $I - V$ masurate in geometrie sandwich pe straturi de GeSi-SiO₂, RTA 700 si 800 °C.

S-au studiat mecanismele de transport electric pe care se bazeaza mecanismul de functionare/operare al capacitorului ca memorie nevolatila. In Fig. 4 (stanga) este prezentata curba $C - V$ masurata la 1 MHz pe o structura de memorie de tip capacitor MOS cu NC GeSi inglobate in SiO₂ tratata RTA la 700 °C. Curba $C - V$ este deplasata catre tensiuni negative datorita prezentei centrilor de captura la interfata SiO₂/Si, prezinta histerezis cu fereastra de memorie de 1,2 V si un sens de parcurs antiorar, ceea ce arata ca incarcarea centrilor de stocare de sarcina se face prin injectia purtatorilor din substratul de Si de tip p prin tunelarea filmului de SiO₂ tunel (asistata de camp electric si/sau termic). In Fig. 9 (dreapta) este prezentat mecanismul de functionare.

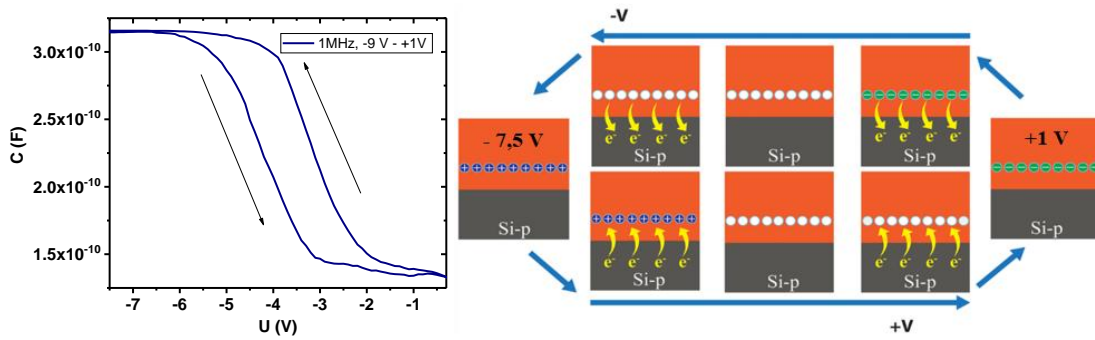


Fig. 4. Curba $C - V$ masurata pe structura de capacitor MOS cu NC GeSi inglobate in SiO_2 tratata RTA la 700°C ; Mecanismul de functionare a capacitorului de memorie.

Faza *Sisteme oxidice nanometrice cu structura piroclorica procesate prin metode neconventionale* a avut ca obiectiv obtinerea TbMn_2O_5 folosind in premiera Spark Plasma Sintering (SPS), o metoda de sinteza si sinterizare neconventională și extrem de rapidă, in care compusii sunt obtinuti sub actiunea simultana a pulsurilor electrice si presiunii. Materialul nou-obtinut a fost investigat si analizat comparativ cu cel procesat in conditii clasice, respectiv, reactia in faza solida.

Manganatul de terbiu cu structura piroclorica, TbMn_2O_5 , a fost obtinut prin doua metode diferite de procesare : reactie in faza solida (metoda clasica) si Spark Plasma Sintering (metoda neconventională).

(i) Pentru metoda clasica de sinteza s-a pornit de la un amestec de oxizi de terbiu si mangan: Tb_4O_7 (99.99%) : MnO_2 (99.99%) =1 :2 (raport atomic) omogenizat prin mojarare timp de o ora (obtinandu-se o pulbere precursoare. Aceasta a fost calcinata si sinterizata. Identificarea temperaturilor specifice de calcinare si sinterizare s-a facut cu ajutorul analizei termice diferențiale a precursorului oxidic. Masuratorile au fost realizate in aer sintetic (20% O_2 : 80 N_2) si in atmosfera inerta (Ar) prin incalzirea probei de la temperatura camerei la 1200°C . (Fig. 1)

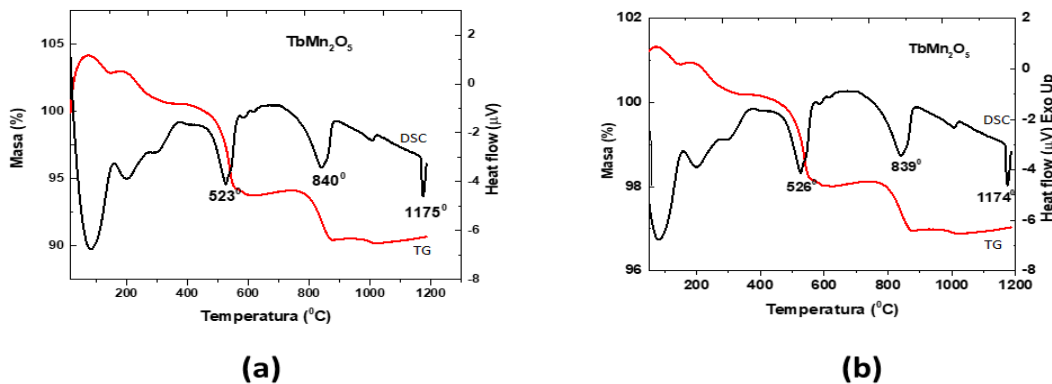


Fig 1. Derivatograme obtinute pe precursorul oxidic de pulbere ($\text{Tb}_4\text{O}_7 : \text{MnO}_2 = 1 : 2$) masurat in atmosfera de aer sintetic (a) si argon (b).

In ambele situatii s-a observat o pierdere relativ mica de masa (cca. 8% pentru proba masurata in aer, respectiv, cca. 3% pentru cea masurata in atmosfera inerta) datorate pe de-o parte evaporarii compusilor volatili, cu precadere a moleculelor de apa (acest proces avand loc pana in jurul temperaturii de 300°C) urmata de descopunerea termica a compusilor metastabili formati in timpul incalzirii si eliminarea lor odata cu cresterea temperaturii. Ambele derivatograme evidentiaza finalizarea procesului de descompunere termica a precursorului in jurul temperaturii de 840°C , cand nu mai apare nici o variatie pe curba de masa. Picul endoterm centrat in jurul temperaturii de 1175°C este asociat temperaturii de formare a piroclorului.

Materialul precursor oxidic a fost tratat termic in doua forme: in pulbere si sub forma de pastila. Difractia de raze X si analiza Rietveld a confirmat formarea fazei unice ortorombice de TbMn_2O_5 pe proba de tip pastila. O posibila explicatie pentru obtinerea unei cantitati mai ridicate de faza in pastila decat in pulbere este, pe de-o parte, o interactie mai buna a particulelor ca urmare a micsorarii distantei dintre ele prin presare, iar pe de alta parte existenta unui flux de gaz uniform pe intreaga suprafata a materialului. Analiza Rietveld a spectrului de difractie a permis evaluarea in detaliu a structurii compusului nou-format.

(ii) Cea de-a doua metoda de procesare a piroclorului TbMn_2O_5 a fost Spark Plasma Sintering (SPS) folosita in premiera pentru obtinerea acestui material. Procesarea SPS a fost realizata intr-o atmosfera de Ar (0.8atm). Au fost

abordate două variante tehnologice: într-un prim experiment amestecul de oxizi de Mn și Tb omogenizat timp de 30 de minute prin mojarare a fost supus direct unui tratament termic în instalația SPS. Pentru cea de-a două variantă de procesare prin SPS, amestecul precursor de pulberi oxidice a fost mai întâi supus unui tratament de calcinare clasică, în aer la temperatură de 1060 °C, timp de 2 ore. Dupa mojarea pulberii calcinate, aceasta a fost sinterizată în instalația SPS. Cele mai bune rezultate au fost obținute pentru proba calcinată în aer și sinterizată prin SPS la temperatură de 1140 °C.

Investigarea proprietăților s-a facut pe compusul obținut prin procesarea clasică având în vedere faptul aceasta proba a avut cea mai mică cantitate de faze secundare. În (Fig. 2) sunt reprezentate curbele de magnetizare în funcție de campul magnetic aplicat, măsurate la mai multe temperaturi în intervalul 2 K ÷ 300 K la un camp magnetic aplicat de 50000 Oe. La temperaturi joase 2, 5, 10 K materialul are un comportament antiferomagnetic (AF) generat de cuplajul spinilor 4-f corespunzători ionilor de pamant rar.

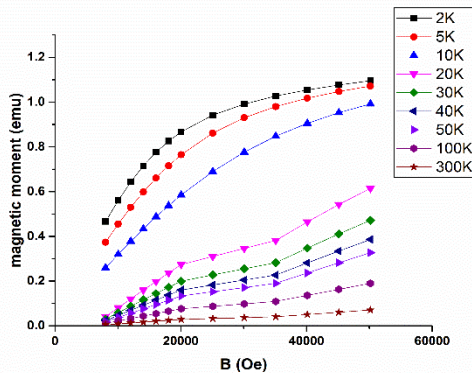


Fig.2. Dependenta momentului magnetic functie de campul magnetic aplicat pentru proba de TbMn_2O_5 obtinuta prin procesare clasică.

Pentru proba studiată, tranzitia AF este vizibila până la 50 K după care proba devine paramagnetică. Înregistrarea momentului magnetic în funcție de temperatura indică deasemenea existența tranzitiei antiferomagnetice la temperatura de 42 K ceea ce este buna concordanță cu datele prezentate în literatură.

Faza *Structuri magnetice nanodimensionale complexe obținute pe cale chimică* are drept obiectiv fundamental realizarea de structuri magnetice complexe de tip particule magnetice miez-invelis, particule magnetice inglobate în matrici mezoporoase și particule magnetice cu invelis functionalizat și investigarea complexă structurală, magnetică și Mossbauer. S-au preparat nanoparticule (NP) poroase de hematita ($\alpha\text{-Fe}_2\text{O}_3$) pornind de la soluții apoase de saruri și surfactant Pluronic prin efectuarea de tratamente hidrotermale la 80 ÷ 90 °C urmate de calcinare. La valori de pH acid (pH=5) NP au forma alungită în timp ce la pH slab bazic (pH=8) NP de hematita au formă vermiculară. În mod similar, pornind de la soluții apoase de saruri de fier și cobalt și surfactant Pluronic prin sinteza hidrotermală și calcinare s-au preparat NP poroase de ferita de cobalt (CoFe_2O_4). Prin tratament reducator, urmat de tratament de nitrurare în flux de NH_3 s-au produs NP alungite de Fe_{16}N_2 și NP miez/invelis de tip $\text{Fe}/\text{Fe}_{16}\text{N}_2$. Coercitivitatea și remanenta NP de Fe_{16}N_2 ($H_c=1350$ Oe respectiv $R=30.8\%$) sunt superioare celor obținute pentru NP de Fe, deci modificarea NP de Fe cu atomi interstitiali (N) duce la îmbunătățirea proprietăților magnetice.

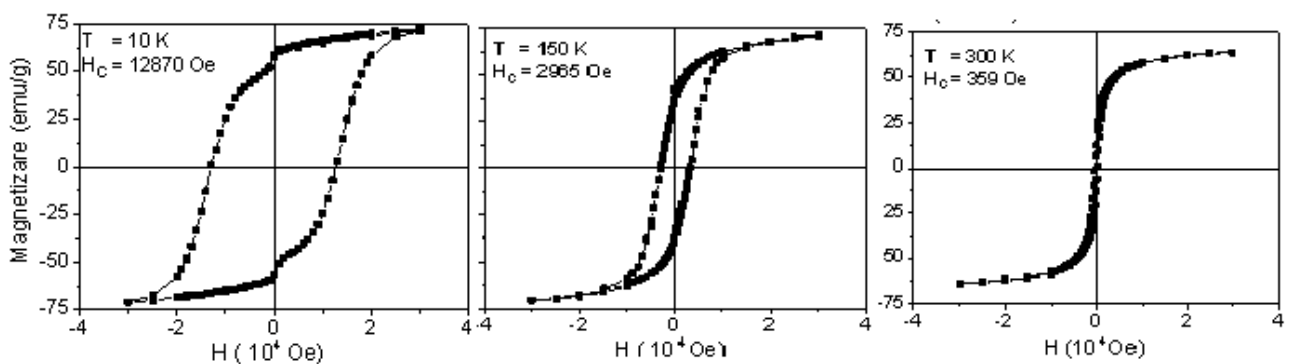


Fig.1 Curbe de histerezis masurate la diverse temperaturi și variația campului magnetic coercitiv cu temperatura pentru nanoparticulele CoFe_2O_4 obținute la pH=8,3

O temperatura de nitrurare prea mica (145°C) nu permite formarea Fe_{16}N_2 in timp ce o temperatura de nitrurare prea mare (200°C) duce la formarea fazei nedorite Fe_4N care inrautateste proprietatile magnetice. NP de Fe_{16}N_2 obtinute prin acest procedeu prezinta anizotropie magnetica de forma importanta. In functie de valorile pH, s-au obtinut NP de CoFe_2O_4 aproape monodisperse cu dimensiunea medie $9\text{nm}(\text{pH}=9,3)$, $9,6\text{ nm}(\text{pH}=8,3)$ si $7,8\text{ nm}(\text{pH}=7,8)$. Din fiturile liniare (similar cu cel din Fig. 1) pentru nanoparticule (NP) obtinute la diferite valori de pH se obtin valorile constantei de anizotropie, K, temperaturilor de blocare T_B , si magnetizarilor la saturatie, M_s : (i) $K = 187\text{ kJ/m}^3$, $T_B=233\text{ K}$ si $M_s=50,1\text{ emu/g}$ pentru NP obtinute la $\text{pH}=7,3$, (ii) $K = 354\text{ kJ/m}^3$, $T_B=272\text{ K}$ si $M_s=83,6\text{ emu/g}$ pentru NP obtinute la $\text{pH}=8,3$ si (iii) $K = 327\text{ kJ/m}^3$, $T_B=247\text{ K}$ si $M_s=82,7\text{ emu/g}$ pentru NP obtinute la $\text{pH}=9,3$. Se observa ca cele mai mici valori ale lui K si T_B se obtin pentru NP cu cea mica dimensiune ($7,8\text{ nm}$) obtinute la $\text{pH}=7,3$, iar cele mai mari valori ale K si T_B se obtin pentru NP cu cea mai mare dimensiune ($9,6\text{ nm}$) obtinute la $\text{pH}=8,3$. Valori mai mici ale M_s de $50,1\text{ emu/g}$ se obtin pentru NP cele mai mici (obtinute la $\text{pH } 7,3$) datorita contributiei relative mari a suprafetei care are o structura de spin dezordonata si/sau gradului de dezordine mai ridicat al structurii cristaline comparativ cu NP obtinute la valorile pH de $8,3$ si $9,3$. NP de CoFe_2O_4 sunt in regim de relaxare superparamagnetica asa cum arata masuratorile de spectroscopie Mossbauer pe izotopul ^{57}Fe la temperatura variabila. Prin reducerea partiala la diferite temperaturi a NP de CoFe_2O_4 s-au realizat structuri miez/invelis cu cuplaj de schimb de tip $\text{CoFe}_2\text{O}_4 / \text{CoFe}_2$. Faza de ferita prezinta coercitivitate H_c mare si magnetizare la saturatie M_s mai mica, in timp ce faza CoFe_2 prezinta H_c mic si M_s mare. Prin cuplajul de schimb intre cele doua faze se maximizeaza aria ciclului de histerezis (produsul energetic). La temperatura de reducere de 420°C pentru 1h se observa realizarea cuplajului de schimb intre cele doua faze pentru proportia ($\text{CoFe}_2\text{O}_4 / \text{CoFe}_2 \approx 1:1$) estimata din spectrul Mossbauer masurat la temperaturi joase. La $T=8\text{ K}$ faza spinelica CoFe_2O_4 este reprezentata de un sextet larg (suprapunere de 2 pozitii neechivalente ale fierului cu invecinare tetraedrica si octaedrica) cu valoare medie de camp magnetic hiperfin $B = 51\text{ T}$ si deplasarea izomera $IS = 0,46\text{ mm/s}$ iar faza CoFe_2 este reprezentata de un sextet cu valoarea $B=36,3\text{ T}$ si $IS=0,14\text{ mm/s}$. Din ariile relative ale celor 2 sextete s-a estimat proportia celor 2 faze. Curba experimentală de histerezis masurata la temperaturi joase s-a potrivit bine cu cea obtinuta prin simulari micromagnetice efectuate cu ajutorul programului OOMMF pentru NP de CoFe_2O_4 ($\text{pH}=8,3$) utilizand constanta de anizotropie uniaxiala $K=600\text{ kJ/m}^3$, magnetizarea la saturatie $M_s=84,9\text{ emu/g}$ si constanta exchange stiffness $A=14\text{ pJ/m}$, valori apropriate de cele obtinute experimental. Atat in cazul NP de Fe_{16}N_2 cat si in cazul NP de CoFe_2O_4 se observa inducerea anizotropiei de forma cu efect in cresterea coercitivitatii.

Proiect 3: Materiale functionale si structuri cu impact tehnologic; noi dispozitive si metode de sinteza si de analiza.

Proiectul a fost structurat pentru realizarea a 11 faze pe toata durata anului 2017.

Prima faza al proiectului a fost dedicata obtinerii de filme subtiri si acoperiri multi-functionale cu bariera termica din faze nanolamine pe baza de crom (Cr) si titaniu (Ti). Ca si rezultate preconizate s-a urmarit: a) utilizarea instalatiilor de co-depunere pentru realizarea de filme subtiri si acoperiri cu bariera termica avand diferite grosimi, sisteme ce fac parte din clasa mai larga de faze denumite MAX. Sistemele abordate au fost: Cr-Al-C si Ti-Si-C; b) optimizarea stoichiometriei si a conditiilor de depunere pentru realizarea de acoperiri monofazice omogene structural; c) caracterizarea structural morfologica, optimizarea parametrilor tehnologici pentru evitarea delaminarii de pe substrate; d) evidenierea caracteristicilor mecanice si de transport ale sistemelor de acoperiri cu faze MAX 211 si 312.

Pentru realizarea filmelor subtiri din sistemul Cr_2AlC , s-a utilizat metoda de co-depunere in fascicul de ioni. Metoda utilizeaza o camera de vid ultra inalt (presiune de baza $2 \times 10^{-6}\text{ mbar}$) si doua surse de ioni emisi prin incalzirea unui filament de wolfram. Una dintre surse este folosita pentru curatarea substratului, iar cealalta pentru depunere. Tinta a fost din Cr pur (99,99%), acoperita de grafit si foi de Al. Au fost realizate doua probe la temperaturi diferite de sintetizare. Proba 1 a fost depusa pe un substrat incalzit la 380°C si proba 2 pe un substrat neincalzit. S-au realizat tratamente termice post depunere in aer, intr-un cuptor cu temperature controlata, avand o rata de incalzire de 40 K/min . Esantioane din probele obtinute au fost incalzite la 650°C pentru 20 min si la 700°C pentru 30 min.

Compozitia chimica a fost determinata prin EDX si WDX, in timp ce structura si morfologia au fost investigate utilizand GIXRD si SEM. Difractometrul Bruker Advance a fost utilizat pentru studiile XRD, iar imaginile SEM si profilele EDX au fost obtinute folosind un microscop electronic in baleaj Carl Zeiss. Compozitia chimica a filmelor, asa cum au fost ele depuse a fost determinata prin EDX si este aproape de compozitia de faza nominala unica Cr_2AlC .

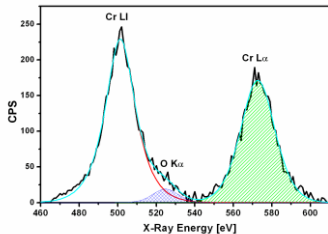


Fig. 1: Picurile WDX ale Cr L1 si Cr L α pentru proba as-deposited. Se observa un pic minor, convolut, al O K α .

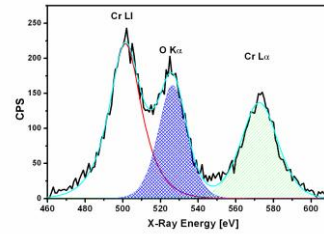


Fig. 2: Picurile WDX ale Cr L1 si Cr L α pentru proba tratata termic. Picul O K α este bine rezolvat, ceea ce indica o crestere a continutului de oxigen in acord cu datele XRD.

Este clar din datele EDX ca liniile L ale Cr se suprapun in mod semnificativ cu liniile K ale oxigenului din cauza rezolutiei insuficiente a detectorului EDX. Acest lucru face ca evaluarea corecta a concentratiei de oxigen sa fie imposibil de realizat prin deconvolutia spectrelor EDX. Pentru a evalua continutul de oxigen din filme am utilizat spectroscopia WDX (wave-dispersive X-ray spectroscopy). In acest caz, deconvolutia spectrelor de raze X, cu trei componente de linii principale permite observarea unui pic mic al oxigenului in proba 1. (Fig. 1). Dupa tratamentul termic, aria picului de oxigen creste semnificativ (Fig. 2), din cauza oxidarii filmului.

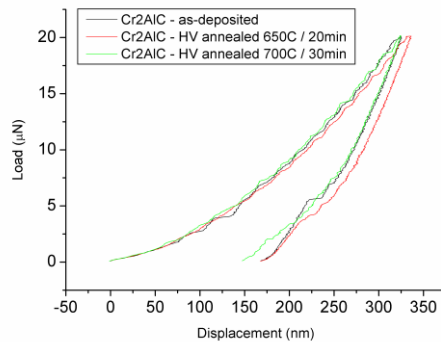


Fig. 3: Caracteristica incarcare-indentare obtinuta pentru incarcari de pana la 20 μ N pentru probele de faze MAX 211 Cr₂AlC

Caracteristicile mecanice ale straturilor subtiri astfel obtinute au fost determinate prin masuratori de nanoindentare cu ajutorul aparatului Nanotester. Tehnica consta in aplicarea graduala a unei forte (incarcari) de ordinul cativa μ N si masurarea indentarii obtinute in suprafata filmului. S-a observat (Fig. 3) faptul ca la sarcina maxima aplicata de 20 μ N indentarea produsa in film a fost de 300 nm ceea ce reprezinta mai putin de 12% din grosimea filmului. Acest rezultat arata o duritate remarcabila a stratului insotita si de o elasticitate ce permite considerarea acestui tip de aliaje pentru aplicatii tehnologice ce necesita operare in conditii dificile, cum ar fi turbinele motoarelor de avioane sau a turbinelor eoliene.

Cea de-a doua faza a fost dedicata realizarii si caracterizarii de metasuprafete plasmonice pentru componente optice cu rezolutie sub limita de difracție. S-a urmarit modelarea, realizarea si caracterizarea unor materiale cu dimensionalitate redusa (metamateriale) pentru componente optice cu rezolutie sub limita de difracție: superlentile de camp apropiat sau indepartat, polarizori si lamele retardoare pentru analizori de stari de polarizare in camp indepartat.

Metasuprafetele (MTS) reprezinta o analogie bidimensională (2D) a metamaterialelor (MTM), care sunt nanomateriale artificiale tridimensionale (3D) cu inclusiuni (cu conductie metalica sau proprietati magnetice specifice) mai mici decat lungimea de unda. Inclusiunile sunt identice ca forma si aranjate ordonat in matricea sau pe substratul de baza. Un MTM prezinta parametrii care nu apar in materialele naturale.

Proprietatile plasmonice ale MTS decurg din prezenta electronilor liberi in inclusiunile metalice si sunt utilizate pentru realizarea unor componente electro-optice ultrasubtiri, lipsite de aberatii, cu ajutorul carora se demonstreaza doua functionalitati:

1. obtinerea rezolutiei optice sub limita de difractie ca superlentila capabila sa preia detaliile mai mici decat jumatale din lungimea de unda de lucru la incidenta normala din undele evanescente (evanescent waves-EW) sau undele de suprafata aflate in camp apropiat si sa le aduca in camp indepartat, unde este plasat observatorul.

2. imbunatatirea rezolutiei prin exploatarea polarizarii cu un analizor de stari de polarizare (ASP). Componentele de polarizare implicate sunt o lamela retardoare in sfert de unda (quarter waveplate - QWP) si un polarizor liniar (PL). Componentele de polarizare au de asemenea structura de suprafata segmentata (MTS). Ansamblul lor (QWP+PL=ASP), care incorporeaza MTS, devine atunci un metadispozitiv (MTD). MTD prelucreaza componentele vectorului Stokes si este util in tehniciile de imagistica polarimetrica.

Superlentile de camp apropiat sau camp indepartat

In figura 4 sunt aratare principiile de functionare pentru o superlentila de camp apropiat (near-field superlens: NSL) si pentru o superlentila de camp indepartat (far-field superlens: FSL). NSL este limitata in camp apropiat, pe cand FSL amplifica EW si le transforma, aducand detaliiile din camp apropiat in camp indepartat prin cumularea ordinului secundar de difracție (-1) la cel principal de ordinul 0.

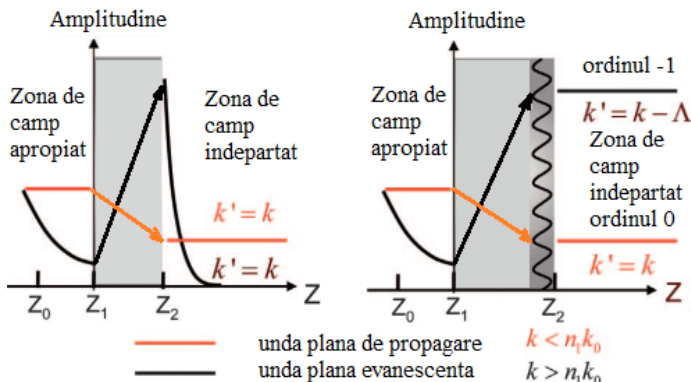


Fig. 4 Functionarea superlentilelor: a) NSL amplifica EW, b) FSL amplifica si transforma EW

Tehnologia de realizare a componentelor a urmat etapele:

- s-a depus cu ajutorul unui spinner la o turatie de 6000 rot/min. pe un substrat de BaF_2 (indice de refractie n mic in cazul PL) si de Ge (n este mare in cazul QWP) un strat de fotorezist pozitiv AZ1505 de la Clariant GmbH (Germania). Fotorezistul cu o vascozitate redusa duce la aceasta turatie la o grosime de strat de $0,41\text{ }\mu\text{m}$;
- s-a efectuat un tratament termic la 90°C timp de 1 min. pe o plita termostatata;
- s-a aplicat matrita si s-a realizat expunerea la radiatii ultraviolete ($310\text{-}440\text{ nm}$, 200 mJ/cm^2 la 365 nm) prin matrita in mod repetat pe toata aria utila pentru reteaua tip grila;
- s-a developat stratul de fotorezist neexpus in AZ 726 MIF timp de 30 s;
- s-a spalat in apa deionizata pentru 1 min.;
- dupa uscare s-a depus un strat de Cr (respectiv Al) de aproximativ $100\text{-}180\text{ nm}$ grosime pt FSL si PL, respectiv 45 nm ;
- s-au indepartat liniile de fotorezist cu Cr (Al) depus cu remover AZ100 timp de 30 s. Au ramas liniile metalice pe substratul BaF_2 (sau Ge) caracterizate prin SEM.

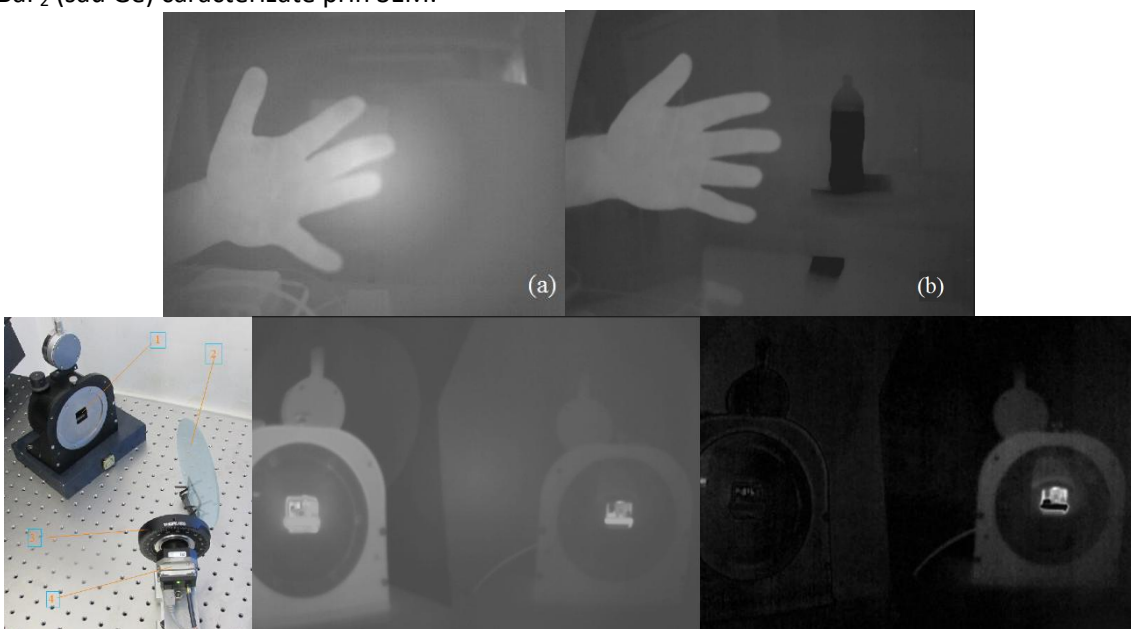


Fig 5 Imagini achizitionate cu (a) camera OPTRIS PI 450 si (b) camera TAU2 numai prin PL pt LWIR. Imaginea (b) achizitionata cu camera TAU2 este de calitate superioara: contrast mai bun, iar neuniformitatea distributiei centrale si fondul datorat efectului Narcissus sunt eliminate, se vad dispozitivele suplimentare de pe masa optica. In (c) dispunerea experimentală, (d) imaginea de intensitate termala, (e) imaginea DOLP din prelucrările imaginilor Stokes prin ASP cu polarizorul rotit in patru pozitii unghiulare decalate cu pas de 45°. In zona centrala a obiectului termic de test se observa un contrast imbunatatit.

In cea de-a treia faza a proiectului s-a urmarit evaluarea biocompatibilitatii si a activitatii antimicrobiene a straturilor bioceramice asupra unor bacterii gram-poitive, gram-negative si fungi. Pe baza rezultatelor anterioare, in aceast studiu s-a urmarit prepararea si caracterizarea straturilor subtiri de Ag:HAp-PDMS obtinute prin tehnica de evaporare termică in vid pornind de la pulberi de hidroxiapatita dopata cu argint (Ag:HAp) tratate termic. Intrucat tratamentul termic al pulberilor de Ag:HAp influenteaza proprietăatile fizico-chimice ale straturilor subtiri de Ag:HAp, in această fază au fost investigate proprietățile morfologice și structurale ale straturilor depuse utilizand microscopia electronică de baleaj (MEB) si spectroscopia de raze X cu energie dispersiva (EDX). Comparativ cu studiile noastre anterioare asupra activității antimicrobiene a pulberilor de Ag:HAp si a straturilor subtiri de Ag:HAp-PDMS au fost investiga nu numai activitatea antifungică pe tulpini de *C. albicans*, ci și activitatea antibacteriană asupra tulpinilor bacteriene *S. aureus* și *E. coli*.

Scopul acestor cercetari a fost de a obtine filme subtiri pe baza de hidroxiapatita dopata cu argint tratata termic si de a le studia din punct de vedere structural si morologic cat si din punct de vedere al activitatii antimicrobiene pentru a evalua potentialul acestor materiale de a fi utilizate ca sisteme locale de eliberare a medicamentelor sau ca si agenti antimicrobieni fara modificarea biocompatibilitatea.

Pulberea de hidroxiapatita dopata cu argint Ag:HAp ($x_{\text{Ag}} = 0.5$) a fost depusa prin evaporare termica in vid pe un substrat de siliciu acoperit in prealabil cu un strat de polidimetilsiloxan (PDMS). Straturile subtiri de Ag:HAp-PDMS au fost caracterizate prin microscopie electronica de baleaj (SEM) si spectroscopie de raze X cu energie Dispersiva (EDX). Spectroscopia EDX a fost utilizata pentru a investiga compozitia elementala a straturilor compozite Ag:HAp-PDMS. Activitatea antimicrobiană a straturilor subtiri Ag:HAp-PDMS a fost testata folosind unele dintre cele mai comune tulpini bacteriene gram pozitive, gram negative si o tulpina fungica (*Staphylococcus aureus*, *Escherichia coli*, *Candida albicans*).

Morfologia materialului a fost studiata cu ajutorul unui microscop electronic de baleaj (SEM), Quanta Inspect F, de asemenea, echipat cu un dispozitiv EDAX / 2001. Analiza elementală compozițională a fost realizata prin Spectroscopie de Raze X cu Energie Dispersiva (EDX). Testele antimicrobiene pe tulpini de *C. albicans*, *S. aureus* si *E. coli* au fost realizate folosind metoda dilutiilor seriale și activitatea antimicrobiana a fost cuantificata după, 24 și 48 de ore. Densitatile suspensiilor microbiene au fost măsurate prin spectrofotometrie la 492 nm și 620 nm.

In figura 6 este prezentată microstructura filmelor subțiri obținute ((A) Ag:HAp; (B) PDMS și (C) Ag:HAp-PDMS) pe substraturi de Si. Este evident că filmele subțiri sunt continue și că stratul de polimer acționează ca o matrice pentru nanoparticulele de Ag:HAp. De asemenea, se poate observa că straturile sunt omogene. Rezultatele obținute sunt în concordanță cu studiile efectuate anterior.

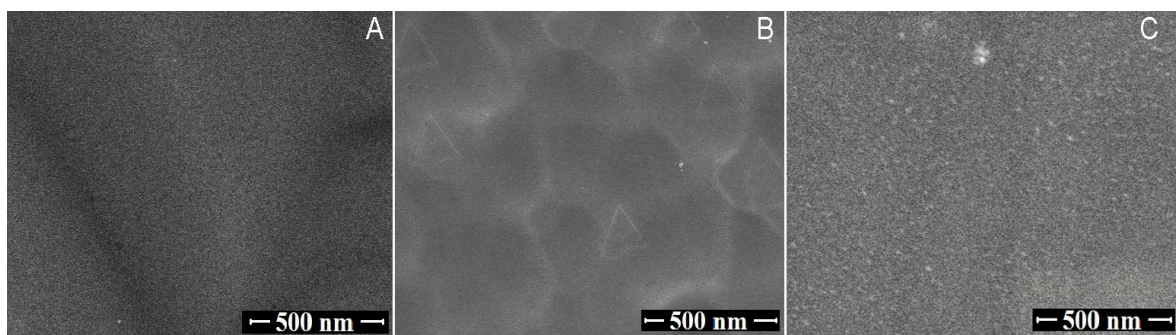


Fig. 6. Imaginile MEB ale straturilor subtiri de Ag:HAp (A); PDMS (B) si Ag:HAp-PDMS (C).

Studiul activitatii antimicrobiene si antibiofilm a straturilor subtiri de Ag:HAp-PDMS pe substrat de Si, PDMS pe substrat de Si (Si-PDMS) si substrat de Si (Si) dupa 24 h si 48 h de incubare in prezenta tulpinilor microbiene *S. aureus* 0364, *E.coli* ATCC 25922 si *C. albicans* 10231 (un exemplu in figura 7) a reprezentat unul dintre obiectivele majore ale acestui studiu. Se stie ca diversi factori, cum ar fi anumite tulpini bacteriene de pneumococi, meningococul de tip B, „Haemophilus influenzae” sau proteine bacteriene cu activitate enzimatică (de exemplu, proteaza, hialuronidaza, neuraminidaza, elastaza și collagenaza) pot facilita invazia infecțiilor microbiene atunci când există defecte în mecanisme de apărare sau rezistență scăzută la agenți microbieni.

Numeroase microorganisme au mecanisme care afectează producția de anticorpi prin inducerea celulelor supresoare. Mai mult decât atât, aderența moleculelor microbiene la suprafață joacă un rol important în dezvoltarea tulpinilor microbiene. Răspunsul imun imediat la infecția bacteriană este afectat de un defect în sistemul fagocitar și poate conduce la dezvoltarea pneumoniilor severe sau abceselor recurente. Legarea anumitor organisme Gram-positive (de exemplu, stafilococi) este favorizată de receptorii găzda, cum ar fi proteinele de suprafață celulară sau resturi de zaharuri de la suprafață celulară.

Bacteriile, cum ar fi *Escherichia coli* posedă organite adezive distincte numite pili sau fimbrii care le permit să se atașeze la aproape toate celulele umane, inclusiv la neutrofile și celule epiteliale din tractul genito-urinar, gura, și intestin. Pe de altă parte, *S. aureus* este un tip de bacterie frecvent întâlnită pe părul, pielea, nasul și gâtul oamenilor și a animalelor și se multiplică rapid la temperatură camerei. *S. aureus* poate provoca intoxicații alimentare grave. Mai mult decât atât, este una dintre cele mai comune cauze ale infecțiilor în spitale și pot provoca boli. Infecțiile fungice sunt împărțite în grupuri diferite, în funcție de tipul de fung implicat.

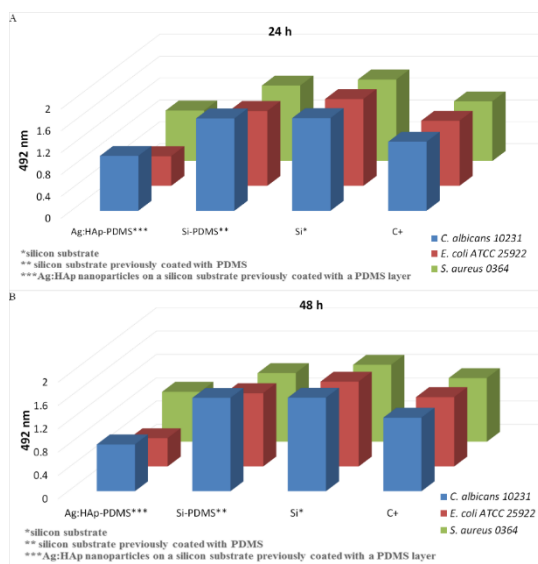


Fig. 7: Reprezentarea grafică a activității antimicrobiene a straturilor subțiri de Ag:HAp-PDMS pe substrat de Si, PDMS pe substrat de Si (Si-PDMS) și substrat de Si (Si) la 24 h (A) și 48 h (B) împotriva tulpinilor microbiene *S. aureus* 0364, *E. coli* ATCC 25922 și *C. albicans* 10231.

Rezultatele acestei analize au demonstrat că straturilor compozite Ag:HAp-PDMS au arătat o inhibiție notabilă a tulpinilor de *S. aureus* 0364, *E. coli* ATCC 25922 și *C. albicans* 10231 după 24 și 48 ore. Investigații biologice au fost efectuate pe diferite tulpi microbiene. Activitățile antimicrobiene ale straturilor compozite Ag:HAp-PDMS împotriva tulpinilor *S. aureus* 0364, *E. coli* ATCC 25922 și *C. albicans* 10231 au fost studiate. S-a demonstrat că straturilor compozite Ag:HAp-PDMS prezintă o rezistență superioară la *S. aureus* 0364, *E. coli* ATCC 25922 și *C. albicans* 10231 comparativ cu substratul de siliciu (Si) sau straturile de polimer depuse pe substrat de Si (Si-PDMS). Pe de altă parte, inhibarea dezvoltării biofilmului microbial a fost evaluată pentru straturile compozite Ag:HAp-PDMS împotriva tulpinilor microbiene studiate.

Prin prezentul studiu s-a reusit furnizarea de date concrete cu privire la realizarea straturilor bioceramice cu proprietăți antimicrobiene. Desi accentul cade pe aspectele specific procesului de fabricare a acestor straturi s-a realizat și o corelare complexă a proprietăților fizico chimice specifice acestor materiale. Scopul acestui studiu a fost acela de a explica rolul și necesitatea elaborării și caracterizării acestor noi materiale în vederea creșterii îmbunătățirii vieții.

In faza a patra a proiectului s-a urmat investigarea microstructurii și magnetismului în pulberi de otel feritic obținute prin diverse condiții de macinare. Obiectivele acestei faze au fost legate de stabilitatea compozitiei de faze, microstructurala și termica sunt condiții importante pentru aplicațiile tintite ale otelurilor feritice. Proprietățile magnetice pot fi foarte sensibile la modificările microstructurale provocate de defecte (inclusiv cantități foarte mici de incluziuni/impurități) introduse la macinare și pe durata tratamentului termic. S-a propus urmărirea evoluției diverselor sisteme feritice pe durata macinării și a tratamentului termic pe baza corelației experimentale a proprietăților microstructurale și magnetice în scopul procesării de oteluri feritice cu proprietăți optimizate pentru aplicații în condiții extreme. S-a urmat obținerea de oteluri feritice în diverse condiții de macinare și tratament

termic la diverse temperaturi a pulberilor macinate. Evolutia complicata a sistemului feritic pe durata macinarii si a tratamentului termic va fi elucidata prin corelarea proprietatilor microstructurale si magnetice.

In prezena faza, s-a demonstrat ca azotul si oxigenul introduse in timpul macinarii mecanice (in cantitati sub limita de detectie a tehniciilor conventionale de masurare) influenteaza substantial microstrucrtura si stabilitatea compositiei de faze ale ootelurilor feritice. S-a obtinut prin macinare mecanica (pana la 170h) un set de pulberi (setul A) nanostructurate de Fe-14Cr-3W-0.4Ti-0.25Y₂O₃ care au fost supuse unui tratament termic si analizate impreuna cu pulberile auxiliare B170 si C170 contaminate puternic cu oxigen si azot. Magnetizarea de saturatie, σ_s , campul coercitiv, H_c , temperatura Curie, T_c , si temperatura de tranzitie ferita-austenita, $T_{\alpha \rightarrow \gamma}$, au fost masurate si analizate in corelare cu XRD.

Proprietatile magnetice si modificarea microstructurii in pulberile macinate au fost investigate in functie de timpul de macinare. Astfel, o macinare de pana la 12 ore, se observa o crestere rapida a coercivitatii si descresterea magnetizarii de saturatie cu cresterea timpului de macinare, cauzate de formarea aliajului Fe – Cr, de crearea defectelor (dislocatii, etc.) si de frontierele de graunte (figura 8).

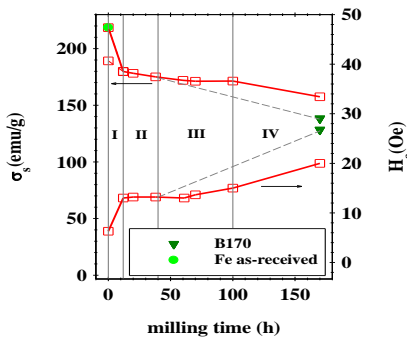


Fig. 8. Variatia parametrilor magnetici ai pulberilor cu timpul de macinare.

Pentru un proces de macinare intre 12 si 40 de ore se observa o saturatie in cresterea campului critic H_c (~13 Oe) (Figura 8), in descresterea dimensiunii de graunte (~18 nm) si in cresterea microtensiunii (~0.27%). Aceasta saturatie (precum si saturatia in numarul de frontiere de graunte, dislocatii si alte defecte) a fost cauzata de atingerea unui echilibru intre rata de lipire si rata de fracturare a particulelor pe durata macinarii. In acest interval de temperature, σ_s a variat intre 219.5 emu/g pentru pulberea comerciala de Fe (sau de la 185.3 emu/g pentru amestecul de pulberi elementale) si 175.1 emu/g.

Pentru un proces de macinare mai mare de 40 de ore, parametrii microstructurali si magnetici se abat de la valoarea de saturatie. Acest comportament este rezultatul defectelor generate de contaminarea cu azotul din aer pe durata macinarii.

In etapa a doua al prezentei faze, s-a urmarit modificarea parametrilor magnetici si modificarea microstructurala la tratamentul termic al ootelurilor feritice. In etapa initiala a tratamentului termic, pana la ~850°C (in domeniul de faza feritica), are loc relaxarea retelei dezordonate, recristalizarea si procesul de crestere a grauntelui. Descresterea notabila a microtensiunilor in acest domeniu de temperaturi a fost atribuita procesului de anihilare a dislocatiilor. Aceasta rezulta in cresterea energiei peretelui intre domenii si in descresterea H_c (figura 9). Cresterea dimensiunii de graunte incepand cu 500°C conduce la reducerea densitatii frontierelor de graunte contribuind suplimentar la descresterea microtensiunilor si H_c .

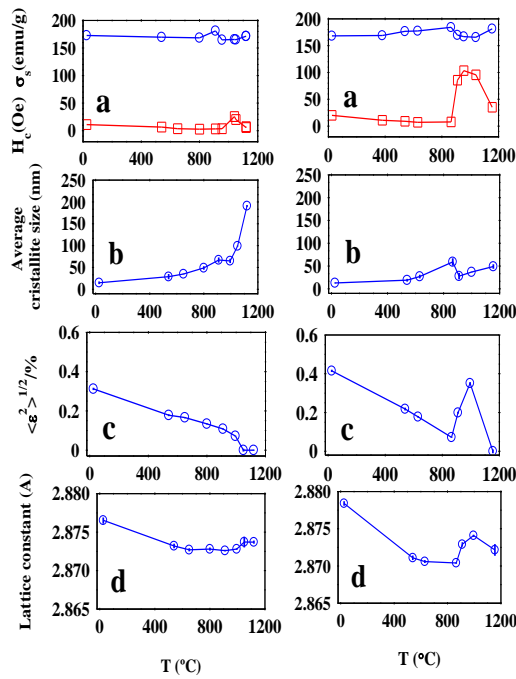


Fig. 9. Variatia parametrilor magnetici cu cresterea temperaturii pentru pulberile A38 (stanga) si A100 (dreapta).

Rezultatele obtinute sugereaza urmatoarele conditii optime (din punct de vedere al stabilitatii compozitiei de faze, microstructurale si termice) de obtinere a pulberii de otel feritic pentru aplicatii in conditii extreme: Faza feristica cu structura foarte fina indusa prin macinare timp de 60h-100h in prezena a ~ 0.4%wt de azot incorporat (preluat din aer) arata o stabilitate termica crescuta pentru temperaturi de peste 1050 C.

In faza a cincea, s-a urmarit prepararea de fotoelectrozi eficienti pentru descompunerea apei. Obiectivul principal al acestei faze a fost producerea de fotoanozi oxidici cu continut de fier pentru o celula fotoelectrochimica utilizata la descompunerea apei si studierea lor fotoelectrochimica.

Descompunerea apei pe cale fotoelectrochimica ofera perspective promitatoare atat pentru generarea durabila de energie cat si pentru stocarea energiei sub forma de hidrogen. De aceea, realizarea unei celule fotoelectrochimice (PEC) eficiente pentru descompunerea apei si producerea de hidrogen stocabil constituie o directie de cercetare foarte activa. Celula PEC contine un fotoelectrod ce absoarbe lumina si un contra-electrod, ambii imersati intr-o solutie apoasa. Principalul component al celulei PEC este un semiconductor care converteste fotonii incidenti in perechi electroni-goluri atunci cand este expus la lumina solara. Hematita (α -Fe₂O₃) este unul din cele mai promitatoare materiale pentru descompunerea apei.

In cadrul acestei faze au fost fabricati fotoanozi de hematita pe cale electrochimica care ulterior au fost caracterizati fotoelectrochimic in solutie 1M NaOH. Astfel au fost preparate filme de hematita simple sau nanostructurate pe substrat de FTO (F: SnO₂) prin electrodepunere realizata potentiostatic la 1.2V/Ag-AgCl. Pentru a realiza nanostructurarea filmului de hematita, pe substratul de FTO sau FTO/film de hematita a fost depus un strat din gel de agaroza cu rol de template in care a fost crescut electrochimic hidroxi-oxidul de Fe (FeOOH), compusul din care s-a obtinut hematita in urma unui tratament termic.

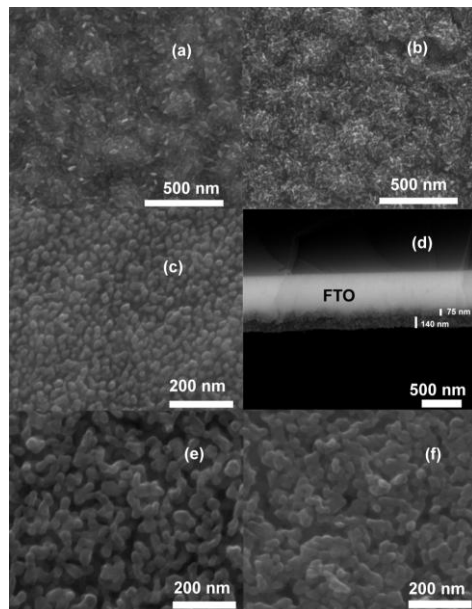


Fig.10. Imaginele SEM ale filmelor de FeOOH si α -Fe₂O₃ depuse pe substrat de FTO: a) film subtire de FeOOH; b) film subtire de hematita (tratament termic la 525°C, 2h); c) film nanostructurat de hematita (140nm) tratat termic la 525°C timp de 2h, depus pe stratul subtire de hematita (75nm); d) sectiunea probei c; e) structura probei c dupa tratamentul ei la 800°C, 10min; f) structura probei e dupa dopare cu Sn(IV) si tratamentul ei timp de 10min la 800°C.

Masuratorile fotoelectrochimice au fost realizate intr-o celula standard cu trei electrozi realizata din teflon (opac) care are o fereastra din quart. Celula contine o solutie 1M NaOH (pH 13.6 la 25°C), electrodul de referinta Ag/AgCl/KCl saturat, un contraelectrod de platina si electrodul de lucru (fotoanodul de hematita cu suprafata de 1cm² prezentat in Fig.11).

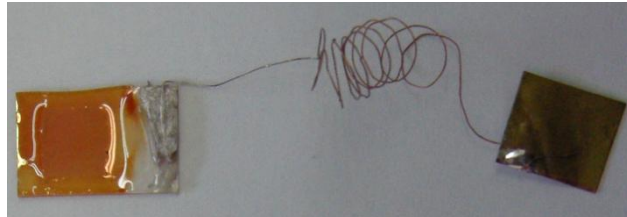


Fig.11. Fotoanod de hematita cu cablu de conectare. Suprafata activa (1cm²) a fotoanodului a fost selectata cu rasina epoxidica.

Performantele ca fotoanod ale hematitei nanostructurate dopate cu Sn(IV) precum si al celei nedopate la potentialul termodinamic de descompunere a apei de 1.23V/RHE au aratat ca doparea hematitei nanostructurate cu staniu creste curentul de aproape 2.8 ori la potentialul de 1.23V/RHE, de la 0.39mA/cm² la 1.09mA/cm². Evaluarea suplimentara a celor doua variante de fotoanozi s-a realizat prin masuratori de spectroscopie de impedanta. Din masuratorile de impedanta se observa ca rezistenta implicata in procesul captarii golurilor din banda de valenta de catre starile de suprafata este de circa 4 ori mai mic in cazul probei de hematita dopata fata de proba nedopata la potentialul pozitiv de 1.23V/RHE, specific descompunerii apei.

Aceasta indica faptul ca transferul golurilor fotogenerate catre starile de suprafata in hematita dopata se realizeaza mai usor decat la cea nedopata, datorita cresterei numarului lor ca rezultat al doparii. In plus, capacitatea CPE2 care reflecta cantitatea de goluri captate in starile de suprafata creste de circa 2.5ori in cazul probei dopate fata de proba nedopata, indicand un numar mai mare de goluri captate. Cresterea numarului golurilor captate in starile de suprafata este important pentru oxidarea apei deoarece s-a demonstrat ca acest proces se desfasoara predominant cu participarea golurilor captate in starile de suprafata.

Faza a sasea a prezentului proiect, a avut ca scop realizare de structuri pe baza de materiale organice pe electrod de AZO (aluminiu-zinc oxid) nanostructurat in vederea imbunatatirii eficientei de extractie a luminii. Studiul a avut ca scop integrarea unor materiale noi (oligomeri arilen vinilenici) ca straturi emisive in structuri de tip OLED si sa utilizeze ca electrod Al:ZnO (AZO) un alt conductor transparent cu proprietati asemanatoare cu ITO. Deoarece in literatura, s-a raportat faptul ca mobilitatea purtatorilor de sarcina poate fi imbunatatita in structurile pe baza de materiale organice prin intermediul unor structuri perioadice, au fost studiate si structuri de tip OLED realizate pe electrod AZO nanostructurat. Intr-o prima etapa pe sticla au fost realizate structuri periodice pe baza de fotorezist

comercial prin tehnica de litografie prin nano-imprint UV (UV-NIL) folosind reteta descrisa in referinta. Ulterior pe aceste nanostructuri a fost depus prin depunerea laser pulsata (PLD) electrodul transparent de AZO.

Peste AZO paternat dar si nepaternat au fost depuse prin metoda evaporarii laser pulsate asistata matriceal (MAPLE) straturi de N,N'-di(1-naftalenil)-N,N'-diafenil-(1,1'-bifenil)-4,4'-diamina (NPD), urmante fie de 3,3-bis (N-hexylcarbazole)vinylbenzen (LS13) fie (1,4-bis [4-(N,N-diphenylamino) phenylvinyl] benzen (LS78) si un strat de 4,7 diphenyl-1,10-phenanthrolina (BPhen). Primul strat (NPD) are conductie de tip p, al doilea (LS13 sau LS78) este stratul emisiv, iar al treilea (BPhen) are conductie de tip n. Ulterior, pentru a se forma structurile, a fost depus prin evaporare termica electrodul de aluminiu (Al).

Reprezentarile schematice ale celor doua tipuri de structuri realizate pe support nanostructurat si plan si cu cei doi oligomeri diferiti (LS 13 si LS 78) ca si strat emisiv, sunt prezentate in figura 12.

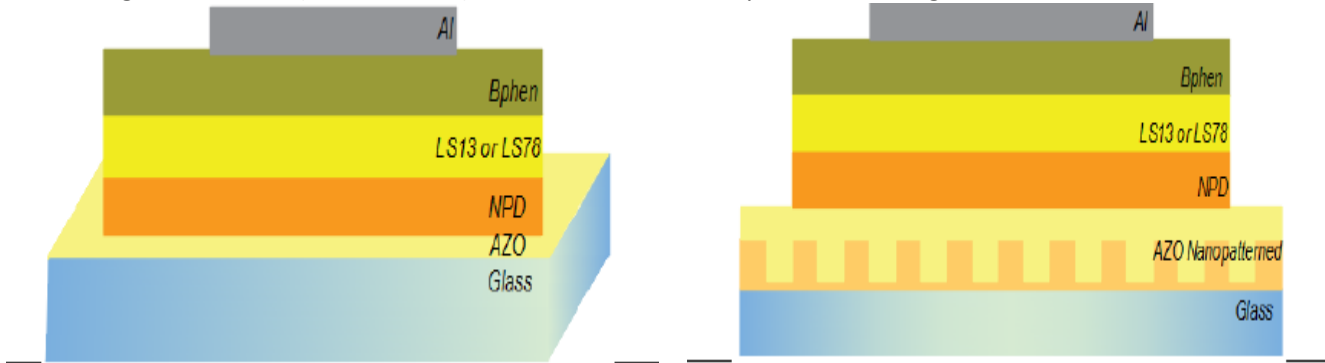


Fig. 12: Reprezentarea schematica a structurilor realizate (pe electrod plan si pe electrod paternat).

Din punct de vedere morfologic, structurile prezinta o morfologie de tip globular caracteristica procesului de depunere MAPLE. Analizand prin AFM structurile formate, se observa ca cele depuse pe substrat paternat pastreaza efectul paternarii chiar si dupa depunerea a trei straturi organice.

Au fost analizate spectrele de emisie ale materialelor constituente si ale structurilor triplu strat. Spectrele de fotoluminescenta prezinta benzi de emisie caracteristice materialelor initiale. Pentru BPhen, o banda larga de emisie cu un maxim la ~ 390 nm si unul la 420 nm; pentru NPD o banda cu un singur maxim situat la 440 nm; pentru oligomerul LS78 un maxim la ~50 nm; pentru LS13 o banda larga cu un maxim intens la 490 nm altul la 520nm. Spectrele de fotoluminescenta ale structurilor pastreaza emisile caracteristice materialelor sugerand potențiale aplicatii ale acestor structuri in OLED-uri.

Caracteristicile curent-tensiune realizate pe aceste structuri au aratat ca desi curentul este mic, in cazul structurii realizate pe electrod nanostructurat se observa o crestere a acestuia comparativ cu valoarea curentului obtinut in cazul structurii depuse pe electrodul plan. Studii viitoare sunt necesare pentru a integra nanostructurile obtinute in aplicatii de tip OLED si pentru optimizarea proprietatilor electrice ale dispozitivelor in functie de dimensiunile nanostructurilor (inaltime, diametru, distanta intre pori).

In cadrul fazei a saptea s-a urmarit obtinerea de materiale termoelectrice (de tip p si de tip n) micro- si nano-structurate pentru aplicatii la temperaturi ridicate. Obiectivul major al acestei etape consta in investigarea influentei modului de preparare asupra unor compusi termoelectrici nanostructurati bulk din clasa skutteruditilor si in special asupra tipului de conductie (n^-/p^-).

S-a urmarit obtinerea si studiul unor materiale termoelectrice (de tip n si p) micro- si nano-structurate pentru aplicatii la temperaturi ridicate. Tipul de material ales pentru studiu face parte din clasa scuteruditilor dopati iar metodele pe care le propunem pentru imbunatatirea proprietatilor termoelectrice ale acestora sunt (i) reducerea dimensionalitatii structurale si/sau (ii) dopari cu diferiti ioni care sa contribuie la imprasierile fononice reducand contributia acestora la conductibilitatea termica, precum si (iii) metode neconventionale de preparare ca de exemplu compactarea asistata de campuri electrice mari.

Calitatea unui material thermoelectric (TE) este guvernata de o marime adimensională denumita "figura de merit", $ZT = (S^2 \sigma T)/\kappa$, unde S este coeficientul Seebeck, σ conductivitatea electrica, κ conductivitatea termica iar T temperatura, valorile maxime ale acesteia pentru cele mai bune materiale TE situandu-se in prezent intre 1 si 2. Interdependenta dintre S , σ si κ functioneaza astfel incat optimizarea uneia dintre aceste marimi le afecteaza nefavorabil pe celelalte, de aceea, optimizarea simultana a tuturor acestor marimi in vederea obtinerii unei valori mari a ZT este un proces dificil.

Performantele termoelectrice ale acestor materiale pot fi crescute si prin nanostructurare, beneficiind de cresterea numarului de granuli dintre graanti care conduce la cresterea efectelor de imprastiere ale fononilor si

totodata la scaderea conductivitatii termice a retelei. Acest proces de imprastiere are efecte similare si asupra purtatorilor de sarcina si deci asupra conductivitatii electriche, fapt mai putin de dorit daca se are in vedere obtinerea unor valori mari ale ZT. Metoda de preparare a compusilor investigati, descrisa mai jos, are avantajul ca, pe langa timpul redus de sinteza, ofera posibilitatea obtinerii unor materiale nanostructurate cu proprietati termoelectrice imbunatatite.

Au fost preparate probe avand urmatoarele compozitii $\text{In}_{0.2}\text{Yb}_{0.2}\text{Co}_4\text{Sb}_{12.3}$ si $\text{Yb}_{0.3}\text{Co}_4\text{Sb}_{12.3}$. Analiza Rietveld a datelor de difractie de raze X arata ca materialele obtinute sunt majoritar monofazice cristalizand intr-o structura cubica $I\ m\bar{3}m$, continand o faza cristalina secundara CoSb_2 (Fig.13). Abundenta fazei secundare este de cateva procente (aproximativ 4%), aflandu-se la limita de detectie, in consecinta, putand fi neglijata in continuare. Morfologia compusilor obtinuti este rezumata de figura 14, reprezentand o imagine SEM obtinuta pe un compus $\text{Yb}_{0.3}\text{Co}_4\text{Sb}_{12.3}$ preparat prin „melt spinning”, in care se pot vedea domenii de dimensiuni mari formate din graanti de dimensiuni nanometrice.

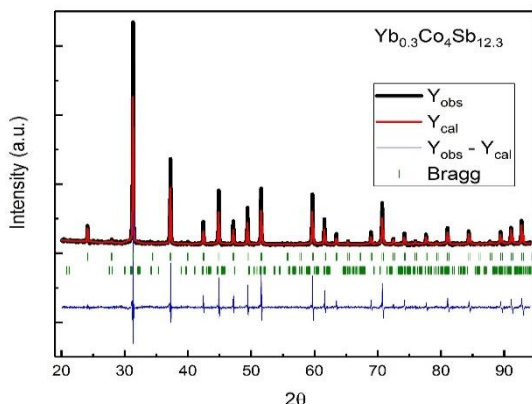


Fig.13: Exemplu de analiza Rietveld.

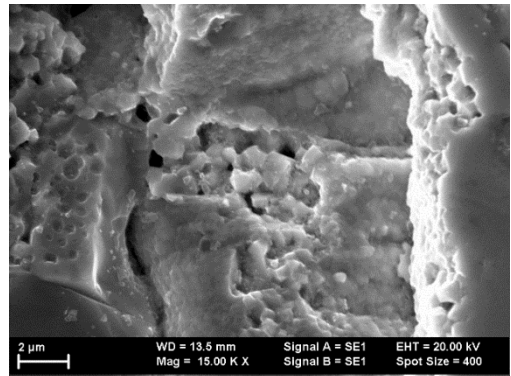


Fig.14: Morfologia unei probe $\text{Yb}_{0.3}\text{Co}_4\text{Sb}_{12.3}$

In functie de gradul de dopaj se pot distinge trei niveluri avand comportament diferit al proprietatilor TE in acest tip de materiale. Pentru concentratii scazute ale dopantului purtatori dominanti raman goulurile acest regim fiind caracterizat de valori pozitive ale S si o comportare de tip semiconductor a conductivitatii electriche. Pe masura ce gradul de dopaj creste electronii devin purtatori dominantii iar tipul de conductie se schimba in una de tip -n, caz in care S are valori negative iar valorile conductivitatii electriche cresc. In cazul CoSb_3 , aceste probe, in functie de metoda de preparare si tehniciile experimentale, pot avea fie conductie de tip -p fie de tip -n.

Conductivitatea termica totala are o comportare tipica pentru acest tip de compusi crescand usor odata cu temperatura. Ea este data de suma dintre conductivitatea termica a retelei κ_L si cea a purtatorilor de sarcina κ_c . Conform legii Wiedemann-Franz, κ_c poate fi estimata cu ajutorul relatiei $k_c = L_0 T \sigma$, in care numarul Lorenz $L_0 = 2 \times 10^{-8} \text{ V}^2\text{K}^{-2}$ si prin scaderea acestieia din κ se obtine κ_L . Valorile scazute ale κ_L sunt date de efectul de „rattling” al atomilor de impuritate slab legati din goulurile celulei elementare care conduce la imprastierea fononilor acustici purtatori de caldura. Suplimentar acestui efect, nanostructurarea probelor produce un efect similar crescand numarul granitelor dintre graanti pe care au loc imprastieri ale fononilor acustici.

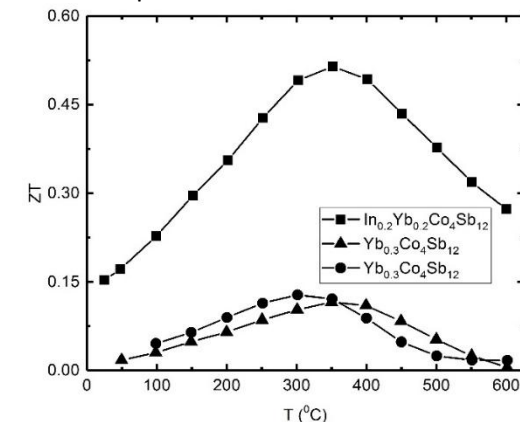


Fig.15: Dependenta de temperatura a figurii de merit, ZT.

Dependenta de temperatura a figurii de merit, ZT, pentru compusii investigati este redata in figura 15. Optimizarea procesului de sinteza a acestor materiale in vederea imbunatatirii proprietatilor TE, in special a celor ce caracterizeaza transportul electric, pot conduce la obtinerea unor valori ridicate ale ZT.

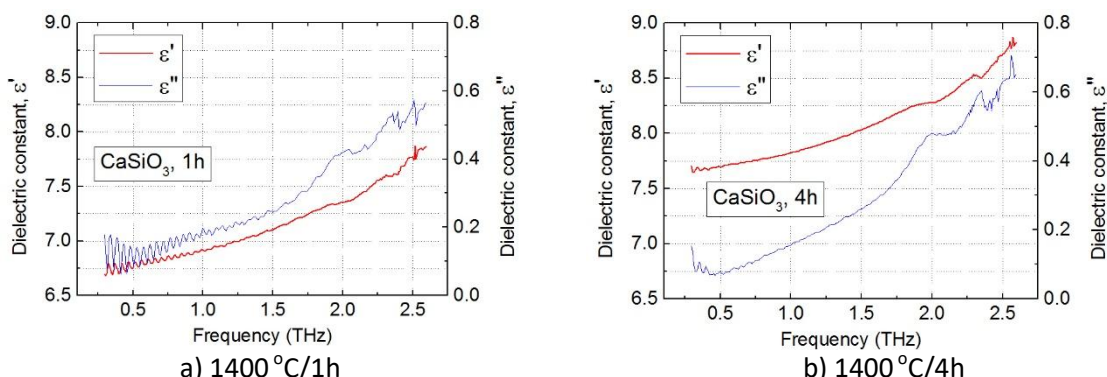
Etapa a opta a fost dedicata sintezei de materiale dielectrice/feroelectrice si analiza experimentală a parametrilor lor dielectrici in domeniul terahertzilor. Obiectivul acestei faze a fost acela de investigare prin spectroscopie de terahertz in domeniu temporal a proprietatilor unor materiale dielectrice/feroelectrice reprezentative cu potential aplicativ in domeniu undelor milimetrice si submilimetrice. Rezultatele prevazute pentru indeplinarea obiectivelor fazei sau fost urmatoarele: i) sintetiza unor materiale dielectrice/feroelectrice cu potential aplicativ in unde milimetrice si submilimetrice ; ii) determinarea directa a permitivitatii electrice complexe prin spectoscopie de terahertz in domeniu temporal in vederea separarii contributiilor intrinseci de cele extrinseci. iii) corelarea parametrilor dielectrici cu structura cristalina si microstructura esantioanelor.

Materialele dielectrice cu permitivitate electrica ridicata, pierderi reduse si deriva termica controlata au impulsionat in mod decisiv telecomunicatiile de purtatoare de microunde, fiind folosite in rezonatoare, oscilatoare, multiplexoare, sensori, filtre, antene, circuite integrate hibride etc. Aceste au contribuit la reducerea greutatii si dimensiunii si echipamentelor, cresterea fiabilitatii si reducerea costurilor de productie. Prin urmare, avand in vedere cresterea frecventelor de operare, este necesar studiul proprietatilor materialelor dielectrice cu potential aplicativ ridicat in MMW si SMMW.

Au fost identificate diferite surse de pierderi si ele sunt grupate in doua clase: i) intrinseci, care corespund interacțiunii campului electromagnetic cu fononii in monocristale fara defecte si ii) extrinseci, legate de vacante, dislocatii, microfisuri, granite dar si porozitate, dopatii, impuritati, faze secundare. Cu alte cuvinte, pierderile intrinseci reprezinta cele mai mici pierderi pentru un anumit material. Prin urmare, pierderile dielectrice extrinseci ale materialelor ar putea fi reduse la limita de cele intrinseci prin metode si parametri de sinteza adevarati.

Spectroscopia de impedanta a fost aplicata pe esantioane de silicat de calciu (CaSiO_3) cu diferite microstructuri si proprietati dielectrice. Probele au fost preparate prin reactie in faza solida din pulberi oxidice de inalta puritate ($> 99.5\%$). Materiale prime utilizate (CaCO_3 si SiO_2) au fost dozate corepunzator formulei dorite si macinate 2h in apa distilata intr-o moara cu bile din agat. In conformitate cu rezultatele obtinute prin difractie de raze X, microscopie electronica de baleaj si masuratori dielectrice in MW, s-a identificat fluxul tehnologic pentru sinteza de esantioane fara faze secundare. Pentru sinteza probelor in conditii optimizate, pulberile omogenizate au fost uscate si calcinate la 1150°C / 4 h. Pulberile calcinate au fost macinate secundar timp de 2 h, uscate si granulate cu liant pe baza de alcool polivinic (2 % procent masic). Cilindri cu 10 mm diametru si 6 mm inaltime au fost compactati prin presare uniaxiala. Pentru obtinerea unor probe cu microstructuri diferite, tratamentele de sinterizare au fost efectuate la 1400°C pentru 1h, 4h si 8h.

Masuratorile au fost efectuate in transmisie pe discuri plan-paralele cu grosime de aproximativ 1 mm. Rezultatele sunt reprezentate grafic pana la aproximativ 2,6 THz (Fig. 16) deoarece la frecvențe mai mari probele devin foarte absorbante iar semnalul util este comparabil cu limita de detectie a spectrometrului. Din acest motiv nu s-au evidențiat prin THz-TDS fononii optici activi. Dupa cum se poate observa, cresterea timpului de la 1h la 8h conduce la o crestere a partii reale a contantei dielectrice, ceea ce este un efect al densificarii mai bune a ceramicilor. Totodata, ϵ'' prezinta o crestere liniara cu frecventa pana la aproximativ 1 THz.



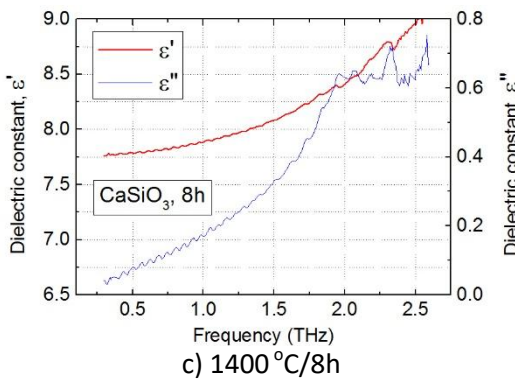


Fig. 16 Partea reala (ϵ') si partea imaginara (ϵ'') a constantei dielectrice complexe pentru esantioanele CaSiO_3 sinterizate la $1400\text{ }^{\circ}\text{C}$ timp de 1h (a), 4h (b) si 8h (c).

Esantionale CaSiO_3 au fost compactate sub forma de cilindri si sinterizate la $1400\text{ }^{\circ}\text{C}$. Prin urmare, au fost obtinuti rezonatori dielectrici ce au fost caracterizati in MW prin metoda cavitatii rezonante. Rezultatele sunt prezентate in tabelul 1 pentru a putea fi comparate cu cele obtinute prin THz-TDS. Se poate observa ca, ϵ' nu variaza foarte mult de la 12 GHz pana la 500 GHz.

Tab. 1 Partea reala (ϵ') a constantei dielectrice complexe si produsul $Q \times f$ masurate in MW si THz pe esantioane CaSiO_3 sinterizate la $1400\text{ }^{\circ}\text{C}$ timp de 1h, 4h si 8h.

Proba	Timp de palier, ore	Contanta dielectrica, $\epsilon' @ 12\text{ GHz}$	Contanta dielectrica, $\epsilon' @ 500\text{ GHz}$	$Q \times f @ 12\text{ GHz}$ (THz)	$Q \times f @ 500\text{ GHz}$ (THz)
CaSiO_3 , 1h	1	6,8	6,9	29	35
CaSiO_3 , 4h	4	7,4	7,8	48	55
CaSiO_3 , 8h	8	7,6	7,9	60	65

Un al doilea obiectiv al prezentei faze a fost acela de investigare prin THz-TDS a materialelor ferroelectrice.

Solutiile solide ferroelectrice de tip $\text{Ba}_{1-x}\text{Sr}_x\text{TiO}_3$ (BST) prezinta un potential aplicativ deosebit in domeniul dispozitivelor cu control electric. Campul electric aplicat pentru care se poate produce variatia permitivitatii electrice este de ordinul kV/mm. Prin urmare, operarea la tensiuni de comanda reduse ($\sim 5\text{-}10\text{ V}$) impune realizarea componentelor accordabile electric folosind straturi subtiri ferroelectrice. Comparativ cu materialele dielectrice, materiale ferroelectrice prezinta coeficient de absorbtie in THz mult mai mare si, avand in vedere puterea de emisie a spectrometrelor uzuale, esantioane cu grosimi mai mari de cateva zeci de micrometri, nu pot fi masurate prin THz-TDS. Pe de alta parte, aceasta tehnica se bazeaza pe masuratori relative iar esantionul trebuie sa fie suficient de gros pentru ca pulsul masurat prin proba sa fie diferit de cel prin referinta. Din aceasta cauza s-a optat pentru cresterea si caracterizarea unor straturi cu grosimi de ordinul a cativa microni.

Tintele $\text{Ba}_{0.6}\text{Sr}_{0.4}\text{TiO}_3$ au fost utilizate in vederea obtinerii unor filme groase prin metoda de depunere in fascicol laser pulsat (PLD). Substraturi monocristaline de MgO 001 si safir 0001 au fost atasate mecanic de holder evitandu-se astfel contactarea lor cu pasta de Ag. Pentru obtinerea structurilor in faza cristalina s-au utilizat o temperatura de $850\text{ }^{\circ}\text{C}$, in atmosfera de oxigen (0.15 mbar). Fluenta laser de 2 J/cm^2 , frecventa de 5 Hz si distanta substrat-tinta de 50 mm au fost gasite ca fiind optime pentru obtinerea straturi cu grosimi de pana la 4 μm .

Masuratori de elipsometrie pe filmele BST groase au fost realizate cu un elipsometru spectroscopic marca Woollam. Pentru interpretarea datelor experimentale au fost folosite diferite modele optice. Avand ca prim scop determinarea grosimilor si a indicilor de refractie in zona de transparenta, s-au fitat spectrele de elipsometrie intr-un domeniu spectral restrans folosind pentru straturile de BST un model Cauchy.

Substraturile au fost masurate prin THz-TDS cu timpi de achizitie mari (128 pulsuri pentru fiecare) inainte de cresterea filmelor groase. Dupa depunerea filmelor acestea au fost remasurate in aceleasi conditii si, desi s-a putut observa efectul filmului asupra pozitiei si amplitudinii pulsului de THz, nu a fost posibila extragerea parametrilor dielectrici folosind pachetele software usuale. Prin cooperare cu partenerii de la CNR-Pisa s-a elaborat un formalism matematic care a permis extragerea parametrilor dielectrici pe un domeniu limitat de frecvente. Pentru

exemplificare, in figura 17 este prezentă dependența de frecvență a constantei dielectrice și a pierderilor pentru un film BST cu grosime de 2.7 μm .

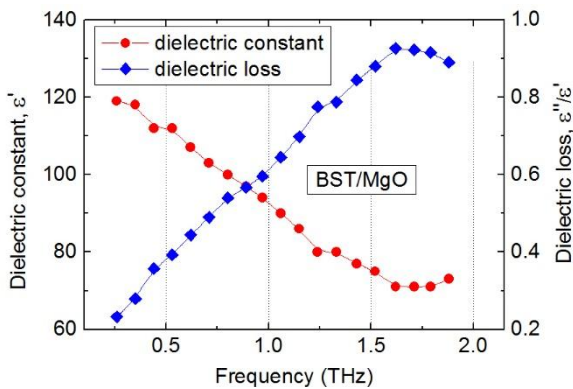


Fig. 17. Constanta dielectrică și pierderile ale unui film BST cu grosime de 2.7 μm crescut pe susțrat MgO cu grosime de 520 μm .

Analiza datelor experimentale obținute prin THz-TDS pe filme groase poate fi dificila în cazurile în care un strat subtire sau gros este depus pe un substrat cu proprietăți dielectrice cunoscute mult mai gros. De asemenea, în acest caz, efectul filmului asupra propagării undelor electromagnetice poate fi slab, rezultând valori inconsecvente pentru parametrii dielectrici.

In faza a nouă a proiectului, s-au studiat proprietățile magneto-elastică și termo-elastică ale aliajelor feromagnetică cu memoria formei. Prin intermediul substituțiilor în aliaje cu memoria formei studiate, se pot realiza noi materiale funktionale, preparate prin metode neconvenționale și tratate termice. S-a urmarit evidențierea influenței tratamentelor termice asupra microstructurii martensitei, a dilatării termice liniare și a efectului magnetostrictiv.

Specifica aliajelor cu memoria formei este astăzi numita transformare martensitică (MT), o tranziție structurală termoelastica între faza de temperatură și simetrie înaltă (austenită) și cea de temperatură și simetrie joasă (martensită). La racire, faza austenitică suferă o transformare fără difuzie în care siruri întregi de atomi se deplasează coherent pe o distanță mai mică decât constanta retelei cristaline, reducând simetria și formând faza martensitică. Aliajele feromagnetică cu memoria formei (FSMA) sunt materiale cu temperatură MT mai scăzută decât tranziția ordine-dezordine magnetică.

S-au studiat aliaje pe baza de Ni-Mn-Ga și Ni-Fe-Ga dopate cu elementul non-magnetic Cu (3%at), punându-se accentul pe influența tehnicii de preparare "melt-spinning" și a tratamentelor termice asupra MT, proprietăților magnetice și a inducerii termice și magnetice a deformarilor în aliaje. Aliajele policristaline $\text{Ni}_{50}X_{20}\text{Ga}_{27}\text{Cu}_3$ ($X = \text{Mn}, \text{Fe}$) au fost preparate din elemente de înaltă puritate prin metoda topirii în arc în atmosferă protecțoare de Ar. Materialele masive rezultate au fost utilizate în realizarea benzilor prin metoda "melt-spinning". Benzi gata-preparate (notate Mn-AP și Fe-AP) cu latimi de 2mm și grosimi de 20 μm au fost obținute prin evacuarea topitului pe discul rotativ din Cu (viteză liniară 20 m/s) în atmosferă protecțoare de Ar (50 kPa). Benzile au fost tratate termic (notat Mn-TT și Fe-TT) la 400°C pentru 20 minute, ulterior fiind racite lent.

Masurările magnetostrictive și de expansiune termică liniară au fost realizate prin metoda marcilor tensometrice utilizând puntea tensometrică "Vishay Micro-Measurements Model P3 strain indicator and recorder" și platforma magnetică Cryogenic Ltd. în intervalul de temperatură 30 -300 K și campuri magnetice până la 5T, aplicate paralel cu planul benzilor.

Masurările de calorimetrie diferențială au fost efectuate pentru identificarea MT în intervalul de temperatură 90-300K. Temperaturile caracteristice - martensita start (Ms) și final (Mf), austenita start (As) și final (Af), media caldurilor medii de transformare (calculată ca media dintre caldura de transformare directă și reversibilă) sunt prezentate în Tabelul 1. În cazul benzilor Fe-AP, temperatura martenită start (149 K) este foarte apropiată de cea întâlnită în benzile aliajului stoichiometric Ni_2FeGa , iar tratamentul termic la 400°C nu aduce modificări seminșificative ale temperaturilor MT.

Tabelul 1. Caldura de transformare medie (calculată ca media dintre caldura de transformare directă și reversibilă) pentru probele gata-preparate și TT, temperaturile caracteristice - martensita start (Ms) și final (Mf), austenite start (As) și final (Af) - intervalul de temperatură al transformării martensitice (Af-Mf), temperatura Curie (T_c) determinate prin masuratori termo-magnetic (*).

Probe	Ms (K)	Mf (K)	As (K)	Af (K)	Q (J/g)	Ar-M _f (K)	T _c (K)
Mn-AP	55*	21*	73*	94*	-	73*	310*
Mn-TT	85*	53*	91*	109*	-	56*	316*
Fe-AP	149	134	149	167	1.6	33	316*
Fe-TT	151	134	149	164	1.5	30	323*

Masuratorile termo-magnetice au fost realizate in planul benzilor AP si TT cu secvente de racire/incalzire intr-un camp magnetic de 200 Oe (Fig.18), aplicat in lungul benzilor. Scaderea brusca a magnetizarii la 310 K pentru Mn-AP (Fig.18.a) si 316 K pentru Fe-AP (Fig.18.b), indica existenta tranzitiei ordine-dezordine magnetica (T_c- temperatura Curie), cu valori usor crescute (~10 K) pentru probele TT. Existenta histerezisului termic pe curbele M(T) in vecinatatea valorilor de 55 K (Mn-AP), 85 K (Mn-TT) si 150K (Fe-AP si Fe-TT) este semnatura MT.

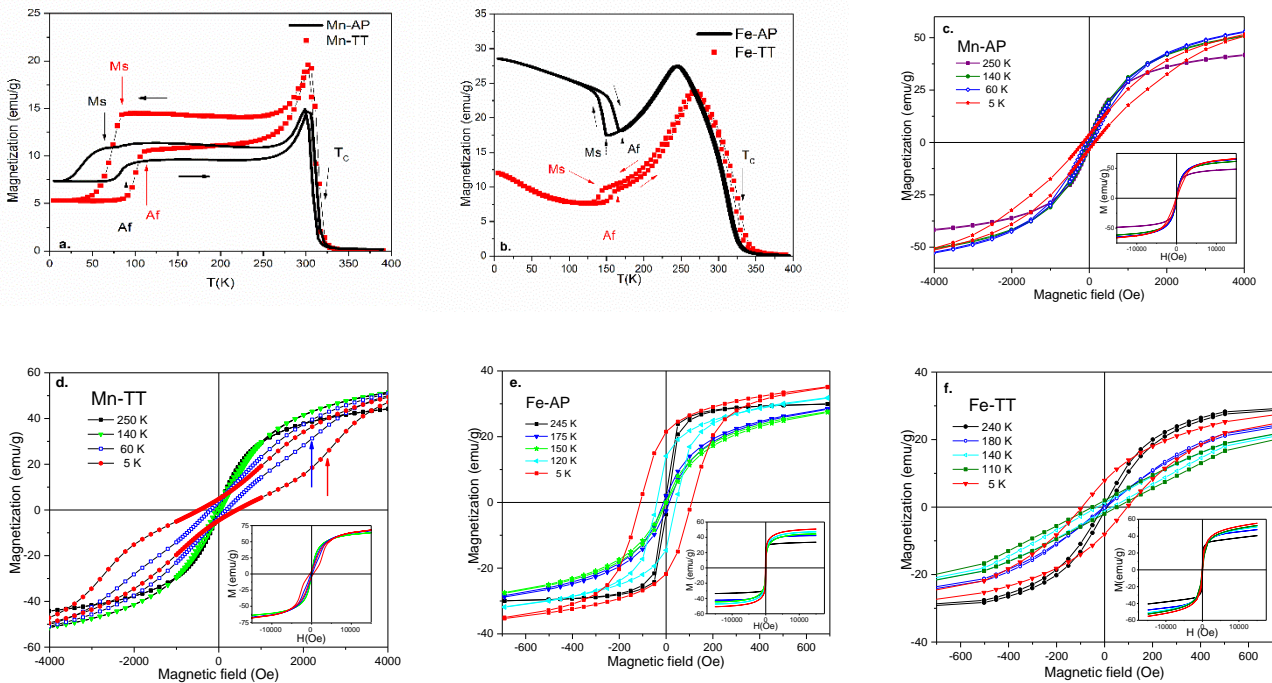


Fig.18 Masuratori termo-magnetice la 200 Oe pentru probele gata-preparate si tratate termic: Mn-AP si Mn-TT (a), Fe-AP si Fe-TT (b). Curbele de magnetizare la diferite temperaturi inregistrate pe secventa de racire de la 250 K la 5K pe probele Mn-AP (c), Mn-TT (d), Fe-AP (e) si Fe-TT (f). Campul magnetic critic este indicat prin sageti pt proba Mn-TT. Inseturi: Curbele de magnetizare pe tot domeniul de valori ale campului magnetic aplicat.

Masuratorile de dilatare termica liniara (Fig.19) prezinta variatiile relative de dimensiune $\Delta l/l$ pe directia paralela cu lungimea benzii sub actiunea unor campuri magnetice de dimensiuni diferite (0T si 5T) in timpul procesului de racire/incalzire in intervalul 300-30 K. In timpul racirii si transformarile structurale probele sufera o contractie continua ca urmare a aparitiei variantilor martensitici care acomodeaza deformarea si minimizeaza energia elastica cu scopul de a mentine constanta forma benzilor. Odata cu aplicarea unui camp magnetic paralel cu planul benzii, contractia este pronuntata in intervalul de temperatura al MT, ceea ce indica existenta axei de usoara magnetizare c (axa scurta) pe aceasta directie.

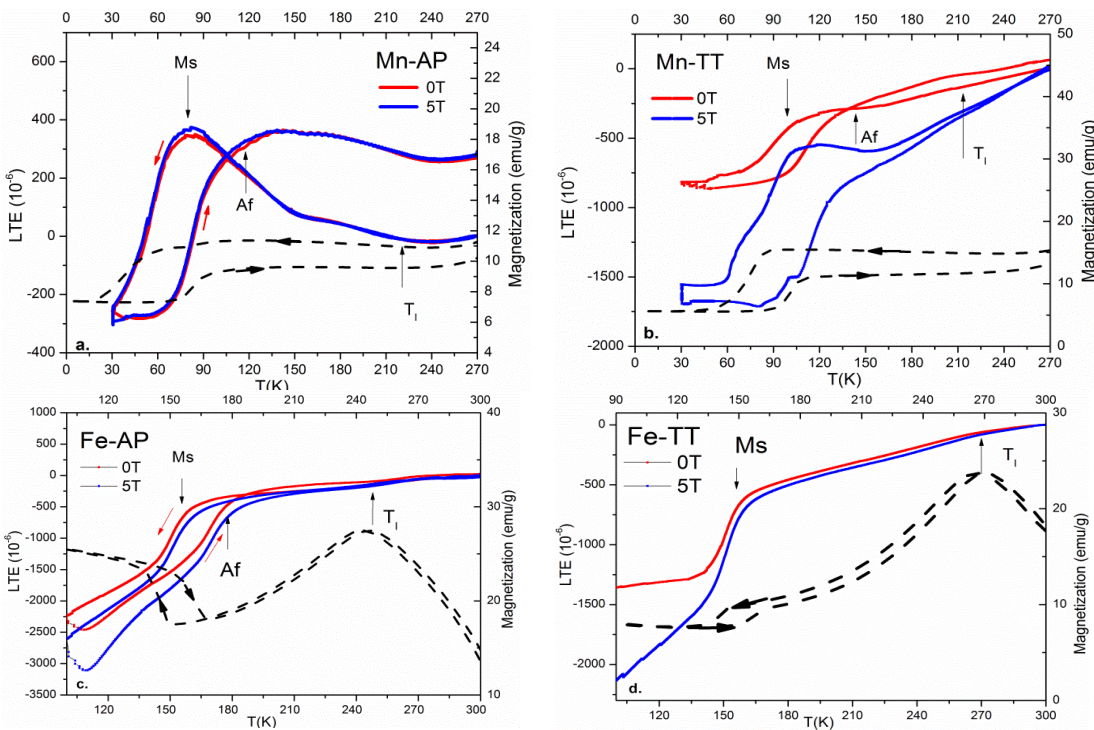


Fig 19. Dependenta deformarilor cu temperatura in camp magnetic de 0T si 5T si curbele termo-magnetice la campuri magnetice scazute (200 Oe) pentru probele Mn-AP (a), Fe-AP (c), Mn -TT (b) si Fe-TT (d). T_I indica temperatura transformarii pre-martensitice.

Principalele concluzii ale acestei faze sunt : a) Benzi monofazice $Ni_{50}X_{20}Ga_{27}Cu_3$ ($X= Mn$ si Fe) cu ordine atomica diferita au fost obtinute utilizand tehnica de preparare prin racire ultrarapida ("melt-spinning"). Efectul tratamentului termic asupra parametrilor caracteristici transformarii martensitice si a deformarilor induse magnetic au fost studiate prin magnetometrie, masuratori magnetostrictive si de dilatare termica liniara; b) Tratamentul termic induce o crestere semnificativa a temperaturilor caracteristice transformarii martensitice si a anizotropiei magneto-cristaline din faza martensistica pentru benzile $Ni_{50}Mn_{20}Ga_{27}Cu_3$, in opozitie cu comportamentul probelor $Ni_{50}Fe_{20}Ga_{27}Cu_3$; c) Masuratorile de dilatare termica liniara pentru probele pe baza de Mn indica existenta transformarii pre-martensitice nedetectata prin masuratorile termomagnetice; d) Comportamentul deformarilor induse magnetic este explicat prin mecanisme diferite pentru cele doua tipuri de probe: reorientarea variantilor martensitici pentru probele pe baza de Mn si rotirea magnetizarii domeniilor magnetice in probele pe baza de Fe, sub actiunea unui camp magnetic exterior.

In cea de a zecea faza din proiect, s-a urmarit obtinerea si caracterizarea de nanofire functionalizate cu biomolecule pentru detectori de tip FET. Rezultatele preconizate ale acestei faze au fost: a) obtinerea electrochimica de nanofire de ZnO; b) caracterizarea prin metode de microscopie si electrochimice a nanofirelor ZnO; c) functionalizarea nanofirelor ZnO; d) demonstrarea capacitatilor biosenzoriale ale nanofirelor ZnO.

Nanofirele cu proprietati semiconductoare au capat in ultimii ani o atentie considerabila datorita proprietatilor electrici si optoelectronice. ZnO este un semiconductor caracterizat printr-o banda interzisa directa (3.37 eV la 300 K), o energie mare de legatura a excitonilor (60 meV) si o transmisie mare a luminii vizibile. In acest context, prezenta faza si-a propus obtinerea de nanofire de ZnO prin metode electrochimice si functionalizarea acestora pentru dezvoltarea de biosenzori.

Nanofire de ZnO au fost obtinute prin depunere electrochimica fara a folosi un sablon. Depunerea electrochimica este o metoda care permite controlul morfolologiei si proprietatilor de ZnO nanostructurat. Folosind o solutie apoasa de electrodepunere cu o concentratie foarte scazuta de ioni de Zn^{2+} se pot obtine nanofire de ZnO fara a folosi un sablon.

Pentru aceste studii s-a folosit un aranjament de trei electrozi cu electrod de lucru un substrat de Au(100nm)/Ti(10nm)/ SiO_2/Si , contraelectrod o placeta de Pt iar ca electrod de referinta s-a folosit unul comercial de calomel saturat (SCE). Electrodepunerea s-a realizat in modul potential constant (-1.00V vs. SCE) dintr-un electrolit continand: 0.1 mM $Zn(NO_3)_2$ si 100.0 mM KNO_3 la temperatura de 90 °C.

Functionalizarea nanofirelor de ZnO a fost efectuata folosind o solutie lipidica de 1-oleoil-2-palmitoil-sn-glicero-3-fosfocolina (OPPC) (Fig. 20 A). Intr-un prim pas, electrodul a fost imersat in solutii de diferite concentratii de OPPC ceea ce

permite adsorptia acestuia prin intermediul gruparilor fosfocolina timp de 20 min. In a doua etapa, electrodul a fost transferat in apa demineralizata pentru formarea dublului strat lipidic prin intermediul interactiilor hidrofobe intre catenele lipidice (Fig. 20 B).

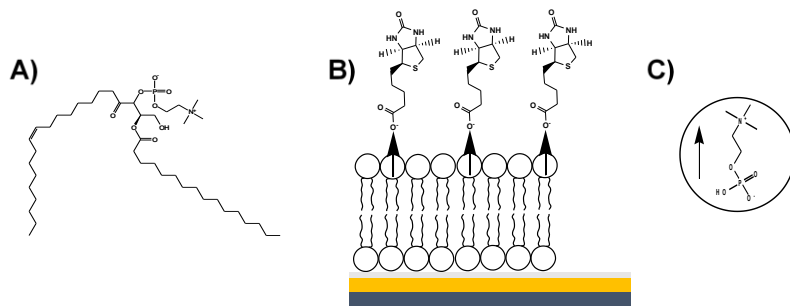


Fig. 20. A) Structura chimica a OPPC. B) Schema dublului strat lipidic si interactia gruparii fosfocolina cu biotina. C) Schema momentului de dipol electric in fosfocolina.

Filme dublu strat lipidic au fost obtinute atat pe electrozii ZnO@Au/Ti/SiO₂/Si cat si pe Au/Ti/SiO₂/Si. Electrozii au fost caracterizati prin voltametrie ciclica (CV) in solutie de K₄[Fe(CN)₆] dupa depunerea stratului lipidic (Fig. 21). In cazul electrodului Au/Ti/SiO₂/Si a fost necesar un numar relativ redus de scanari pana la stabilizarea curentului dar in cazul ZnO@Au/Ti/SiO₂/Si, numarul acestora a fost mai mare (Fig. 21A), ceea ce demonstreaza o difuzie lenta a ionilor in interiorul filmului precum si formarea dublului strat lipidic cu o mai buna aderenta a acestuia la oxidul de zinc.

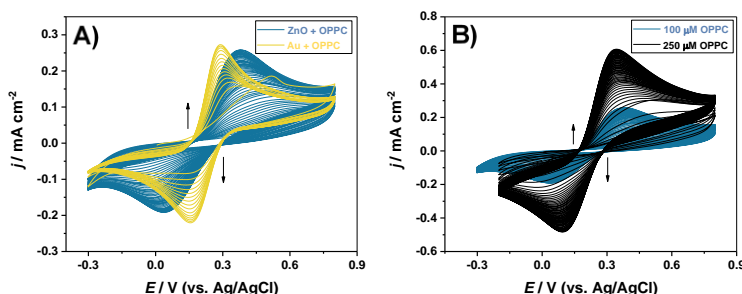


Fig. 21. Voltametrie ciclica intr-o solutie de 3 mM K₄[Fe(CN)₆] in tampon fosfat pH = 8.0 cu A) ZnO@Au/Ti/SiO₂/Si si Au/Ti/SiO₂/Si dupa depunerea dintr-o solutie de 100 μM OPPC si B) cu ZnO@Au/Ti/SiO₂/Si dupa depunerea din solutie cu concentratii diferite de OPPC; v = 100 mV s⁻¹.

Capacitatea senzoriala a nanofirelor ZnO a fost demonstrata prin investigarea interactiei dintre biotina imobilizata si streptavidina in solutie. Pentru aceasta, electrodul ZnO@Au/Ti/SiO₂/Si cu dublul strat lipidic si biotina imobilizata la suprafata acestuia a fost incubat pentru diferite perioade de timp intr-o solutie de 100 nM streptavidina. Dupa incubare, suprafata electrodului a fost spalata cu apa deionizata si transferat in celula electrochimica cu tampon fosfat unde a fost inregistrata EIS (Fig. 21).

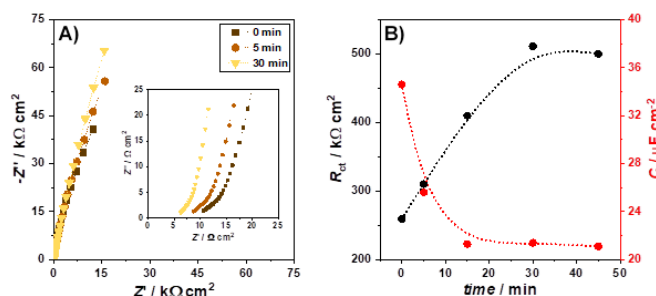


Fig. 21. A) EIS la 0.0 V cu electrodul ZnO@Au/Ti/SiO₂/Si cu biotina imobilizata dupa incubarea intr-o solutie de 100 nM streptavidina pentru diferite intervale de timp. B) Variatia rezistentei la transferul de sarcina si a capacitatii in functie de timpul de incubare.

Spectrele au aratat o crestere a rezistentei transferului de sarcina si o scadere a capacitantei filmului format la suprafata electrodului, datorate interactiei biotina-streptavidina. Astfel, se deduce o crestere liniara a rezistentei la transferul de sarcina pentru intervale de timp mai mici de 30 min si o scadere, de asemenea liniara a C pentru

intervale inferioare a 10 min. Astfel, a fost construita o curba de calibrare de R_{ct} vs. $C_{\text{streptavidin}}$, ceea ce a permis determinarea limitei de detectie a streptavidinei la suprafata electrodului $\text{ZnO}@\text{Au}/\text{Ti}/\text{SiO}_2/\text{Si}$ modificat cu OPPC si biotina imobilizata folosind formula $\text{LOD} = 3 \times (\text{S.D.}) \times (\text{sensibilitate})^{-1} = 13.62 \text{ nM}$.

Ultima faza, a avut ca scop un studiu comparativ al metodelor de sinterizare avansate pentru ceramici din stratul de oxid solid pentru celule de combustie, prin analiza structurala, morfologica si compozitionala de XRD, TEM, SEM-EDS. si analiza proprietatilor mecanice a acestor ceramici. Obiectivele fazei au fost legate de realizarea unor amestecuri de pulberi ceramice pe baza de zirconiu, scandium, ceriu si aluminiu, analiza structurala a acestora si realizarea de pastile ceramice realizate prin trei metode: a) presare/calcinare/sinterizare ; b) sinterizare in plasma (spark-plasma-sintering (SPS)) ; c) depunere in jet de plasma.

Motivatia acestei faze a fost legata de aplicatiile acestor ceramici in realizarea de celule de combustie. Celulele de combustie sunt pile electrochimice care prin reactii redox ale hidrogenului cu oxigenul convertesc energia chimica in energie electrica la tensiuni mici (0.7-1.2 V) si curenti medii (10-100 mA/celula). Datorita faptului ca functioneaza atata timp cat sunt alimentate cu hidrogen si oxigen, aplicatiile acestora se regasesc in industria automotiva, aero-spatiala, energetica. Dintre numeroasele tipuri constructive, celulele de combustie cu electrolit solid (solid oxide fuel cells) prezinta avantajul scalarii la puteri de ordinul MW, ele functionand totodata la temperaturi intre 700-1000° C cu un randament de 40-60%, iar in regim de cogenerare prin captarea energiei termice, cu randament de pana la 85%.

La temperatura de lucru pentru celulele SOFC (700-1000° C), materialul care sta la baza electrolitului solid (Zirconia cubica ZrO_2) are proprietatea de conductie ionica a anionului de oxigen O^{2-} . Aceasta se realizeaza (prin analogie cu conductia de goluri intr-o retea de semiconductor) prin rearanjarea vacantelor de oxigen in reteaua cubica a zirconie.

Datorita temperaturilor de lucru ridicate, reteaua cubica de zirconie poate suferi transformari structurale in retea tetragonală, in care conductia ionica este mult diminuata si care duce la formarea de crapaturi datorita tensiunilor introduse in material prin modificarea volumului celulei unitare. Pentru stabilizarea retelei cristaline se foloseste doparea cu ioni de Ytriu (8-20%), obtinind astfel un aliaj ceramic Y:ZrO_2 , desemnata ca YSZ (yttria stabilized zirconia). Pentru aplicatii SOFC s-a determinat ca procentul optim este de 8% atomic (8YSZ).

A doua problematica legata de buna functionare a celulelor SOFC este rezistenta mecanica a acestora, in special rezistenta la fluaj, formarea si propagarea microfisurilor si crapaturilor in ceramica de YSZ in contact cu electrozi metalici si datorita mecanismului de conductie ionica in volumul cristalitelor si la marginea de graanti. In mod clasic aceste probleme se compenseaza prin armarea retelei cristaline cu adaoi de alfa-alumina (Al_2O_3 corund) de pana la 10 % procent masic.

Intrucat alumina introdusa nu contribuie la conductia ionica de oxigen (O^{2-}), aceasta pierdere se poate compensa prin introducerea de vacante de oxigen suplimentare prin dopaj extrinsec, in special cu ioni de ceriu (Ce), disprosiu (Dy), gadoliniu (Gd), sau scandiu (Sc). In aceasta faza, ne-am limitat la codopajul cu ceriu (Ce) si scandiu (Sc).

Pentru realizarea unei ceramici cu proprietati omogene de zirconie stabilizata (YSZ), armata (Al_2O_3) si dopata (CeO_2) s-au folosite trei tehnici de sinteza disponibile in cadrul institutului:

1) presare/calcinare/sinterizare. Se poate folosi ca varianta precursoare de obtinere de materiale pentru celelalte doua metode, insa are dezavantajul ca nu se pot obtine subansamblu electrod-electrolit cu caracteristici mecanice satisfacatoare.

2) omogenizare mecanica urmata de spark-plasma-sintering (SPS), se pot obtine proprietati mecanice structurale optime pentru ceramica de YSZ, insa doar sub forma de pastile la dimensiuni ce nu sunt adecate pentru realizarea de dispozitive SOFC.

3) air plasma spray (APS) permite depunerea de straturi de zirconie de dimensiuni adecate (10-50 μm) pe electrozi cu forme complexe si pe arii extinse (de ordinul de ~ 10 m^2), folosind precursori ce au fost optimizati chimico-structural prin metodele 1 si 2).

Metoda presare/calcinare/sinterizare

Pornind de la pulberi nanometrice (Inframmat) de 8YSZ (zirconie stabilizata cu ytriu 8% atomic), alfa-alumina (Al_2O_3), zirconie cubica (ZrO_2), ceriu (CeO_2) si scandie (Sc_2O_3) s-au realizat urmatoarele amestecuri de faze:

S0: YSZ

S1: YSZ + Al_2O_3 (10% masic)

S2: YSZ + Al_2O_3 (10% masic) + CeO_2 (5% masic)

S3: YSZ + Al_2O_3 (10% masic) + CeO_2 (5% masic) + Sc_2O_3 (1% masic)

Amestecurile s-au realizat prin urmatoarele etape tehnologice: omogenizare in solutie PVA (15% polivinil acetat) si uscare in etuva la 120°C ; calcinare 600°C ; sinterizare la 1250°C , 1350°C , 1450°C .

Metoda omogenizare mecanica/SPS

Pentru a decela efectul de dopare cu Ce, folosind metoda a doua (omogenizare mecanica in moara cu bile (2h, 5min/5min pauza) urmata de sinterizare spark-plasma-sintering (SPS) s-au realizat esantioane de tip S2 (YSZ + Al_2O_3 (10% masic) + CeO_2 (5% masic)) pornind de la aceiasi precursori. Difractogrammele arata procesul de dopare cu cerie a structurii YSZ in care dimensiunea medie de cristalite are valori in intervalul 92-120 nm iar constanta de reteaua e largita la 5.147-5.148(5) A in raport cu constanta de retea pentru YSZ (5.141 A). O usoara asimetrie a maximului de difractie pentru SPS 1350°C arata posibil micro-stresuri la nivel de celula unitara.

Metoda depunerii in jet de plasma atmosferica (air plasma spray APS)

In cadrul fazei s-a efectuat depunerea straturilor ceramice de 8YSZ cu o instalatie de depunere in jet de plasma atmosferica (APS) model METCO 7M instalata in acest an in institut.

S-au folosit 3 esantioane care au fost supuse la tratamente termice de 1050°C , 1150°C si 1250°C in aer.

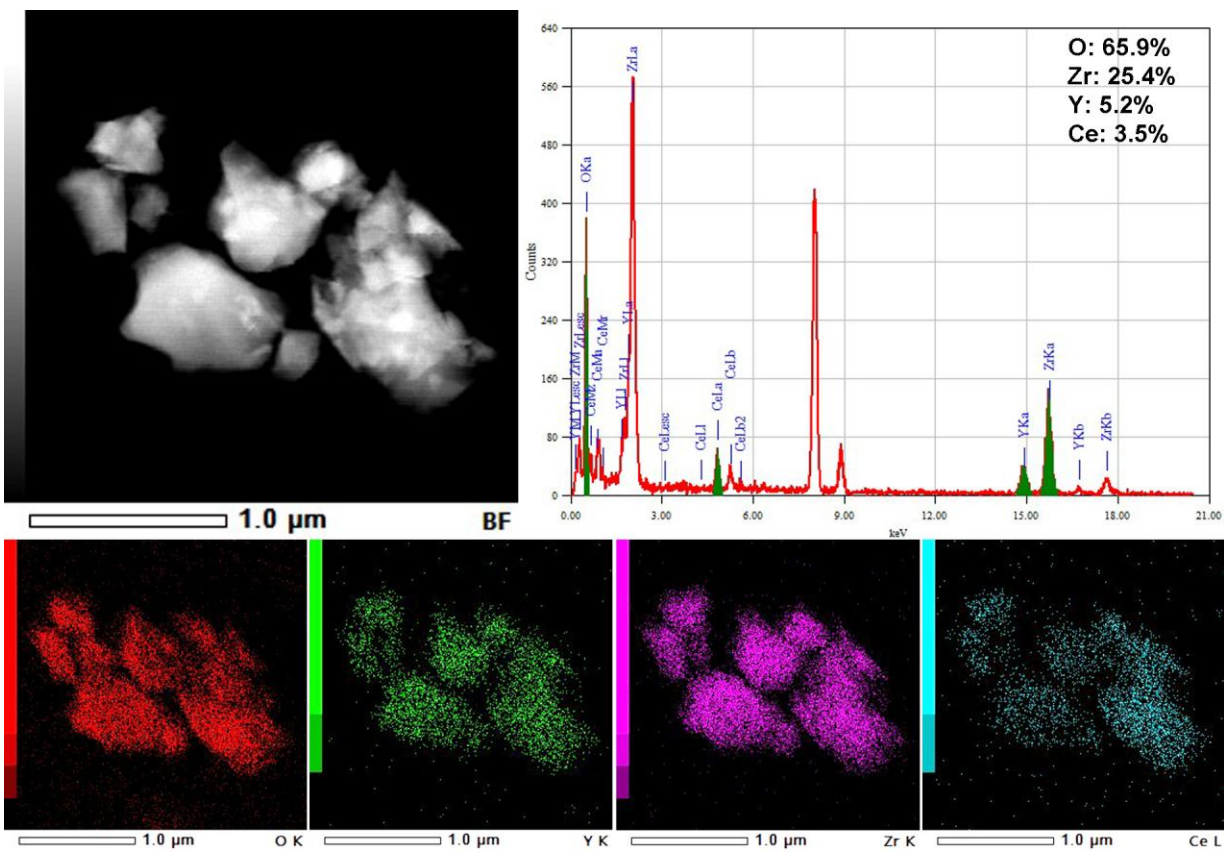


Fig. 22 Analiza STEM si EDS a probei YSZ- Al_2O_3 / CeO_2 sinterizata la 1450°C

Investigatiile SEM pentru probele YSZ- Al_2O_3 , YSZ- Al_2O_3 / CeO_2 , YSZ- Al_2O_3 / CeO_2 / Sc_2O_3 nu arata mari diferente morfologice ale grauntilor in functie de compozitie, observandu-se o forma neregulata a grauntilor de material. Odata cu cresterea temperaturii se observa formarea de coalescecente intre grauntii materialului. Confirmarea prezentei dopantilor in materialul de baza este data si de analizele EDS si pentru exemplificare s-au ales spectrele pentru temperaturile de 1250°C si 1450°C . Analiza prin microscopia electronica de transmisie cu baleaj (STEM) corelata cu tehnica EDS confirma doparea cu Ce in celula de YSZ la nivel de graunti cristalini (Fig. 22).

In ceea ce priveste analiza proprietatilor mecanice s-au efectuat masuratori de rezistenta la compresiune pe probele sintetizate prin calcinare/sinterizare si SPS si tratate la temperaturi de 1350°C . A rezultat ca probele obtinute prin SPS au o rezistenta la compresiune de 105 kPa iar probele obtinute prin sinterizare au 35 kPa. Aceste valori reduse se datoreaza porozitatii crescute intre 20% si respectiv 65%.

2.2. Proiecte contractate:

Au fost contractate 3 proiecte:

Proiect 1: Fenomene si procese fizico-chimice in sisteme nanometrice complexe, suprafete si interfete;

Proiect 2: Sinteza si caracterizarea materialelor nanostructurate, straturilor subtiri si heterostructurilor;

Proiect 3: Materiale functionale si structuri cu impact tehnologic; noi dispozitive si metode de sinteza si de analiza.

Cod obiectiv	Nr. proiecte contractate	Nr. proiecte finalizate	2017
1. PN 16-4801	3	3	In anul 2017 au fost finalizate 47 de faze in cadrul celor 3 proiecte, dupa cum urmeaza: 21 in cadrul proiectului 1; 15 in cadrul proiectului 2; 11 in cadrul proiectului 3.
Total:			

2.3 Situația centralizată a cheltuielilor privind programul-nucleu :

Cheltuieli în lei

	BUGET 2017	Credite angajament 2017	TOTAL 2017
I. Cheltuieli directe	8.986.847	1.821.775,35	10.808.622,35
1. Cheltuieli de personal	8.723.183	1.102.765	9.825.948
2. Cheltuieli materiale și servicii	263.664	719.010,35	982.674.35
II. Cheltuieli Indirecte: Regia	6.945.573	1.658.850	8.604.423
III. Achiziții / Dotări independente din care:	0	4.767.326,65	4.767.326,65
TOTAL (I+II+III)	15.932.420	8.247.952	24.180.372

3. Analiza stadiului de atingere a obiectivelor programului

Proiect 1: Fenomene si procese fizico-chimice in sisteme nanometrice complexe, suprafete si interfete;

In cele ce urmeaza vom prezenta succint modul in care am atins obiectivele pe care ni le-am propus in fiecare dintre fazele predate in cursul anului 2017 in cadrul Proiectului 1 „**Fenomene si procese fizico-chimice in sisteme nanometrice complexe, suprafete si interfete**”. Mentionam ca in cadrul fiecareia dintre faze am realizat integral activitatile pe care ni le-am propus, si am atins toate obiectivele.

In cadrul fazei **Structura electronică a ferofelectricilor: fotoemisie din banda de valență cu rezoluție unghiulară și calcule de structură de bandă**, in care ne-am propus sa calculam structurile de benzi prin metode *ab-initio* pentru ferofelectrii in starea de simetrie inalta si in configuratia asociata instabilitatii ferofelectrice, sa calculam structurile de benzi pentru o supercelula ferofelectrica ce corespunde situatiei experimentale de strat subtire si sa stabilim dependenta proprietatilor electronice de localizarea in raport cu suprafata, sa determinam experimental dispersiile electronice folosind spectroscopia de fotoelectroni cu rezolutie unghiulara, am atins toate obiectivele. Am efectuat in premiera masuratori de fotoemisie cu rezolutie unghiulara pentru un strat subtire de PZT si am stabilit excelenta concordanta dintre rezultatele experimentale si cele teoretice obtinute prin simulari numerice folosind teoria functionalei de densitate. Pentru viitor, ne-am propus sa efectuam experimente pe straturi groase de sute de nanometri de PZT si BTO precum si pe interfete metal ferofelectric.

Toate activitățile propuse pentru faza **Studiul modalităților de control al benzii interzise în semiconductori ferofelectri** au fost realizate. Am atins obiectivele de obtinere si caracterizare de filme si structuri multistrat de materiale ferofelectrice fără plumb. Rezultatele obtinute pentru largimea benzii interzise sunt în concordanță cu

valorile raportate în literatură. În continuare ne propunem să continuăm această tematică, realizând investigații complementare pentru evaluarea largimii benzii interzise pentru materialele depuse.

În cadrul fazei **Studiul computational al distribuțiilor de densitate de sarcină și potențialelor în heterostructuri oxid-oxid și oxid-metal, în care oxidul este un dielectric feroelectric sau magnetoelectric cu structura perovskitica** ne-am indeplinit integral obiectivul propus, determinarea transferurilor de sarcină electronică, a efectelor datorate interfetelor ca și polarizării electrice în heterostructuri oxid/metal cu straturi ultrasubtiri, de interes pentru utilizarea în dispozitivele electronice bazate pe fenomenul de tunelare cuantică. Aceste heterostructuri oferă posibilitatea de a controla și amplifica efectele asociate interfetelor prin manipularea interacțiunii dintre straturile atomice adiacente. Sistemele investigate sunt echivalente unor condensatori feroelectrici planari ale caror proprietăți de conductie sunt determinate de densitatea de sarcină interfacială, de densitatea de dipoli, de variația potentialului electronic și de alinierea benzilor de energie. Modelele structurale corespund unor condensatori feroelectrici asimetrici, în circuit deschis, formati din straturi de $PbTiO_3$ (001) tetragonal cu grosimi diferite (3, 5, 7 și 9 celule unitate) aflate între doi electrozi oxidici cu proprietăți de conductie metalică, formati din $3\frac{1}{2}$, și respectiv 4 straturi de $SrRuO_3$.(001) în fază cubică. Slaburile sunt separate printr-o regiune de vid de 15 Å grosime pentru a elimina posibila interacțiune electrostatică dipolară. Geometria aleasă ne permite să studiem simultan fenomenele la cele două interfete diferite, și anume $SrO-TiO_2$, și $PbO-RuO_2$.

Obiectivele fazei **Studiul suprafețelor feroelectrice ultracurate** au fost integral realizate. S-a pus la punct o tehnologie de laborator de curătare a probelor de tip strat subțire monocristalin sau monocristal feroelectric, până la eliminarea contaminanților de pe suprafața.

Prin identificarea condițiilor de depunere și de tratament termic al unor straturi subțiri de PZT astfel încât să se obțină valori diferite ale curentului de surgeri, ca și prin studiul influenței curentului de surgeri asupra semnalului piroelectric am indeplinit obiectivele fazei **Studiul relației semnal piroelectric-curent de surgeri în结构ure feroelectrice**. Rezultatele obținute în acest studiu vor contribui la dezvoltarea tehnologică în domeniul detectorilor piroelectriți pe baza de elemente active optimizate de PZT. Desi conține plumb, acest material este foarte eficient în aplicațiile legate de detectia IR. Fiind vorba de filme subțiri, cantitatea de plumb este redusă, astfel ca nu afectează nici mediul, nici sănătatea umană.

Obiectivul principal al fazei **Studii ale interfetei ferroelectric-semiconductor polar prin tehnici de înaltă rezoluție**, de a dezvolta noi materiale și structuri funktionale cu aplicații în senzoristica și electronică, a fost deplin atins. Pentru aceasta au fost investigate unele interfete semiconductor polar-feroelectric din punct de vedere structural, s-a folosit spectromicroscopia de fotoelectroni a distribuției polarizării pe arii submicroscopice și au fost investigate proprietățile electrice ale unor semiconductori polari și a unor heterostructuri ce includ feroelectrici, și corelarea lor cu structura acestora.

Am preparat multiferoici organici prin auto-asamblarea în monostraturi pe o suprafață suport, combinând molecule magnet (Co-Phtalocyanine) cu molecule polare (Guanine) folosind ca tehnică de depunere epitaxia din fascicul molecular pt. substanțe organice. Am investigat comportamentul feroelectric și piezoelectric al strukturilor depuse, am caracterizat magnetic probe uni- și multistrat, și am determinat concentrațiile elementale în probele studiate. Am indeplinit astfel obiectivele fazei **Studiul preparării multiferoicilor organici prin auto-asamblare**.

Obiectivele fazei **Efectul de pic în curbele de magnetizare ale supraconductorilor de spătă a II** au fost îndeplinite în totalitate. A fost găsită originea efectului de pic în materialele supraconductoare clasice, cuprați și calcogenide, corespunzând dezordonării sistemului de vortexuri indușă de pinning. Generalizarea acestui model ar impune continuarea cercetărilor prin studiul experimental al pnictidelor (supraconductori pe baza de Fe, cu anizotropie redusă).

În urma cercetărilor efectuate în cadrul fazei **Analiza răspunsului magnetic ac al supraconductorilor în starea de vortexuri** am obținut urmatoarele rezultate: i) s-a demonstrat că dinamica vortexurilor în masurările magnetice AC este diferita de dinamica în cazul DC prin extragerea vitezei de deplare a fluxului; ii) a fost stabilit pentru prima dată un model teoretic pentru determinarea curentului critic dinamic J_d care se atinge la frecvențe de depinning ale campului magnetic AC și a fost obținut experimental prin masurări de relaxare dinamica la tempi mici pe un film YBCO cu nanorod-uri $BaZrO_3 +$ nanoparticule Y_2O_3 ; ii) A fost determinată diagrama de fază a vortexurilor până la campuri magnetice de 3 T din dependența de camp și temperatură a armonicii a 3-a răspunsului magnetic AC. În continuare se va determina diagrama de fază la campuri mai mari până la 14 T și se vor studia dinamica și neliniaritățile AC în cazul filmelor supraconductoare nanocomposite cu centri de fixare pe baza de nanoparticule magnetice. Obiectivele fazei au fost integral realizate.

Toate obiectivele asociate fazei **Magnetism și magnetrezistență în structuri bi- și uni-dimensionale nanometrice** au fost realizate iar rezultatele preconicazate au fost atinse. Astfel, pe baza similarilor micromagnetice

efectuate in regim static a fost descrisa evolutia ciclurilor de histerezis magnetic pentru campuri magnetice aplicate in lungul si perpendicular pe axa de usoara magnetizare, fiind gasite criterii care sa precizeze daca reversibilitatea magnetizarii se face in regim Stoner-Wohlfarth sau prin formare de domenii magnetice. In conditiile care au evideniat o reversibilitate a magnetizarii prin deplasari de pereti de domenii, evolutia acestoara a fost urmarita prin simulari micromagnetice efectuate in regim dinamic. A fost elaborata o metodologie de determinare corecta a timpilor de nucleatie si a vitezei de deplasare a unui perete de domeniu in nanofibre magnetice cu diametre specifice. A fost elaborat un algoritm de determinare a reversibilitatii magnetizarii in nanofir izolat, pe baza masuratorilor de magneto-rezistenta. Metodologia a fost exemplificata pe baza experimentelor de magnetorezistenta realizate pe fire singulare. A fost evidentiată dependența timpului de propagare a unui perete de domeniu magnetic in benzi magnetice de grosimi nanometrice de densitatea curentului electric aplicat. Se intenționează a se extinde astfel de studii la cazul unor sisteme 0D si 1D asamblate in structuri planare.

Obiectivele fazei **Controlul proprietatilor functionale cu ajutorul unor adaosuri inteligente in supraconductorul pe baza de MgB₂ obtinut prin SPS**. au fost atinse. Au fost testate adaosuri inteligente care pot conduce la un control al fortele de fixare prin modificarea curbei $f_p(h)$, astfel incat sa exista o separare a maximului in forta de fixare. Acest efect poate conduce la un nou tip de control avansat cu ajutorul adaosurilor a densitatii critice de curent la diferite campuri. Cercetarea deschide noi posibilitati de control si imbunatatire a caracteristicilor functionale ale MgB₂, si cercetarile viitoare pentru o optimizare avansata a tehnologiei si a materialului sunt de interes.

Prin ajustari ale compozitiei in sisteme simple cum sunt solutiile solide ale metalelor 3d (e.g. Fe, Mn) cu semiconductori (e.g. Si, Ge) am reusit plasam tranzitiile intre stari metalice/magnetice si stari izolatoare/nemagnetice in domenii de parametri de comutatie (temperatura, camp magnetic) de interes pentru aplicatii. Am propus o noua modalitate de procesare in vederea obtinerii solutiilor solide de tip Fe(Si,Ge). Metoda propusa este capabila sa reduca consistent timpul de procesare si este usor scalabila pentru productie de masa. De asemenea aceasta ruta de procesare permite realizarea unor compusi de volum nanostructurati. Am analizat proprietatile structurale si de transport electric in compusii astfel realizati si am interpretat rezultatele obtinute folosind modelele teoretice existente. Am identificat compozitii pentru care materialele produse prezinta un potential ridicat aplicativ, de exemplu in domeniul senzorilor de temperaturi joase cu stabilitate mare in camp magnetic. Astfel obiectivele fazei **Efecte de comutatie induse in sisteme electronice puternic corelate** au fost integral atinse.

Obiectivele fazei **Efecte de interactie in reteaua Lieb mesoscopica, stari de spin si proprietati magnetice in benzi plate** au fost integral realizate. Rezultatele obtinute sunt folosite de asemenea la calculul energiilor de splitting magnetic in molecule circulare sau retele Lieb cu 1 sau 2 celule elementare. Pentru continuarea cercetarilor efectuate se propune pe de o parte studiul proprietatilor matematice ale energiilor de schimb, deoarece, in functie de semnul acestora, un sistem fizic poate prezenta sau nu proprietati magnetice in starea fundamentala. Pe de alta parte se propune utilizarea rezultatelor obtinute la retele hexagonale, precum cea a grafenei sau fosforenei. In cazul acestora, exista stari quasidegenerate, (nu degenerate ca in cazul retelelor Lieb), a caror ocupare poate conduce la aparitia unor proprietati de spin prin considerarea unor efecte similare ca cele studiate si prezentate in cadrul acestui raport. O alta linie de cercetare este studiul sistemelor fizice unde se poate obtine o tranzitie de la cazul teoremei singletului (a lui Lieb), care spune ca starea fundamentala este un singlet pentru 2 electroni in interactie, catre regula lui Hund, care spune ca starea fundamentala este un triplet.

Obiectivele fazei **Comportamentul structurilor bi- si quasi-bidimensionale (grafene,fosforena,silicena) in prezenta defectelor, dopantilor si a campului electric extern** au fost complet realizate. Am aratat ca starile de margine zig-zag sufera un proces de delocalizare, datorita amestecului cu starile extinse care apartin benzilor de valenta si conductie, intr-un interval de dezordine intermediar. Acest efect a fost observat si in masuratori de transport cuantic unde conductanta creste in intervalul de dezondini unde se manifesta delocalizarea.

Apreciam ca si obiectivele fazei **Procese de tunelare mediate fotonice in doturi cuantice** au fost indeplinite in totalitate. Rezultatele obtinute se subsumeaza cercetarii fundamentale, prezic efecte care pot fi observate cu tehnici experimentale actuale.

Si referitor la faza **Interactia exciton-fonon ca proces optic neliniar in structuri mesoscopice excitate optic rezonant** apreciem ca am indeplinit integral obiectivele, prin extinderea procesului optic neliniar generat prin amestecu a doua campuri optice la heterojonctiuni din doua materiale semiconductoare AB, adica luminescenta excitonica este generata prin pompaj la limita bezii excitonice a unui material semiconductor A iar amplificarea Raman se obtine pe un alt material B.

Obiectivele fazei **Procese optice in nanostructuri luminescente (LiYF₄) dopate cu pamanturi rare** au fost atinse si anume s-au preparat structuri uni-dimensionale (tip fire) de LiYF₄:Eu³⁺ prin electrospinarea compozitului polimer initial (compus din polimerul PVP cu particule de xerogel inglobate) urmata de calcinare. S-au studiat proprietatile optice ale acestor structurilor uni-dimensionale electrofilate prin comparatie cu cele unidimensionale (nanocristale LiYF₄:Eu³⁺) si materiale microcristaline (pulberi sau pastile LiYF₄:Eu³⁺) folosind ionul Eu³⁺ ca „ion proba”. S-a observat ca influenta efectelor nanodimensionalitatii este destul de redusa cel mai probabil din cauza diametrelor relativ mari ale firelor electrofilate obtinute, scaderea usoara a eficientei luminoase fiind legata de prezenta ionului hidroxil si a impuritatii de oxigen. Aceasta cercetare ar putea fi continuata in mai multe moduri: i) prin optimizarea procesului de electrofilare si a celui de calcinare pentru obtinerea de fire cu dimensiuni mult mai bine definite si controlabile (o distributie mai “ascutita” a diametrelor firelor si sub 100nm); ii) prin doparea cu ioni precum (Yb, Er) pentru studiul proprietatilor de luminescenta de tip “up-conversion”.

In cadrul fazei **Heterostructuri nanometrice cu proprietati duale, magnetice si photocatalitice, pentru aplicatii in terapii antitumorale prin hipertermie si procese redox** - s-a realizat sinteza de nanoparticule de oxid de fier (Fe₃O₄/γ-Fe₂O₃) - proba MAG; s-a realizat sinteza de nanocompozite de tip oxid de fier-TiO₂ folosind hidroliza alcoxizilor de titan in conditii fizico-chimice diferite; au fost determinate componitia de faze si structura la scala nanometrica a nanocompozitelor de tip oxid de fier-TiO₂ obtinute; au fost determinate curbele de temperatura, T(t), generate prin incalzirea inductiva a nanoparticulelor de oxid de fier si nanocompozitelor obtinute; a fost determinata activitatea photocatalitica a nanocompozitelor obtinute prin reducerea photocatalitica a sarii de tetrazolium MTT; au fost identificate conditii si proceduri de sinteza cu potential pentru obtinerea de nanocompozite cu proprietati imbunatatite. Apreciam ca in acest fel obiective fazei au fost integral realizate.

În cadrul studiului legat de **Procese de NOx pe semiconductori preparati prin PLD** am demonstrat că photocatalizatorii de dioxid de titan dopați, preparați prin metoda de depunere prin ablație laser, sunt capabili să promoveze oxidarea NO, chiar și sub iradiere cu lumină vizibilă. Aceste rezultate demonstrează că procesul de dopaj modifică proprietățile electronice ale centrilor activi ai suprafetei, sporind activitatea photocatalitică a acestor materiale. Astfel, obiectivele fazei au fost realizate integral. Realizarea procesului photocatalitic deNOx este o tema extrem de dezbatută la nivel mondial, rezultatele obținute în cadrul acestei faze putând conduce la creșterea interesului general în utilizarea tehnicii PLD pentru crearea unor sisteme photocatalitice extrem de active.

Ambele materiale studiate in cadrul fazei **Determinarea mecanismul chimico-fizic de interactie cu noxele habituale pentru sistemul ternar SnO₂-CuO-WO₃**, SnO₂-CuO-WO₃ calcinat la 600 °C si SnO₂-CuO-WO₃ calcinat la 800 °C prezinta potential aplicativ. Mecanismele de interactie cu noxele habituale sunt specifice fiecarui material si se bazeaza pe adsorbția prelabilă a oxigenului si a vaporilor de apa, urmata de interactia ulterioara dintre acestea si noxele habituale, in cazul de fata hidrogenul sulfurat. Determinarea speciei dominante in mecanismul chimico-fizic specific sistemul ternar SnO₂-CuO-WO₃ s-a realizat pe baza unui studiu complementar al proprietatilor electrice, catalitice si morfologice. Acest lucru permite trecerea la o etapa aplicativa, respectiv de realizare a unui model demonstrativ de senzor pentru detectia H₂S. Modul de operare in temperatura pulsata (OTP) asigura reducerea puterii consumate cu 10% si timpi de raspuns/revenire de 4 min/5 min.

Investigatiile intreprinse in cadrul fazei **Dependenta polarizabilitatii de frecventa, temperatura si tensiunea electrica continua in semiconductori calcogenici/composi oxidici care au aplicatii in conversia energiei/cataliza** au relevat relatia dintre compozitie/structura si proprietatile fizice in doua familii de materiale diferite, influenta benefica a yttriu lui, restrictionarea mobilitatii ionilor datorita interactiei la sufrafata cu materialul anorganic. Obiectivele fazei au fost integral realizate.

Proiect 2: Sinteza si caracterizarea materialelor nanostructurate, straturilor subtiri si heterostructurilor;

Faza *Prepararea prin oxidare termica si pulverizare catodica a heterostructurilor de tip miez-coaja ZnO-CuO pentru aplicatii de tip diode* prezinta date experimentale noi privind prepararea prin metode uscate si proprietatile structurale, optice si morfologice a heterostructurilor de tip miez-coaja ZnO-CuO, precum si integrarea unor nanofire singulare de ZnO-CuO in dispozitive de tip dioda. S-a pus in evidenta faptul ca nanofirele de ZnO preparate prin oxidarea termica in aer a unor folii de zinc releva semnaturile caracteristice acestui semiconductor (faza hexagonală, largimea benzii interzise si benzile de emisie). Heterostructurile de tip miez-coaja ZnO-CuO au fost obtinute prin acoperirea nanofirelor de ZnO cu un strat de CuO folosind pulverizarea catodica cu magnetron in RF, o acoperire uniforma a acestora depinzand de timpul de depunere al CuO. Folosind electrozi interdigitați metalici de Ti/Au si prin utilizarea tehnicii EBL au fost contactate nanofire singulare de ZnO-CuO. Masuratorile electrice realizate pe un singur nanofir de ZnO-CuO au pus in evidenta un comportament de dioda pentru acest tip de heterostructura.

Obiectivul de cercetare programat pentru aceasta faza a fost integral indeplinit.

In cadrul fazei *Investigarea comparativa microstructurala RES a pigmentilor utilizati in opere de arta si comerciali* au fost efectuate studii complexe comparative prin tehnici RES in multifrecventa si la temperatura variabila asupra unor probe de pigmenți istorici folositi in opere de arta si comerciali. Investigarea prin spectroscopie RES a condus la observarea si identificarea impuritatilor paramagnetice si a fazelor secundare prezente in aceste materiale, care pot afecta proprietatile lor optice, stabilitatea si procesele de degradare. Obiectivele acestei faze au fost indeplinite in totalitate.

Rezultatele investigatiilor RES vor fi corelate de catre partenerii italieni cu rezultatele obtinute prin alte tehnici experimentale folosite mai frecvent precum spectroscopia de fluorescenta de raze X (XRF), fotoluminiscenta rezolvata temporal, spectroscopia de raze X cu dispersie dupa energie (EDX), difractia de raze X (XRD), microscopia electronica de baleaj (SEM), pentru a alcatui un tablou complet al proprietatilor pigmentilor istorici si a decide asupra celor mai potrivite protocoale de restaurare prin metode neinvazive.

- Principalele rezultate ale fazei *Mecanisme de conductie in structuri bio-organice cu electrod metalic* sunt:
1. Realizarea de structuri uni si multi strat inclusiv cu strat mixt pe electrod metalic folosind compusi bioorganici;
 2. Realizarea paternarii electrodului metalic (Al, Au) ;
 3. Realizarea de structuri uni si multi strat pe electrod metalic nanostructurat folosind compusi bioorganici;
 4. Caracterizarea optica, morfologica a straturilor depuse ;
 5. Trasarea caracteristicilor I-V si analiza particularitatilor conductiei electrice in aceste structuri;
 6. Studiu comparativ cu proprietatile electrice ale structurilor similar realizate cu catod plan, nestructurat.

Obiectivul de cercetare programat pentru aceasta faza a fost integral indeplinit.

Pentru continuarea cercetarii se are in vedere: 1 efectuarea unor noi experimentari pentru a imbunatatii nanopaternarea inclusiv obtinerea unor paternari caracterizate de alti parametrii geometrici atat pentru electrozi metalici cat si pentru electrozi conductori transparenti (ITO); 2. realizarea unor structuri cu straturi active cu morfologii si rugozitati bine controlate pe electrozii nanopaternati; 3. Caracterizarea heterostructurilor obtinute si investigarea corelatei dintre conditiile de paternare, caracteristicile retelei de structuri realizate si proprietatile de conductie ale heterostructurilor obtinute.

In cadrul fazei *Studiul efectelor de memorie in nanostructuri multistrat pe baza de Si-Ge-Sn* au fost realizeate toate obiectivele pe care ni le-am propus, si anume acelea de a prepara structuri MOS continand NC din sistemul Si-Ge-Sn inglobate in matrice dielectrica, si de a investiga proprietatile de stocare de sarcina ale acestora, manifestate in histerezisul din caracteristica C-V, precum si proprietatile de retentie din caracteristica C-t. Structurile cu trei straturi au fost preparate folosind pulverizarea cu magnetron si oxidarea termica, urmate de tratament termic. In cadrul fazei am investigat morfologia probelor cu NC de SiGe in HfO₂ sau SiO₂ folosind microscopia electronica de inalta rezolutie, masurari XRD si XPS, si am realizat corelarea proprietatilor de memorie cu morfologia. In continuare ne propunem sa optimizam conditiile de preparare pentru obtinerea unor proprietati de retentie a sarcinii imbunatatite. Deasemenea, urmarim sa variem compozitia NC de SiGe, precum si marimea si densitatea acestora pentru obtinerea unor proprietati cat mai bune de memorie.

In cadrul fazei *Studiul difuziei cuprului in straturi subtiri calcogenice sub influenta campului electric* pentru realizarea heterostructurilor formate din straturi subtiri Cu-As₂S₃-Cu a fost nevoie de realizarea unor masti de depunere prin tehnologia imprimarii 3D care sa imbunatasteasca esential calitatea structurilor depuse si sa asigure reproductibilitatea geometriei structurii. A fost caracterizata morfologia suprafetei sectiunii structurilor si s-au estimat grosimile straturilor depuse, cat si grosimea a intregii heterostructuri formata din straturi subtiri de Cu-As₂S₃-Cu. De asemenea s-a studiat comportamentul electric a structurii Cu-As₂S₃-Cu, in diverse situatii. In lumina rezultatelor experimentale, consideram ca raspunsul heterostructurii este preponderent de natura electronica. Obiectivele acestei faze au fost indeplinite in totalitate.

In cadrul fazei *Influenta structurii si stoichiometriei filmelor subtiri de hidroxiapatita simpla si dopata asupra profilului de adsorbție proteica si a factorilor de crestere in fluide intercelulare biomimetice* analizele GIXRD au probat doparea cu success a filmelor de hidroxiapatita direct din amestecuri simple de pulberi HA + oxizi metalici prin tehnologia RF-MS. Suplimentar, analizele FTIR au indicat substitutia gruparilor carbonat in siturile gruparilor ortofosfat. Analizele SE nu au indicat modificari semnificative a ratei de depunere pentru filmele depuse in conditii identice. Rezultatele EDS si ICP au indicat ca dopaje inegale obtinute in filme, ca rezultat al fenomenelor de

pulverizare preferentiala. Acest lucru trebuie subliniat, deoarece consideram ca sta la baza discrepantelor in ceea ce priveste functionalitatea hidroxiapatitei dopate (de cele mai multe ori fiind raportata concentratia de dopant teoretica/de plecare) si dispersia pragurilor/limitelor concentrationale la care este raportata incidenta anumitor efecte (i.e. citotoxicitate, efect antimicrobian redus). In cadrul cercetarilor viitoare, pe baza datelor obtinute, se vor efectua reajustari a concentratiei de dopant in tinta, astfel incat sa se obtina si sa se puna in comparatie directa filme de HA cu nivel de dopaj similar. Filmele HA dopate (cu exceptia HA:Ta) au prezentat o capacitate superioara de adsorbție a factorilor de crestere BMP2, FGF1 si TGF2 comparativ cu filmele de HA pura. Valorile cele mai bune au fost obtinute pentru HA:Ag, HA:Si, HA:Sr si HA:Zn. Poate fi conchis ca modificarea retelei cristaline a HA datorata atomilor dopanti determina o maximizare locala a unor sarcini partiale si o mai buna interactie cu domenii apartinand acestor proteine. Aceasta juca un rol important asupra adsorbției de factori de crestere osteogenici, si implicit a capacitatii de osteointegrare a acestor tipuri de structuri HA.

Obiectivele fixate ale fazei au fost indeplinite, indicand o serie de rute de dopaj promitatoare pentru augmentarea biofunctionalitatii filmelor de HA depuse prin tehnica RF-MS. Rezultatele obtinute, deschid perspective de continuare a cercetarilor prin realizarea de studii sistematice inter-disciplinare, si pot fi folosite ca o platforma *proof-of-concept* pentru redactarea de propuneri de proiect in cadrul unor competitii de proiecte interne sau externe.

In cadrul fazei *Defecte induse controlat in discurile de MgB₂ folosind metoda SPS* Obiectivele fazei au fost atinse. Regimul de pulsuri din procesarea SPS a MgB₂ induce defecte (legate de comportarea fazei secundare MgB₄), care influenteaza fixarea cuantelor de flux magnetic si, deci, influenteaza densitatea critica de curent si campul de ireversibilitate. O lucrare este in curs de pregatire pentru a fi trimisa la publicat. Lucrarea deschide noi posibilitati de control si imbunatire a caracteristilor functionale a MgB₂ si cercetarile viitoare pentru o optimizare avansata a tehnologiei si a materialului este de interes.

In cadrul fazei *Procesarea si caracterizarea aliajelor cu memoria formei pentru utilizarea lor in conditii extreme* s-au realizat in premiera, la noi in tara, masurari ale efectelor presiunii hidrostatice asupra caracteristicilor transformarii martensitice in aliaje Heusler cu memorie de forma: Ni₅₀Fe₂₀Ga₂₇Cu₃, respectiv Ni₅₀Mn₂₀Ga₂₇Cu₃. Pentru o mai buna intreagere a acestor efecte sunt necesare masurari suplimentare, de pilda la presiuni mai mari sau/si valori mari ale campului magnetic. Rezultatele prezentate in acest raport constituie, atat in ceea ce priveste masurarile magnetizarii sub presiune, cat si privind influenta presiunii si a deformarii severe in aliaje cu memoria formei de tip Heusler, un punct de plecare pentru viitoare investigatii care ar aduce clarificari asupra comportamentului acestora. Totodata, acestea ne indreptatesc sa consideram ca obiectivele acestei etape au fost indeplinite integral.

In cadrul fazei *Caracterizarea structurala la scara nanometrica a materialelor avansate pentru pile de combustie de temperatura joasa* studiile microstructurale realizate prin tehnici de microscopie (CTEM, HRTEM) pe probele CV11, CV44 si CV50, au aratat nanostructuri de Pt cu diferite tipuri de crestere, dendritica si aciculara. Toate trei probele au structura interna cubica cu grupul spatial Fm-3m. Din imaginile HRTEM si diagramele de difractie s-au determinat planele cristaline terminale si directiile de crestere pentru fiecare proba in parte. Obiectivul de cercetare programat pentru aceasta faza a fost integral indeplinit.

In cadrul fazei *Sinteza si caracterizarea oxizilor de tip MO (M = Mg, Zn sau Ca) dopati cu ionii ai metalelor de tranzitie pentru aplicatii in cataliza si senzori de gaze* au fost stabilite conditiile optime pentru obtinerea de (nano)pulberi de oxizi metalici de tipul MO multifunctionali; au fost caracterizati morfo-structural oxizii metalici obtinuti punandu-se in evidenta influenta ionilor dopanti asupra proprietatilor micro-structurale, precum dimensiuni de cristalit, morfologie, etc. Investigarea proprietatilor spectroscopice optice (FTIR, UV-VIS) si RES in corelatie cu concentratia de ion dopant au condus la determinarea localizarii dopantilor si identificarea fazelor secundare care pot afecta proprietatile optice si magnetice. Se propune continuarea cercetarilor privind incorporarea si distributia ionilor Cu²⁺ si Cr³⁺ in si pe suprafata nanocrustalelor de MgO pe un domeniu extins de concentratii de dopanti, precum si investigarea influentei tratamentelor termo-chimice post-sinteza asupra proprietatilor optice si magnetice. De asemenea, se vor efectua investigatii privind activitatea fotocatalitica a acestor nanopulberi, in vederea stabilirii potentialului aplicativ. Obiectivele acestei faze au fost indeplinite in totalitate.

In cadrul fazei *Sinteza si caracterizarea de compusi multiferici cu temperatura de tranzitie mare* au fost preparate cu succes probe de $\text{Pr}_2\text{CoMnO}_6$ si aditional de $\text{Ho}_2\text{CoMnO}_6$. Probele de au fost caracterizate prin XRD si printr-un număr mare de măsurători de magnetizare DC, căldura specifică, rezistivitate electrică si polarizare electrică. Măsurătorile indică ordonarea feromagnetică a ambilor compuși la temperaturi joase si o interacționare complexă intre feromagnetism si antiferomagnetism. Măsurătorile de căldura specifică confirmă faptul ca in cea mai mare parte entropia de sub anomalie provine de la feromagnetism in $\text{Pr}_2\text{CoMnO}_6$. Magnetizarea negativă in ZFC, dependenta de câmpul magnetic a temperaturii de crossover, corroborata cu histerezisul magnetic indica contribuții metamagnetice. In plus măsurătorile de polarizare electrică revelă foarte mici ale polarizării electrice. Datorita polarizării foarte mici măsurătorile de polarizare electrică remanentă nu sunt încă revelatoare si in prezent încercam sa le rafinam. Interesant de remarcat sunt caracteristicile dielectrice ale $\text{Ho}_2\text{CoMnO}_6$ ce nu arată pierderi nici la câmpuri electrice foarte mari si timpi lungi de măsura. Obiectivele fixate ale fazei au fost indeplinite iar rezultatele obținute vor fi completate in viitor cu măsurători la temperaturi mai scăzute si in câmp magnetic folosind un sistem experimental construit recent pentru a evidenția posibile proprietăți feroelectrice ale acestor compuși.

In cadrul fazei *Studiul proprietăților de transport electronic in nanostructuri pe baza de Si-Ge-S* s-au investigat mecanismele de transport in structuri compuse din NC de GeSn si GeSi inglobate in SiO_2 . S-au pus in evidența prin masurari de conductie de intuneric (in ambele geometrii), mecanisme de hopping activat termic sau tunelere intre NC GeSn, dar si o conductie ridicata in matricea de SiO_2 datorata prezentei Ge si a Sn. Energiile de activare evidențiate la temperaturi joase si inalte in caracteristicile $I-T$ se datoreaza variatiei mobilitatii purtatorilor in procesul de hopping activat termic, in structura sandwich energia de activare de la temperatura joasa fiind modificata prin contributia heterojonctiunii cu substratul de Si. Curba de dependenta spectrala $I_{ph} - \lambda$ in structura sandwich releva la lungimi de unda mai mari de 1,05 μm contributia fotogenerarii purtatorilor de sarcina in NC GeSnIn filme cu NC GeSi inglobate in SiO_2 si in structuri multistrat am aratat ca principalele mecanisme de conductie sunt mecanismul de tunelare asistata de camp electric si/sau termic intre NC vecine sau prin bariera creata de filmul de SiO_2 cu grosime tunelabila, de dimensiuni nanometrice (4 – 6 nm). Obiectivele asociate acestei faze au fost realizate integral. Tintele stabilite, referitoare la caracterizarea mecanismelor de transport in probe si structuri multistrat cu NC de GeSi si GeSn inglobate in SiO_2 au fost atinse.

In cadrul fazei *Sisteme oxidice nanometrice cu structura piroclorica procesate prin metode neconventionale* s-a obtinut manganitul de terbiu (TbMn_2O_5) prin doua metode diferite de procesare. S-a folosit metoda clasica (reactie in faza solida) si metoda neconventionala Spark Plasma Sintering (SPS). Metoda SPS a fost aplicata in premiera pentru obtinerea TbMn_2O_5 . Studiile comparative de structura au confirmat formarea ca faza aproximativ unica a TbMn_2O_5 pentru procesarea clasica, in timp ce prin procesarea SPS s-a obtinut un amestec de faze TbMn_2O_5 , TbMnO_3 , cu faza TbMn_2O_5 piroclorica majoritara. Densificarea materialului la SPS este destul de buna, densitatile masurate pe toate cele trei probe procesate SPS reprezentand cca. 80% din densitatea teoretica a materialului. Rezultatele sunt incurajatoare si studiile vor continua, astfel incat parametrii tehnologici ai SPS sa fie optimizati pentru a obtine o cantitate cat mai ridicata de faza TbMn_2O_5 piroclorica. Deasemenea se va urmari nu doar obtinerea fazei ci si controlul morfo-structural (de exemplu a dimensiunilor de particule) pentru imbunatatirea/controlul proprietăților. Investigarea proprietăților magnetice pe proba procesata clasica a evidențiat un comportament tipic pentru acest tip de material, cu existenta unui cuplaj antiferomagnetic la temperaturi joase atribuit cuplarii spinilor 4-f ai Tb si o temperatură Neel de tranzitie AF de 42 K, dupa care la temperaturi mai ridicate proba devine paramagnetica.

Experienta acumulata va fi in continuare utilizata pentru studiile de obtinere, caracterizare si analiza avansata a proprietăților electrice si magnetice a TbMn_2O_5 , material de interes fundamental dar si aplicativ. SPS prin specificul sau poate promova fabricarea unor probe de calitate deosebita sau cu proprietati speciale ce nu pot fi obtinute prin metodele conventionale.

In cadrul fazei *Structuri magnetice nanodimensionale complexe obtinute pe cale chimica* s-au implementat toate activitatile prevazute aferente obiectivelor (preparari chimice complexe, tratamente termice in flux de gaz,masuratori structurale si compozitionale, de porozitate, magnetice si Mossbauer). S-au indeplinit complet obiectivele prevazute in propunerea de proiect si s-au obtinut nanoparticule cu proprietati imbunatatite (coercivitate, remanenta si magnetizare la saturatie ridicata). Valorile ridicate ale coercivitatii si magnetizarii la saturatie obtinute pentru nanoparticulele de Fe_{16}N_2 le fac interesante pentru producerea de magneti permanenti ieftini fara pamanturi rare. Valorile foarte mari ale coercivitatii masurate la temperaturi scăzute pentru nanoparticulele de CoFe_2O_4 arata prezenta unei anizotropii de forma insemnate, care se reflecta si in valoarea mare a

constantei de anizotropie K. Temperaturile de blocare in intervalul 233 ÷ 272 K obtinute pentru NP de CoFe_2O_4 le fac interesante pentru aplicatii in tratarea tumorilor prin hipertermie magnetica. Obtinerea de structuri miez/ invelis care prezinta cuplaj de schimb conduce la cresterea ariei ciclului de histerezis si a eficientei energetice. Se propune continuarea in viitor a cercetarii prin dezvoltarea de noi NP pe baza de ferite cu forma elipsoidala sau aciculara prezentand anizotropie de forma si coercitivitate foarte ridicata. Substitutii ale Fe si Co de catre alte metale tranzitionale in ferite pot conduce la ajustarea temperaturii Curie care este utila pentru aplicatii in hipertermia magnetica auto-controlata.

Proiect 3: Materiale functionale si structuri cu impact tehnologic; noi dispozitive si metode de sinteza si de analiza.

Compusii ternari de componitie Cr_2AlC care aparțin clasei de faze MAX au fost depusi prin co-evaporare pe substraturi de Si, la 100°C (substrat care nu a fost incalzit) si la 380°C (substrat incalzit). Filmul depus fara o incalzire prealabila a substratului este amorf. S-a aratat faptul ca, pentru temperatura de depunere de 380°C, chiar daca proba este in mare parte amorfa, exista o cristalizare parciala a filmului obtinut initial, fiind prezente mici nanocristale cu dimensiunile de aproximativ 6,6 nm si microstrain de 0.79%, valori ce au fost determinate din analiza MAUD. Tratamentul termic in aer al filmului la 700°C conduce la o crestere a cristalitelor la 32 nm si o reducere a microstrainului pana la 0,24%. Exista, de asemenea, o oxidare parciala a filmului care a fost investigata prin spectroscopie WDX cu spectre inregistrate pentru fascicule de electroni cu energii diferite. Interpretarea rezultatelor WDX a fost realizata prin modelare de straturi. Concluzia a fost ca, presupunand oxizii complet stoichiometriici, stratul de oxid este mai mic de 5% din grosimea totala a filmului. Acest lucru indica posibilitatea ca filmele pot fi cristalizate in aer, fara contaminare semnificativa de oxigen. O tendinta de crestere preferentiala a filmelor de-a lungul direcției $(10\bar{1}0)$ a fost determinata prin analiza texturii. Rezultatele fitarii difractogramelor XRD sunt in concordanta cu un posibil exces de Al in structura hexagonală Cr_2AlC , asa cum s-a aratat prin compararea parametrilor de retea calculati cu datele *ab-inito* raportate anterior.

In concluzie se poate afirma faptul ca au fost indeplinite toate obiectivele asumate in aceasta faza, cu referire la tintele stabilite anterior. Au fost abordate cu succes toate aspectele referitoare la sinteza, caracterizarea morfo-structurala, optimizarea componitiei si determinarea caracteristicilor mecanice si de transport.

In faza a doua s-a realizat modelarea unor metamateriale ca lentile de camp apropiat si de camp indepartat precum si amplificarea si transformarea undelor evanescente. Au fost realizate retele de crom sau aluminiu segmentat pe suport de crom sau aluminiu cu perioada 160 nm, grosimea liniei 80 nm, inaltime 100 nm, respectiv perioada 400 nm, grosimea liniei 200 nm, inaltime 180 nm. Prin procedee de depunere prin centrifugare a unui fotorezist pozitiv pe substrate de florura de bariu respectiv de germaniu urmate de tratamente termice, matritarea prin expunere la radiatii din domeniul ultraviolet si indepartarea unor suprafete de fotorezist cu ajutorul unui remover s-au obtinute aceste superlentile care au fost utilizate in achizitia de imagini. Aceste imagini au aratat ca in combinatie cu un analizor de stari de polarizare, se poate obtine o imbunatatire a rezolutiei prin exploatarea polarizarii. Prelucrarile imaginilor Stokes prin ASP cu polarizorul rotit in patru pozitii unghiulare decalate cu pas de 45° au aratat ca, in zona centrala a obiectului termic de test, se observa un contrast imbunatatit.

În faza a treia a proiectului, au fost prezentate rezultatele privind proprietăile structurale, morfologice și biologice ale straturilor compozite de Ag:HAp-PDMS. Straturile nanocompozite Ag:HAp-PDMS au fost depuse pe discuri comerciale de siliciu pur (Si) prin tehnica evaporării termice in vid folosind nanopulberi de Ag:HAp tratate termic. Studiile SEM au dovedit ca filmele subtiri preparate sunt omogene și continue iar polimerul (PDMS) acționează ca o matrice pentru nanoparticulele de Ag:HAp. Analiza EDX a straturilor investigate a pus in evidenta elementele chimice ale straturilor de Ag:HAp-PDMS. Activitățile antimicrobiene ale straturilor compozite Ag:HAp-PDMS impotriva tulpinilor *S. aureus* 0364, *E.coli* ATCC 25922 si *C. albicans* 10231 au fost, de asemenea, studiate. Rezultatele obtinute au evidentiat faptul ca straturile compozite de Ag:HAp-PDMS au prezentat o buna activitate antimicrobiana asupra tulpinilor testate comparativ cu straturile subtiri de PDMS si substratul de siliciu. S-a demonstrat ca straturile compozite de Ag:HAp-PDMS au condus la inhibarea dezvoltarii de biofilm in cazul celor trei tulpini investigate.

In etapa a patra, au fost obtinute aliaje feritice nanostructurate de Fe-14Cr-3W-0.4Ti-0.25Y₂O₃ prin macinare mecanica pana la 170 h. Cresterea rapida a campului critic H_c si descresterea magnetizarii de saturatie Ms in primele 12 h de macinare au fost cauzate de aliera Fe cu Cr, de formare a dislocatiilor si a altor defecte de retea si de reducerea dimensiunii de graunte (cresterea numarului de frontiere de graunte). Dupa 12 h de macinare parametrii microstructurali si magnetici au atins valori de saturatie. Cresterea Hc si descresterea Ms dupa 60 h de macinare a fost asociata cu reducerea dimensiunii de graunte (cresterea numarului de frontiere de graunte) si cresterea

microtensiunilor, acestea fiind cauzate la randul lor de macinarea în prezență azotului preluat din aer. Pe durata de creștere a temperaturii până la 850°C au avut loc procese de relaxare, recristalizare și de creștere a grauntelor. Pulberile macinate peste 40h - 60h arată creșteri ale temperaturii critice T_c . Aceste modificări au fost atribuite saraçirii în Cr în matricea de Fe în urma precipitării nitrurilor bogate în crom. În zona de temperaturi apropiate de 1050°C (zona de descompunere a nitrurilor), de formare și descompunere a austenitei și a pierderilor de N_2) σ_s arată un minim și H_c arată un maxim pentru pulberile macinate peste 60 h ceea ce este în acord cu reducerea dimensiunii de graunte și creșterea microtensiunilor. Faza feritica obținuta pe durata a 60h - 100h de macinare avand dimensiunea de graunte puternic redusa arata o inalta stabilitate termica la temperaturi mari, peste 1050°C .

In urmatorul pas în continuarea proiectului, pulberile macinate între 40h - 100h vor fi consolidate prin sinterizare în plasma pentru a obține oțeluri feritice nanostructurate cu densitate mare care apoi vor fi supuse unor testări mecanice.

In cadrul fazei a cincea, au fost obținuti fotoanozi de hematita nanostructurata. Procesul de nanostructurare a fost realizat prin folosirea ca template a unui strat de gel de agaroză. Caracteristicile morfologice și structurale ale filmelor de hematita au fost măsurate. Performantele ca fotoanod ale hematitei nanostructurate dopate cu Sn(IV) precum și al celei nedopate la potentialul termodinamic de descompunere a apei au fost evaluate din curbele photocurrent-potential și măsuratori de spectroscopie de impedanță. S-a observat că doparea hematitei nanostructurate cu staniu crește curentul de aproape 2.8 ori la potentialul de 1.23V/RHE , de la 0.39mA/cm^2 la 1.09mA/cm^2 . Măsurările de spectroscopie de impedanță au permis identificarea proceselor care contribuie la raspunsul photoelectrochimic al fotoanozilor.

Obiectivul fazei a sasea a fost atins prin realizarea de structuri de tip OLED pe baza de compusi noi sintetizati (LS78 și LS13; oligomeri arilen vinilicii) impreuna cu alte materiale organice (NPD și BPhen). Straturile organice au fost obtinute prin tehnica MAPLE. Au fost realizate structuri cu trei straturi organice (NPD/LS78/BPhen sau NPD/LS13/BPhen) atat pe substrat plan de sticla peste pe care a fost depus in prealabil electrodul transparent AZO prin PLD cat si pe substrat cu anumite nanostructuri obtinute prin UV-NIL si peste care s-a depus AZO. Toate structurile au fost caracterizate din punct de vedere optic, morfologic și electric. Spectrele de emisie au aratat că aceste structuri sunt adecate pentru a fi utilizate în aplicatii de OLED-uri. Pe straturile formate s-a evidențiat morfologia de tip globular caracteristica procesului de depunere. Din caracteristicile I-V s-a dedus că structurile cu LS78 sunt mai potrivite de a fi folosite în OLED-uri. Cercetari ulterioare au în vedere determinarea cu precizie a dimensiunilor nanostructurilor (inaltime, diametru) care să duca la obținerea unor structuri cu performante imbunatatite. Rezultatele obținute sunt incurajatoare și demonstrează că astfel de structuri pot fi folosite în aplicatii de tip OLED.

Compusii $\text{In}_{0.2}\text{Yb}_{0.2}\text{Co}_4\text{Sb}_{12.3}$ și $\text{Yb}_{0.3}\text{Co}_4\text{Sb}_{12.3}$ au fost obținuti sub forma bulk nanostructurati print-o metoda neconventională care implica topirea ultra-rapida urmata de sinterizare asistata de campul electric - SPS. Prin optimizarea procesului de sinterizare au fost obtinute materiale cu dimensionalitate structurala redusa care conduc la imbunatatirea proprietatilor termoelectrice ale compusilor studiați. Totodata, a fost investigata influenta duratei procesului de sinterizare asupra tipului de conductie al compusilor și a valorilor figurii de merit, ZT. Aceste rezultate ne indreptatesc să considerăm că obiectivul fazei a fost îndeplinit integral. Desigur, investigațiile prezentate aici pot fi completate prin optimizarea procesului de sinteza a acestor materiale. Totodata, rezultatele prezentate aici ar putea constitui punctul de plecare pentru obținerea unor materiale cu factor de merit mare și utilizarea lor pentru construirea unui element termoelectric.

Proprietatile dielectrice ale unor materiale cu potential aplicativ în unde milimetrice și submilimetrice, compact sinterizat și straturi subtiri, au fost investigate pe un domeniu larg de frecvențe prin spectroscopia de terahertz în domeniul temporal în stransa corelație cu microstructura și structura cristalina. Au fost evidențiate rezultatele deosebite, unice, ce se pot obține prin aceasta tehnica spectroscopică. THz-TDS reprezinta o metoda foarte utilă pentru reducerea pierderilor extrinseci în materiale policristaline, optimizându-se astfel fluxul tehnologic specific metodelor utilizate pentru sinteza.

In ceea ce priveste aliajele magnetice cu memoria formei, cercetările vor continua prin studii privind influenta altor substitutii in aliajele feromagnetice cu memoria formei de tip Heusler asupra proprietatilor termo și magneto-elastice pentru realizarea de noi materiale funktionale cu aplicatii in diverse domenii.

Raportul de cercetare privind obținerea și caracterizarea de nanofibre functionalizate cu biomolecule pentru detectori de tip FET prezinta date experimentale noi privind sinteza electrochimica a nanofibrelor de ZnO pe suprafața electrozilor de tip $\text{Au/Ti/SiO}_2/\text{Si}$, precum și functionalizarea acestor nanofibre pentru aplicatii in domeniul biosenzorilor. Studiile electrochimice prin voltametrie ciclica și spectroscopie de impedanță electrochimica precum și cele de microscopie electronica de baleaj au evidențiat usoare modificări morfologice ale nanostructurilor de oxid de

zinc in urma functionalizarii acestora cu membrane bilipidice. Au fost demonstate capacitatile senzoriale in urma imobilizarii biotinei si a detectarii sensibile, LOD = 13.62 nM, a interactiei acesteia cu streptavidina.

In cazul ceramicilor de zirconia dopate cu ceriu, studiul realizat pe esantioanele pe baza de YSZ in amestec cu alumina, cerie si scandie sintetizate prin cele 3 metode de sinteza si utilizand tehniciile DRX, SEM, TEMsi EDS a permis studiul comparativ al proprietatilor structurale si morfologice din care rezulta ca metoda de calcinare-sinterizare si metoda de omogenizare mecanica urmata de SPS conduc la realizarea dopajului cu Ce. Aceastea pot fi utilizate in continuare pentru realizarea de depuneri de straturi compacte prin metoda APS pentru realizarea de dispozitive SOFC capabile sa reziste pana la temperaturi de 1050⁰ C fara aparitia de fisuri si crapaturi in electrolitul solid. Si in aceasta faza, se propune continuarea studiului cu optimizarea metodei APS pentru eliminarea fazelor cristalografice parazite pentru conductia ionica si efectuarea de masuratori de conductivitate si impedanta complexa la temperaturi de peste 900⁰ C.

4. Prezentarea rezultatelor:

4.1. Stadiul de implementare al proiectelor componente

Indicatori specifici pentru monitorizare si evaluare (valori minime asumate):

- Studii si documentatii pentru noi echipamente, materiale si metode: 11

2016

4 studii si modelari de metoda sau material (fazele 2, 9, 10, din proiectul 1; faza 19 din proiectul 2); 2 dispozitive (fazele 1 si 4 din proiectul 3); 1 dezvoltare de metoda (faza 2 din proiectul 3); 5 studii/documentatii pentru metode de sinteza materiale/structuri cu potential aplicativ (fazele 3, 5, 6, 9 si 10 din proiectul 3)

2017

15 studii teoretice si modelari de metoda sau material (fazele 3, 5, 6, 8, 9, 14, 15, 16, 17, 21 din proiectul 1; fazele 5, 6, 13 din proiectul 2; fazele 2 si 11 din proiectul 3); 14 studii sau documentatii pentru metode de sinteza materiale/structuri cu potential aplicativ (fazele 4, 19 din proiectul 1; fazele 1, 7, 8, 9, 11 din proiectul 2; fazele, 1, 3, 5, 7, 8, 9, 10 din proiectul 3)

TOTAL: 41 de studii sau similare

Grad de indeplinire: 373 %

- Produse si tehnologii (la nivel de material sau demonstrator produs in laborator): 30

20 materiale sau heterostructuri cu potential aplicativ sintetizate in laborator (fazele 1, 4, 5, 7, 8, 9, 10, 11, 12, 14, 15, 16, 17, 19, 20 din proiectul 2; fazele 6, 7, 8, 9, 10 din proiectul 3)

12 materiale sau heterostructuri cu potential aplicativ sintetizate in laborator(fazele 1, 7, 8, 9, 11 din proiectul 2; fazele, 1, 3, 5, 7, 8, 9, 10 din proiectul 3)

TOTAL: 32 materiale sau heterostructuri

Grad de indeplinire: 107 %

- Lucrari publicate in jurnale ISI: 130

2016

72 lucrari publicate deja in jurnale ISI (existente de Web of Science)

2017

151 lucrari publicate deja in jurnale ISI (existente de Web of Science)

TOTAL: 223 lucrari ISI

Grad de indeplinire: 174 % (numai cu lucrarile publicate)

- Brevete acordate si Cereri de brevet depuse: 25

2016

5 cereri depuse

2017

2 brevete acordate, 17 cereri depuse si 1 cerere in pregatire

TOTAL: 25

Grad de indeplinire: 100 % (numai cu cererile depuse).

- Aplicatii de proiecte: 40 (depinde si de ritmicitatea competitilor aferente PN3), dintre care 5 aplicatii Orizont 2020

92 de proiecte depuse la competitiiile organizate in 2016 in calitate de coordonator si alte 24 in calitate de partener (40 de proiecte tip PED, din care 7 au sanse de finantare; 27 proiecte tip PCE din care 22 au trecut de prima etapa de

evaluare; 2+5 proiecte tip PCCF; 5 proiecte tip PTE, din care unul acceptat pentru finantare; 11 propuneri la ROSA; 2 propuneri la IFA-CEA, ambele acceptate pentru finantare; 3 propuneri la ELI-NP, unul acceptat pentru finantare; 1 propunere la FAIR, acceptata pentru finantare; 1 propunere EURATOM, acceptata pentru finantare). La acestea se adauga si 1 propunere de tip Teaming in cadrul Horizon 2020.

Grad de indeplinire: 230 %

- Tineri cercetatori angajati in institut: 10

2016

5 tineri angajati.

2017

8 tineri angajati

TOTAL: 13 noi angajati

Grad de indeplinire: 130 %

- Firme contactate pentru valorificarea rezultatelor: 20 (domenii: electronica; auto; IT; securitate; energetica; echipamente si automatizari; medicina; protectia mediului)

2016

12 firme contactate (Continental, Honeywell, Optoelectronica, Plasma Jet, Nuclear & Vacuum, Sara Pharm, Process Innovation Nucleus SRL, Sanimed, Apel Laser, IMA METAV, R&D Consultanta si Servicii SRL, Internet SRL)

2017

12 firme contactate (NANOM-MEMS, Bio-ortoclinic, Dexter Com. SRL, Wattrom, Lukamet, Altius Photovoltaics, PVT-Romania, Wiren, Panosol, Cromatec, Research X, Otel Inox Targoviste)

TOTAL: 24 firme contactate

Grad de indeplinire: 120 %.

Dupa cum se poate observa gradul de indeplinire al indicatorilor este, in general, mai mare de 100 %, ceea ce denota faptul ca programul a produs rezultatele asteptate.

Denumirea proiectului	Tipul rezultatului estimat	Stadiul realizării proiectului
1. Fenomene si procese fizico-chimice in sisteme nanometrice complexe, suprafete si interfete.	Studii, lucrari stiintifice	10 studii si 32 lucrari publicate
2. Sintiza si caracterizarea materialelor nanostructurate, straturilor subtiri si heterostructurilor	Studii, produse/tehnologii (in special materiale), lucrari stiintifice, brevete de inventie	3 studii, 5 materiale/tehnologii, 72 lucrari stiintifice, 7 cereri de brevet
3. Materiale functionale si structuri cu impact tehnologic; noi dispozitive si metode de sinteza si de analiza.	Dispozitive/echipamente, studii sau documentatii, metode, lucrari, brevete si cereri de brevet	2 studii, 7 materiale/tehnologii, 47 lucrari stiintifice, 2 brevete acordate, 11 cereri de brevet

4.2. Documentații, studii, lucrări, planuri, scheme și altele asemenea:

Tip	Nr. ... realizat in 2017
Documentații	14
Studii	15
Lucrări	151
Planuri	-
Scheme	-
Altele asemenea (se vor specifica)	

Din care:**4.2.1. Lucrări științifice publicate în jurnale cu factor de impact relativ ne-nul (2017):**

Nr.	Titlul articolului	Numele Jurnalului, Volumul, pagina nr.	Nume Autor	Anul publicării	Scorul relativ de influență al articoului	Numărul de citări ISI
1	Electric-Field-Driven Direct Desulfurization	ACS NANO, 11 , pp.4703-4709	Borca, B; Michnowicz, T; Petuya, R; Pristl, M; Schendel, V; Pentegov, I; Kraft, U; Klauk, H; Wahl, P; Gutzler, R; Arnau, A; Schlickum, U; Kern, K	2017	3.995	0
2	Short-wave infrared LEDs from GeSn/SiGeSn multiple quantum wells	OPTICA, 4 , pp.185-188	Stange, D; den Driesch, NV; Rainko, D; Roesgaard, S; Povstugar, I; Hartmann, JM; Stoica, T; Ikonic, Z; Mantl, S; Grutzmacher, D; Buca, D	2017	3.346	5
3	Oxygenophilic ionic liquids promote the oxygen reduction reaction in Pt-free carbon electrocatalysts	MATERIALS HORIZONS, 4 , pp.895-899	Qiao, M; Tang, C; Tanase, LC; Teodorescu, CM; Chen, CM; Zhang, Q; Titirici, MM	2017	3.043	1
4	Lignin Fragmentation onto Multifunctional Fe ₃ O ₄ @Nb ₂ O ₅ @Co@Re Catalysts: The Role of the Composition and Deposition Route of Rhenium	ACS CATALYSIS, 7 , pp.3257-3267	Opris, C; Cojocaru, B; Gheorghe, N; Tudorache, M; Coman, SM; Parvulescu, VI; Duraki, B; Krumeich, F; van Bokhoven, JA	2017	2.751	1
5	Steplike Switching in Symmetric PbZr0.2Ti0.8O ₃ /CoFeO ₄ /Pb Zr0.2Ti0.8O ₃ Heterostructures for Multistate Ferroelectric Memory	PHYSICAL REVIEW APPLIED, 8 , 34035	Boni, AG; Chirila, C; Pasuk, I; Negrea, R; Pintilie, I; Pintilie, L	2017	2.063	0

Nr.	Titlul articolului	Numele Jurnalului, Volumul, pagina nr.	Nume Autor	Anul publicării	Scorul relativ de influență al articolului	Numărul de citări ISI
6	Sustainable metal-free carbogels as oxygen reduction electrocatalysts	JOURNAL OF MATERIALS CHEMISTRY A, 5, UNSP 16336	Preuss, K; Tanase, LC; Teodorescu, CM; Abrahams, I; Titirici, MM	2017	1.781	0
7	Intermediate selectivity in the oxidation of phenols using plasmonic Au/ZnO photocatalysts	NANOSCALE, 9, pp.9359-9364	Lin, F; Cojocaru, BE; Williams, LS; Cadigan, CA; Tian, CX; Grecu, MN; Xin, HL; Vyas, S; Parvulescu, VI; Richards, RM	2017	1.721	0
8	Polarization landscape effects in soft X-ray-induced surface chemical decomposition of lead zirconium titanate, evidenced by photoelectron spectromicroscopy	NANOSCALE, 9, pp.11055-11067	Abramiuc, LE; Tanase, LC; Barinov, A; Apostol, NG; Chirila, C; Trupina, L; Pintilie, L; Teodorescu, CM	2017	1.721	1
9	N-Doped graphene as a metal-free catalyst for glucose oxidation to succinic acid	GREEN CHEMISTRY, 19, pp.1999-2005	Rizescu, C; Podolean, I; Albero, J; Parvulescu, VI; Coman, SM; Bucur, C; Puche, M; Garcia, H	2017	1.697	0
10	On the threshold for ion track formation in CaF ₂	NEW JOURNAL OF PHYSICS, 19, 23023	Karlusic, M; Ghica, C; Negrea, RF; Siketic, Z; Jaksic, M; Schleberger, M; Fazinic, S	2017	1.637	3
11	Oriented Au nanoplatelets on graphene promote Suzuki-Miyaura coupling with higher efficiency and different reactivity pattern than supported palladium	JOURNAL OF CATALYSIS, 352, pp.59-66	Candu, N; Dhakshinamoorthy, A; Apostol, N; Teodorescu, C; Corma, A; Garcia, H; Parvulescu, VI	2017	1.622	0
12	Photocatalytic abatement of trichlorethylene over Au and Pd-Au supported on TiO ₂ by combined photomineralization/hydrode chlorination reactions under simulated solar irradiation	JOURNAL OF CATALYSIS, 346, pp.101-108	State, R; Papa, F; Tabakova, T; Atkinson, I; Negrila, C; Balint, I	2017	1.622	2
13	High hexitols selectivity in cellulose hydrolytic hydrogenation over platinum (Pt) vs. ruthenium (Ru) catalysts supported on micro/mesoporous carbon	APPLIED CATALYSIS B-ENVIRONMENTAL, 214, pp.1-14	Lazaridis, PA; Karakoulia, SA; Teodorescu, C; Apostol, N; Macovei, D; Panteli, A; Delimitis, A; Coman, SM; Parvulescu, VI; Triantafyllidis, KS	2017	1.589	0
14	Polypyrrole Actuator Based on Electrospun Microribbons	ACS APPLIED MATERIALS & INTERFACES, 9, pp.38068-38075	Beregoi, M; Evangelidis, A; Diculescu, VC; Iovu, H; Enculescu, I	2017	1.581	0

Nr.	Titlul articolului	Numele Jurnalului, Volumul, pagina nr.	Nume Autor	Anul publicării	Scorul relativ de influență al articolului	Numărul de citări ISI
15	Magnetocapacitance in La _{0.7} Sr _{0.3} MnO ₃ /Pb(Zr0.2T i0.8)O-3/La _{0.7} Sr _{0.3} MnO ₃ multiferroic heterostructures	SCIENTIFIC REPORTS, 7, 6563	Hrib, LM; Pintilie, L; Alexe, M	2017	1.484	0
16	Te-based chalcogenide materials for selector applications	SCIENTIFIC REPORTS, 7, 8103	Velea, A; Opsomer, K; Devulder, W; Dumortier, J; Fan, J; Detavernier, C; Jurczak, M; Govoreanu, B	2017	1.484	1
17	In-gap corner states in core-shell polygonal quantum rings	SCIENTIFIC REPORTS, 7, 40197	Sitek, A; Tolea, M; Nita, M; Serra, L; Gudmundsson, V; Manolescu, A	2017	1.484	1
18	Supported Cu-0 nanoparticles catalyst for controlled radical polymerization reaction and block-copolymer synthesis	SCIENTIFIC REPORTS, 7, 10345	Diacon, A; Rusen, E; Mocanu, A; Nistor, LC	2017	1.484	0
19	Optimized silicon reinforcement of carbon coatings by pulsed laser technique for superior functional biomedical surfaces fabrication	BIOFABRICATION, 9, 25029	Mihailescu, IN; Bociaga, D; Popescu-Pelin, G; Stan, GE; Duta, L; Socol, G; Chifiriu, MC; Bleotu, C; Lazar, V; Husanu, MA; Zgura, I; Miculescu, F; Negut, I; Hapenciu, C	2017	1.342	0
20	Spectroscopic perspective on the interplay between electronic and magnetic properties of magnetically doped topological insulators	PHYSICAL REVIEW B, 96, 184402	Krieger, JA; Chang, CZ; Husanu, MA; Sostina, D; Ernst, A; Otkrov, MM; Prokscha, T; Schmitt, T; Suter, A; Vergniory, MG; Chulkov, EV; Moodera, JS; Strocov, VN; Salman, Z	2017	1.227	0
21	Low-energy electron diffraction from ferroelectric surfaces: Dead layers and surface dipoles in clean Pb(Zr, Ti)O-3(001)	PHYSICAL REVIEW B, 96, 115438	Teodorescu, CM; Pintilie, L; Apostol, NG; Costescu, RM; Lungu, GA; Hrib, L; Trupina, L; Tanase, LC; Bucur, IC; Bocirnea, AE	2017	1.227	0
22	Double band inversion in alpha-Sn: Appearance of topological surface states and the role of orbital composition	PHYSICAL REVIEW B, 95, 161117	Rogalev, VA; Rauch, T; Scholz, MR; Reis, F; Dudy, L; Fleszar, A; Husanu, MA; Strocov, VN; Henk, J; Mertig, I; Schafer, J; Claessen, R	2017	1.227	2
23	Progress in Hydroxyapatite-Starch Based Sustainable Biomaterials for Biomedical Bone Substitution Applications	ACS SUSTAINABLE CHEMISTRY & ENGINEERING, 5, pp.8491-8512	Miculescu, F; Maidaniuc, A; Voicu, SI; Thakur, VK; Stan, GE; Ciocan, LT	2017	1.181	0

Nr.	Titlul articolului	Numele Jurnalului, Volumul, pagina nr.	Nume Autor	Anul publicării	Scorul relativ de influență al articolului	Numărul de citări ISI
24	Sensors based on mesoporous SnO ₂ -CuWO ₄ with high selective sensitivity to H ₂ S at low operating temperature	JOURNAL OF HAZARDOUS MATERIALS, 331, pp.150-160	Stanoiu, A; Simion, CE; Calderon-Moreno, JM; Osiceanu, P; Florea, M; Teodorescu, VS; Somacescu, S	2017	1.173	1
25	Atomistic Simulations of Methylammonium Lead Halide Layers on PbTiO ₃ (001) Surfaces	JOURNAL OF PHYSICAL CHEMISTRY C, 121, pp.9096-9109	Plugaru, N; Nemnes, GA; Filip, L; Pintilie, I; Pintilie, L; Butler, KT; Manolescu, A	2017	1.151	1
26	Normal and Inverted Hysteresis in Perovskite Solar Cells	JOURNAL OF PHYSICAL CHEMISTRY C, 121, pp.11207-11214	Nemnes, GA; Besleaga, C; Stance, V; Dogaru, DE; Leonat, LN; Pintilie, L; Torfason, K; Ilkov, M; Manolescu, A; Pintilie, I	2017	1.151	1
27	Physical Mechanisms of Exchange Coupling Effects in Nanoparticulate Diluted Magnetic Oxides Obtained by Laser Pyrolysis	JOURNAL OF PHYSICAL CHEMISTRY C, 121, pp.9063-9069	Kuncser, VE; Schintie, GA; Kuncser, AC; Leca, A; Scarisoreanu, M; Morjan, I; Filoti, G	2017	1.151	0
28	Down-/Up-Conversion Emission Enhancement by Li Addition: Improved Crystallization or Local Structure Distortion?	JOURNAL OF PHYSICAL CHEMISTRY C, 121, pp.14274-14284	Avram, D; Cojocaru, B; Tiseanu, I; Florea, M; Tiseanu, C	2017	1.151	0
29	Defect-related light absorption, photoluminescence and photocatalytic activity of SiO ₂ with tubular morphology	SOLAR ENERGY MATERIALS AND SOLAR CELLS, 159, pp.325-335	Anastasescu, C; Zaharescu, M; Angelescu, D; Munteanu, C; Bratan, V; Spataru, T; Negrila, C; Spataru, N; Balint, I	2017	1.034	1
30	Dynamic electrical behavior of halide perovskite based solar cells	SOLAR ENERGY MATERIALS AND SOLAR CELLS, 159, pp.197-203	Nemnes, GA; Besleaga, C; Tomulescu, AG; Pintilie, I; Pintilie, L; Torfason, K; Manolescu, A	2017	1.034	5
31	Electronic band structure of the buried SiO ₂ /SiC interface investigated by soft x-ray ARPES	APPLIED PHYSICS LETTERS, 110, 132101	Woerle, J; Bisti, F; Husanu, MA; Strocov, VN; Schneider, CW; Sigg, H; Gobrecht, J; Grossner, U; Camarda, M	2017	0.969	0
32	Structure, transition temperature, and magnetoresistance of titanium-doped lanthanum barium manganite epilayers onto STO 001 substrates	APPLIED PHYSICS LETTERS, 111, 182409	Galca, AC; Oumezzine, M; Leca, A; Chirila, CF; Kuncser, V; Kuncser, A; Ghica, C; Pasuk, I; Oumezzine, M	2017	0.969	0

Nr.	Titlul articolului	Numele Jurnalului, Volumul, pagina nr.	Nume Autor	Anul publicării	Scorul relativ de influență al articolului	Numărul de citări ISI
33	Easy batch-scale production of cobalt ferrite nanopowders by two-step milling: Structural and magnetic characterization	MATERIALS & DESIGN, 130 , pp.327-335	Galizia, P; Cernea, M; Mihalache, V; Diamandescu, L; Maizza, G; Galassi, C	2017	0.956	0
34	Properties of perovskite ferroelectrics deposited on F doped SnO ₂ electrodes and the prospect of their integration into perovskite solar cells	MATERIALS & DESIGN, 135 , pp.112-121	Pintilie, I; Stancu, V; Tomulescu, A; Radu, R; Stan, CB; Trinca, L; Pintilie, L	2017	0.956	0
35	Bioglass implant-coating interactions in synthetic physiological fluids with varying degrees of biomimicry	INTERNATIONAL JOURNAL OF NANOMEDICINE, 12 , pp.683-707	Popa, AC; Stan, GE; Husanu, MA; Mercioniu, I; Santos, LF; Fernandes, HR; Ferreira, JMF	2017	0.938	1
36	Single layer of Ge quantum dots in HfO ₂ for floating gate memory capacitors	NANOTECHNOLOGY, 28 , 175707	Lepadatu, AM; Palade, C; Slav, A; Maraloiu, AV; Lazanu, S; Stoica, T; Logofatu, C; Teodorescu, VS; Ciurea, ML	2017	0.913	0
37	Strong light-matter coupling in the presence of lasing	PHYSICAL REVIEW A, 96 , 23806	Gies, C; Gericke, F; Gartner, P; Holzinger, S; Hopfmann, C; Heindel, T; Wolters, J; Schneider, C; Florian, M; Jahnke, F; Hofling, S; Kamp, M; Reitzenstein, S	2017	0.879	0
38	Influence of TiO ₂ and Si on the exciton-phonon interaction in PbI ₂ and CdS semiconductors evidenced by Raman spectroscopy	JOURNAL OF PHYSICS-CONDENSED MATTER, 29 , 365702	Nila, A; Baltog, I; Dragoman, D; Baibarac, M; Mercioniu, I	2017	0.870	0
39	Oxide/metal/oxide electrodes for solar cell applications	SOLAR ENERGY, 146 , pp.464-469	Hrostea, L; Boclinca, M; Socol, M; Leontie, L; Stanculescu, A; Girtan, M	2017	0.830	0
40	Combined Electrochemical Impedance Spectroscopy, X-ray Photoelectron Spectroscopy, and Atomic Force Microscopy study of the distinct behavior of L-cysteine-thiolate formed at p- and n-GaAs(100) electrodes in Sodium Dodecyl Sulfate solution	ELECTROCHIMICA ACTA, 225 , pp.551-558	Lazarescu, V; Enache, M; Anastasescu, M; Dobrescu, G; Negrilă, C; Lazarescu, MF	2017	0.827	0

Nr.	Titlul articolului	Numele Jurnalului, Volumul, pagina nr.	Nume Autor	Anul publicării	Scorul relativ de influență al articolului	Numărul de citări ISI
41	Interaction of New-Developed TiO ₂ -Based Photocatalytic Nanoparticles with Pathogenic Microorganisms and Human Dermal and Pulmonary Fibroblasts	INTERNATIONAL JOURNAL OF MOLECULAR SCIENCES, 18 , 249	Nica, IC; Stan, MS; Popa, M; Chifiriuc, MC; Lazar, V; Pircalabioru, GG; Dumitrescu, I; Ignat, M; Feder, M; Tanase, LC; Mercioniu, I; Diamandescu, L; Dinischiotu, A	2017	0.806	1
42	Lipoic Acid Gold Nanoparticles Functionalized with Organic Compounds as Bioactive Materials	NANOMATERIALS, 7 , 43	Turcu, I; Zarafu, I; Popa, M; Chifiriuc, MC; Bleotu, C; Culita, D; Ghica, C; Ionita, P	2017	0.797	0
43	Development and Biocompatibility Evaluation of Photocatalytic TiO ₂ /Reduced Graphene Oxide-Based Nanoparticles Designed for Self-Cleaning Purposes	NANOMATERIALS, 7 , 279	Nica, IC; Stan, MS; Popa, M; Chifiriuc, MC; Pircalabioru, GG; Lazar, V; Dumitrescu, I; Diamandescu, L; Feder, M; Baibarac, M; Cernea, M; Maraloiu, VA; Popescu, T; Dinischiotu, A	2017	0.797	0
44	Polyaniline based microtubes as building-blocks for artificial muscle applications	SENSORS AND ACTUATORS B-CHEMICAL, 253 , pp.576-583	Beregoi, M; Evangelidis, A; Matei, E; Enculescu, I	2017	0.786	0
45	Laser deposition of poly(3-hydroxybutyric acid-co-3-hydroxyvaleric acid) - lysozyme microspheres based coatings with anti-microbial properties	INTERNATIONAL JOURNAL OF PHARMACEUTICS, 52 1, pp.184-195	Grumezescu, V; Holban, AM; Sima, LE; Chiritoiu, MB; Chiritoiu, GN; Grumezescu, AM; Ivan, L; Safciuc, F; Antohe, F; Florica, C; Luculescu, CR; Chifiriuc, MC; Socol, G	2017	0.766	0
46	Tuning magneto-transport properties of Fe-Au granular thin films by cluster organization	JOURNAL OF PHYSICS D-APPLIED PHYSICS, 50 , 275004	Stanciu, AE; Kuncser, A; Schintie, G; Palade, P; Leca, A; Greculeasa, SG; Catrina, A; Kuncser, V	2017	0.761	0
47	Influence of single-walled carbon nanotubes enriched in semiconducting and metallic tubes on the electropolymerization of tetrabromo ortho-xylene: Insights on the synthesis mechanism of poly(ortho-phenylenevinylene)	EUROPEAN POLYMER JOURNAL, 88 , pp.109-125	Baibarac, M; Nila, A; Baltog, I; Lefrant, S; Mevellec, JY; Quillard, S; Humbert, B	2017	0.759	0

Nr.	Titlul articolului	Numele Jurnalului, Volumul, pagina nr.	Nume Autor	Anul publicării	Scorul relativ de influență al articolului	Numărul de citări ISI
48	Facile, high yield ultrasound mediated protocol for ZnO hierarchical structures synthesis: Formation mechanism, optical and photocatalytic properties	ULTRASONICS SONOCHEMISTRY, 36 , pp.326-335	Carp, O; Tirsoaga, A; Ene, R; Ianculescu, A; Negrea, RF; Chesler, P; Ionita, G; Birjega, R	2017	0.738	4
49	Vortex-glass state in the isovalent optimally doped pnictide superconductor BaFe ₂ (As0.68P0.32)(2)	SUPERCONDUCTOR SCIENCE & TECHNOLOGY, 30 , 55003	Salem-Sugui, S; Mosqueira, J; Alvarenga, AD; Sonora, D; Crisan, A; Ionescu, AM; Sundar, S; Hu, D; Li, SL; Luo, HQ	2017	0.719	0
50	Synergetic pinning centres in BaZrO ₃ -doped YBa ₂ Cu ₃ O _{7-x} films induced by SrTiO ₃ nanolayers	SUPERCONDUCTOR SCIENCE & TECHNOLOGY, 30 , 45012	Crisan, A; Dang, VS; Mikheenko, P; Ionescu, AM; Ivan, I; Miu, L	2017	0.719	0
51	Effect of Cr ₂ O ₃ on the magnetic properties of magnetite-based glass-ceramics obtained by controlled crystallization of Fe-containing aluminoborosilicate glass	JOURNAL OF THE EUROPEAN CERAMIC SOCIETY, 37 , pp.3089-3099	Sandu, V; Greculeasa, S; Kuncser, A; Nicolescu, MS; Kuncser, V	2017	0.701	2
52	Textural, Structural and Biological Evaluation of Hydroxyapatite Doped with Zinc at Low Concentrations	MATERIALS, 10 , 229	Predoi, D; Iconaru, SL; Deniaud, A; Chevallat, M; Michaud-Soret, I; Buton, N; Prodan, AM	2017	0.691	1
53	Ultrasonic Measurements on Cyclodextrin/Hydroxyapatite Composites for Potential Water Depollution	MATERIALS, 10 , UNSP 681	Predoi, D; Predoi, MV; Iconaru, SL; El Kettani, MEC; Leduc, D; Prodan, AM	2017	0.691	0
54	Lipoic acid functionalized SiO ₂ @Ag nanoparticles. Synthesis, characterization and evaluation of biological activity	MATERIALS SCIENCE & ENGINEERING C-MATERIALS FOR BIOLOGICAL APPLICATIONS, 79 , pp.499-506	Tudose, M; Culita, DC; Musuc, AM; Somacescu, S; Ghica, C; Chifiriuc, MC; Bleotu, C	2017	0.681	0
55	Crystallization kinetics mechanism investigation of sol-gel-derived NaYF ₄ :(Yb,Er) up-converting phosphors	CRYSTENGCOMM, 19 , pp.4992-5000	Bartha, C; Secu, CE; Matei, E; Secu, M	2017	0.654	0
56	Structural, Magnetic, and Mossbauer Investigation of Ordered Iron Nitride with Martensitic Structure Obtained from Amorphous Hematite Synthesized via the Microwave Route	INDUSTRIAL & ENGINEERING CHEMISTRY RESEARCH, 56 , pp.2958-2966	Palade, P; Plapcianu, C; Mercioniu, I; Comanescu, C; Schintieie, G; Leca, A; Vidu, R	2017	0.630	0
57	Structural Characterization and Antifungal Studies of Zinc-Doped Hydroxyapatite Coatings	MOLECULES, 22 , 604	Iconaru, SL; Prodan, AM; Buton, N; Predoi, D	2017	0.628	1

Nr.	Titlul articolului	Numele Jurnalului, Volumul, pagina nr.	Nume Autor	Anul publicării	Scorul relativ de influență al articolului	Numărul de citări ISI
58	Photo-sensitive Ge nanocrystal based films controlled by substrate deposition temperature	SEMICONDUCTOR SCIENCE AND TECHNOLOGY, 32 , 105003	Stavarache, I; Maraloiu, VA; Negrila, C; Prepelita, P; Gruia, I; Iordache, G	2017	0.623	0
59	Potential application of Ni and Co stabilized zirconia as oxygen reduction reaction catalyst	CATALYSIS COMMUNICATIONS, 93 , pp.37-42	Neatu, F; Trandafir, MM; Marcu, M; Preda, L; Calderon-Moreno, JM; Neatu, S; Somacescu, S; Florea, M	2017	0.614	0
60	Aging phenomena and wettability control of plasma deposited carbon nanowall layers	PLASMA PROCESSES AND POLYMERS, 14 , e1700023	Vizireanu, S; Ionita, MD; Ionita, RE; Stoica, SD; Teodorescu, CM; Husanu, MA; Apostol, NG; Baibarac, M; Panaiteescu, D; Dinescu, G	2017	0.614	0
61	Infrared dichroism studies and anisotropic photoluminescence properties of poly(para-phenylene vinylene) functionalized reduced graphene oxide	RSC ADVANCES, 7 , pp.6931-6942	Baibarac, M; Ilie, M; Baltog, I; Lefrant, S; Humbert, B	2017	0.590	0
62	Structure-property relationships for Eu doped TiO ₂ thin films grown by a laser assisted technique from colloidal sols	RSC ADVANCES, 7 , pp.37643-37653	Camps, I; Borlaf, M; Colomer, MT; Moreno, R; Duta, L; Nita, C; del Pino, AP; Logofatu, C; Serna, R; Gyorgy, E	2017	0.590	0
63	Characterization of PLD grown WO ₃ thin films for gas sensing	APPLIED SURFACE SCIENCE, 417 , pp.218-223	Boyadjiev, SI; Georgieva, V; Stefan, N; Stan, GE; Mihailescu, N; Visan, A; Mihailescu, IN; Besleaga, C; Szilagyi, IM	2017	0.589	0
64	Structural and magnetic properties of Ni nanofilms on Ge(001) by molecular beam epitaxy	APPLIED SURFACE SCIENCE, 424 , pp.337-344	Bocirnea, AE; Costescu, RM; Pasuk, I; Lungu, GA; Teodorescu, CM	2017	0.589	1
65	Antimicrobial polycaprolactone/polyethylene glycol embedded lysozyme coatings of Ti implants for osteoblast functional properties in tissue engineering	APPLIED SURFACE SCIENCE, 417 , pp.234-243	Visan, A; Cristescu, R; Stefan, N; Miroiu, M; Nita, C; Socol, M; Florica, C; Rasoga, O; Zgura, I; Sima, LE; Chiritoiu, M; Chifiriuc, MC; Holban, AM; Mihailescu, IN; Socol, G	2017	0.589	0

Nr.	Titlul articolului	Numele Jurnalului, Volumul, pagina nr.	Nume Autor	Anul publicării	Scorul relativ de influență al articolului	Numărul de citări ISI
66	Hydroxyapatite thin films grown by pulsed laser deposition and matrix assisted pulsed laser evaporation: Comparative study	APPLIED SURFACE SCIENCE, 418, pp.580-588	Popescu-Pelin, G; Sima, F; Sima, LE; Mihailescu, CN; Luculescu, C; Iordache, I; Socol, M; Socol, G; Mihailescu, IN	2017	0.589	1
67	Band bending at magnetic Ni/Ge(001) interface investigated by X-ray photoelectron spectroscopy	APPLIED SURFACE SCIENCE, 424, pp.269-274	Bocirnea, AE; Tanase, LC; Costescu, RM; Apostol, NG; Teodorescu, CM	2017	0.589	0
68	MAPLE prepared heterostructures with oligoazomethine: Fullerene derivative mixed layer for photovoltaic applications	APPLIED SURFACE SCIENCE, 417, pp.183-195	Stanculescu, A; Rasoga, O; Socol, M; Vacareanu, L; Grigoras, M; Socol, G; Stanculescu, F; Breazu, C; Matei, E; Preda, N; Girtan, M	2017	0.589	0
69	Transparent thin films of indium tin oxide: Morphology-optical investigations, inter dependence analyzes	APPLIED SURFACE SCIENCE, 424, pp.368-373	Prepelita, P; Filipescu, M; Stavarache, I; Garoi, F; Craciun, D	2017	0.589	0
70	Comparative physical, chemical and biological assessment of simple and titanium-doped ovine dentine-derived hydroxyapatite coatings fabricated by pulsed laser deposition	APPLIED SURFACE SCIENCE, 413, pp.129-139	Duta, L; Mihailescu, N; Popescu, AC; Luculescu, CR; Mihailescu, IN; Cetin, G; Gunduz, O; Oktar, FN; Popa, AC; Kuncser, A; Besleaga, C; Stan, GE	2017	0.589	1
71	Origin and chemical composition of the amorphous material from the intergrain pores of self-assembled cubic ZnS:Mn nanocrystals	APPLIED SURFACE SCIENCE, 426, pp.342-350	Stefan, M; Vlaicu, ID; Nistor, LC; Ghica, D; Nistor, SV	2017	0.589	0
72	A comparative study of the structural, mechanical and tribological characteristics of TiSiC-Cr coatings prepared in CH4 and C2H2 reactive atmosphere by cathodic vacuum arc	APPLIED SURFACE SCIENCE, 400, pp.318-328	Braic, M; Vladescu, A; Balaceanu, M; Luculescu, C; Padmanabhan, SC; Constantin, L; Morris, MA; Braic, V; Grigorescu, CEA; Ionescu, P; Dracea, MD; Logofatu, C	2017	0.589	1
73	Organic heterostructures deposited by MAPLE on AZO substrate	APPLIED SURFACE SCIENCE, 417, pp.196-203	Socol, M; Preda, N; Stanculescu, A; Breazu, C; Florica, C; Stanculescu, F; Iftimie, S; Girtan, M; Popescu-Pelin, G; Socol, G	2017	0.589	0
74	Chalcogenide thin films deposited by rfMS technique using a single quaternary target	APPLIED SURFACE SCIENCE, 424, pp.421-427	Prepelita, P; Stavarache, I; Negrila, C; Garoi, F; Craciun, V	2017	0.589	0

Nr.	Titlul articolului	Numele Jurnalului, Volumul, pagina nr.	Nume Autor	Anul publicării	Scorul relativ de influență al articolului	Numărul de citări ISI
75	Mn ²⁺ ions distribution in doped sol-gel deposited ZnO films	APPLIED SURFACE SCIENCE, 396, pp.1880-1889	Stefan, M; Ghica, D; Nistor, SV; Maraloiu, AV; Plugaru, R	2017	0.589	3
76	Significant change of local atomic configurations at surface of reduced activation Eurofer steels induced by hydrogenation treatments	APPLIED SURFACE SCIENCE, 402, pp.114-119	Greculeasa, SG; Palade, P; Schintieie, G; Kuncser, A; Stanciu, A; Lungu, GA; Porosnicu, C; Lungu, CP; Kuncser, V	2017	0.589	0
77	Biocomposite coatings based on Poly(3-hydroxybutyrate-co-3-hydroxyvalerate)/calcium phosphates obtained by MAPLE for bone tissue engineering	APPLIED SURFACE SCIENCE, 417, pp.204-212	Rasoga, O; Sima, L; Chiritoiu, M; Popescu-Pelin, G; Fufa, O; Grumezescu, V; Socol, M; Stanculescu, A; Zgura, I; Socol, G	2017	0.589	0
78	Optimization of the structural configuration of ICBA/P3HT photovoltaic cells	APPLIED SURFACE SCIENCE, 424, pp.264-268	Nemnes, GA; Iftimie, S; Palici, A; Nicolaev, A; Mitran, TL; Radu, A; Antohe, S	2017	0.589	0
79	Influence of laser pulse frequency on the microstructure of aluminum nitride thin films synthesized by pulsed laser deposition	APPLIED SURFACE SCIENCE, 394, pp.197-204	Antonova, K; Duta, L; Szekeres, A; Stan, GE; Mihailescu, IN; Anastasescu, M; Stoescu, H; Gartner, M	2017	0.589	2
80	Titanium implants' surface functionalization by pulsed laser deposition of TiN, ZrC and ZrN hard films	APPLIED SURFACE SCIENCE, 417, pp.175-182	Floroian, L; Craciun, D; Socol, G; Dorcioman, G; Socol, M; Badea, M; Craciun, V	2017	0.589	1
81	Synthesis, physicochemical characterization and cytotoxic properties of riboflavin loaded Myrj52-silver nanoparticles	NEW JOURNAL OF CHEMISTRY, 41, pp.5533-5541	Voicescu, M; Ionescu, S; Craciunescu, O; Tatia, R; Moldovan, L; Teodorescu, VS; Nistor, CL	2017	0.574	0
82	Bis-imidazolium salts with alkyl sulfates as counterions: synthesis and liquid crystalline properties	NEW JOURNAL OF CHEMISTRY, 41, pp.11113-11124	Ilinca, TA; Pasuk, I; Circu, V	2017	0.574	0
83	Effect of in-plane ordering on dielectric properties of highly {111}-oriented bismuth-zinc-niobate thin films	JOURNAL OF MATERIALS SCIENCE, 52, pp.11306-11313	Le Febvrier, A; Deputier, S; Demange, V; Bouquet, V; Galca, AC; Iuga, A; Pintilie, L; Guilloux-Viry, M	2017	0.561	0
84	Long-range magnetic interaction in Mn _x Ge _{1-x} : structural, spectromicroscopic and magnetic investigations	JOURNAL OF MATERIALS SCIENCE, 52, pp.3309-3320	Tanase, LC; Lungu, GA; Abramiuc, LE; Bucur, IC; Apostol, NG; Costescu, RM; Tache, CA; Macovei, D; Barinov, A; Teodorescu, CM	2017	0.561	0

Nr.	Titlul articolului	Numele Jurnalului, Volumul, pagina nr.	Nume Autor	Anul publicării	Scorul relativ de influență al articolului	Numărul de citări ISI
85	Electrical properties of NiFe ₂ O ₄ epitaxial ultra-thin films	JOURNAL OF MATERIALS SCIENCE, 52, pp.793-803	Boni, GA; Hrib, L; Porter, SB; Atcheson, G; Pintilie, I; Rode, K; Pintilie, L	2017	0.561	0
86	Synthesis and characterization of PLD glass phosphate films doped with CdS	JOURNAL OF MATERIALS SCIENCE, 52, pp.2895-2901	Elisa, M; Iordanescu, CR; Vasiliu, IC; Feraru, ID; Epurescu, G; Filipescu, M; Plapcianu, C; Bartha, C; Trusca, R; Peretz, S	2017	0.561	0
87	Functional layered double hydroxides and their catalytic activity for 1,4-addition of n-octanol to 2-propenenitrile	APPLIED CLAY SCIENCE, 146, pp.411-422	Zavoianu, R; Pavel, OD; Cruceanu, A; Florea, M; Birjega, R	2017	0.560	0
88	The investigation on the regional nanoparticle Ag doping into MgTi0.06B2 bulk for improvement the magnetic levitation force and the bulk critical current	JOURNAL OF ALLOYS AND COMPOUNDS, 724, pp.427-434	Ozturk, K; Dancer, CEJ; Savaskan, B; Aksoy, C; Guner, B; Badica, P; Aldica, G; Celik, S	2017	0.552	0
89	Lanthanum influence on the structure, dielectric properties and luminescence of BaTiO ₃ ceramics processed by spark plasma sintering technique	JOURNAL OF ALLOYS AND COMPOUNDS, 706, pp.538-545	Stanciu, CA; Cernea, M; Secu, EC; Aldica, G; Ganea, P; Trusca, R	2017	0.552	0
90	Small interfacial distortions lead to significant changes of the half-metallic and magnetic properties in Heusler alloys: The case of the new CoFeZrSi compound	JOURNAL OF ALLOYS AND COMPOUNDS, 710, pp.393-398	Birsan, A	2017	0.552	1
91	MAPLE synthesis of reduced graphene oxide/silver nanocomposite electrodes: Influence of target composition and gas ambience	JOURNAL OF ALLOYS AND COMPOUNDS, 726, pp.1003-1013	Queralto, A; del Pino, AP; Logofatu, C; Datcu, A; Amade, R; Alshaikh, I; Bertran, E; Urzica, I; Gyorgy, E	2017	0.552	0
92	Up-conversion luminescence of Er(Yb)-CeO ₂ : Status and new results	JOURNAL OF ALLOYS AND COMPOUNDS, 711, pp.627-636	Porosnicu, I; Avram, D; Cojocaru, B; Florea, M; Tiseanu, C	2017	0.552	0
93	Single Wall Carbon Nanotubes Based Cryogenic Temperature Sensor Platforms	SENSORS, 17, 2071	Monea, BF; Ionete, EI; Spiridon, SI; Leca, A; Stanciu, A; Petre, E; Vaseashta, A	2017	0.546	0
94	Crystallization properties of IrQ(ppy)(2) organometallic complex films	JOURNAL OF MATERIALS RESEARCH, 32, pp.1735-1740	Polosan, S; Ciobotaru, CC; Ciobotaru, IC; Tsuboi, T	2017	0.541	0

Nr.	Titlul articolului	Numele Jurnalului, Volumul, pagina nr.	Nume Autor	Anul publicării	Scorul relativ de influență al articolului	Numărul de citări ISI
95	Electrochemically shape-controlled transformation of magnetron sputtered platinum films into platinum nanostructures enclosed by high-index facets	SURFACE & COATINGS TECHNOLOGY, 309 , pp.6-11	Khalakhan, I; Lavkova, J; Matolinova, I; Vorokhta, M; Potin, V; Kus, P; Vaclavu, M; Maraloiu, VA; Kuncser, AC; Matolin, V	2017	0.523	2
96	Cyclometalated palladium(II) metallomesogens with Schiff bases and N-benzoyl thiourea derivatives as co-ligands	JOURNAL OF MOLECULAR LIQUIDS, 233 , pp.45-51	Iilis, M; Batalu, D; Pasuk, I; Circu, V	2017	0.490	2
97	Tuning the liquid crystalline properties of palladium(II) metallomesogens: A study of rod-like to disc-like transition in cyclopalladated complexes with N-benzoyl thiourea derivatives	JOURNAL OF MOLECULAR LIQUIDS, 243 , pp.151-156	Micutz, M; Pasuk, I; Iilis, M	2017	0.490	0
98	Structural and Antimicrobial Evaluation of Silver Doped Hydroxyapatite-Polydimethylsiloxane Thin Layers	JOURNAL OF NANOMATERIALS, , 7492515	Iconaru, SL; Chifiriuc, MC; Groza, A	2017	0.486	0
99	Fault-tolerant bandstructure of two-dimensional square photonic crystals with different dielectric rod shapes	PHOTONICS AND NANOSTRUCTURES-FUNDAMENTALS AND APPLICATIONS, 24 , pp.12-17	Dragoman, D; Breazu, C	2017	0.475	0
100	Unpinning of heavy hole spin in magnetic quantum dots	PHYSICA STATUS SOLIDI B-BASIC SOLID STATE PHYSICS, 254 , 1600800	Dinu, IV; Moldoveanu, V; Dragomir, R; Tanatar, B	2017	0.473	0
101	Exciton-phonon interactions in the Cs ₃ Bi ₂ I ₉ crystal structure revealed by Raman spectroscopic studies	PHYSICA STATUS SOLIDI B-BASIC SOLID STATE PHYSICS, 254 , UNSP 1552805	Nila, A; Baibarac, M; Matea, A; Mitran, R; Baltog, I	2017	0.473	1
102	Optical properties of Sm ³⁺ -doped Ca-3(Nb,Ga)(5)O-12 and Ca-3(Li,Nb,Ga)(5)O-12 single crystals	JOURNAL OF LUMINESCENCE, 186 , pp.175-182	Gheorghe, C; Hau, S; Gheorghe, L; Voicu, F; Greculeasa, M; Achim, A; Enculescu, M	2017	0.462	1
103	The exciton-phonon interaction as stimulated Raman scattering effect supported by the excitonic photoluminescence in BiI ₃ layered crystal structure	JOURNAL OF LUMINESCENCE, 182 , pp.166-171	Nila, A; Matea, A; Baibarac, M; Baltog, I	2017	0.462	0

Nr.	Titlul articolului	Numele Jurnalului, Volumul, pagina nr.	Nume Autor	Anul publicării	Scorul relativ de influență al articolului	Numărul de citări ISI
104	Synthesis and up-conversion luminescence properties of BaFBr-Er ³⁺ @SiO ₂ core/shell heterostructures	JOURNAL OF LUMINESCENCE, 188, pp.96-100	Secu, CE; Secu, M; Cernea, M	2017	0.462	1
105	Structural and optical properties of un-doped and doped Sr ₃ Al ₂ O ₆ obtained through the tartarate precursor method	CERAMICS INTERNATIONAL, 43, pp.16668-16675	Mindru, I; Gingasu, D; Patron, L; Marinescu, G; Culita, DC; Calderon-Moreno, JM; Preda, S; Secu, M	2017	0.460	0
106	Floating zone partial re-melting of B ₄ C infiltrated with molten Si	CERAMICS INTERNATIONAL, 43, pp.14718-14725	Solodkyi, I; Bogomol, I; Loboda, P; Batalu, D; Vlaicu, AM; Badica, P	2017	0.460	0
107	Magnetite-based glass-ceramics prepared by controlled crystallization of borosilicate glasses: Effect of nucleating agents on magnetic properties and relaxation	CERAMICS INTERNATIONAL, 43, pp.3405-3413	Sandu, V; Cimpoiasu, E; Greculeasa, S; Kuncser, A; Nicolescu, MS; Kuncser, V	2017	0.460	0
108	Structure and magnetic properties of CoFe ₂ O ₄ /SiO ₂ nanocomposites obtained by sol-gel and post annealing pathways	CERAMICS INTERNATIONAL, 43, pp.2113-2122	Dippong, T; Cedar, O; Levei, EA; Bibicu, I; Diamandescu, L; Leostean, C; Lazar, M; Borodi, G; Tudoran, LB	2017	0.460	6
109	Intrinsic and extrinsic effects near orthorhombic-tetragonal phase transition in barium titanate ceramics doped with small amounts of zirconium	CERAMICS INTERNATIONAL, 43, pp.4919-4925	Amarande, L; Miclea, C; Cioangher, M; Pasuk, I; Iuga, A; Pintilie, I	2017	0.460	0
110	A general perspective on the magnetization reversal in cylindrical soft magnetic nanowires with dominant shape anisotropy	JOURNAL OF MAGNETISM AND MAGNETIC MATERIALS, 423, pp.34-38	Kuncser, A; Antohe, S; Kuncser, V	2017	0.456	0
111	Tuning the transmission phase by the dot size	PHYSICA E-LOW-DIMENSIONAL SYSTEMS & NANOSTRUCTURES, 85, pp.169-173	Tolea, F; Tolea, M	2017	0.446	0
112	Relationship between ferromagnetism and, structure and morphology in un-doped ZnO and Fe-doped ZnO powders prepared by hydrothermal route	CURRENT APPLIED PHYSICS, 17, pp.1127-1135	Mihalache, V; Cernea, M; Pasuk, I	2017	0.443	0
113	Crystallisation of bismuth germanate glasses below their glass transition temperature	JOURNAL OF NON-CRYSTALLINE SOLIDS, 472, pp.55-60	Polosan, S	2017	0.442	0

Nr.	Titlul articolului	Numele Jurnalului, Volumul, pagina nr.	Nume Autor	Anul publicării	Scorul relativ de influență al articolului	Numărul de citări ISI
114	Magnetic and magneto-optical properties of Bi and Pb-containing aluminophosphate glass	JOURNAL OF NON-CRYSTALLINE SOLIDS, 465 , pp.55-58	Elisa, M; Iordanescu, R; Vasiliu, C; Sava, BA; Boroica, L; Valeanu, M; Kuncser, V; Galca, AC; Volceanov, A; Eftimie, M; Melinescu, A; Beldiceanu, A	2017	0.442	0
115	Tungsten nanoparticles with controlled shape and crystallinity obtained by magnetron sputtering and gas aggregation	MATERIALS LETTERS, 200 , pp.121-124	Acsente, T; Negrea, RF; Nistor, LC; Matei, E; Grisolia, C; Birjega, R; Dinescu, G	2017	0.437	0
116	The spectrochemical behavior of composites based on poly (para-phenylenevinylene), reduced graphene oxide and pyrene	OPTICAL MATERIALS, 72 , pp.140-146	Ilie, M; Baibarac, M	2017	0.437	0
117	The influence of single-walled carbon nanotubes on optical properties of the poly[(2,5-bisoctyloy)-1, 4-phenylenevinylene] evidenced by infrared spectroscopy and anti-Stokes photoluminescence	OPTICAL MATERIALS, 67 , pp.52-58	Baibarac, M; Smaranda, I; Baltog, I; Lefrant, S; Mevellec, JY	2017	0.437	0
118	Thermal memory fading by heating to a lower temperature: Experimental data on polycrystalline NiFeGa ribbons and 2D statistical model predictions	SOLID STATE COMMUNICATIONS, 257 , pp.36-41	Tolea, F; Tolea, M; Valeanu, M	2017	0.433	0
119	Synthesis, Characterization, and Toxicity Evaluation of Dextran-Coated Iron Oxide Nanoparticles	METALS, 7 , 63	Balas, M; Ciobanu, CS; Burtea, C; Stan, MS; Bezirtzoglou, E; Predoi, D; Dinischiotu, A	2017	0.420	0
120	Relation between domain structure and pyroelectric response in as-grown epitaxial Pb(Zr0.2Ti0.8)O-3 thin films on substrates with different resistivity	MATERIALS RESEARCH BULLETIN, 93 , pp.201-207	Pintilie, I; Trinca, L; Trupina, L; Pasuk, I; Pintilie, L	2017	0.420	0
121	Lead acetate film as precursor for two-step deposition of CH3NH3PbI3	MATERIALS RESEARCH BULLETIN, 89 , pp.89-96	Sima, M; Vasile, E; Sima, M	2017	0.420	0
122	Tb3+-doped alkaline-earth aluminates: Synthesis, characterization and optical properties	MATERIALS RESEARCH BULLETIN, 85 , pp.240-248	Mindru, I; Gingasu, D; Patron, L; Marinescu, G; Calderon-Moreno, JM; Diamandescu, L; Secu, M; Oprea, O	2017	0.420	2

Nr.	Titlul articolului	Numele Jurnalului, Volumul, pagina nr.	Nume Autor	Anul publicării	Scorul relativ de influență al articolului	Numărul de citări ISI
123	Production of Se-82 enriched Zinc Selenide (ZnSe) crystals for the study of neutrinoless double beta decay	JOURNAL OF CRYSTAL GROWTH, 475, pp.158-170	Dafinei, I; Nagorny, S; Pirro, S; Cardani, L; Clemenza, M; Ferroni, F; Laubenstein, M; Nisi, S; Pattavina, L; Schaeffner, K; Di Vacri, ML; Boyarintsev, A; Breslavskii, I; Galkin, S; Lalayants, A; Rybalka, I; Zvereva, V; Enculescu, M	2017	0.402	2
124	Tunable dielectric properties in polyacrylonitrile/multiwall carbon nanotube composites	POLYMER COMPOSITES, 38, pp.1741-1748	Palade, S; Pantazi, A; Vulpe, S; Berbecaru, C; Tucureanu, V; Oprea, O; Negrea, RF; Dragoman, D	2017	0.401	2
125	Enhancement of the electroluminescence of organic light emitting devices based on Ir(ppy)(3) by doping with metallic and magnetic nanoparticles	MATERIALS SCIENCE IN SEMICONDUCTOR PROCESSING, 72, pp.78-84	Ciobotaru, CC; Ciobotaru, IC; Schintieie, G; Negrea, R; Polosan, S	2017	0.398	0
126	Laser processing of Yb3+/Er3+ co-doped LiYF4 thin films with up-conversion properties	THIN SOLID FILMS, 625, pp.6-10	Secu, CE; Secu, M; Stokker-Cheregi, F; Ion, V; Brajnicov, S; Dinescu, M	2017	0.384	0
127	Structural, morphological, ferromagnetic and photoluminescence properties of Fe-doped ZnO, prepared by hydrothermal route	SUPERLATTICES AND MICROSTRUCTURES, 104, pp.362-373	Cernean, M; Mihalache, V; Secu, EC; Trusca, R; Bercu, V; Diamandescu, L	2017	0.361	3
128	Specific Changes in the Magnetoresistance of Ni-Fe-Ga Heusler Alloys Induced by Cu, Co, and Al Substitutions	IEEE TRANSACTIONS ON MAGNETICS, 53, 4400307	Tolea, F; Tolea, M; Sofronie, M; Popescu, B; Crisan, A; Leca, A; Valeanu, M	2017	0.348	0
129	Magnetic properties of glass-ceramics obtained by crystallization of iron-rich borosilicate glasses	JOURNAL OF ADVANCED CERAMICS, 6, pp.251-261	Sandu, V; Cimpoiasu, E; Kuncser, A; Nicolescu, MS	2017	0.336	0
130	IZO deposited by PLD on flexible substrate for organic heterostructures	APPLIED PHYSICS A-MATERIALS SCIENCE & PROCESSING, 123, 371	Socol, M; Preda, N; Stanculescu, A; Breazu, C; Florica, C; Rasoga, O; Stanculescu, F; Socol, G	2017	0.325	0
131	Isotactic polypropylene-vapor grown carbon nanofibers composites: Electrical properties	JOURNAL OF APPLIED POLYMER SCIENCE, 134, 45297	Aldica, GV; Ciurea, ML; Chipara, DM; Lepadatu, AM; Lozano, K; Stavarache, I; Popa, S; Chipara, M	2017	0.320	0

Nr.	Titlul articolului	Numele Jurnalului, Volumul, pagina nr.	Nume Autor	Anul publicării	Scorul relativ de influență al articolului	Numărul de citări ISI
132	Nano-engineered pinning centres in YBCO superconducting films	<i>PHYSICA C-SUPERCONDUCTIVITY AND ITS APPLICATIONS</i> , 533 , pp.118-132	Crisan, A; Dang, VS; Mikheenko, P	2017	0.316	0
133	Ultrasound studies on magnetic fluids based on maghemite nanoparticles	<i>POLYMER ENGINEERING AND SCIENCE</i> , 57 , pp.485-490	Predoi, D; Popa, CL; Predoi, MV	2017	0.305	0
134	Physicochemical and antimicrobial properties of silver-doped hydroxyapatite collagen biocomposite	<i>POLYMER ENGINEERING AND SCIENCE</i> , 57 , pp.537-545	Predoi, D; Iconaru, SL; Albu, M; Petre, CC; Jiga, G	2017	0.305	0
135	Sol-gel preparation and structural investigations of silico-phosphate glasses doped with Fe ions	<i>JOURNAL OF SOL-GEL SCIENCE AND TECHNOLOGY</i> , 81 , pp.294-302	Sava, BAC; Elisa, M; Boroica, L; Kuncser, V; Valeanu, M; Vasiliu, IC; Feraru, I; Iordanescu, R	2017	0.292	0
136	Optical properties of single-walled carbon nanotubes highly separated in semiconducting and metallic tubes functionalized with poly(vinylidene fluoride)	<i>JOURNAL OF MOLECULAR STRUCTURE</i> , 1130 , pp.38-45	Matea, A; Baibarac, M; Baltog, I	2017	0.268	0
137	Thermal analysis on C ₆ H ₁₀ Ge ₂ O ₇ -doped MgB ₂	<i>JOURNAL OF THERMAL ANALYSIS AND CALORIMETRY</i> , 127 , pp.173-179	Aldica, G; Matei, C; Paun, A; Batalu, D; Ferbinteanu, M; Badica, P	2017	0.267	1
138	Insight on thermal behaviour of new complexes of Ni(II), Cu(II) and Zn(II) with a bismacroyclic ligand developed as biologically active species	<i>JOURNAL OF THERMAL ANALYSIS AND CALORIMETRY</i> , 127 , pp.487-497	Badea, M; Bucur, C; Chifiriuc, MC; Bleotu, C; Grecu, MN; Lazar, V; Marinescu, D; Olar, R	2017	0.267	0
139	Thermal behavior of new nickel(II) complexes with unsaturated carboxylates and heterocyclic N-donor ligands	<i>JOURNAL OF THERMAL ANALYSIS AND CALORIMETRY</i> , 127 , pp.731-741	Olar, R; Vlaicu, ID; Chifiriuc, MC; Bleotu, C; Stanica, N; Scaeteanu, GV; Silvestro, L; Dulea, C; Badea, M	2017	0.267	1
140	Electrochemical characterization of the Poly(2, 2'-Bithiophene-co-Pyrene) Functionalized Single-Walled Carbon Nanotubes Films and Their Applications in Supercapacitors Field	<i>INTERNATIONAL JOURNAL OF ELECTROCHEMICAL SCIENCE</i> , 12 , pp.2013-2025	Baibarac, M; Baltog, I; Daescu, M	2017	0.265	0

Nr.	Titlul articolului	Numele Jurnalului, Volumul, pagina nr.	Nume Autor	Anul publicării	Scorul relativ de influență al articolului	Numărul de citări ISI
141	TEMPERATURE INFLUENCE ON THE CAPACITANCE-VOLTAGE HYSTERESIS OF TRANSPARENT a-IGZO/PZT/FTO MFS-HETEROSTRUCTURE	ROMANIAN REPORTS IN PHYSICS, 69 , 506	Trinca, LM; Besleaga, C; Stancu, V; Radu, R; Iuga, A; Boni, AG; Galca, AC; Pintilie, L	2017	0.242	0
142	Effect of heavy ions irradiation on the properties of benzil crystals	CRYSTAL RESEARCH AND TECHNOLOGY, 52 , 1700047	Stanculescu, F; Socol, M; Matei, E; Stanculescu, A	2017	0.227	0
143	MEASUREMENT OF CHARGE CARRIER MOBILITY IN PEROVSKITE NANOWIRE FILMS BY PHOTO-CELIV METHOD	PROCEEDINGS OF THE ROMANIAN ACADEMY SERIES A-MATHEMATICS PHYSICS TECHNICAL SCIENCES INFORMATION SCIENCE, 18 , pp.34-41	Aukstuolis, A; Girtan, M; Mousdis, GA; Mallet, R; Socol, M; Rasheed, M; Stanculescu, A	2017	0.216	0
144	From an Anomalous Peak Effect to a Second Magnetization Peak in Nb-rich Nb-Ti Alloys	JOURNAL OF SUPERCONDUCTIVITY AND NOVEL MAGNETISM, 30 , pp.1103-1108	Ionescu, AM; Ivan, I; Enculescu, M; Grigorescuta, M; Miu, D; Valeanu, M; Badica, P; Miu, L	2017	0.179	0
145	Addition of Sb ₂ O ₅ into MgB ₂ Superconductor Obtained by Spark Plasma Sintering	JOURNAL OF SUPERCONDUCTIVITY AND NOVEL MAGNETISM, 30 , pp.2073-2080	Badica, P; Burduse, M; Popa, S; Hayasaka, Y; Ionescu, MA; Aldica, G	2017	0.179	0
146	MAPLE DEPOSITION OF PLGA MICROSFERES FOR MEDICAL APPLICATIONS	DIGEST JOURNAL OF NANOMATERIALS AND BIOSTRUCTURES, 12 , pp.73-80	Fufa, O; Socol, M; Preda, N; Grigorescu, S; Croitoru, S; Socol, G	2017	0.150	0
147	PHOTOACTIVITY OF HEMATITE ELECTRODE PREPARED VIA ANODIC ELECTRODEPOSITION ON FTO AND FTO/TiO ₂ SUBSTRATES	DIGEST JOURNAL OF NANOMATERIALS AND BIOSTRUCTURES, 12 , pp.751-758	Sima, M; Vasile, E; Sima, MA	2017	0.150	0
148	Studies of vanadium and vanadium oxide based nanocomposite structures	JOURNAL OF OPTOELECTRONICS AND ADVANCED MATERIALS, 19 , pp.400-405	Prilepov, V; Gashin, P; Popescu, M; Zalamai, V; Spoiala, D; Ketrush, P; Nasedchina, N	2017	0.079	0

Nr.	Titlul articolului	Numele Jurnalului, Volumul, pagina nr.	Nume Autor	Anul publicării	Scorul relativ de influență al articolului	Numărul de citări ISI
149	Pb(Mg,Nb)O-3-PbTiO ₃ thick films on metalized low-temperature co-fired ceramic substrates	INFORMACIJE MIDEM-JOURNAL OF MICROELECTRONIC S ELECTRONIC COMPONENTS AND MATERIALS, 47, pp.71-78	Ursic, H; Bencan, A; Khomyakova, E; Drnovsek, S; Mercioniu, IF; Makarovic, K; Belavic, D; Schreiner, C; Ciobanu, R; Bolado, PF; Malic, B	2017	0.062	0
150	CHARACTERIZATION OF CdS-DOPED GLASS FILMS OBTAINED BY PULSED LASER DEPOSITION	REVISTA ROMANA DE MATERIALE-ROMANIAN JOURNAL OF MATERIALS, 47, pp.60-65	Iordanescu, CR; Elisa, M; Epurescu, G; Filipescu, M; Enculescu, M; Monteiro, RCC; Constantin, L	2017	0.054	0
151	Hydrothermal route to (FE, N) codoped titania photocatalysts with increased visible light activity	INDUSTRIA TEXTILA, 68, pp.303-308	Diamandescu, L; Feder, M; Vasiliu, F; Tanase, L; Sobetkii, A; Dumitrescu, I; Teodorescu, M; Popescu, T	2017	0.035	1

4.2.2. Lucrări/comunicații științifice publicate la manifestări științifice (conferințe, seminarii, worksopuri, etc):

Nr. crt.	Titlul articolului, Manifestarea științifică, Volumul, Pagina nr.	Nume Autor	An apariție	Nr. citări ISI
1.	<i>AlN as gate dielectric in thin film transistors</i> 9 th International Conference on Advanced Materials, ROCAM 2017, Bucharest, Romania 11-14.07.2017, Poster	Besleaga C, Stan GE, Raevschi S, Trinca L, Galca AC, Dumitru V, Radu R, Pintilie I	2017	
2.	<i>Annealing influence on amorphous IGZO based TFTs</i> 4 th Central and Eastern European Conference on Thermal Analysis and Calorimetry (CEEC-TAC4), Chisinau, Moldova 28-31.08.2017, Poster	Besleaga C, Stan G.E., Dumitru V, Radu R, Trinca LM, Galca AC	2017	
3	<i>Aluminum nitride based micro-electronics for harsh environments</i> 4 th Central and Eastern European Conference on Thermal Analysis and Calorimetry (CEEC-TAC4), Chisinau, Moldova 28-31.08.2017, Poster	Besleaga C, Stan G.E., Dumitru V, Botea M, Radu R, Trinca LM, Galca AC	2017	
4	<i>Radiation effects in amorphous optical films</i> 7 th South African Conference on Photonic Materials, Amanzi, South Africa 27-31.03.2017, Talk	Craciun D, Dorcioman G, Fufa O, Socol G, Galca AC, Swart HC, Erasmus LJB, Kroon RE, Martin C, Craciun V	2017	
5	<i>Optical properties of amorphous IGZO grown by pulsed laser deposition</i> EMRS spring meeting, Strasbourg, France 22–26.05.2017. Poster	Craciun D, Fufa O, Galca AC, Trinca LM, Pantelica D, Ionescu P, and Craciun V	2017	
6	<i>Lateral variation of properties in PLD grown films</i>	Craciun D, Socol G, Fufa O,	2017	

	EMRS spring meeting, Strasbourg, France 22–26.05.2017. Talk	<i>Cristea D, Pantelica D, Ionescu P, Trusca R, Lambers E, Galca AC, Craciun V</i>		
7	<i>TiO₂ thin films deposited by rf-magnetron sputtering for optoelectronic applications</i> D. Dogaru, C. Besleaga, A.C. Galca, M. Nistor, L. Ion 17 th International Conference on Plasma Physics and Applications (CPPA), Magurele, Romania 15-20.06.2017, Poster	<i>Dogaru D, Besleaga C, Galca AC, Nistor M, Ion L</i>	2017	
8	<i>Radiation effects in amorphous transparent oxide films</i> EMRS spring meeting, Strasbourg, France 22–26.05.2017. Poster	<i>Fufa O, Craciun D, Galca AC, Swart HC, Erasmus LJB, Kroon RE, Craciun V</i>	2017	
9	<i>Spectroscopic ellipsometry studies on amorphous oxide semiconductors</i> 9 th International Conference on Advanced Materials, ROCAM 2017, Bucharest, Romania 11-14.07.2017, Talk	<i>Galca AC, Fufa O, Craciun D, Besleaga C, Craciun V</i>	2017	
10	<i>Spectroscopic ellipsometry, a useful tool to investigate phase transitions in thin films: case study on phase change materials</i> 4 th Central and Eastern European Conference on Thermal Analysis and Calorimetry (CEEC-TAC4), Chisinau, Moldova 28-31.08.2017, Talk	<i>Galca AC, Socol G, Velea A</i>	2017	
11	<i>IGZO thin film transistors fabricated with shadow masks at room temperature</i> EMRS spring meeting, Strasbourg, France 22–26.05.2017. Poster	<i>Gherendi F, Craciun V, Fufa O, Craciun D, Galca AC</i>	2017	
12	<i>Epitaxial La_{0.67}Ba_{0.33}Ti_{0.02}Mn_{0.98}O₃ oxide thin films</i> 9 th International Conference on Advanced Materials, ROCAM 2017, Bucharest, Romania 11-14.07.2017, Poster	<i>Oumezzine Ma, Galca AC, Pasuk I, Chirila CF, Leca A, Kuncser V, Tanase LC, Kuncser A, Ghica C, Oumezzine Mo</i>	2017	
13	<i>Epitaxial La_{0.67}Ba_{0.33}Ti_{0.02}Mn_{0.98}O₃ oxide thin films</i> 24 th Congress and General Assembly of the International Union of Crystallography, Hyderabad, India 21-28.08.2017, Poster	<i>Oumezzine Ma, Galca AC, Pasuk I, Chirila CF, Leca A, Kuncser V, Tanase LC, Kuncser A, Ghica C, Oumezzine Mo</i>	2017	
14	<i>On the memory functionality of PZT/aIGZO based heterostructures</i> 9 th International Conference on Advanced Materials, ROCAM 2017, Bucharest, Romania 11-14.07.2017, Poster	<i>Trinca LM, Besleaga C, Galca AC, Radu R, Stancu V, Iuga A, Dumitru V, Pintilie L</i>	2017	
15	<i>Enhancement of the electroluminescence of organic light emitting devices based on ir(ppy)3 by doping with metallic and magnetic nanoparticles</i> IBWAP 2017, Constanta, 11-14th of July - Invited	<i>Ciobotaru C. C., Ciobotaru I. C., Schinteie G., Polosan S.</i>	2017	
16	<i>Electrical properties of single core-shell metal oxide nanowires,</i> 20th Int. conference on Advanced Nanotechnology, September 11-12, 2017, Amsterdam, Netherlands, Talk	<i>Florica C., Costas A., Kuncser A., Diculescu V., Preda N., Enculescu I.,</i>	2017	
17	<i>Core-shell nanowires based on CuO and ZnO,</i> 13th Nanoscience & Nanotechnology Conf., Oct. 22-25, 2017, Antalya, Turkey, Talk	<i>Florica C., Costas A., Kuncser A., Diculescu V., Preda N., Enculescu I.,</i>	2017	
18	<i>Electrical properties of single ZnO nanowires prepared by</i>	<i>Costas A., Florica C.,</i>	2017	

	<i>wet and dry methods,</i> 20th International conference on Advanced Nanotechnology, September 11-12, 2017, Amsterdam, Netherlands, Talk	Kuncser A., Matei E., Preda N., Enculescu I.,		
19	<i>Optoelectronic devices based on single CuO nanowires</i> 13th Nanoscience & Nanotechnology Conference, October 22-25, 2017, Antalya, Turkey, Poster	Costas A., Florica C., Negrea R., Boni A., Pintilie L., Ion L., Preda N., Enculescu I.	2017	
20	<i>Magnetic anisotropy in electrodeposited metallic nanowires</i> The 9th Int. Conf. on Advanced Materials, ROCAM 11-14 July 2017, Bucharest, Romania, Talk	Costas A., Matei E., Enculescu M., Schintei G., Stavarache I., M. E. Toimil-Molares, V. Kuncser, I. Enculescu	2017	
21	<i>Conducting polymers coated electrospun structures based microactuators</i> 12 Nanoscience and Nanotechnology Conference – NanoTR 2017, Antalya, Turcia, 22-25th of October 2017, Poster	Beregoi M., Evangelidis A., Diculescu V., Matei E., Enculescu I.,	2017	
22	<i>Actuators based on polyaniline coated electrospun fibers nets,</i> 7 th International Conference on Electromechanically Active Polymer (EAP) transducers & artificial muscles – EuroEAP 2017, Cartagena, Spانيا, 06-07 June 2017, Poster+pitch.	M. Beregoi, A. Evangelidis, E. Matei, I. Enculescu,	2017	
23	<i>Polypyrrole distributed actuators based on electrospun microribbons</i> 7 th International Conference on Electromechanically Active Polymer (EAP) transducers & artificial muscles – EuroEAP 2017, Cartagena, Spانيا, 06-07 Iunie 2017, Poster+pitch.	Evangelidis A., Beregoi M., Diculescu V., Enculescu I.,	2017	
24	<i>Fabrication of Hydrogel Embedded Wearable Sensors for Sweat Analysis</i> XXIV International Symposium on Bioelectrochemistry and Bioenergetics, 3-7 Iulie 2017, Lyon, Franta, Poster	Diculescu V. C., Apostol N. G., Teodorescu C. M.	2017	
25	<i>Nanostructured Electrochemical Biosensors; Basic Concept and Applications</i> 9th International Conference on Advanced Materials: ROCAM 2017 10-14th of July 2017, Bucharest, Romania, Talk	Diculescu V. C.	2017	
26	<i>Electrochemical Biosensors. From Fundamental Applications To Wearable Devices</i> Second Workshop of Bioelectrochemistry “Bioelectrochemistry and its Applications in life sciences” 19-20th of September 2017 University of Medicine and Pharmacy, Iuliu Hatieganu, Cluj-Napoca. Talk	Diculescu V. C.	2017	
27	<i>Fabrication of flexible nanostructured electrodes for wearable sensors development</i> 8 TH International Workshop on Biosensors for food safety and environmental monitoring 11-15th of October 2017, Rabat, Maroc. Talk	Diculescu V. C., Beregoi M., Evangelidis A., Enculescu I.	2017	
28	<i>Structural modification and voltammetric characterization of amyloid beta peptide</i> The 9 th International Conference On Advanced Materials: ROCAM 2017, July 10 – 14, 2017 (Bucharest-Romania), Talk	Enache T. A., Chiorcea-Paquin A. M., Barsan M., Diculescu V.C., Oliveira-Brett A.M.,	2017	
29	<i>Formaldehyde sensor based on Nafion®-modified electrodes</i> The 8 th Workshop on Biosensors for Food Safety and Environmental Monitoring, October 12-14, 2017 Rabat-	Enache T. A., Diculescu V. C.,	2017	

	Morocco), Poster			
30	<i>Nickel Nanoparticles as a New Tool in the Sensitive Sensing of Biomolecules of Interest</i> 24 th International Symposium on Bioelectrochemistry and Bioenergetics (BES), 3-7 July 2017, Lyon, France. Poster	Barsan M. M., Enache T. A., Preda N., Diculescu V. C.	2017	
31	<i>Nanostructured Biosensors for the determination of key analytes in food</i> The 16th International Symposium Prospects for the 3rd Millennium Agriculture, 28-30 September, Cluj-Napoca, Romania. Talk	Barsan M. M.	2017	
32	<i>Application of nanostructured materials in (bio)sensing</i> The 9th International Conference on Advanced Materials, ROCAM 2017, 10-14 July 2017, Bucharest, Romania. Talk	Barsan M. M., Enache T. A., Diculescu V. C.	2017	
33	<i>Biosensors based on graphene, carbon nanotubes and magnetic nanoparticles</i> The second workshop on bioelectrochemistry Bioelectrochemistry and its applications in life sciences, 19-20th of September 2017, Cluj Napoca, Romania. Talk	Barsan M. M.	2017	
34	Nanostructured enzymatic biosensors for food analysis POC-G 54 MATI2IT project workshop, 25-26th of September 2017, NIMP, Magurele, Romania. Talk	Barsan M. M.	2017	
35	<i>Ferroelectric varactors based on heteroepitaxialy grown (Ba,Sr)TiO₃ thin films</i> 9th International Conference on Advanced Materials, ROCAM 2017, Bucharest, Romania 11-14.07.2017. Poster	Trupina L, Nedelcu L, Radu R, Pasuk I, Banciu MG, Dumas-Bouchiat F, Constantinescu C, Marchet P, Champeaux C, Huitema L, Ghalem A, Rammal M, Crunteanu A, Madrangeas V, Passerieux D, Cros D, and Monediere T	2017	
36	<i>Antenne fente reconfigurable en fréquence intégrant un condensateur ferroélectrique type MFM</i> XXèmes Journées Nationales Microondes– Saint-Malo 16-19.05.2017. Talk	Rammal M, Ghalem A, Huitema L, Crunteanu A, Trupina L, Nedelcu L, Banciu MG, Dutheil P, Constantinescu C, Marchet P, Dumas-Bouchiat F, Champeaux C	2017	
37	<i>Microwave dielectric properties of (1-x)Bi_{0.5}Na_{0.5}TiO₃ - xBaTiO₃ thin film</i> 9th International Conference on Advanced Materials, ROCAM 2017, Bucharest, Romania 11-14.07.2017. Poster	Stancu V, Cernea M, Mihalache V, Nedelcu L, Trupina L, Banciu MG, Huitema L, Ghalem A, Crunteanu A, Rammal M, Passerieux D, Cros D, Monediere T, Madrangeas V, Constatinescu C, Dumas-Bouchiat F, Marchet P, Champeaux C	2017	
38	<i>High-frequency characterisation of ferroelectric thin film capacitors and their integration for frequency tunable antennas</i> 9th International Conference on Advanced Materials, ROCAM 2017, Bucharest, Romania 11-14.07.2017. Talk	Ghalem A, Huitema L, Crunteanu A, Rammal M, Passerieux D, Cros D, Monediere T, Madrangeas V, Goldner-Constatinescu C, Champeaux C, Dumas-Bouchiat F, Marchet P, Nedelcu L, Trupina L,	2017	

		Banciu G		
39	<i>Pulsed Laser Deposition of Thin Film Capacitors in Different Configurations with Applications in Highly Tunable Digital and Analog Microwave Devices</i> 9th International Conference on Advanced Materials, ROCAM 2017, Bucharest, Romania 11-14.07.2017. Talk	<i>Goldner-Constantinescu CD, Ghalem A, Rammal M, Marchet P, Huitema L, Crunteanu A, Nedelcu L, Trupina L, Banciu G, Dumas-Bouchiat, C. Champeaux,</i>	2017	
40	<i>Novel Microwave antennas using resonators of advanced dielectric materials</i> 9th International Conference on Advanced Materials, ROCAM 2017, Bucharest, Romania 11-14.07.2017. Poster	<i>Geambasu DC, Banciu MG, Nedelcu L, Trupina L</i>	2017	
41	<i>Para-/ferro-electric thin films grown by pulsed laser deposition for various configurations of high-frequency tunable microcapacitors,</i> International Conference on Laser Ablation, COLA2017, Marseille, France 3-8.09.2017, Talk	<i>Constantinescu C, Ghalem A, Rammal M, Huitema L, Crunteanu A, Nedelcu L, Trupina L, Banciu G, Marchet P, Dumas-Bouchiat F, Champeaux C</i>	2017	
42	<i>Capacités ferroélectriques accordables pour la réalisation de dispositifs hyperfréquences reconfigurables,</i> XXèmes Journées Nationales Microondes, Saint-Malo, France 16-19 mai 2017, Talk	<i>Ghalem A, Rammal M, Huitema L, Crunteanu A, Trupina L, Nedelcu L, Banciu MG, Dutheil P, Constantinescu C, Marchet P, Dumas-Bouchiat F, Champeaux C</i>	2017	
43	<i>Microwave antenna array using new dielectric resonator antenna elements</i> International semiconductor conference CAS 2017, Proceedings pg. 129-132, Sinaia, Romania 11-14.10.2017, Talk	<i>Banciu MG, Militaru N, Marian A, Nicolaescu I, Tuta L, Geambasu DC, Nedelcu L, Trupina L, Ramer R</i>	2017	
44	<i>Synthesis of mesoporous ZrO₂ doped materials as anode for PEMFCs</i> 9 th International Conference on Advanced Materials, ROCAM 2017, Bucharest, Romania 11-14.07.2017, Talk	<i>Florea M, Neațu F, Neațu S, Somacescu S</i>	2017	
45	<i>Synthesis and characterization of nickel supported on mesoporous tin oxide as anode for PEMFC</i> XIII European Congress on Catalysis (EUROPACAT 2017), Florenta, Italia 26-31.08.2017, Poster	<i>Petrea N, Nicolae, Trandafir M, Somacescu S, Neațu S, Neațu F, Somoghi V, Florea M</i>	2017	
46	<i>Mesoporous anodes based on rare earths doped ceria for fuel cells applications</i> XIII European Congress on Catalysis (EUROPACAT 2017), Florenta, Italia 26-31.08.2017, Poster	<i>Navarrete L, Florea M, Serra JM, Somăcescu S</i>	2017	
47	<i>An unprecedented synthesis of terephthalic acid by p-cymene oxidation</i> XIII European Congress on Catalysis (EUROPACAT 2017), Florenta, Italia 26-31.08.2017, Talk	<i>Florea M, Neațu F, Nicolae S, Culică G, Pârvulescu VI, Cavani F</i>	2017	
48	<i>One Step Toward Large Scale Production of Perovskite Solar Cells</i> 9 th International Conference on Advanced Materials, ROCAM 2017, Bucharest, Romania 11-14.07.2017, Talk	<i>Leonat L, Stancu V, Tomulescu AG, Beșleagă C, Enculescu M, Pintilie I</i>	2017	

49	<i>Industrial friendly method for titanium oxide layers deposition used in perovskite solar cells</i> 9 th International Conference on Advanced Materials, ROCAM 2017, Bucharest, Romania 11-14.07.2017, Talk	Tomulescu AG, Stancu V, Besleagă C, Leonat L, Trinca L, Pintilie L, Enculescu M, Pintilie I	2017	
50	<i>Study of the electrochromic properties of MAPLE and PLD deposited WO₃ thin films</i> 21 st International Conference on Solid State Ionics, Padua, Italy 18-23.06.2017, Poster	Boyadjiev SI, Stefan N, Stan GE, Arvizu M, Szilágyi IM, Visan A, Mihailescu N, Mihailescu IN, Besleaga C, Österlund L, Gesheva KA	2017	
51	<i>Simple and reinforced biological-derived hydroxyapatite coatings for metallic implants</i> 15 th Conference & Exhibition of the European Ceramic Society (ECerS2017), Budapest, Hungary 9-13.07.2017, Poster	Stan GE, Popescu AC, Florian PE, Popescu-Pelin G, Achim A, Enculescu M, Zgura I, Oktar FN, Roseanu A, Duta L	2017	
52	<i>Antibacterial efficiency of alkali-free biocompatible glasses additivated with ZnO and/or SrO active agents</i> 15 th Conference & Exhibition of the European Ceramic Society (ECerS2017), Budapest, Hungary 9-13.07.2017, Poster	Popa AC, Stan GE, Besleaga C, Neculescu M, Fernandes HR, Ferreira, JMF	2017	
53	<i>The prospects for bio-glass implant coatings</i> 15 th Conference & Exhibition of the European Ceramic Society (ECerS2017), Budapest, Hungary 9-13.07.2017, Invited	Stan GE, Popa AC, Fernandes HR, Ferreira, JMF	2017	
54	<i>Temperature influence on the memory functionality of PZT/aIGZO based heterostructures</i> 4 th Central and Eastern European Conference on Thermal Analysis and Calorimetry (CEEC-TAC4), Chisinau, Moldova 28-31.08.2017, Poster	Trinca L, Besleaga C, Galca A, Radu R, Stancu V, Iuga A, Dumitru V, Pintilie L	2017	
55	<i>In Vivo Toxicity Of Glycerol Coated Iron Oxide Nanoparticles</i> 19 th INTERNATIONAL SOL-GEL CONFERENCE, SEPTEMBER 3-8, LIEGE, BELGIUM, Poster	D. Predoi, S.L. Iconaru A.M. Prodan, C.S. Ciobanu, M. Beuran, C.S. Turculeț, C.C. Negrilă, R.V. Ghita, M. Soare.	2017	
56	<i>Antimicrobial evaluation of Silver Doped Hydroxyapatite Layers obtained by Sol-Gel Method</i> 19 th INTERNATIONAL SOL-GEL CONFERENCE, SEPTEMBER 3-8, LIEGE, BELGIUM, Poster	D. Predoi, S.L. Iconaru, C.S. Ciobanu, M. Beuran, C.S. Turculeț, C.C. Negrilă, R.V. Ghita, A. Iosif, A.M. Prodan	2017	
57	<i>Physico-chemical characteristics and antimicrobial studies of silver doped hydroxyapatite</i> THE 7 th INTERNATIONAL CONFERENCE ON STRUCTURAL ANALYSIS OF ADVANCED MATERIALS, BUCHAREST, ROMANIA, 19-22 SEPTEMBER 2017, Poster	D. Predoi, M.V. Predoi, S.L. Iconaru, C.S. Ciobanu, N. Buton, C.C. Petre, A.M. Prodan	2017	
58	<i>Application Of Biocompatible Magnetite Nanoparticles For The Removal Of As And Cu From Water</i> THE 7 th INTERNATIONAL CONFERENCE ON STRUCTURAL ANALYSIS OF ADVANCED MATERIALS, BUCHAREST, ROMANIA, 19-22 SEPTEMBER 2017, Poster	S.L. Iconaru, M. Beuran, C.S. Turculeț, I. Negoi, G. Teleanu, A.M. Prodan, M. Motelica-Heino, R. Guégan, C.S. Ciobanu, G. Jiga, Daniela Predoi.	2017	
59	<i>Fabrication and Characterization of Iron Oxide Dextrans Composite Layers</i> THE 7 th INTERNATIONAL CONFERENCE ON	S.L. Iconaru, S.A. Predoi, M. Beuran, C.S. Ciobanu, R. Trusca, R. Ghita, I. Negoi,	2017	

	STRUCTURAL ANALYSIS OF ADVANCED MATERIALS, BUCHAREST, ROMANIA, 19-22 SEPTEMBER 2017, Poster	<i>G. Teleanu, S.C. Turculet, M. Matei, Monica Badea, A.M. Prodan.</i>		
60	<i>Analysis Of PdGe-Based Contact On N-GaSb</i> THE 7 th INTERNATIONAL CONFERENCE ON STRUCTURAL ANALYSIS OF ADVANCED MATERIALS, BUCHAREST, ROMANIA, 19-22 SEPTEMBER 2017, Talk	<i>R.V.Ghita, C.C. Negrila, D. Predoi, R.Trusca</i>	2017	
61	<i>PbTiO₃</i> ferroelectric films with potential application in solar cells, The 9th International Conference on Advanced Materials, ROCAM 2017 11-14.07.2017, Bucharest, Romania. Talk	<i>I. Pintilie, V. Stancu, A. Tomulescu, R. Radu, C. Besleaga, L. Trinca, L. Pintilie</i>	2017	
62	<i>Magnetocapacitance effect in La_{0.7}Sr_{0.3}MnO₃/Pb(Zr_{0.2}Ti_{0.8})O₃/La_{0.7}Sr_{0.3}MnO₃ multiferroic heterostructures,</i> 3rd Functional Oxide Thin Films for Advanced Energy and Information Technology Conference, 05.07.2017-08.07.2017, Rome, Italy, Poster	<i>Luminita M. Hrib, Marius A. Husanu, Lucian Pintilie, Marin Alexe,</i>	2017	
63	<i>Pyroelectricity in polar materials,</i> The 9th International Conference on Advanced Materials, ROCAM 2017 11-14.07.2017, Bucharest, Romania. Talk	<i>M.Botea, G.E.Stan, I.Pintilie, G.A.Boni, V.Stancu, A.Iuga, L.Pintilie</i>	2017	
64	<i>Pyroelectric properties in ferroelectric thin films and multilayers</i> The 9th International Conference on Advanced Materials, ROCAM 2017 11-14.07.2017, Bucharest, Romania. Poster	<i>M.Botea, G.Le Rhun, A.G.Boni, L.Hrib, C.Chirila, I.Pintilie, L. Pintilie</i>	2017	
65	<i>Ferroelectric memory with non-destructive read-out operation</i> The 9th International Conference on Advanced Materials, ROCAM 2017 11-14.07.2017, Bucharest, Romania. Talk	<i>G. A. Boni, L. Filip, C. Chirila, I. Pasuk, R. Negrea, I. Pintilie, L. Pintilie</i>	2017	
66	<i>Pulsed laser deposition of epitaxial ferroelectric thin films and their potential applications</i> The 9th International Conference on Advanced Materials, ROCAM 2017 11-14.07.2017, Bucharest, Romania. Talk	<i>C.Chirila, A. Boni, M. Botea, L. Hrib, L. Trupina, I. Pasuk, R Negrea, I. Pintilie, L. Pintilie</i>	2017	
67	<i>PZT thin films on Si for pyroelectric applications</i> EMRS Spring Meeting 2017, 21-26.05.2017, Strasbourg Franta. Talk	<i>C. Chirila, G.Le Rhun, M.Botea, L. Hrib, A. Boni, A.Iuga, I. Pintilie, L. Pintilie</i>	2017	
68	<i>Electrical properties of NiFe₂O₄ epitaxial ultra-thin films</i> EMRS Spring Meeting 2017, 21-26.05.2017, Strasbourg Franta. Poster	<i>C.F. Chirila, G. A. Boni, L. Hrib, S. B. Porter, G. Atcheson, I. Pintilie, K. Rode, L. Pintilie</i>	2017	
69	<i>Optimization of Berry phase polarization of Berry phase polarization calculations</i> The 9th International Conference on Advanced Materials, ROCAM 2017 11-14.07.2017, Bucharest, Romania. Talk	<i>L. Filip, N. Plugaru</i>	2017	
70	<i>Aspects of GaSb active devices technology, 9th International Conference on Advanced Materials: ROCAM, Bucharest, Romania, July 10th-14th, 2017, Invited.</i>	<i>R. Ghita, C. Logofatu, C. Negrila, and P. Cristea,</i>	2017	
71	<i>Photoelectron spectromicroscopy of ferroelectrics,</i> 17 th International Balkan Workshop on Applied Physics and	<i>L. E. Abramiec, L. C. Tănase, D. G. Popescu, M. A. Hușanu,</i>	2017	

	Materials Science, Constanța, Romania, July 10 th –14 th , 2017, Invited	N. G. Apostol, C. A. Tache, C. Chirilă, L. Pintilie, C. M. Teodorescu, S. Lizzit, P. Lacovig, and A. Barinov,		
72	<i>Photoelectron spectroscopic and microspectroscopic probes of ferroelectrics,</i> TIM 17 Physics Conference, West University, Timișoara, Romania, May 25 th –27 th , 2017, Invited	N. G. Apostol, L. E. Abramiuc, L. C. Tănase, D. G. Popescu, M. A. Hușanu, G. A. Lungu, I. C. Bucur, R. M. Costescu, A. E. Bocîrnea, C. A. Tache, C. Chirilă, L. Hrib, L. Trupină, L. Pintilie, C. M. Teodorescu, S. Lizzit, P. Lacovig, and A. Barinov,	2017	
73	<i>In situ chemistry at ferroelectric surfaces,</i> 2 nd International Workshop on Materials Physics: Materials Science using Synchrotron Radiation, National Institute of Materials Physics Măgurele, Romania, May 16 th –17 th , 2017, Invited	C. M. Teodorescu, N. G. Apostol, L. E. Abramiuc, L. C. Tănase, D. G. Popescu, M. A. Hușanu, G. A. Lungu, I. C. Bucur, R. M. Costescu, A. E. Bocîrnea, C. A. Tache, C. Chirilă, L. Hrib, L. Trupină, L. Pintilie, S. Lizzit, P. Lacovig, and A. Barinov,	2017	
74	<i>Combined LEED and XPS characterization of ferroelectric surfaces: ferroelectric dead layers,</i> 9 th International Conference on Advanced Materials: ROCAM, Bucharest, Romania, July 10 th –14 th , 2017, Talk.	L.C. Tănase, N.G. Apostol, L. Hrib, L. Pintilie, and C.M. Teodorescu,	2017	
75	<i>Multiferroic Mn:Pb(Zr,Ti)O₃,</i> 9 th International Conference on Advanced Materials: ROCAM, Bucharest, Romania, July 10 th –14 th , 2017, Talk.	I. C. Bucur, L. C. Tănase, C. M. Teodorescu, A. G. Lungu, L. E. Abramiuc, and C. A. Tache,	2017	
76	<i>Band bending at magnetic Ni/Ge(001) interface investigated by X-ray photoelectron spectroscopy,</i> 9 th International Conference of Advanced Materials ROCAM, Bucharest, Romania, July 10 th –14 th , 2017, Talk.	A. E. Bocîrnea, L. C. Tănase, R. M. Costescu, N. G. Apostol, and C. M. Teodorescu,	2017	
77	<i>Electric-Field-Driven Chemical Reaction of Single Molecules,</i> 9 th International Conference on Advanced Materials: ROCAM, Bucharest, Romania, July 10 th –14 th , 2017, Talk.	B. Borca, T. Michnowicz, V. Schendel, R. Pétrya, I. Pentegov, U. Kraft, H. Klauk, A. Arnau, P. Wahl, U. Schlickum, and K. Ker	2017	
78	<i>Low energy electron diffraction on ferroelectrics: near-surface charge accumulation and dead layers,</i> 2 nd International Workshop on Materials Physics: Materials Science using Synchrotron Radiation, National Institute of Materials Physics, Măgurele, Romania, May 16 th –17 th , 2017, Talk.	L.C. Tănase, N.G. Apostol, L. Hrib, L. Pintilie, and C.M. Teodorescu	2017	
79	<i>Mass renormalization and orbital polarization at a ferroelectric/ferromagnetic interface,</i> 9 th International Conference on Advanced Materials: ROCAM, Bucharest, Romania, July 10 th –14 th , 2017 Talk.	M. A. Husanu, D. G. Popescu, C. M. Teodorescu, L. Hrib, L. Pintilie, and V. N. Strocov	2017	
80	<i>Strong anchoring between molecular endgroups and metal surface electrode by a locally triggered chemical reaction,</i> Workshop MOLSPIN, COST meeting – Quantum Spin Science and Technologies, August 31 th – September 1 st , 2017, Bucharest, Romania, Talk.	B. Borca, V. Schendel, R. Pétrya, I. Pentegov, T. Michnowicz, U. Kraft, H. Klauk, A. Arnau, P. Wahl, U. Schlickum, and K. Ker	2017	
81	<i>Carbon monoxide adsorption on Lead Zirconate Titanate PZT</i>	N.G. Apostol, L.C. Tănase,	2017	

	(001) surfaces, 17 th International Balkan Workshop on Applied Physics and Materials Science, Constanța, Romania, July 11 th –14 th , 2017, Talk .	L.E. Abramiuc, L. Hrib, L. Trupină, L. Pintilie, and C.M. Teodorescu,		
82	<i>Low energy electron diffraction on ferroelectrics: near-surface charge accumulation and dead layers,</i> 17 th International Balkan Workshop on Applied Physics and Materials Science, Constanța, Romania, July 11 th –14 th , 2017, Talk .	L.C. Tănase, N.G. Apostol, L. Hrib, L. Pintilie, and C.M. Teodorescu,	2017	
83	<i>Three-component photocatalytic systems as new approach for water splitting reaction,</i> 9 th International Conference of Advanced Materials ROCAM, Bucharest, Romania, July 10 th –14 th , 2017, Talk .	S. Neatu, F. Neațu, M. Florea, L. E. Abramiuc, and C. M. Teodorescu,	2017	
84	<i>NiO-ZnO/TiO₂ composites in the photocatalytic water splitting reaction,</i> Europacat2017, Florence, Italy, August 27 th –31 st , 2017, Talk .	S. Neatu, F. Neațu, M. Florea, L. E. Abramiuc, and C. M. Teodorescu,	2017	
85	<i>An unprecedented synthesis of terephthalic acid by p-cymene oxidation,</i> Europacat2017, Florence, Italy, August 27 th –31 st , 2017, Talk .	M. Florea, F. Neațu, S. Nicola G. Culica, V. I. Parvulescu, and F. Cavani,	2017	
86	<i>Interface effects in a ferromagnetic hole-doped manganite buried under ferroelectric layer revealed in soft X-ray ARPES,</i> 2 nd International Workshop on Materials Physics: Materials Science using Synchrotron Radiation, National Institute of Materials Physics Măgurele, Romania, May 16 th –17 th , 2017, Talk .	M. A. Husanu, D. G. Popescu, F. Bisti, C. M. Teodorescu, L. Hrib, C. Chirila, I. Pasuk, V. Kuncser, R. Negrea, L. Pintilie, and V. N. Strocov	2017	
87	<i>Field-dependent electronic properties of a multiferroic interface obtained during in-operando angle resolved photoelectron spectroscopy measurements,</i> EMRS Spring Meeting 2017, Strasbourg, France, May 21 st –26 th , 2017, Talk .	M. A. Husanu, D. G. Popescu, L. Tanase, C. M. Teodorescu, L. Hrib, C. Chirila, L. Pintilie, D. Sostina, and V. N. Strocov,	2017	
88	<i>Selective oxidation of alkyl-substituted benzene in the presence of heterogeneous Mn-Co catalysts,</i> 9 th International Conference of Advanced Materials ROCAM, Bucharest, Romania, July 10 th –14 th , 2017, Poster .	F. Neatu, S. Neațu and M. Florea,	2017	
89	<i>Modified magnetism of a multiferroic interface due to orbital ordering triggered by ferroelectric field effect,</i> International Conference on Strongly Correlated Electron Systems, SCES 2017, Prague, Czech Republic, July 16 th –22 nd , 2017, Poster .	M. A. Husanu, D. G. Popescu, C. M. Teodorescu, L. Hrib, C. Chirila, V. Kuncser, L. Pintilie, and V. N. Strocov,	2017	
90	<i>Reversible isomer selective single molecular switches activated locally or remotely by Scanning Tunneling Microscopy,</i> 6 th European Conference on Molecular Magnetism, August 27 th –31 st , 2017, Bucharest, Romania, Poster .	B. Borca, V. Schendel, R. Pétry, I. Pentegov, T. Michnowicz, U. Kraft, H. Klauk, A. Arnau, P. Wahl, U. Schlickum, and K. Kern,	2017	
91	<i>Growth mechanisms of silver on Si(111) investigated by XPS and LEED,</i> 9 th International Conference of Advanced Materials ROCAM, Bucharest, Romania, July 10 th –14 th , 2017, Poster .	R. M. Costescu, A. E. Bocîrne, L. C. Tănase, I. Pasuk, B. Borca, and Cristian M. Teodorescu,	2017	
92	<i>Preferential orbital occupation and the effect on electron mobility at ferroelectric/ferromagnetic interface,</i> 3 rd Functional Oxide Thin Films for Advanced Energy and Information Technology, Rome, Italy, July 4 th –8 th , 2017, Poster .	M. A. Husanu, D. G. Popescu, C. M. Teodorescu, L. Hrib, C. Chirila, V. Kuncser, L. Pintilie, and V. N. Strocov.,	2017	

	Poster		
93	<i>Characterization of thermally grown oxide layers on n-GaSb(100),</i> 9 th International Conference on Advanced Materials: ROCAM, Bucharest, Romania, July 10 th -14 th , 2017, Poster .	<i>C. Logofatu, R. Ghita, C. Cotirlan, C. Negrila, M. I. Rusu, and C. Palade,</i>	2017
94	<i>Characterization of plasmonic metasurfaces for optical components able to manipulate the light beyond the fundamental diffraction limit,</i> 17 th International Balkan Workshop on Applied Physics and Materials Science, Constanța, Romania, July 11 th -14 th , 2017, Poster	<i>C. Cotirlan-Simioniu, C. Logofatu, C. C. Negrila, and A. S. Manea.,</i>	2017
95	<i>Reconfigurable plasmonic metasurfaces provide great flexibility in the design of photonic devices,</i> 17 th International Balkan Workshop on Applied Physics and Materials Science, Constanța, Romania, July 11 th -14 th , 2017, Poster .	<i>C. Cotirlan-Simioniu, C. C. Negrila, A. S. Manea, A. Rizea, and C. Marin,</i>	2017
96	<i>Features of Si+ implanted n-GaSb(100) photosensitive structure,</i> 33 rd European Photovoltaic Solar Energy Conference and Exhibition, EU PVSEC 2017, Amsterdam, The Netherlands, September 25 th -29 th , 2017, Poster .	<i>R. Ghita, D. Pantelica, C. Logofatu, C. Negrila, P. Cristea, and L. Fara,</i>	2017
97	<i>Characterization of copper oxide photosensitive thin films,</i> 9 th International Conference on Advanced Materials: ROCAM, Bucharest, Romania, July 10 th -14 th , 2017, Poster .	<i>Ø. Nordseth, L. Chilibon, B. G. Svensson, R. Kumar, S. E. Foss, C. Vasiliu, R. Iordanescu, L. Baschir, D. Savastru, L. Fara, and R. Ghita,</i>	2017
98	<i>Graphene layers grown on lead zirconium titanate,</i> “Nanostructured materials and their role in the pharmaceutical and medical field” Workshop, 29.09.2017, NIMP Măgurele, Romania, Invited .	<i>N. G. Apostol, G. A. Lungu, I. C. Bucur, C. A. Tache, L. Hriț, L. Pintilie, and C. M. Teodorescu,</i>	2017
99	<i>Nanocrystals of GeSn alloys in oxide matrix for optoelectronic applications,</i> Applied Nanotechnology and Nanoscience International Conference – ANNIC2017, October 18-20, Rome, Italy, Talk	<i>I. Stavarache, A. Slav, M. Braic, V. S. Teodorescu, P. Prepelita, C. Palade, A.-M. Lepadatu, S. Lazanu, M. L. Ciurea, D. Stange, D. Buca, T. Stoica,</i>	2017
100	<i>Influence of preparation conditions on structure and photosensing properties of GeSi/TiO₂ multilayers,</i> IEEE International Semiconductor Conference - CAS 2017, October 11-14, Sinaia, Romania, Talk	<i>A. Slav, C. Palade, I. Stavarache, V.S. Teodorescu, M.L. Ciurea, R. Müller, A. Dinescu, M.T. Sultan, A. Manolescu, J.T. Gudmundsson H.G. Svavarsson,</i>	2017
101	<i>Photosensitive GeSi/TiO₂ multilayers in VIS-NIR,</i> CAS 2017, October 11-14, Sinaia, Romania. Talk	<i>C. Palade, I. Dascalescu, A. Slav, A.M. Lepadatu, S. Lazanu, T. Stoica, V.S. Teodorescu, M.L. Ciurea, F. Comanescu, R. Müller, A. Dinescu, A. Enuica,</i>	2017
102	<i>Light illumination effects on floating gate memory with Ge nanocrystals in HfO₂,</i> CAS 2017, October 11-14, Sinaia, Romania, Talk	<i>C. Palade, A. Slav, A.M. Lepadatu, S. Lazanu, M.L. Ciurea, T. Stoica,</i>	2017
103	<i>Ge nanocrystals in oxides with memory and photoelectrical properties,</i> The 9 th International Conference on Advanced Materials -	<i>C. Palade, A. Slav, A.-M. Lepadatu, A.V. Maraloiu, S. Lazanu, C. Logofatu, T. Stoica,</i>	2017

	ROCAM 2017, July 11-14, Bucharest, Romania Talk	V.S. Teodorescu, M.L. Ciurea		
104	<i>Ge nanocrystals in oxides for enhancing non-volatile memory performance,</i> ROCAM 2017, July 11-14, Bucharest, Romania Invited	<i>A.M. Lepadatu, A. Slav, C. Palade, A.V. Maraloiu, I. Stavarache, M.L. Ciurea,</i>	2017	
105	<i>Two-dimensional MoS₂: growth control of large area and heterostructures,</i> B. Kardynal, ROCAM 2017, 11-14th of July, Bucharest, Romania Invited	<i>T. Stoica, I. Stavarache, A. Slav, A.-M. Lepadatu, M. Stoica, D. Buca,</i>	2017	
106	<i>XTEM study of Ge based multilayer structures,</i> ROCAM 2017, July 11-14, Bucharest, Romania, Poster	<i>A.V. Maraloiu, C. Ghica, M.L. Ciurea, A.M. Lepadatu, A. Slav, C. Palade, I. Stavarache, S. Lazanu, V.S. Teodorescu,</i>	2017	
107	<i>Characterization of thermally grown oxide layers on n-GaSb (100),</i> ROCAM 2017, July 11-14, Bucharest, Romania, Poster	<i>C. Logofatu, R.V. Ghita, C. Cotirlan, C.C. Negrila, M. Rusu, C. Palade,</i>	2017	
108	<i>Ge Nanocrystals as charge storage nodes in nano-floating gate capacitor memories with crystalline HfO₂,</i> IBWAP 2017, July 11-14, Constanta, Romania, Talk	<i>A.M. Lepadatu, C. Palade, A. Slav, A.V. Maraloiu, C. Logofatu, S. Lazanu, T. Stoica, V.S. Teodorescu, M.L. Ciurea</i>	2017	
109	<i>Active materials based on Ge nanocrystals in oxides for trilayer memory capacitors and photosensitive structures,</i> IBWAP 2017, July 11-14, Constanta, Romania, Poster	<i>A. Slav, C. Palade, A.M. Lepadatu, A.V. Maraloiu, C. Logofatu, S. Lazanu, T. Stoica, V.S. Teodorescu, M.L. Ciurea</i>	2017	
110	<i>Photoconductive TiO₂ films functionalized with Si_(1-x)Ge_x nanoparticles,</i> DINAMO 2017 in ICELAND, May 14-19, Siglufjordur, Iceland, Poster	<i>M.T. Sultan, J.T. Gudmundsson, M.L. Ciurea, H.G. Svavarsson,</i>	2017	
111	<i>XTEM study of Ge based multilayer structures,</i> 2nd “Conference of the Romanian Electron Microscopy Society - C.R.E.M.S.”, May 16-18, Sinaia, Romania, Talk	<i>V.S. Teodorescu, A.V. Maraloiu, C. Ghica, M.L. Ciurea, A.M. Lepadatu, A. Slav, C. Palade, I. Stavarache, S. Lazanu,</i>	2017	
112	<i>Chalcogenide materials for selectors and phase change memories</i> 8th International Conference on Amorphous and Nanostructured Chalcogenides - Fundamentals and Applications, July 2 – 5, 2017, Sinaia, Romania, Invited	<i>A. Velea</i>	2017	
113	<i>Spectroscopic ellipsometry, a useful tool to investigate phase transitions in thin films: case study on phase change materials</i> 4th Central and Eastern European Conference on Thermal Analysis and Calorimetry, August 28 – 31, 2017, Chișinău, Republic of Moldova, Talk	<i>A.-C. Gâlcă, G. Socol, A. Velea</i>	2017	
114	<i>Thermal stability of heterojunction interfaces in GaSb/GeTe, GaSb/SnSe and SnSe/GeTe bilayers revealed by X-ray reflectometry</i> 8th International Conference on Amorphous and Nanostructured Chalcogenides - Fundamentals and Applications, July 2 – 5, 2017, Sinaia, Romania, Poster	<i>A. Velea, G. Socol, C. Mihai, A. Lőrinczi, I. D. Simandan, G. Schintieie, F. Sava</i>	2017	
115	<i>Dielectric spectroscopy measurements on Cu-As₂S₃-Cu thin film heterostructures</i> 8th International Conference on Amorphous and Nanostructured	<i>P. Ganea, G. Socol, S. Zamfiră, F. Sava, A. Velea, D. Șimăndan, C. Crețu, M. Popescu, A. Lőrinczi</i>	2017	

	Chalcogenides - Fundamentals and Applications, July 2 – 5, 2017, Sinaia, Romania, Poster			
116	<i>Luminescent and dielectric properties of a series of lanthanide-containing liquid crystals</i> The 14th European Conference on Liquid Crystals (ECLC 2017), June 25 – 30, 2017, Moscow, Russia Poster	<i>Doina Manaila-Maximean, Viorel Cîrcu, Paul Ganea, Laura F. Chiriac</i>	2017	
117	<i>Electric and electro-optic characterization of new cellulose electrospun polymer dispersed liquid crystal</i> The 14th European Conference on Liquid Crystals (ECLC 2017), June 25 – 30, 2017, Moscow, Russia Talk	<i>Doina Manaila Maximean, Octavian Danila, Pedro L. Almeida, Paul Ganea</i>	2017	
118	<i>PANI-Fe₃O₄ based coatings deposited by MAPLE for biomedical applications.</i> EMRS Spring meeting, Strasbourg, France, May 22 – 26, 2017. Poster	<i>G. Popescu-Pelin, R. C. Popescu, M. Socol, O. Fufă, A. M. Holban, C. Florica, I. Zgura, M. Patachia, G. Socol</i>	2017	
119	<i>Physical, chemical and in vitro assessment of biological-derived HA thin films for a new generation of metallic implants.</i> EMRS Spring meeting, Strasbourg, France, May 22 – 26, 2017. Poster	<i>L. Duta, G.E. Stan, A.C. Popescu, G. Popescu-Pelin, A. Achim, M. Enculescu, I. Zgura, P.E. Florian, A. Roseanu, F.N Oktar</i>	2017	
120	<i>FE₃O₄-embedded PANI-based coatings for biomedical applications</i> The 9th International Conference on Advanced Materials: ROCAM 2017, July 11-14, 2017, Bucharest, Romania. Poster	<i>G. Popescu-Pelin, O. Fufă, R. C. Popescu, M. Socol, A. M. Holban, C. Florica, I. Zgura, G. Socol</i>	2017	
121	<i>Coatings based on PCL/PLGA synthetized by maple and dip-coating techniques: a comparative study</i> The 9th International Conference on Advanced Materials: ROCAM 2017, July 11-14, 2017, Bucharest, Romania. Poster	<i>G. Popescu-Pelin, E. Axente, I. Iordache, C. Nita, A. Visan, I. Zgura, O.L. Rasoaga, C.S. Breazu, A. Stanculescu, S. Banita, G. Socol</i>	2017	
122	<i>Bionanostructured CaPs/AgNPs coatings for titanium-based materials</i> The 9th International Conference on Advanced Materials: ROCAM 2017, July 11-14, 2017, Bucharest, Romania. Poster	<i>O. Fufă, G. Popescu-Pelin, R. Trușcă, B.Ș. Vasile, M. Socol, I. Zgură, R.C. Popescu, A.M. Holban, A.M. Grumezescu, E. Andronescu, G. Socol, V. Crăciun</i>	2017	
123	<i>Functionalized organic heterostructures deposited by MAPLE on flexible substrate,</i> ROCAM 2017, 11-14 July, Bucharest Romania, Poster;	<i>M. Socol, N. Preda, C. Breazu, A. Stanculescu, A. Costas, F. Stanculescu, M. Girtan, F. Gherendi, G. Popescu-Pelin, G. Socol,</i>	2017	
124	<i>Optical and electrical properties of arylenevinylene based flexible heterostructures with A:ZnO transparent conductor electrode,</i> ROCAM 2017, 11-14 July, Bucharest Romania Poster	<i>Carmen Breazu, Florin Stanculescu, Gabriel Socol, Loredana Vacareanu, Mircea Grigoras, Marcela Socol, Nicoleta Preda, Mihaela Girtan, Anca Stanculescu,</i>	2017	
125	<i>Organic heterostructures deposited by MAPLE on patterned AZO electrode,</i>	<i>M. Socol, N. Preda, C. Breazu, A. Stanculescu, A.</i>	2017	

	ROCAM 2017, July 11-14, Bucharest Romania, Poster	<i>Costas, F. Stanculescu, G. Popescu-Pelin, F. Gherendi, G. Socol, L. Vacareanu,</i>		
126	<i>Electrical Properties of Nucleic Acids Bases Molecular Wide Band Gap Heterostructures,</i> ROCAM 2017, July 11-14, Bucharest Romania Poster	<i>Florin Stanculescu, Marcela Socol, Mihaela Girtan, Oana Rasoga, Carmen Breazu, Anca Stanculescu,</i>	2017	
127	<i>Effect of 2d electrode patterning on the properties of arylenevinylene based polymer mixed layers,</i> ROCAM 2017, July 11-14, Bucharest Romania Poster	<i>Carmen Breazu, Gabriel Socol, Ana-Maria Catargiu, Mircea Grigoras, Oana Rasoga, Anca Stanculescu, Marcela Socol, Florin Stanculescu, Nicoleta Preda, Mihaela Girtan,</i>	2017	
128	<i>HAp/AgNPs coatings for titanium-based implants,</i> ROCAM 2017, July 11-14, Bucharest Romania Talk	<i>O. Fufă, G. Popescu-Pelin, M. Socol, L. Mogoață, R.C. Popescu, A.M. Holban, G. Socol, V. Crăciun, A.M. Grumezescu, E. Andronescu,</i>	2017	
129	<i>Antimicrobial composite coatings based on polyaniline grafted lignin loaded with gentamicin functionalized magnetic nanoparticles for medical applications,</i> ROCAM 2017, July 11-14, Bucharest Romania, Talk	<i>A. Vișan, O. Fufă, M. Socol, G. Popescu-Pelin, R.C. Popescu, D. Savu, A.M. Holban, R. Cristescu, M. Pațachia, G. Socol,</i>	2017	
130	<i>Fe₃O₄-embedded PANI-based coatings for biomedical applications,</i> ROCAM 2017, July 11-14, Bucharest Romania, Poster	<i>G. Popescu-Pelin, O. Fufă, R. C. Popescu, M. Socol, A. M. Holban, C. Florica, I. Zgura, G. Socol</i>	2017	
131	<i>SnO₂-ZnO Thin Films for CO Gas Sensing Applications,</i> ROCAM 2017, July 11-14, Bucharest Romania Poster	<i>Andreea Mihailescu, Gianina Popescu-Pelin, Marcela Socol, Stefan Banita, Gabriel Socol,</i>	2017	
132	<i>Antimicrobial composite coatings based on gentamicin loaded magnetic nanoparticles for medical applications,</i> ROCAM 2017, July 11-14, Bucharest Romania Poster	<i>A. Visan, O. Fufă, C. Matei, M. Socol, G. Popescu-Pelin, R.C. Popescu, D. Savu, R. Cristescu, D. Craciun, G. Socol,</i>	2017	
133	<i>Deposition of complex hybrid Fe₃O₄- PEDOT:PSS-PLGA-CYPRESS essential oil coatings by matrix assisted pulsed laser evaporation,</i> ROCAM 2017, July 11-14, Bucharest Romania Poster	<i>F. M. Miroiu, N. Stefan, A. I. Visan, V. Grumezescu, C. Radu, M. Socol, R. C. Popescu, D. Savu, M. Temelie, G. Socol,</i>	2017	
134	<i>Preparation and characterization of organic heterostructures based on arylenevinylene polymer: perylene diimide blends,</i> EMRS, 2017, May 22-26, Strasbourg, France Poster	<i>A. Stanculescu, C. Breazu, M. Socol, A.-M. Catargiu, L. Vacareanu, M. Grigoras, F. Stanculescu, G. Socol, M. Girtan,</i>	2017	

135	<i>New oxide/metal/oxide electrodes for solar cell applications,</i> EMRS, 2017, May 22-26, Strasbourg, France Poster	<i>Laura Hrostea, Andrius Aukštuolis, Mihaela Boclinca, Marcela Socol, Liviu Leontie, Anca Stanculescu, Mihaela Girtan,</i>	2017	
136	<i>MAPLE Composite coatings enriched with gentamicin loaded magnetic nanoparticles for prevention of bone tissue infections,</i> EMRS, 2017, May 22-26, Strasbourg, France Poster	<i>A. Visan, O.Fufa, C.Matei, M. Socol, G.Popescu-Pelin, R. C. Popescu, D. Savu, R. Cristescu, D.Craciun, G. Socol,</i>	2017	
137	<i>Doped BaTiO₃ 1D-nanostructures prepared by colloidal chemistry.</i> Poster number: EMA-WWP-005-2017. Electronic Materials and Applications 2017 conference (EMA 2017), January 18 - 20, 2017 at the Orlando, Florida, 'SYMPOSIUM 1: Advanced Electronic Materials: Processing, Structures, Properties and Applications - Poster	<i>C.A. Stanciu, A.C. Ianculescu, L.Trupina, M. Cernea, R. Trusca, B. S.Vasile, L. Pintilie</i>	2017	
138	<i>Introduction to Electron Microscopy</i> , CERIC Satellite Event at the NESY Winterschool 2017, 06.03.2017, Altaußsee, Austria – Invited	C. Ghica	2017	
139	<i>Correlative TEM and EPR studies of nanostructured ZnO films,</i> Conference of the Romanian Microscopy Society CREMS 2017, 16-18.05.2017, Sinaia, Romania – Poster	<i>D. Ghica, M. Stefan, C. Ghica, G. E. Stan,</i>	2017	
140	<i>Mn²⁺ ions distribution in doped sol-gel deposited ZnO films</i> , Romanian Electronic Microscopy Society Conference CREMS 2017, 16-18.05.2017, Sinaia, Romania – Poster	<i>A.V. Maraloiu, D. Ghica, M. Stefan, S.V. Nistor, R. Plugariu,</i>	2017	
141	Pumping station for TEM portmans Romanian Electronic Microscopy Society Conference CREMS 2017, 16-18.05.2017, Sinaia, Romania – Poster and prototype	<i>S. Bulat, D. Zernescu, R. F. Negrea, C. Ghica,</i>	2017	
142	<i>Microstructural characterization of BaTiO₃ nanoparticles using TEM techniques: the effects of post-synthesis treatments,</i> Romanian Electronic Microscopy Society Conference CREMS 2017, 16-18.05.2017, Sinaia, Romania - Poster	<i>I. D. Vlaicu, R. F. Negrea, V. A. Maraloiu, I. F. Mercioniu,</i>	2017	
143	<i>Electron microscopy investigations on ferroelectric domains in multiferroic (Pb_{1-3x}/2N_{dx})(Ti_{0.98-y}Fe_yMn_{0.02})O₃ ceramics,</i> Romanian Electronic Microscopy Society Conference CREMS 2017, 16-18.05. 2017, Sinaia, Romania - Poster	<i>B.S. Vasile, M. Cernea, R. Trusca,</i>	2017	
144	<i>HRTEM mapping of residual strain in epitaxial layers,</i> Romanian Electronic Microscopy Society Conference, CREMS 2017, 16-18.05.2017, Sinaia, Romania - Talk	<i>C. Ghica, R. F. Negrea, V. S. Teodorescu, C. F. Chirila, N. D. Scarisoreanu,</i>	2017	
145	<i>Tehnici de preparare a probelor TEM in stiinta materialelor,</i> Romanian Electronic Microscopy Society Conference, CREMS 2017, 16-18.05.2017, Sinaia, Romania - Poster	<i>A. Ion, C. Ghica,</i>	2017	
146	<i>Oxidation processes in NiCoCrAlY bond layers for Thermal Barrier Coatings investigated by XRD and SEM</i> , Romanian Electronic Microscopy Society Conference, CREMS 2017, 16-18.05.2017, Sinaia, Romania - Talk	<i>A. M. Vlaicu, I. Mercioniu, C. Ghica , V. Manoliu, A. Mihailescu, Gh. Ionescu,</i>	2017	

147	<i>TEM observation of oxidations processes in NiCoCrAlY bond layers for Thermal Barrier Coatings,</i> CREMS 2017, 16-18.05.2017, Sinaia, Romania - Talk	I.F. Mercioniu , A.M.Vlaicu, C. Ghica, V. Manoliu, A. Mihailescu, Gh. Ionescu,	2017	
148	<i>Crystal orientation and phase mapping in TEM,</i> CREMS 2017, 16-18.05.2017, Sinaia, Romania - Talk	A. Kuncser, I. Solodkyi, I. Bogomol, P. Loboda, P. Badica,	2017	
149	<i>Atomic scale resolved processes in strained epitaxial layers</i> 4th User Meeting of ARM Owner Group, Rouen, Franta, 20-21.06.2017, Invited	C. Ghica,	2017	
150	<i>Development and biocompatibility evaluation of photocatalytic graphene oxide/TiO₂-based nanoparticles co-doped with iron and nitrogen designed for self-cleaning purposes.</i> Abstract Book of the 8th European Conference on Nanotechnology (EuroNanoForum 2017), June 21-23, 2017, Valletta, Malta. http://euronanoforum2017.eu/poster-abstracts/ . Poster	C. I. Nica, M. S. Stan, I. Dumitrescu, L. Diamandescu, C. Chifiriuc, A. Dinischiotu,	2017	
152	<i>Manganese ions role in redirecting zinc hydroxide synthesis towards zinc oxide: responsibility or complicity?,</i> 9th International Conference on Advanced Materials , ROCAM 2017, 11-14 July 2017, Bucharest, Romania – Poster	I.D. Vlaicu, M. Stefan, D. Ghica, L.C. Nistor, S.V. Nistor, A.V. Maraloiu, A.C. Joita,	2017	
153	<i>The curious effect of the Mn ions on the doped Zn(OH)₂ synthesis,</i> 9th International Conference on Advanced Materials, ROCAM 2017, July 11-14, 2017, Bucharest, Romania – Talk	D. Ghica, I.D. Vlaicu, M. Stefan, L.C. Nistor, S.V. Nistor,	2017	
155	<i>CERIC project at the EPR facility from NIMP: EPR investigation of historical pigments,</i> 9th International Conference on Advanced Materials, ROCAM 2017, July 11-14, 2017, Bucharest, Romania – Talk	M. Stefan, D. Ghica, S. V. Nistor, S. Bellei, A. Nevin,	2017	
156	<i>ESR of irradiation point defects in pure and 17O doped Si-FZ single crystals at high doses of 3.5MeV electrons,</i> 9th International Conference on Advanced Materials, ROCAM 2017, July 11-14, 2017, Bucharest, Romania – Talk	A.C. Joita, S.V.Nistor, R. Radu, I. Pintilie,	2017	
157	<i>Microwave dielectric properties of (1-x)Bi_{0.5}Na_{0.5}TiO₃-xBaTiO₃ thin film,</i> 9th International Conference on Advanced Materials, ROCAM 2017, Bucharest, Romania, July 11-14, 2017 - Poster	V. Stancu, M. Cernea, V. Mihalache, L. Nedelcu, Mohamad Rammal,	2017	
158	<i>Advanced electron microscopy for advanced materials,</i> 9th International Conference on Advanced Materials, ROCAM 2017, Bucharest, Romania, 11-14.07.2017- Invited	C. Ghica	2017	
159	<i>Gas sensing performances towards H₂S detection with thin and thick Cu doped BaSrTiO₃ layers,</i> 9th International Conference on Advanced Materials, ROCAM 2017, Bucharest, Romania, 11-14.07.2017 - Poster	O.G. Florea, C.F. Ciobota, R.M. Piticescu, A. Stanoiu, C.E. Simion,	2017	
160	<i>A micromagnetic analysis of domain wall dynamics in high aspect ratio cylindrical Fe-Cu nanowires,</i> 9th International Conference on Advanced Materials, ROCAM 2017, Bucharest, Romania, 11-14.07.2017 - Poster	A. Kuncser, V. Kuncser, S. Antohe,	2017	

161	<i>The biocompatibility of new developed TiO₂-based photocatalytic nanoparticles on human skin and lung fibroblasts.</i> Abstract Book of the 3rd International Conference on Advances in Functional Materials (AFM 2017), p. 532. 14-17 August 2017, Los Angeles, USA. http://afm2017.functionalmaterials.org/wp-content/uploads/Consolidated-Abstract-Book-2017.pdf . Poster	<i>A. Dinischiotu, I. C. Nica, M. Stan, I. Dumitrescu, L. Diamandescu,</i>	2017	
162	<i>Structural and morphological evolution with temperature of zinc oxide doped with iron and neodymium,</i> 20 th Romanian International Conference on Chemistry and Chemical Engineering (RICCCE 2017), 6-9 September 2017, Poiana Brasov, Romania Poster	<i>R. Trusca, L. Diamandescu, V.A. Surdu,</i>	2017	
163	<i>Anelastic and dielectric characterization of the multiferroic perovskite (Pb_{1-3x/2}Nd_x)(Ti_{0.98-y}Fe_yMn_{0.02})O₃,</i> 18th. International Conference on Internal Friction and Mechanical Spectroscopy (ICIFMS-18), September 12-15, 2017. Foz do Iguaçu, Brazil - Poster	<i>F. Cordero, F. Craciun, M. Cernea, V. Fruth, I. Atkinson, N. Stanica, B. S. Vasile, L. C. Tanase, L. Diamandescu, C. Galassi,</i>	2017	
164	<i>Gas sensing properties of NiO/mesoporous SnO₂,</i> International Semiconductor Conference CAS 2017 Sinaia, Romania, October 11-14. 2017 - Talk	<i>A. Stanoi, S. Somacescu, C.E. Simion, Jose Maria Calderon-Moreno, O.G. Florea,</i>	2017	
165	<i>Gas sensing mechanism involved in H₂S detection with NiO loaded SnO₂ gas sensors,</i> International Semiconductor Conference CAS 2017 Sinaia, Romania, October 11-14, 2017- Talk	<i>C.E. Simion, O.G. Florea, A. Stanoi,</i>	2017	
166	<i>Challenges in doping nanocrystals: the case of Mn doped nano-ZnO,</i> 9th International Conference on Nanomaterials - Research & Application NANOCON 2017, Brno, Cehia, October 18 – 20, 2017 – Poster	<i>D. Ghica, M. Stefan, I. D. Vlaicu, L. C. Nistor, S. V. Nistor, A. C. Joita,</i>	2017	
167	<i>On the origin and chemical composition of the amorphous material from the intergrain region of nanostructured semiconductors,</i> 9th International Conference on Nanomaterials - Research & Application NANOCON 2017, Brno, Cehia, October 18-20, 2017 – Talk	<i>M. Stefan, I.D. Vlaicu, L.C. Nistor, D. Ghica, S.V. Nistor,</i>	2017	
168	<i>Influence of Calcium Content on Morpho-structural Properties of the Perovskite-type Structure Ba_{1-x}Ca_xTiO₃,</i> 9th International Conference on Nanomaterials - Research & Application NANOCON 2017, Brno, Cehia, October 18-20, 2017 - Poster	<i>I.D. Vlaicu, Marjeta Maček Kržmanec, Danilo Suvorov, A.V. Maraloiu, I.F. Mercioniu, R. F. Negrea, A.C. Kuncser, D. Ghica, M. Stefan, M.A. Vlaicu,</i>	2017	
169	<i>Microstructural and analytical investigations of SnO₂ nanowires for gas sensing applications,</i> 9th International Conference on Nanomaterials - Research & Application NANOCON 2017, 18-20 Octombrie 2017, Brno, Czech Republic – Poster	<i>V.A. Maraloiu, C. Ghica, D. Zappa, E. Comini,</i>	2017	
170	<i>Analytical TEM/STEM investigations of ion tracks in CaF₂: facts and doubts ,</i> 9th International Conference on Nanomaterials - Research & Application NANOCON 2017, Brno, Czech Republic, October 18-20, 2017 - Talk	<i>C. Ghica, R. F. Negrea, M. Karlušić, Z. Siketić, M. Jakšić, M. Schleberger, S. Fazinić,</i>	2017	
171	<i>Microstructural characterization of BNT-BT ferroelectric thin film by advanced TEM techniques,</i>	<i>C.M. Istrate, R.F. Negrea,</i>	2017	

	9th International Conference on Nanomaterials - Research & Application NANOCON 2017, Brno, Czech Republic, 18-20th of October 2017 - Poster			
172	<i>Study concerning oxidation processes of NiCoCrAlY bond layers for thermal barrier coatings,</i> 9th International Conference on Nanomaterials - Research & Application NANOCON 2017, Brno, Czech Republic, 18-20th of October 2017 - Poster	I. Mercioniu, A.M. Vlaicu, R. F. Negrea, C. Ghica,	2017	
173	<i>Micromagnetic analysis on lamellar vs. disperse structures of Fe nanoparticles in Au thin films,</i> 9th International Conference on Nanomaterials - Research & Application NANOCON 2017, Brno, Czech Republic, October 18-20, 2017 – Talk	A.C. Kuncser, A. Stanciu, A. Catrina, G. Schintei, V. Kuncser,	2017	
174	<i>Attempts to improve the self-cleaning effect of the textile materials</i> 8 TH TEXTEH INTERNATIONAL CONFERENCE, Bucharest, Romania, October 19-20, 2017. Poster	I.Dumitrescu, O.G.Iordache, C.E. Mitran, E.Varzaru, A. Chivu, L.C.Dinca, Arcadii Sobetkii, L. Diamandescu	2017	
175	<i>Magnetic properties in spin gapless semiconductors,</i> The 9 th International Conference on Advanced Materials, ROCAM, Bucharest, Romania, July 11-14., 2017. Talk	A. Birsan, V. Kuncser,	2017	
176	<i>Completely compensated ferrimagnetism in spin gapless semiconductors,</i> The 9 th International Conference on Advanced Materials, ROCAM, Bucharest, Romania, July 11-14, 2017. Poster	A. Birsan, V. Kuncser,	2017	
177	<i>Processing method and superconducting tape in MgB2 core metal sheath,</i> The “Designed in Romania” Research Salon, Bucharest, Romania October 25-27, 2017 (Patent request OSIM nr. A 00150/2016). Poster and prototype	M. Burdusel, G. V. Aldica, P. Badica,	2017	
178	<i>Processing method and superconducting tape in MgB2 core metal sheath,</i> European Exhibition of Creativity and Innovation, EUROINVENT, Iasi, Romania, May 25 – 27, 2017. Poster and prototype	M. Burdusel, G. V. Aldica, P. Badica,	2017	
179	<i>Critical current and pinning potential in nanostructured YBa₂Cu₃O₇ superconducting films grown by PLD,</i> European-Materials Research Society Spring Meeting (E-MRS2017) Strasburg, 21-26 Mai 2017. Talk	A.Crisan, I.Ivan, L. Miu,	2017	
180	<i>Non-centrosymmetric vortices in multi-component superconductors, Quantum physics in Complex Matter, Superconductivity, Magnetism and Ferroelectricity</i> (Superstripes 2017), Ischia, Italy, June 3-11 2017. Talk, invited)	A. Crisan,	2017	
181	<i>Improved critical current and pinning potential in YBa₂Cu₃O_x superconducting films with nanoengineered pinning centres with various architectures,</i> The 28-th Low Temperature Physics Conference, August 8-16, Goteborg, Suedia. Poster	A. Crisan, I. Ivan, L. Miu,	2017	
182	<i>Vortex Matter in the Isovalent Optimally Doped Pnictide Superconductor BaFe₂(As_{0.68}P_{0.32})₂,</i> 13 th Workshop on Magnetism and Superconductivity at nanoscale, Spania, Coma-Ruga, 1-7th of July 2017. (Talk, invited)	A. Crisan,	2017	
183	<i>Pinning potential in YBa₂Cu₃O₇ superconducting films with correlated and synergistic pinning centres,</i> 10-th Int. Conf. (Jub.) Vortex Matter in Nanostructured	A.Crisan, I. Ivan, L. Miu,	2017	

	<p>Superconductors, Kalithea, Rodos, Greece, 9-15th of September 2017. (Talk, invited)</p>			
184	<p><i>Nanotechnology of Pinning Centres in Superconducting Films for Clean Energy-saving Power Applications</i>, NANOTECH ME 2017, Dubai, EAU, 3-7 December 2017. Talk</p>	<p>A. Crisan, I. Ivan, L. Miu,</p>	2017	
185	<p><i>FeCoPtB as an innovative nanocomposite magnet for next generation renewable energy application</i>, 4th International Conference on Next Generation Computing and Communication Technologies ICNGCCT 2017, Dubai, E.A.U. Talk</p>	<p>O. Crisan, F. Vasiliu, A.D. Crisan, I. Mercioniu, A. Crisan, A. Leca,</p>	2017	
186	<p><i>Hard Magnetic Properties and Interlayer Exchange Coupling in Rare Earth – free FePtMn Layered Nanomagnets</i>, 16th International Materials Research Congress IMRC2017, Cancun, Mexico. Talk</p>	<p>O. Crisan, A.D. Crisan, I. Mercioniu, F. Vasiliu, A. Leca,</p>	2017	
187	<p><i>New concept for information storage in magnetic films exchange-coupled through non-magnetic layer</i>, IEEE 12th International Conference on Nano/Micro Engineered and Molecular Systems, NEMS 2017, Los Angeles, SUA Talk</p>	<p>O. Crisan, T. Klein, R. Rohlsberger, E. Burkel,</p>	2017	
188	<p><i>Alternative solutions for data storage using magnetic films exchange-coupled through non-magnetic layer</i>, 4th International Conference on Next Generation Computing and Communication Technologies ICNGCCT 2017, Dubai, E.A.U. Poster</p>	<p>A.D. Crisan, O. Crisan</p>	2017	
189	<p><i>Functional interfaces in W-Ti and W-V laminates</i>, 17th International Balkan Workshop on Applied Physics and Materials Science – IBWAP 2017, Constanta, Romania, July 11-14, 2017. Poster</p>	<p>M. Galatanu, M. Enculescu, G. Ruiu, C. Stancu, G. Dinescu, A. Galatanu,</p>	2017	
190	<p><i>High temperature thermo-physical properties of Cu-based thermal barrier composites</i>, 17th International Balkan Workshop on Applied Physics and Materials Science – IBWAP 2017, Constanta, Romania, July 11-14, 2017. Poster</p>	<p>M. Galatanu, M. Enculescu, G. Ruiu, A. Galatanu,</p>	2017	
191	<p><i>Thermophysical properties of W based plasma facing materials for fusion reactors</i>, 17th Conference on Plasma Physics and Applications, Magurele, Romania, June 15-20, 2017. Poster</p>	<p>M. Galatanu, M. Enculescu, G. Ruiu, A. Galatanu,</p>	2017	
192	<p><i>FAST brazing technology for multi-layered composite materials processing</i>, NUCLEAR 2017 -The 10th Annual International Conference on Sustainable Development through Nuclear Research and Education, Pitești, România, May 24-26, 2017. Talk</p>	<p>M. Galatanu, G. Ruiu, M. Enculescu, A. Galatanu,</p>	2017	
193	<p><i>Thermal barriers for DEMO W-monoblock divertor</i>, 16th International Conference on Plasma-Facing Materials and Fusion Applications, Duesseldorf/Neuss, Germany, May 15-19, 2017. Poster</p>	<p>M. Galatanu, M. Enculescu, G. Ruiu, B. Popescu, A. Galatanu,</p>	2017	
194	<p><i>Exchange bias effects in BFO/Fe type heterostructures</i>, Magnetism 2017, University of York, UK, 3-4 April 2017. Poster</p>	<p>S.G. Greculeasa, G. Schintie, L. Hrib, I. Pasuk, V. Kuncser,</p>	2017	
195	<p><i>Pinning force related parameters of the SPS Y₂O₃ doped MgB₂</i>, ESAS Summer School on Superconductivity, Grenoble-</p>	<p>M. Grigoroscuta, A.M. Ionescu, M. Burdusel, G. Aldica, P. Badica,</p>	2017	

	Lans en Vercours, Franta, 24 iunie – 1 iulie 2017. Poster			
196	<i>Origin of the second magnetization peak in iron-based superconductors,</i> ESAS Summer School on Superconductivity, Grenoble-Lans en Vercours, Franta, 24 iunie – 1 iulie 2017. Poster	A.M. Ionescu, D. Miu, A. Crisan, L. Miu,	2017	
197	<i>Magnetic properties of proton irradiated MgB₂,</i> Int. Conf. Of Physics Students, Torino, 7-14 august 2017. Poster	A.M. Ionescu, V. Sandu, L. Craciun, G. Aldica, L. Miu, A. Kuncser,	2017	
198	<i>Tuning magnetism and magneto-transport by cluster organization in Fe based nano-globular thin films,</i> MECAME 2017 Ierusalim, June 2017. Invited	V. Kuncser, A.E. Stanciu, A. Kuncser, A. Catrina, A. Leca and G. Schintieie,	2017	
199	<i>Mössbauer Spectroscopy and New Magnetic Aspects Revealed in Diluted Magnetic Systems,</i> ICAME 2017 Saint Petersburg, September2017. Invited	V. Kuncser, G.Schintieie, F.Tolea, A. Kuncser, N.Grecu, S.Constantinescu, S.Nistor, L.Nistor,	2017	
200	<i>New insights on magnetic interactions and related effects in diluted magnetic systems,</i> The 9 th International Conference on Advanced Materials, ROCAM, Bucharest, Romania, 11-14 th of July, 2017. Talk	V. Kuncser, G. Schintieie, F. Tolea, A. Kuncser, C. Ghica, L. Nistor, S. Nistor, N. Grecu,	2017	
201	<i>First Principles Study of CH₃NH₃PbI_{3-x}Cl_x – PbTiO₃ Heterostructures,</i> Workshop "Spin-orbit effects in molecules and solids: diversity of properties and computational precision" and the Tutorial "hands-on-FPLO", Dresden, Germany, November 13-17, 2017. Talk	N. Plugaru, G.A. Nemnes, L.D. Filip, I. Pintilie, L. Pintilie, K.T. Butler, and A. Manolescu,	2017	
202	<i>Self-organized magnetic clusters in Fe-Au granular thin films. Magneto-structural correlations and perspective for investigations with synchrotron radiation,</i> International Workshop on Materials Physics, second edition, Magurele, Romania, 16-17 Mai, 2017. Talk	A.E. Stanciu, A. Kuncser, A. Catrina, G. Schintieie, V. Kuncser,	2017	
203	<i>Non-collinear spin configurations and related magneto-transport effects in amorphous Fe-Gd thin films,</i> The European Conference Physics of Magnetism, Poznan, Polonia, 26-30th of June, 2017. Poster	A.E. Stanciu, A. Kuncser, A. Catrina, A. Leca, N. Iacob, O. Crisan, G. Schintieie, V. Kuncser,	2017	
204	<i>Magnetic and magnetoresistive properties of Fe-Au granular thin films in connection with self-organization phenomena,</i> The 9 th International Conference on Advanced Materials, ROCAM, Bucharest, Romania, 11-14th of July 2017. Talk	A.E. Stanciu, A. Kuncser, G. Schintieie, P. Palade, A. Leca, S.G. Greculeasa, A. Catrina, V. Kuncser,	2017	
205	<i>Cracks and Nanodroplets Produced on Tungsten Surface by Dense Plasma Jets,</i> 17th Conference on Plasma Physics and Applications, Magurele, Romania, June 15-20, 2017. Talk	A. Scurtu, N. Udrea, C. Luculescu, M. Galățanu, A. Galățanu, D. Ticoș, C.M. Ticoș,	2017	
206	<i>Impact of Dense Plasma Jets on Tungsten Surfaces,</i> IONS Balvanyos 2017, International OSA Network of Students, Balvanyos, Romania, 25-28 July 2017. Talk	A. Scurtu, N. Udrea, C. Luculescu, M. Galățanu, A. Galățanu, D. Ticoș and C.M. Ticoș,	2017	
207	<i>Cracks and Nanodroplets Produced on Tungsten Surface by Dense Plasma Jets,</i> 17th International Balkan Workshop on Applied Physics and Materials Science – IBWAP 2017, Constanta, Romania, 11-14, July, 2017. Talk	C.M. Ticoș, M. Galățanu, A. Galățanu, C. Luculescu, A. Scurtu, N. Udrea, D. Ticoș,	2017	

208	<i>Advanced X-ray imaging methods for characterization of plasma facing components structural integrity and operation,</i> EUROMAT 2017, Thessaloniki, Greece, September 17-22, 2017, Talk	<i>I. Tiseanu, A. Galatanu, T. Craciunescu, C. Dobrea, M. Lungu and A. Sima,</i>	2017	
-----	--	--	------	--

4.2.3. Lucrări publicate în alte publicații relevante:

Nr.	Titlul articolului	Numele Jurnalului, Volumul, Pagina nr.	Nume Autor	Anul publicării
1.	Gas sensing properties of NiO/mesoporous SnO ₂	IEEE Xplore Digital Library, DOI: 10.1109/SMICND.2017.8101166. Proceedings of International Conference of Semiconductors 2017 (CAS), 93-96 (2017) http://ieeexplore.ieee.org/document/8101166/	A. Stanoiu, S. Somacescu, C.E. Simion, Jose Maria Calderon-Moreno, O.G. Florea	2017
2.	Photoelectron spectroscopic and microspectroscopic probes of ferroelectrics	AIP Conference Proceedings 1916, 030001 (2017).	Liviu C. Tănase, Laura E. Abramiuc, Cristian M. Teodorescu	2017
3	Gas sensing mechanism involved in H ₂ S detection with NiO loaded SnO ₂ gas sensors	trimisa la publicare in ROMJIST nr. 4/2017	C.E. Simion, O.G. Florea, A. Stanoiu	2017
4	Surface Modification of III-V Compounds Substrates for Processing Technology, in Nanoscaled Films and Layers	Edited by Laszlo Nanai, ISBN 978-953-51-3143-4, InTech, London, U. K., DOI: 10.5772/65465 (2017).	Rodica V. Ghita, Constantin Logofatu, Constantin-Catalin Negrila, Lucian Trupina and Costel Cotirlan-Simioniu	2017
5	Powder-in-tube tapes of MgB ₂ In Fe-sheath processed by ex-situ Spark Plasma Sintering,	U.P.B. Scientific Bulletin, Series B 79 2, 155-172 (2017).	M. Burdusel, A. M. Ionescu, M. Grigoroscuta, D. Batalu, M. Enculescu, S. Popa, V. Mihalache, G. Aldica And P. Badica,	2017
6	Pinning-Enginnered YBa ₂ Cu ₃ O _x Thin Films.	„Vortices and Nanostructured Superconductors“, A. Crisan (ed.), Springer Series in Materials Science 261, DOI 10.1007/978-3-319-59355-5_2	Paolo Mele, Adrian Crisan and Malik I. Adam	2017

7	Behavior of the Second Magnetization Peak in Self-nanostructured $\text{La}_{2-x} \text{Sr}_x \text{CuO}_4$ Single Crystals.	„Vortices and Nanostructured Superconductors“, A. Crisan (ed.), Springer Series in Materials Science 261, DOI 10.1007/978-3-319-59355-5_6	Lucica Miu, Alina M. Ionescu, Dana Miu, Ion Ivan and Adrian Crisan,	2017
---	--	---	---	------

4.2.4. Studii, Rapoarte, Documente de fundamentare sau monitorizare care:**a) au stat la baza unor politici sau decizii publice:**

Tip document	Nr.total	Publicat în:
Hotărâre de Guvern	1	751/2017
Lege	0	
Ordin ministrului	0	
Decizie președinte	0	
Standard	0	
Altele (se vor preciza)	0	

b) au contribuit la promovarea științei și tehnologiei - evenimente de mediatizare a științei și tehnologiei:

Tip eveniment	Nr. apariții	Nume eveniment:
web-site	1	Salonul Cercetării
Emisiuni TV	0	
Emisiuni radio	0	
Presă scrisă/electronica	0	
Cărți	0	
Reviste	4	Market Watch
Bloguri	2	Contributors
Altele (se vor preciza) Workshopuri/Conferinte	3	IWMP ROCAM “Scoala Altfel”

4.3. Tehnologii, procedee, produse informatiche, rețele, formule, metode și altele asemenea:

Tip	2017
Tehnologii	5
Procedee	9
Produse informatiche	0
Rețele	0
Formule	12
Metode	6
Altele asemenea (se vor specifica)	

Din care:

4.3.1 Propunerile de brevete de invenție, certificate de înregistrare a desenelor și modelelor industriale și altele asemenea:

#	Titlu Brevet	Autori	Nr. Inregistrare	BOPI	Data_BOPI	Pagina_BOPI
1.	PRINTER PENTRU DEPUNEREA SUCCESIVĂ DE STRATURI ULTRA-SUBȚIRI CU PROPRIETĂȚI FIZICO-CHIMICE DIFERITE	ILIESCU MIHAIELA, LAZĂR MARIAN, PINTILIE IOANA, VLĂDĂREANU LUIGE, NECȘOIU TEODOR, STANCU VIORICA, TOMULESCU ANDREI GABRIEL, BEŞLEAGĂ-STAN CRISTINA, SIMA MARIAN, LEONAT LUCIA, ELENA MANUELA STANCIU, BRINDUȘ COMĂNESCU, ALEXANDRA VALENTINA ENUICĂ	A/00195	DA	8/30/2017	19
2.	OCHELARI CU METASUPRAFETE PLASMONICE FUNȚIONÂND CA ANALIZOR DE STĂRÎ DE POLARIZARE	COTÎRLAN-SIMIONUC COSTEL, RIZEA ADRIAN, MARIN COSNTANTIN	A/00167	-	-	-
3.	STRUCTURĂ FOTOSENSIBILĂ PE BAZĂ DE NANOCRISTALE DE GERMANIU IMERSATE ÎN DIOXID DE SILICIU PENTRU FOTODETECTORI ȘI PROCEDEU DE REALIZARE A ACESTORA	STAVARACHE IONEL, CIUREA LIDIA MAGDALENA, MĂRĂLOIU VALENTIN-ADRIAN, TEODORESCU VALENTIN ȘERBAN	A/00069	-	-	-
4.	STRUCTURĂ DE MEMORIE FEROELECTRICĂ CU MULTIPLE STĂRÎ DE MEMORARE ȘI METODĂ DE OBȚINERE	BONI GEORGIA ANDRA, CHIRILĂ CRISTINA, HRIB LUMINIȚA, PINTILIE IOANA, PINTILIE LUCIAN	A/00109	-	-	-
5.	PROCEDEU DE PREPARARE A LUMINOFORULUI $\text{BaCl}_2:\text{Eu}^{2+}$	SECU MIHAIL, SECU ELISABETA CORINA	A/ 00295	-	-	-
6.	MATERIAL MAGNETIC PE BAZĂ DE NANOPARTICULE DE NITRURĂ DE FIER ORDONATĂ CU STRUCTURĂ MARTENSITICĂ ȘI PROCEDEU DE OBȚINERE A LUI	COMĂNESCU CEZAR CĂTĂLIN, PALADE PETRU, KUNCSER ANDREI CRISTIAN, PLĂPCIANU CARMEN GABRIELA	A/00686	-	-	-
7.	REALIZAREA UNEI STRUCTURI FOTOACTIVE PE n-GaSb	GHIȚĂ RODICA, NEGRILĂ CONSTANTIN-CĂTĂLIN, LOGOFĂTU CONSTANTIN, MIHAI MARIA-DIANA, PREDOI DANIELA, STOICU MARIUS	A/00685	-	-	-
8.	PROCEDEU DE PREPARARE A LUMINOFORULUI LaOCl:RE^{3+} ($\text{RE}=\text{Ce}, \text{Tb}, \text{Eu}$)	SECU MIHAIL, SECU ELISABETA CORINA	A/00623	-	-	-

9.	PROCEDEU DE OBȚINERE A UNUI MATERIAL COMPOZIT BIOXID DE TITAN DOPAT CU FIER ȘI AZOT / OXID DE GRAFENĂ REDUS, CU ACTIVITATE FOTOCATALITICĂ EXTINSĂ ÎN DOMENIUL VIZIBIL	FEDER MARCEL, DIAMANDESCU LUCIAN CONSTANTIN, CERNEA MARIN, STERIAN GHEORGHE, DUMITRESCU IULIANA	A/00615	-	-	-
10.	METODĂ DE PROCESARE ȘI BANDĂ / FIR SUPRACONDUCTOARE ÎN TEACĂ METALICĂ UȘOARĂ CU MIEZ PE BAZĂ DE MgB ₂	MIHAI ALEXANDRU GRIGOROȘCUȚĂ, MIHAIL BURDUŞEL, GHEORGHE VIRGIL ALDICA, PETRE BĂDICĂ,	A/00589	-	-	-
11.	MEMORIE FEROELECTRICĂ CU CITIRE NEDISTRUCTIVĂ	BONI GEORGIA ANDRA, CHIRILĂ CRISTINA, HRIB LUMINIȚA, PINTILIE IOANA, PINTILIE LUCIAN	A/00226	-	-	-
12.	DETECTOR PIROELECTRIC PE BAZĂ DE CERAMICĂ CU GRADIENT PLANAR DE CONCENTRAȚIE ȘI AMPLIFICATOR UNIVERSAL DE SEMNAL PIROELECTRIC PENTRU MODUL DE LUCRU IN TENSIUNE	LUCIAN PINTILIE, IOANA PINTILIE, MIHAELA BOTEA, ALIN IUGA, MIHAI CIOCA, CARMEN ADELINA IANCULESCU, DRAGOS VASILE OFRIM, BOGDAN ALEXANDRU OFRIM, DRAGOS MIHAI OFRIM	A/00697	-	-	-
13.	BIOPANSAMENT PE BAZĂ DE HIDROXIAPATITĂ DOPATĂ CU ARGINT IN MATRICE DE COLAGEN	PREDOI DANIELA, GHÎȚĂ RODICĂ, ICONARU SIMONA-LILIANA, BEURAN MIRCEA, PRODAN ALINA MIHAELA, CHIFIRIUC MARIANA CARMEN	A/00769	-	-	-
14.	APLICAREA SPECTROSCOPIEI ULTRASONICE ÎN ANALIZA SUSPENSIILOR COLOIDALE CU ACCENT PE MATERIALELE BIOCOMPATIBILE	PREDOI DANIELA, ICONARU SIMONA- LILIANA, SOARE MARIAN, FLOREA NĂNESCU, DAN ADRIAN NICOLAEȚU, MOCANU AURA- CĂTĂLINA, PREDOI MIHAI VALENTIN, BEURAN MIRCEA, PRODAN ALINA MIHAELA	A/00768	-	-	-
15.	DISPOZITIV PENTRU MONITORIZAREA RESPIRAȚIEI	CRISTINA BEŞLEAGĂ STAN, VIOREL-GEORGEL DUMITRU	A/00851	-	-	-
16.	METODĂ DE REALIZARE A IMPLANTURILOR OSTEOINTEGRATIVE ACOPERITE CU STRATURI DE STICLĂ BIO-ACTIVĂ SINTETIZATE ÎN PLASMĂ MAGNETRON	STAN GEORGE, POPA ADRIAN-CLAUDIU, BESLEAGA STAN CRISTINA, DUMITRU VIOREL- GEORGEL, RADULESCU CATALIN	A/00909	-	-	-

17.	STRUCTURĂ FORMATĂ DIN DOUĂ STRATURI SUBȚIRI SUPRAPUSE DIN MATERIALE CU SCHIMBARE DE FAZĂ CU TREI STĂRI LOGICE DE MEMORIE	VELEA ALIN, GÂLCĂ AURELIAN-CĂTĂLIN, SOCOL GABRIEL, MIHAI CLAUDIA	A/00964	-	-	-
18.	STRUCTURA DE CAPACITOR PENTRU MEMORIE NEVOLATILA PE BAZA DE NANOCRISTALE DE GERMANIU IMERSATE IN DIOXID DE SILICIU	CIUREA LIDIA MAGDALENA, STAVARACHE IONEL, TEODORESCU VALENTIN SERBAN	A/00869 DIN 2015	DA	4/29/2016	4/2016 PAG. 40
19.	PROCEDEU DE OBTINERE DE MICRO SI NANOFIBRE POLIMERICE PRIN ELECTROSPINNING FOLOSIND MATERIALE TEXTILE PENTRU OBTINEREA DE JETURI MULTIPLE	EVANGHELIS ALEXANDRU IONUT, BUSUIOC CRISTINA, MATEI ELENA, ENCULESCU MARIA-MONICA, PREDA NICOLETA-ROXANA, FLORICA CAMELIA-FLORINA, COSTAS LILIANA-ANDREEA, OANCEA MIHAELA, ENCULESCU IONUT-MARIUS	A/00213 DIN 2014	DA	12/30/2016	12/2016 PAG. 25

4.4. Structura de personal:

Personal CD (Nr.)	2017
Total personal	265
Total personal CD	191
cu studii superioare	166
cu doctorat	136
doctoranzi	23

4.4.1 Lista personalului de cercetare care a participat la derularea Programului-nucleu:

Nr.	Nume și prenume	Grad	Functia	Echivalent normă întreagă	Anul angajării	Nr. Ore/2017 (nr ore1.952)
1	ALDEA ALEXANDRU-EMIL	CS I		0,04	1962	80
2	ALDICA GHEORGHE VIRGIL	CS I		0,23	1976	449
3	AMARANDE LUMINITA	CS III		1,00	1986	1952
4	APOSTOL NICOLETA	CS III		0,22	2006	433
5	BADICA PETRE	CS I		0,29	1996	575
6	BAIBARAC MIHAELA	CS I	Sef lab.	0,48	1995	932
7	BANCIU DOINA	EC		0,18	2015	344
8	BANCIU GABRIEL MARIAN	CS I		0,65	1989	1264
9	BARASCU JEAN NARCIS	ACS		0,15	2009	286
10	BARSAN ANCUTA	ACS		0,59	2005	1150
11	BARTHA (VALSANGIACOM) MARIA CRISTINA	CS		0,47	2002	925

12	BESLEAGA CRISTINA	ACS		0,33	2012	646
13	BOCIRNEA AMELIA ELENA	ACS		0,17	2013	337
14	BONI(IBANESCU) ANDRA GEORGIANA	ACS		0,33	2010	637
15	BORCA BOGDANA-LENUTA	CSIII		0,83	2015	1622
16	BOTEA MIHAELA	ACS		0,53	2012	1038
17	BRATU CRISTINA	EC		0,20	2006	396
18	BREAZU CARMEN STELIANA	ACS		0,92	2012	1797
19	BUCUR CRISTINA IOANA	ACS		0,25	2006	487
20	BUCUR IOANA	TEHN. II		0,77	1975	1496
21	BULAT STEFAN	ING.		0,50	2014	983
22	BURDUSEL MIHAIL	ACS		0,82	2011	1593
23	CATRINA ANDREI	ACS		0,62	2015	1209
24	CERNEA MARIN	CS II		0,79	2000	1542
25	CHIOIBASU MARIAN	TEHN.I		0,99	2007	1937
26	CHIRILA(DRAGOI) CRISTINA FLORENTINA	ACS		0,31	2008	604
27	CHIRITOI MIHAELA	EC		0,19	2005	368
28	CIOANGHER MARIUS CRISTIAN	CS		0,66	2001	1294
29	CIOBOTARU CONSTANTIN	ACS		1,00	2012	1952
30	CIOCA MIHAIL	ING.		0,15	2011	298
31	CIUREA LIDIA MAGDALENA	CS I		0,16	1973	308
32	COMANESCU CEZAR CATALIN	ACS		0,53	2011	1034
33	COSTAS ANDREEA	ACS		0,09	2012	170
34	COSTESCU MARIA RUXANDRA	CS III		0,25	2010	493
35	COTARLAN SIMIONUC COSTEL	ACS		0,61	2005	1197
36	CRISAN ALINA	CS III		0,34	2003	672
37	CRISAN IOAN ADRIAN	CS I		0,16	1987	317
38	CRISAN MIRELA	EC		0,23	2005	454
39	CRISAN OVIDIU	CS I		0,14	1993	269
40	CULEA LIVIU	THE		0,28	2011	544
41	DAESCU MONICA ALEXANDRA	ACS		0,58	2013	1139
42	DIAMANDESCU LUCIAN	CS I		0,29	1970	575
43	DICULESCU VICTOR	CSIII		0,02	2016	40
44	DINU ION VIOREL	CS III		0,61	2001	1184
45	DOBRE MARIAN	the		0,28	2010	544
46	DOBRESCU GABRIEL	ING.		0,19	2014	372
47	DOGARU DANIELA	ACS		0,65	2009	1271
48	DRAGOMIR RADU	ACS		0,60	2012	1168
49	DUMITRU VIOREL	CS		0,92	2017	1792

50	ENACHE TEODOR	CSIII		0,00	2017	0
51	ENCULESCU IONUT MARIUS	CS I	Dir.gen.	0,10	1995	200
52	ENCULESCU MARIA MONICA	CS I		0,02	1996	43
53	EVANGHELIDIS ALEXANDRU	ACS		0,08	2012	160
54	FILIP LUCIAN DRAGOS	CS III		0,61	2010	1199
55	FLOREA IOANA			0,28	1986	544
56	FLOREA OVIDIU GABRIEL	TEHN		0,97	2014	1885
57	FLORESCU VIORICA	TEHN. II		0,78	1983	1519
58	FLORICA CAMELIA FLORINA	ACS		0,00	2010	0
59	FRUMOSU (UNGUREANU) FLORICA	ACS		0,26	2004	512
60	Florea Mihaela	CS III		0,35	2017	691
61	FRUNZA LIGIA	CS I		0,00	1972	0
62	GALATANU ANDREI	CS I		0,55	1994	1080
63	GALATANU MAGDALENA	ACS		0,91	2008	1768
64	GALCA CATALIN AURELIAN	CS III		0,54	2006	1047
65	GANEA CONSTANTIN PAUL	CS		1,00	2007	1944
66	GARTNER PAUL	CS I		0,77	1971	1500
67	GASPAR DALMA	TEHN. II		0,91	1990	1778
68	GAVRILA ALEXANDRU	SUBING.		0,90	1979	1755
69	GEAMBASU CEZAR DRAGOS	TEHN I		0,91	2010	1778
70	GHEORGHE ION	TEHN I		0,29	1985	560
71	GHICA CORNELIU	CS I	Sef lab.	0,43	1994	846
72	GHICA DANIELA	CS III		0,34	1998	655
73	GHITA IRINA SORINA	ACS		1,00	2008	1952
74	GHITA RODICA	CS III		0,46	1983	889
75	GRECULEASA(SANDU)SIMONA GABRIELA	ACS		0,74	2010	1443
76	GRIGOROSCUT MIHAI ALEXANDRU	ACS		0,74		1442
77	HOLDEAN GILDA	TEHN. II		0,92	1988	1802
78	HRIB LUMINITA	CS		0,72	2012	1405
79	HUSANU MARIUS ADRIAN	CS III		0,28	2006	553
	IACOB NICUSOR	ING.		0,33	2017	646
80	ICONARU SIMONA LILIANA	ACS		0,67	2010	1317
81	ILIE MIRELA	ACS		0,53	2012	1033
82	ION ANTON	TEHN. I		0,51	1983	1005
83	IONESCU MARILENA ALINA	ACS		0,76		1486
84	IUGA ALIN	CS III		0,77	1987	1500
85	ISTRATE MARIAN	ACS		0,67	2016	1309

86	IVAN ION	CS		0,18	2006	352
87	JELEA ELENA	EC		0,20	1980	396
88	JOITA ALEXANDRA CAMELIA	ACS		0,21	2012	416
89	KUNCSER ANDREI	ACS		0,52	2012	1012
90	KUNCSER VICTOR	CS I	Sef lab.	0,26	1990	508
91	LAZANU SORINA	CS I		0,34	1984	654
92	LECA AUREL	ING.		0,64	2011	1256
93	LEONAT LUCIA	CSIII		0,82	2016	1608
94	LEPADATU ANA MARIA	CS III		0,40	2006	777
95	LOGOFATU CONSTANTIN	CS III		0,74	1993	1449
96	LORINCZI ADAM	CS III		0,78	1995	1530
97	LUNGU GEORGE ADRIAN	CS		0,48	2002	935
98	LUTEA ION	TEHN. I		0,84	1985	1640
99	MARALOIU VALENTIN ADRIAN	ING.		0,38	2004	734
100	MATEA ADELINA	ACS		0,53	2012	1040
101	MATEI ELENA	CS		0,01	2006	19
102	MERCIONIU IONEL	ING.		0,48	2004	934
103	MICLEA CORNELIU FLORIN	CS III		0,63	1997	1220
104	MIHAI MIHAIL	ING.		0,20	2015	396
105	MIHALACHE VALENTINA	CS III		1,00	2000	1952
106	MIHALCEA MANDA	TEHN. I		0,00	1977	0
	MIHALCEA GHEORGHE	TEHN. I		0,20	2009	384
107	MIU LUCICA	CS I		0,13	1977	246
108	MOLDOVEANU VALERIU	CS II	Sef lab.	0,38	1990	743
109	MOZACEANU CRISTINA	ACS		0,37	2016	727
110	NEATU FLORENTINA	CSIII		0,29	2017	567
111	NEATU STEFAN	CSIII		0,49	2014	965
112	NEDELCU LIVIU	CS III		0,72	2002	1402
	NEGREA(DAMIAN) RALUCA	ACS		0,37	2010	721
113	NEGRILA CONSTANTIN CATALIN	CS III		0,58	2001	1136
114	NILA ANDREEA ALEXANDRA	ACS		0,54	2013	1055
115	NISTOR LEONA CRISTINA	CS I		0,26	1969	504
116	NISTOR SERGIU VASILE	CS I		0,35	1964	680
117	NITA MARIAN	CS III		0,90	1995	1749
118	NITU VICTOR			0,28	2007	544
119	OANCEA(BEREGOI)MIHAELA	ACS		0,10		186
120	ONEA MELANIA	ACS		0,25	2016	488
121	OSTAHIE BOGDAN	ACS		0,34	2010	656
122	PALADE CATALIN	ACS		0,36	2010	701
123	PALADE PETRU	CS III		0,48	1995	936

125	PALICI ALEXANDRA	ACS		0,71	2016	1379
126	PASUK IULIANA	CS III		0,59	2006	1143
127	PENCU MARIN	MDP		0,61	2006	1187
128	PINTILIE IOANA	CS I		0,36	1985	695
129	PINTILIE LUCIAN	CS I		0,10	1987	196
130	PINTILIE TEODORA	ACS		0,26	2015	512
131	PLUGARU NECULAI	CS I		0,81	1983	1582
132	POLOSAN SILVIU	CS II		0,87	1993	1690
133	POPA CLAUDIU	ACS		0,04	2011	72
134	POPESCU ADRIAN TEODOR	TEHN II		0,95	1989	1848
135	POPESCU BOGDAN	CS		0,51	2002	995
136	POPESCU TRAIAN	ACS		0,72	2009	1397
137	PREDA NICOLETA ROXANA	CS III		0,03	2000	66
138	PREDOI DANIELA	CS I		0,56	1994	1088
139	PUIU MIRCEA CRISTIAN	TEHN. I		0,20	1976	396
140	RADU CRISTIAN	ACS		0,50	2016	976
141	RADU OVIDIU CRISTIAN	EC		0,46	2012	904
142	RADU ROXANA	ACS		0,26	2008	507
143	RADU(Ciobotaru) IULIA	ACS		1,00	2010	1952
144	RADULESCU CATALIN	TEHN. I		0,62	2006	1203
145	RADULESCU MARIA	TEHN. II		0,93	1981	1808
146	Rusu Dorin	ACS		0,43	1981	830
147	RUIU GEORGE	TEHN		0,01	2006	24
148	SANDU VIOREL CONSTANTIN	CS I		0,30	1979	589
149	SAVA FLORINEL	CS		0,79	1994	1543
150	SCHINTEIE GABRIEL	CS		0,58	2001	1124
151	SECU CORINA	CS III		0,77	1996	1496
152	SECU MIHAI	CS I		0,62	1992	1212
153	SIMA MARIAN	CS II		0,95	1983	1848
154	SIMA MARIANA	CS		0,97	2006	1903
155	SIMANDAN IOSIF DANIEL	ACS		0,69	2009	1352
156	SIMION CRISTIAN	CS		0,86	2005	1687
157	SLAV ADRIAN	CS		0,38	2002	735
158	SMARANDA ION	ACS		0,54	2009	1063
159	SOARE PETRE	TEHN. I		0,26	2014	512
160	SOCOL MARCELA	CS III		0,92	2001	1803
161	SOFRONIE MIHAELA	ACS		0,75	2000	1456
162	STAN ELENA	TEHN II		0,44	1980	853
163	STAN GEORGE	CS II		0,36	2005	703
164	STANCIU ANDA ELENA	ACS		0,74	2014	1442
165	STANCIU STEFAN	ACS		0,61	2016	1192
166	STANCU MARIA	ING.		0,20	2017	384
167	STANCU VIORICA	CS III		0,58	2001	1139
168	STANCULESCU ANCA IOANA	CS II		0,96	2001	1878

169	STANOIU (TOMESCU) ADELINA	CS II		0,84	1983	1647
170	STAVARACHE IONEL	CS III		0,53	2003	1037
171	STEFAN MARIANA	CS II		0,81	1991	1587
172	STERIAN GHEORGHE	Sing		0,78	2010	1531
173	STROE MALVINA	ACS		0,05	2008	96
174	STOICU ALEXANDRU	TEHN. I		0,91	2011	1779
175	STOICU CORNELIA	TEHN. II		0,85	1981	1661
176	TACHE CRISTIAN	ING.		0,81	2011	1576
177	TANASE LIVIU	ACS		0,20	2012	390
178	TANCU ELENA	TEHN.I		1,00	2006	1952
179	TEODORESCU CRISTIAN-MIHAIL	CS I		0,15	1990	284
180	TEODORESCU VALENTIN	CS I		0,26	1971	504
181	TOLEA FELICIA	CS		0,49	2001	954
182	TOLEA MUGUREL	CS III		1,00	2001	1952
183	TOMA VASILICA	SUBING.		0,61	1986	1193
184	TOMULESCU ANDREI	ACS		0,18	2013	344
185	TRINCA LILIANA MARINELA	ACS		0,52	2011	1016
186	TRUPINA LUCIAN	CS		0,48	1996	939
187	TUDOR EUGEN PETRU	TEHN		0,64	2012	1246
188	UNGUREANU AUREL	TEHN I		0,20	2007	384
189	VALEANU MIHAELA	CS I		0,18	1972	357
190	VANTUR DOINA	TEHN. II		0,34	1995	656
191	VELEA ALIN	CS		0,82	2007	1606
192	VLAICU AUREL MIHAI	CS III		0,67	1992	1301
193	VLAICU IOANA DORINA	ACS		0,45	2011	883
194	ZGURA IRINA IONELA	CS III		1,00	2001	1944
TOTAL						191816

* Se vor specifica numărul de ore lucrate în fiecare dintre anii de derulare ai Programului Nucleu, prin inserarea de coloane

4.5. Infrastructuri de cercetare rezultate din derularea programului-nucleu. Obiecte fizice și produse realizate în cadrul derulării programului; colecții și baze de date conținând înregistrări analogice sau digitale, izvoare istorice, eșantioane, specimene, fotografii, observații, roci, fosile și altele asemenea, împreună cu informațiile necesare arhivării, regăsirii și precizării contextului în care au fost obținute:

Nr.	Nume infrastructură AN 2017	Data achiziției	Valoarea achiziției (lei)	Sursa finanțării	Valoarea finanțării infrastructurii din bugetul Progr. Nucleu	Nr. Ore-om de utilizare a infrastructurii pentru Progr. Nucleu
1	Masa rotativa telwin	12.09.2017	4.700,50	NUCLEU	4.700,50	
2	Generator	10.11.2017	59.532,05	NUCLEU	59.532,05	

3	Echipament de spectroscopie de rezonanta a plasmonilor de suprafata cu detectie optica si electrochimica	16.11.2017	605.710,00	NUCLEU +POC 27	189.284,37	
4	Compresor heliu	22.11.2017	150.485,02	NUCLEU	150.485,02	
5	Linie de recuperare atmosferica incluzand circuitele de conectare	22.11.2017	76.896,61	NUCLEU	76.896,61	
6	Instalatie de producerea filmelor subtiri	21.11.2017	21.908,23	NUCLEU	10.944,09	
7	Sistem complex electric/electromecanic de testare a proprietatilor mecanice	28.11.2017	1.088.850,00	NUCLEU +POC 28	340.265,63	
8	Cuptor cu incalzire zonală prin iluminare ultraintensă	29.11.2017	900.000,00	NUCLEU +POC 28	281.250,19	
9	Osciloscop digital cu 2 canale	04.12.2017	6.158,25	NUCLEU	6.158,25	
10	Sistem citire axe freza CNC Wabeco	04.12.2017	16.779,86	NUCLEU	16.779,86	
11	Scrubber pentru echipamentul MC-050 Annealsys	04.12.2017	152.918,06	NUCLEU	152.918,06	
12	Etuva cu vacuum model VO400	04.12.2017	50.320,34	NUCLEU	50.320,34	
13	Rotaevaporator hei-vap silver 2	04.12.2017	15.113,00	NUCLEU	15.113,00	
14	Spectrometru Raman portabil	04.12.2017	83.181,00	NUCLEU + ID 177	24.567,00	
15	Pompa vid uscata Scroll nXDS10i cu accesoriu	04.12.2017	49.894,32	NUCLEU	49.894,32	
16	Freza de banc CNC WABECO	04.12.2017	37.417,40	NUCLEU	37.417,40	
17	Strung WABECO CNC	04.12.2017	62.582,61	NUCLEU	62.582,61	
18	Numarator portabil de particule Fluke 985	04.12.2017	27.223,37	NUCLEU	27.223,37	
19	Chiller Cha/Clk 51	05.12.2017	22.512,42	NUCLEU	22.512,42	
20	Chiller Cha/Clk 21	05.12.2017	16.172,10	NUCLEU	16.172,10	
21	Cromatograf de lichide de ultra inalta presiune	12.12.2017	1.475.421,50	NUCLEU +POC 27	491.807,17	
22	Difractometru de raze X de inalta rezolutie si intensitate ridicata a fasciculului	18.12.2017	2.243.797,36	NUCLEU	2.243.797,36	
23	Analizzor electroni geometrie cilindrica	19.12.2017	157.671,43	NUCLEU +ELI 18	102.170,94	
24	Tun de ioni	19.12.2017	70.536,06	NUCLEU	70.536,06	
25	Picoampermetru	19.12.2017	17.070,55	NUCLEU	17.070,55	
26	Electronica de control	19.12.2017	89.252,38	NUCLEU	89.252,38	
27	Sistem alimentare gaze	19.12.2017	157.675,00	NUCLEU	157.675,00	
TOTAL 2017			7.659.779,42		4.767.326,65	

5. Rezultatele Programului-nucleu au fundamentat alte lucrări de cercetare:

	Nr.	Tip
--	-----	-----

Proiecte internaționale	11	<i>Ex. Orizont 2020, Bilateral, EUREKA, COST, etc.</i>
Proiecte naționale	60	<i>Ex. PNCDI III, etc.</i>

Au mai fost depuse urmatoarele aplicatii :

- 7, in calitate de coordonator, la PCCDI
- 19 la TE
- 16 la PD
- 2, in calitate de coordonator, la PCCF
- 1 la IFA-CERN

6. Rezultate transferate în vederea aplicării :

Tip rezultat	Instituția beneficiară (nume instituție)	Efecte socio-economice la utilizator
<i>Ex. tehnologie, studiu</i>	<i>nume IMM/institutie</i>	

Listă contractelor economice incheiate in anii 2016-2017 prin care s-a valorificat expertiza dobândita în cadrul programului Nucleu

2016

	Beneficiar	Val. Contract fara TVA	Val. Contract cu TVA	Numar si data contract, comanda	Termen	Denumire
1	S.C. ZENTIVA S.A.	10,383.96	12,876.11	Ctr. 1139 / 18.07.2014 (CW245056 / 2014) - Act.adit.la cw 245056 / 4700306236/07.12.2015	18.07.2017	Difractie de raze X(XRD)
2	ELENA MODCOM	12,600.00	15,330.00	Comanda259/02.10.2015	31.12.2016	Recond. traductoare piezoceramice
3	I.N.F.L.P.R.	val.in functie	de probe	Ctr.2896/24.11.2015	30.09.2017	Masuratori prin FEG-SEM si de raze X
4	R.A.T.E.N.P ITESI	7,800.00	9,672.00	Ctr.1453/29.05.2015	?????	Realiz. seturi de matriita
5	ALFA CANTAUR SRL	1,250.00	1,500.00	Ctr.127/25.01.2016	25.02.2016	Mas. termoluminescenta si dateare arhe
6	I.C.F.Ilie Murgulesc	41,666.67	50,000.00	Ctr.215/02.02.2016 act additional1469/26.08.2016	15.11.2016	Confectionarea a 50 electrozi GaAs(hkl) si analizarea lor
7	SC Dragan Medical	4,500.00	5,400.00	Ctr.315/15.02.2016	15.03.2016	masuratori de tensiune si densita
8	Sara Pharm SRL	3,150.00	3,780.00	Ctr.131/25.01.2016	16.02.2016	efect. Analizelor de spectroscopie
9	INFLPR	5,833.33	7,000.00	Ctr.652/05.04.2016	06.05.2016	caract. Legaturilor chimice prin XPS
10	INFLPR	5,833.33	7,000.00	Ctr.786/28.04.2016	15.07.2016	difracție raze X GIXRD
11	INFLPR	2,500.00	3,000.00	Ctr.1360/16.05.2016	24.06.2016	masutatori pt. leg.chimice XPS
12	INFLPR	5,000.00	6,000.00	Ctr.1026/09.06.2016	01.09.2016	det. Prop. Mag.pe baza de TiO2
13	I.N.F.L.P.R.	4,166.66	5,000.00	Ctr.1291/22.07.2016	30.08.2016	Caract. prin XPS si analiza probelor
14	ELJ Automotive S.A.	1,200.00	1,440.00	Comanda2073/03.08.2016	31.08.2016	confecț. Traductor piezoel. Cu vibratii

15	Fileo Buildup	6,666.67	8,000.00	Ctr.2016-01/30.08.2016	31.08.2016	teste DSC,EDS
16	INFLPR	4,165.00	4,998.00	Ctr.1758/04.10.2016	15.10.2016	masuratori XPS
17	INFLPR	16,666.67	20,000.0	Ctr.1789/07.10.2016	13.10.2016	microscopie electronica cu baleaj
18	Electromagnetica	2,800.00	3,360.0	Com.00025023/03.10.2016	30.11.2016	analize termice
19	INFLPR	8,333.33	10,000.00	ctr.2009/09.11.2016	30.11.2016	Masuratori difractie raze X
20	INFLPR	8,333.33	10,000.00	Ctr.2010/09.11.2016	15.12.2016	Masuratori difractie raze X
21	U.P.B.	2,000.00	2,400.00	Ctr.1799/10.10.2016	30.11.2016	Analize de spectroscopie
22	U.P.B.	1800	2160.00	Ctr.1943/01.11.2016	30.11.2016	analize termogravimetrie
23	I.N.F.L.P.R.	11,305.00	13,566.00	Ctr.2039/14.11.2016	15.12.2016	masuratori prin metoda XPS
24	U.P.B.	600.00	720.00	Ctr.1937/01.11.2016	15.12.2016	Analize de spectroscopie
25	ACTAVIS SRL	7900	9480	com.1610-2635;1611-2748/03.11.2016	30.11.2016	Masuratori XPS
26	Electromagnetica	3500	4,200	Com. 1985/04.11.2016	30.12.2016	analize termice
14	ACTAVIS SRL	9015	10818	Com.1611-2940-2025/24.11	31.12.2016	masuratori SEM
		188,968.95	227,700.11	TOTAL:		

2017

	Beneficiar	Val. Contract fara TVA	Val. Contract cu TVA	Numar si data contract, comanda	Termen	Denumire
1	ALL GREEN SRL	115,000.00	136,850.00	Ctr.2356/28.12.2016	27.02.2017	nano-pulberi
2	Automotive S.A.	1,280.00	1,523.20	Com.167/01.02.2017	01.03.2017	traductor piezoelectric
3	SARA PHARM	5,600.00	6,664.00	CTR.448/09.03.2017	17.03.2017	analize spectros
4	INTELECTRO IASI	109,000.00	129,710.00	CTR.420/06.03.2017	06.05.2017	dispersare grafen
5	I.N.F.L.P.R.	4,201.68	5,000.00	CTR.898/08.05.2017	12.05.2017	difractie raze X
6	Automotive S.A.	1,290.00	1,535.10	Com.1073/30.05.2017	19.06.2017	traduct. piezoel.
7	INTER-NET SRL	4,855.77	5,778.36	Com.1137/19.06.2017	30.06.2017	HELIU 63L
8	SARA PHARM	2,600.00	3,094.00	CTR.1160/22.06.2017	30.07.2017	FTIR ; RAMAN
9	INFLPR	6,499.50	7,734.42	Com.2297/10.07.2017	30.07.2017	
10	AUTOMOTIVE	1,280.00	1,523.20	Com.1221/27.06.2017	30.07.2017	Trad.piezoelect.
11	MEFIN SA	10000	11900	Com.2436/11.08.2017	31.12.2017	traduct.ultrasun.
12	Intelectro Iasi	116,800.00	138,992.00	CTR.1385/27.07.2017	27.09.2017	Mat.ceramice
13	INTELECTRO IASI	114,000.00	135,660.00	CTR.1428/01.08.2017	01.10.2017	compoz.SEM,AF
14	INCEMC TIMISOAR	3,865.55	4,600.00	Com.1466/08.08.2017	30.09.2017	mas.ZFC-FC
15	SC.ALL GREEN SRL	99,000.00	117,810.00	Ctr.1167/30.06.2017	30.10.2017	nano-compozite
16	I.N.F.L.P.R.	5,950.00	7,080.50	ctr.1897/22.09.2017	30.10.2017	masuratori XPS
17	CORE METALIAT	194.00	194.00	CASARE AUTO CIELO		casare CIELO

18	I.N.F.L.P.R.	33,613.45	40,000.00	Com.1713/200/21.09.2017	30.10.2017	Mas.SEM
19	I.N.F.L.P.R.	3,865.54	4,600.00	CTR.918/09.05.2017 Act.adit.1653 / 28.08.2017	30.08.2017; 30.10.2017	caracterizare XPS
20	INCDIE ICPE-CA	12,876.80	15,323.40	Com.123/27.09.2017	30.10.2017	HE Lichid 128I
21	R.A.T.E.N.Pitesti	10,000.00	11,900.00	Ctr.2132/29.11.2016	31.10.3017	sintetizare
	TOTAL:	661,772.29	787,472.18			
	Beneficiar	Val. Contract fara TVA	Val. Contract cu TVA	Numar si data contract, comanda	Termen	Denumire
1	ABB Switzerland	1500 euro		Quotation I30/27.01.2017		
2	ABB Switzerland	250 euro		Quotation 658/30.03.2017		
	TOTAL:	1750				

7. Alte rezultate: (a se specifica, dacă este cazul).

Premii la targuri si expoziții

Salon International	Premiu	Inventie	Inventatori
PRO INVENT 2017	DIPLOMA DE EXCELENȚA SI MEDALIA DE AUR	METODA DE OBTINERE A HIDROXIAPATITEI DOPATA CU ZINC IN MATRICE DE COLAGEN CU APlicatii BIOMEDICALE	D. PREDOI, S. C. CIOBANU, R. GHITA, C. L. POPA
	DIPLOMA DE EXCELENȚA SI MEDALIA DE AUR	METODA DE OBTINERE A NANOHIDROXIAPATITEI IN MATRICE DE SILICIU PENTRU APlicatii DE MEDIU	D. PREDOI, S. C. CIOBANU, R. GHITA, C. L. POPA, S. ICONARU
	DIPLOMA DE EXCELENȚA SI MEDALIA DE AUR	STRUCTURA DE CAPACITOR PENTRU MEMORIE NEVOLATILA PE BAZA DE NANOCRISTALE DE GERMANIU IMERSATE IN DIOXID DE SILICIU SI PROCEDEU DE REALIZARE A ACESTUIA	M. L. CIUREA, I. STAVARACHE, V. S. TEODORESCU
	DIPLOMA DE EXCELENȚA SI MEDALIA DE AUR	BARIERE TERMICE METALICE PE BAZA DE Cu, CU CONDUCTIBILITATI TERMICE ASEMANATOARE IZOLATORILOR	M. GALATANU, G. RUIU, M. ENCULESCU, A. GALATANU
	DIPLOMA DE EXCELENȚA (ASOCIAȚIA "JUSTIN CAPRA")	METODA DE OBTINERE A NANOHIDROXIAPATITEI IN MATRICE DE SILICIU PENTRU APlicatii DE MEDIU	D. PREDOI, S. C. CIOBANU, R. GHITA, C. L. POPA, S. ICONARU
EUROINVENT 2017	GOLD MEDAL	METALLIC Cu-based THERMAL BARRIERS WITH INSULATOR LOKE THERMAL CONDUCTIBILITY	M. GALATANU, G. RUIU, M. ENCULESCU, A. GALATANU
	GOLD MEDAL	PROCESSING METHOD AND POWER-IN-A-METAL-SHEATH SUPERCONDUCTING MgB2-BASED TAPE	MIHAIL BURDUSEL, GHEORGHE VIRGIL ALDICA, PETRE BADICA
	GOLD MEDAL	METHOD OF OBTAINING ZINC DOPED HYDROXYAPATITE IN COLLAGEN MATRIX WITH BIOMEDICAL APPLICATIONS	PREDOI DANIELA, CIOBANU STELUTA CARMEN, GHITA V. RODICA, POPA CRISTINA LIANA

	GOLD MEDAL	PASSIVATION PROCEDURE OF III-V SEMICONDUCTOR SURFACES AND THE OBTAINING OF A SENSITIVE STRUCTURE TYPE GaCl ₃ -Sb ₂ S ₃ /GasB	GHITA RODICA, FRUMOSU FLORICA, DR. LOGOFATU CONSTANTIN, PREDOI DANIELA, NEGRILA CATALIN-CONSTANTIN, TRUPINA LUCIAN
	SILVER MEDAL	PRINTER FOR SUCCESIVE DEPOSITION OF ULTRA-THIN FILMS WITH DIFFERENT PHYSICAL-CHEMICAL PROPERTIES	ILIESCU MIHAIELA, LAZAR MARIAN, IOANA PINTILIE, VLADAREANU LUIGE, NECSOIU TEODOR, STANCU VIORICA, TOMULESCU ANDREI GABRIEL, BESLEAGA STAN CRISTINA, SIMA MARIAN, LEONAT LUCIA NICOLETA, ELENA MANUELA STANCIU, BRINDUS COMANESCU, ALEXANDRA VALENTINA ENUICA
	SILVER MEDAL	METHOD OF OBTAINING NANO-HYDROXYAPATITE IN SILICON MATRIX FOR ENVIRONMENTAL APPLICATIONS	PREDOI DANIELA, CIOBANU STELUTA CARMEN, GHITA V. RODICA, POPA CRISTINA LIANA
	SILVER MEDAL	GOGGLES WITH PLASMONIC METASURFACES THAT OPERATES AS POLARIZATION STATE ANALYZER	COSTEL COTIRLAN-SIMIONUC, ADRIAN RIZEA, CONSTANTIN MARIN
	BRONZE MEDAL	OBTAINING OF OXIDE COMPOUNDS ON n-GaSb SURFACE	GHITA RODICA, LOGOFATU CONSTANTIN, NEGRILA CATALIN-CONSTANTIN, FRUMOSU FLORICA, PREDOI DANIELA
	BRONZE MEDAL	FERROELECTRIC MEMORY STRUCTURE WITH MULTIPLE MEMORY STATES AND FABRICATION METHOD	GEORGIA ANDRA BONI, CHIRILA CRISTINA, LUMINITA HRIB, PINTILIE IOANA, PINTILIE LUCIAN
	MEDALIA DE ARGINT A UNIVERSITATII STEFAN CEL MARE DIN SUCEAVA	FERROELECTRIC MEMORY STRUCTURE WITH MULTIPLE MEMORY STATES AND FABRICATION METHOD	GEORGIA ANDRA BONI, CHIRILA CRISTINA, LUMINITA HRIB, PINTILIE IOANA, PINTILIE LUCIAN
	DIPLOMA DE EXCELENȚA CADET INOVA	PROCESSING METHOD AND POWER-IN-A-METAL-SHEATH SUPERCONDUCTING MgB ₂ -BASED TAPE	MIHAIL BURDUSEL, GHEORGHE VIRGIL ALDICA, PETRE BADICA
	DIPLOMA DE EXCELENȚA CORNELIU GROUP	PRINTER FOR SUCCESIVE DEPOSITION OF ULTRA-THIN FILMS WITH DIFFERENT PHYSICAL-CHEMICAL PROPERTIES	ILIESCU MIHAIELA, LAZAR MARIAN, IOANA PINTILIE, VLADAREANU LUIGE, NECSOIU TEODOR, STANCU VIORICA, TOMULESCU ANDREI GABRIEL, BESLEAGA STAN CRISTINA, SIMA MARIAN, LEONAT LUCIA NICOLETA, ELENA MANUELA STANCIU, BRINDUS COMANESCU, ALEXANDRA VALENTINA ENUICA
	DIPLOMA SI MEDALIE HALLER PRO INVENTIO FOUNDATION	OBTAINING OF OXIDE COMPOUNDS ON n-GaSb SURFACE	GHITA RODICA, LOGOFATU CONSTANTIN, NEGRILA CATALIN-CONSTANTIN, FRUMOSU FLORICA, PREDOI DANIELA
	SPECIAL PRIZE SI CUPA		NATIONAL INSTITUTE OF MATERIALS PHYSICS

Premii ale Academiei Romane

Premiul Radu Grigorovici pentru anul 2015 (decernate in 2017):

Grupul de lucrări: *"Proprietăți structurale în straturi epitaxiale oxidice, nanostructuri și nanocompozite"*

autori: **Raluca NEGREA, Cristina CHIRILĂ și Georgia BONI**

și

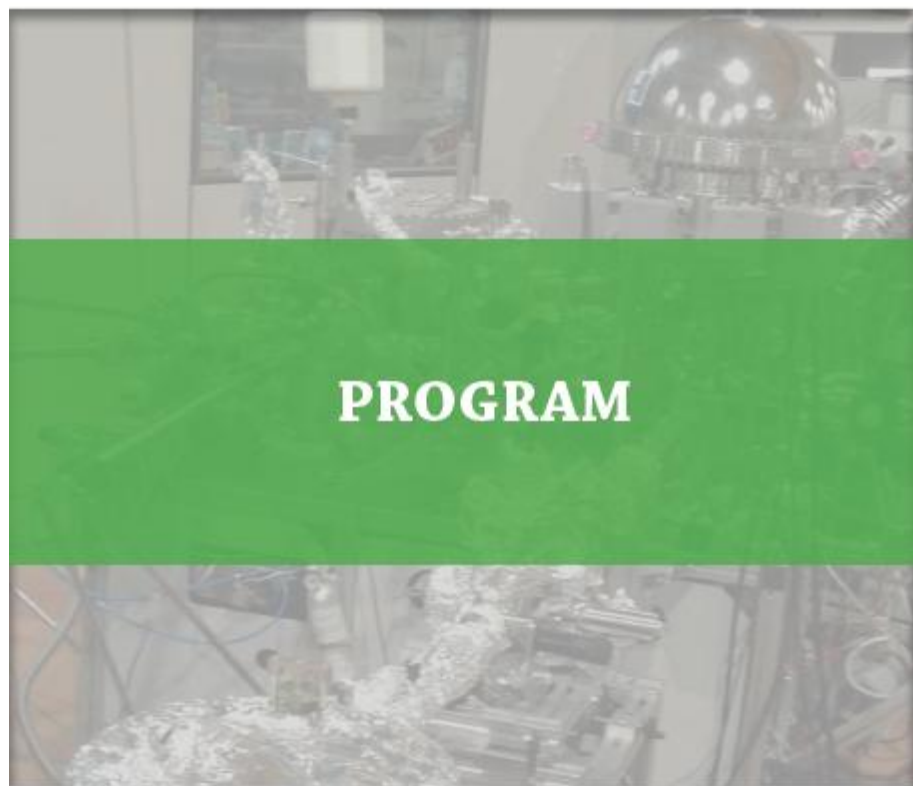
Grupul de lucrări: *"Spectroscopie de fotoelectroni și calcule ab-initio aplicate la studiul suprafetelor și interfețelor"*

autori: **Marius HUȘANU și Dana POPESCU**

A fost organizata a doua editie a International Workshop of Materials Physics (IWMP). Mai jos este prezentat programul evenimentului.



**2ND INTERNATIONAL WORKSHOP
ON MATERIALS PHYSICS
MATERIALS SCIENCE USING
SYNCHROTRON RADIATION**



ORGANIZED BY:



Fundația "Cultură și Fizică la Măgurele"

INTERNATIONAL WORKSHOP ON MATERIALS PHYSICS

KEYNOTE SPEAKERS

- **Lucia ABALLE**, ALBA Synchrotron Barcelona, Spain
- **Francesco D'ACAPITO**, ESRF, Grenoble, France
- **Jean DAILLANT**, Soleil Synchrotron, Saint-Aubin, France
- **Sarnjeet S. DHESI**, Diamond Light Source, Didcot, U.K.
- **Konstantin KLEMENTIEV**, Max IV, Lund, Sweden
- **Axel KNOP**, Fritz-Haber Institut, Berlin, Germany
- **Rosanna LARCIPRETE**, Institut for Complex Systems, Rome, Italy
- **Silvano LIZZIT**, Elettra, Trieste, Italy
- **Vladimir MATOLIN**, Charles University, Prague, Czech Republic
- **Catalin MIRON**, ELI – Nuclear Physics, Măgurele, Romania
- **Vasile I. PÂRVULESCU**, Chemistry, University of Bucharest, Romania
- **Kai SCHLAGE**, PETRA, DESY, Hamburg, Germany
- **Cristian M. TEODORESCU**, National Institute of Materials Physics, Măgurele, Romania
- **Ion TISEANU**, NI Lasers, Plasma and Radiation Physics, Măgurele, Romania
- **Rodica TURCU**, NI Isotopic Molecular Technologies, Cluj-Napoca, Romania
- **Jens VIEFHaus**, PETRA, DESY, Hamburg, Germany
- **Carlos VAZ**, Swiss Light Source, Paul Scherrer Institut, Zürich, Switzerland

CONFERENCE ORGANIZERS

Ionut ENCULESCU

National Institute of Materials Physics, Bucharest, Romania
E-mail : director@infim.ro

Lucian PINTILIE

National Institute of Materials Physics, Bucharest, Romania
E-mail : pintilie@infim.ro

PROGRAM

16th OF MAY

2017

09:00 - 09:20 INTRODUCTION, IONUT ENCULESU, NIMP MĂGURELE

SESSION I

CHEMISTRY AND CATALYSIS (I)

Vasile PÂRVULESCU

University of Bucharest

09:20 - 10:00

"Complementarity between EXAFS and XPS in investigation of nano-catalytic materials"

Vladimir MATOLIN

Charles University, Prague

10:00 - 10:40

"Synchrotron radiation photoelectron spectroscopy study of nanostructured catalysts"

10:40 - 11:00

COFFEE BREAK

SESSION I

CHEMISTRY AND CATALYSIS (II)

Axel KNOB

Fritz-Haber Institute, Berlin

11:00 - 11:40

"The electronic structure of tridymite oxide anodes used in the oxygen evolution reaction - An ambient pressure photoelectron spectroscopy study"

Cristian M. TEODORESCU

NI Materials Physics, Magurele

11:40 - 12:20

"In situ chemistry at ferroelectric surfaces"

12:20 - 13:50

LUNCH

SESSION II

BULK MATERIALS (I)

Jean DAILLANT

Soletanche Synchrotron, Saint-Aubin

13:50 - 14:30

"Solef: a suite of complementary tools for the structural and functional characterization of materials"

Francesco D'ACAPITO

ESRF Grenoble

14:30 - 15:10

"Using X-ray absorption spectroscopy in the study of materials for microelectronics"

15:10 - 15:30

COFFEE BREAK

SESSION II

BULK MATERIALS (II)

Konstantin KLEMENTIEV

Max IV Lund

15:30 - 16:10

"X-ray absorption spectroscopy: basics, application examples and recent extensions"

Ion TISEANU

NI Lasers Plasma and Radiation Physics, Magurele

16:10 - 16:50

"Comparative study on X-ray tomography/fluorescence by synchrotrons and conventional X-ray sources"

16:50 - 17:10

COFFEE BREAK

SESSION ROMANIAN YOUNG RESEARCHERS (I)

17:10 – 18:30 4 TALKS, 20 MINUTES EACH

18:30 DEPARTURE FOR DINNER

17th OF MAY**2017****SESSION III****SURFACES AND INTERFACES (I)****Rosana LARCIPRETE***Institute for Complex Systems, Rome*

09:00 – 9:40 "Surface reactions on, in and below epitaxial graphene studied by synchrotron radiation photoelectron spectroscopy"

Carlos VAZ*PSI, Zürich*

09:40 – 10:20 "Interface structure of charge modulated systems probed by X-rays"

10:20 – 10:40 COFFEE BREAK

SESSION III**SURFACES AND INTERFACES (II)****Lucia ABALLE***ALBA, Barcelona*

10:40 – 11:20 "From nano-magnetism to catalysis: selected results from the CIRCE beamline for electron spectroscopy and microscopy at the ALBA Synchrotron"

Silvano LIZZIT*ELETTRA TRIESTE*

11:20 – 12:00 "2D materials: growth and characterization"

12:00 – 13:30 LUNCH

SESSION IV**MAGNETISM****Rodica TURCU***NJ Isotopic and Molecular Technologies, Cluj-Napoca*

13:30 – 14:10 "Magnetic nanostructures with tailored morphology and surface properties"

Sarneet S. DHESI*Diamond, Didcot*

14:10 – 14:50 "Nanomagnetism using polarised soft X-rays"

Kai SCHAGE*DESY, Hamburg*

14:50 – 15:30 "In-situ X-ray studies reveal new ways towards functional magnetic nanostructures"

15:30 – 15:50 COFFEE BREAK

SESSION V**GAS PHASE, NEW TECHNIQUES, FREE ELECTRON LASERS****Jens VIEFHaus***DESY, Hamburg*

15:50 – 16:30 "The variable polarization XUV beamline PO4 at PETRA III - A unique source of soft X-rays"

16:30 – 17:10	Catalin MIRON <i>Extreme Light Infrastructure – Nuclear Physics, Măgurele</i> "Short wavelength radiation: a powerful probe of fundamental radiation-matter interactions"
17:10 – 17:30	COFFEE BREAK
SESSION ROMANIAN YOUNG RESEARCHERS (II)	
17:30 – 18:50	4 TALKS, 20 MINUTES EACH
18:50 – 19:00	Discussions, concluding remarks and workshop closure
19:00	DEPARTURE FOR DINNER

8. Aprecieri asupra derulării programului și propunerii:

Aprecierile și propunerile se gasesc în raportul final.

DIRECTOR GENERAL,

Nume și Prenume
Semnătura
Ionut Enculescu

DIRECTOR DE PROGRAM,

Nume și Prenume
Semnătura
Lucian Pintilie

DIRECTOR ECONOMIC,

Nume și Prenume
Semnătura
Gabriela Ivanus